

АКАДЕМИЯ НАУК СССР

ЖУРНАЛ ФИЗИЧЕСКОЙ ХИМИИ

ТОМ
XXXIV

ВЫПУСК 4

АПРЕЛЬ

ИЗДАТЕЛЬСТВО АКАДЕМИИ НАУК СССР
МОСКВА · 1960

ЖУРНАЛ ФИЗИЧЕСКОЙ ХИМИИ

Редакционная коллегия:

В. Я. АНОСОВ, К. В. АСТАХОВ, А. И. БРОДСКИЙ, Г. К. БОРЕСКОВ,
Я. И. ГЕРАСИМОВ, С. В. ГОРБАЧЕВ, Г. С. ЖДАНОВ,
Л. А. НИКОЛАЕВ, Н. Н. СЕМЕНОВ, А. Н. ТЕРЕНИН, А. Н. ФРУМКИН,
К. В. ЧМУТОВ

Главный редактор Я. И. ГЕРАСИМОВ

Заместители главного редактора: С. В. ГОРБАЧЕВ, К. В. ЧМУТОВ

Отв. секретарь Л. А. НИКОЛАЕВ



Рис. художника Н. Жукова

В. И. ЛЕНИН

К 90-летию со дня рождения

ВЛАДИМИР ИЛЬИЧ ЛЕНИН

(К 90-летию со дня рождения)

Народы Советского Союза и вместе с ними все прогрессивное человечество отмечают 90-летие со дня рождения великого основателя и руководителя Коммунистической партии Советского Союза и Советского государства, революционера и ученого — Владимира Ильича Ленина.

Под руководством Ленинской партии большевиков, под личным руководством Ленина рабочие России в союзе с крестьянством одержали победу в жестокой борьбе с царизмом и в пламени Великой Октябрьской революции проложили путь к новой эпохе истории человечества.

Будучи руководителем первого в мире государства трудящихся, В. И. Ленин глубоко исследовал и разработал фундаментальные проблемы строительства социализма и коммунизма. Он в большей степени, чем кто-либо, решил задачу, поставленную Марксом перед философами, — не только объяснить, но и изменить мир. Великий ученый, он отстаивал и защитил чистоту учения Маркса и Энгельса, творчески развил марксизм в эпоху империализма и пролетарской революции и создал новое законченное учение о социалистической революции и диктатуре пролетариата.

Величие Ленина как вождя народных масс теснейшим образом связано с его близостью к массам, пониманием нужд и стремлений народа, глубокой верой в творчество народных масс как основную движущую силу революции. Разоблачая оппортунистическую тактику меньшевиков в революции 1905 года, Ленин писал:

«Революции — праздник угнетенных и эксплуатируемых. Никогда масса народа не способна выступить таким активным творцом новых общественных порядков, как во время революции. В такие времена народ способен на чудеса с точки зрения узкой, мещанской мерки постепенного прогресса. Но надо, чтобы и руководители революционных партий шире и смелее ставили свои задачи в такое время, чтобы их лозунги шли всегда впереди революционной самодеятельности массы, служа маяком для нее, показывая во всем его величии и во всей прелесть наш демократический и социалистический идеал, показывая самый близкий, самый прямой путь к полной, безусловной, решительной победе» (В. И. Ленин, Соч., т. 9, стр. 93—94).

Из этих слов Ленина видно, какую огромную роль, наряду с революционным творчеством народа, играет революционная теория, которой должны руководствоваться и, следовательно, творчески владеть вожди народных масс. Ленину принадлежит величайшая заслуга в развитии революционной теории, в вооружении рабочего класса непобедимым идейным оружием.

«Марксистско-ленинское учение всесильно, потому что оно верно. В нем находят свое выражение коренные интересы рабочего класса. Это — вечно живое, развивающееся учение, которое непрерывно обогащается новым историческим опытом освободительного движения международного пролетариата, опытом строительства коммунизма в СССР, социалистического строительства в странах народной демократии» (Правда. Передовая, 21 января 1955 г.).

В. И. Ленин — ученый-материалист, в совершенстве владевший мощным оружием материалистической философии — диалектико-материалистическим методом, — обладал громадной эрудицией не только в области гуманитарных наук, но и в области естествознания. Целью науки является познание законов природы и открытие путей, при помощи которых эти законы могут быть поставлены на службу трудящемуся человечеству. Плодотворное развитие наук возможно лишь на основе единственно правильной теории познания — диалектического материализма. Разрабатывая вопросы теории познания и анализируя развитие естественных наук с позиций диалектического материализма, В. И. Ленин с большой прозорливостью и тонкостью отметал ложные концепции, ведущие к идеалистическим выводам, и указывал пути прогрессивного движения в физике, химии, биологии. Этим он оказал неоценимую услугу естествознанию и тем его представителям, которые в поисках правильных философских позиций испытывали серьезные трудности и иной раз попадали в власть «учений», грубо извращавших революционный марксизм и пытавшихся ревизовать основы исторического и диалектического материализма.

В эпоху идеологических «штатаний», спада революционного движения В. И. Ленин создал свой знаменитый труд «Материализм и эмпириокритицизм», в котором с громадной силой убеждения и со всей мощью блестящей логической аргументации разгромил позиции идеализма в естествознании и творчески развил марксистское учение о познании мира.

В. И. Ленин в книге «Материализм и эмпириокритицизм» делает гениальное по ясности и широте обобщение — надежное оружие для преодоления любых гносеологических заблуждений.

«Единственное «свойство» материи, — писал Ленин, — с признанием которого связан философский материализм, есть свойство *быть объективной реальностью*, существовать вне нашего сознания» (В. И. Ленин, Соч., т. 14, стр. 247).

Именно неожиданность, «дикивинность» раскрывающейся перед нами теперь системы мира есть один из серьезных аргументов, подтверждающих объективность этого мира. Она нарушает идеалистическую гармонию, по которой все в мире предусмотрено сознанием и соответствует ему. Наши понятия надо менять, приспосабливать к этому открывающемуся перед нами по-новому миру.

Эти понятия, как сказал Ленин, «должны быть также обтесаны, обломаны, гибки, подвижны, релятивны, взаимосвязаны, едины в противоположностях, дабы обнять мир» (В. И. Ленин, Философские тетради, Госполитиздат, 1947, стр. 121—122).

«Признание каких-либо неизменных элементов, — пишет Ленин, — «неизменной сущности вещей» и т. п. не есть материализм, а есть *метаматериализм*, т. е. антидиалектический материализм... Чтобы поставить вопрос с единственно правильной, т. е. диалектически-материалистической точки зрения, надо спросить: существуют ли электроны, эфир и *так далее* вне человеческого сознания, как объективная реальность или нет? На этот вопрос естествоиспытатели так же без колебания должны будут ответить и отвечают постоянно *да*» (В. И. Ленин, Соч., т. 14, стр. 248).

Гениальные ленинские слова «... и *так далее*...» (см. предыдущую цитату), его утверждение о «бесконечности материи вглубь» (в пометках к конспекту «Науки логики» Гегеля), его высказывание о «неисчерпаемости электрона» (В. И. Ленин, Соч., т. 14, стр. 249) показывают нам всю глубину и ширину ленинской мысли, учитывавшей в 1909 г. возможность (а следовательно, необходимость) дальнейшего, не имеющего границ проникновения в тайны природы. Достаточно указать, что в настоящее время наука знает, кроме электрона, больше двадцати качественно различных типов элементарных частиц, ждущих своего Менделеева, который создаст для них новую систему.

Представители химической науки все больше в своей научной деятельности соприкасаются с новой физикой; в ближайшие годы это соприкосновение и взаимное проникновение должно развиваться еще быстрее. Развитие квантовой химии, использующей законы новой физики для изучения сложного микромира молекул, уже показало всю сложность и противоречивость этого развития и привело к разнообразию мнений и оттенков мнений с элементами механицизма и идеализма, встречающимися иногда и у советских химиков. Необходимо усилить внимание к философским проблемам; каждый из нас должен активно владеть диалектическим материализмом, использовать его как важнейшее научное оружие в текущей научной работе. Следует глубоко осознать, что советская наука, призванная служить самому передовому обществу в его движении к коммунизму, может выполнять свою высокую роль, только сновываясь на передовой теории — диалектическом материализме, которым так блестяще и творчески владел великий Ленин.

СВЯЗЬ ЭНЕРГИИ ОБРАЗОВАНИЯ МОЛЕКУЛЫ ИЗ СВОБОДНЫХ АТОМОВ С ЕЕ СТРОЕНИЕМ. III*

В. М. Татевский и Ю. Г. Папулов

Другие методы рассмотрения связи энергии и строения молекулы

Попытки представить энергию молекулы как сумму энергий связей и энергий взаимодействия связей. В некоторых работах [2] были сделаны попытки представить энергию молекулы как сумму некоторых величин (энергий связей) в числе, равном числу связей, и сумму величин (энергий попарных взаимодействий связей) в числе, равном числу пар связей в молекуле. Так, например, для алканов в качестве основного уравнения, согласно такому методу рассмотрения, должно быть записано следующее:

$$E_{C_nH_{2n+2}} = \sum_{C-C} \epsilon_{C-C} + \sum_{C-H} \epsilon_{C-H} + \sum_{C-C, C-C} \epsilon_{C-C, C-C} + \\ + \sum_{C-C, C-H} \epsilon_{C-C, C-H} + \sum_{C-H, C-H} \epsilon_{C-H, C-H}, \quad (1)$$

где ϵ_{C-C} и ϵ_{C-H} — энергии связей $C-C$ и $C-H$ в алканах, $\epsilon_{C-C, C-C}$, $\epsilon_{C-C, C-H}$ и $\epsilon_{C-H, C-H}$ — энергии попарных взаимодействий связей $C-C$ и $C-C$, связей $C-C$ и $C-H$, связей $C-H$ и $C-H$ соответственно.

Результаты анализа содержания основных понятий, которые лежат в основе такой схемы и тех уравнений, к которым она приводит, показывают, что: 1) система понятий, которая содержится в основе такого метода рассмотрения энергии молекулы, является противоречивой и не находится в согласии ни со свойствами симметрии молекул, ни с другими известными теоретическими и экспериментальными представлениями об их строении; 2) уравнения для энергии образования молекулы, получающиеся при указанном методе рассмотрения, не дают ничего нового по сравнению с уравнениями описанных выше методов.

Докажем сначала второе из этих утверждений. Для этого рассмотрим числа связей $C-C$ и $C-H$ и числа попарных взаимодействий связей $C-C$ и $C-C$, $C-C$ и $C-H$, $C-H$ и $C-H$ в алканах. Очевидно, что числа связей $C-C$ и $C-H$ будут (см. часть II — [4]):

$$x_{C-C} = \sum_{\substack{i, j=1 \\ i \leq j}}^4 n_{ij} = n - 1, \quad x_{C-H} = \sum_{i=1}^3 n_i = 2n + 2.$$

Попарные взаимодействия связей $C-C$ распадутся на попарные взаимодействия связей $\eta_{C-C, C-C}$, имеющих один общий атом C , попар-

* Части I и II настоящей работы см. ЖФХ, 34, 241, 1960 и ЖФХ, 34, 489, 1960.

ые взаимодействия связей $\zeta_{C-C, C-C}$, стоящих через одну связь $C-C$ в цепи, и т. д.:

$$\sum \varepsilon_{C-C, C-C} = \sum \eta_{C-C, C-C} + \sum \zeta_{C-C, C-C} + \dots$$

Аналогично этому, для $\sum \varepsilon_{C-C, C-H}$ и $\sum \varepsilon_{C-H, C-H}$ будет

$$\sum \varepsilon_{C-C, C-H} = \sum \eta_{C-C, C-H} + \sum \zeta_{C-C, C-H} + \dots,$$

$$\sum \varepsilon_{C-H, C-H} = \sum \eta_{C-H, C-H} + \sum \zeta_{C-H, C-H} + \dots$$

Числа взаимодействий $\eta_{C-C, C-C}$, $\eta_{C-C, C-H}$, $\eta_{C-H, C-H}$, очевидно, будут совпадать с числами y_{CC} , y_{CH} , y_{HH} , вычисленными в части II (см. [4]). Взаимодействия связей $\zeta_{C-C, C-C}$ распадутся на два вида $\zeta_{C-C, C-C}^t$ и $\zeta_{C-C, C-C}^g$, аналогично тому как это было для попарных взаимодействий атомов во втором методе. Числа взаимодействий $\zeta_{C-C, C-C}^t$ и $\zeta_{C-C, C-C}^g$ будут совпадать с вычисленными ранее числами z_{CC}^t и z_{CC}^g . Эти рассуждения можно буквально повторить для взаимодействий $\zeta_{C-C, C-H}$ и $\zeta_{C-H, C-H}$, которые распадутся на пары $\zeta_{C-C, C-H}^t$, $\zeta_{C-C, C-H}^g$ и $\zeta_{C-H, C-H}^t$, $\zeta_{C-H, C-H}^g$, причем числа соответствующих взаимодействий будут z_{CH}^t , z_{CH}^g и z_{HH}^t , z_{HH}^g . Тогда уравнение (1) после подстановки чисел x_{CC} , x_{CH} , y_{CC} , y_{CH} , y_{HH} , z_{CC}^t , z_{CC}^g , z_{CH}^t , z_{CH}^g , z_{HH}^t , z_{HH}^g точно совпадает с уравнением (16) в [4] и повторением преобразований, приведенных в [4], может быть приведено к виду:

$$E_{C_n H_{2n+2}} = \sum_{i, j=1, i \leq j}^4 n_{ij} B_{ij}, \quad (2)$$

точно эквивалентному уравнению (23) из статьи [3] или (25) из статьи [4].

Таким образом рассмотренный метод со стороны математической формы уравнений не дает ничего нового по сравнению с уравнениями (23) в [3] и (25) в [4] и приводит к уравнению (2), менее общему, чем уравнения (14) в [3] и (38) в [4].

Рассмотрим теперь содержание понятий, которые лежат в основе рассматриваемого метода, их логическую связь между собой и с прочно установленными теоретическими представлениями и экспериментальными данными. В рассматриваемом методе, с одной стороны, вводится представление об энергиях отдельных химических связей, в частности, в алканах — связей $C-C$ и $C-H$. При этом все связи $C-C$ считаются одинаковыми по энергии (ε_{C-C}) и все связи $C-H$ также одинаковыми по энергии (ε_{C-H}). Далее постулируется, что энергия молекулы не равна сумме энергий связей $C-C$ и $C-H$, а включает также некоторые величины, которые трактуются как энергия взаимодействия связей. Эти положения, взятые совместно, можно понять таким и только таким образом, что, если бы взаимодействий связей не было, то энергии всех связей $C-C$ (или $C-H$) были бы равны между собой и равны ε_{C-C} (или ε_{C-H}). Но, согласно положению о наличии энергии взаимодействия связей, связи $C-C$ (или $C-H$) взаимодействуют друг с другом в реальной молекуле, а, следовательно, в результате этого взаимодействия энергия связи $C-C$ (или $C-H$) в реальной молекуле уже не будет равна ε_{C-C} или ε_{C-H} , а отсюда, в свою очередь, следует, что величина ε_{C-C} (или ε_{C-H}) не является в действительности энергией какой-либо реальной связи $C-C$ (или $C-H$), а является некоторой фиктивной величиной, не относящейся ни к какой реальной связи $C-C$

(или С—Н) в молекуле, т. е., иными словами, хотя рассматриваемый метод исходит якобы из рассмотрения связей и их энергий, в действительности в нем фигурируют величины, являющиеся фиктивными, не имеющие отношения к реальным связям С—С (или С—Н) в молекуле.

В рассмотренном методе принимается, что энергии всех связей С—Н равны между собой и энергии всех связей С—С равны между собой. Однако рассмотрение уже простейших молекул, например *n*-пропана и *n*-бутана (см. часть I—[3]), показывает, что связи С—Н в *n*-пропане и *n*-бутане не все эквивалентны на основании симметрии, так же как и связи С—С в *n*-бутане и других алканах не все эквивалентны, поэтому величины $\epsilon_{\text{C—C}}$ и $\epsilon_{\text{C—H}}$ не являются энергиями реальных связей С—С и С—Н, так как отдельные виды связей С—С и отдельные виды связей С—Н должны отличаться по энергии в соответствии со сказанным в [3, 4].

Если внимательно рассмотреть содержание рассматриваемого метода, то окажется, что в действительности этот метод полностью совпадает с методом представления энергии молекулы, как суммы попарных взаимодействий атомов (см. [1,4]), но только использует непоследовательную и противоречивую терминологию. Действительно, величины энергии связей $\epsilon_{\text{C—C}}$ и $\epsilon_{\text{C—H}}$ в рассматриваемом методе в действительности являются не энергиями связей С—С и С—Н, а попарными взаимодействиями атомов С (или атомов С и Н), связанных химической связью. Величины $\epsilon_{\text{C—C}}$, $\epsilon_{\text{C—C'}}$, $\epsilon_{\text{C—C, C—H}}$ и $\epsilon_{\text{C—H, C—H}}$ в действительности являются энергиями попарных взаимодействий двух атомов С между собой, атома С и атома Н между собой, двух атомов Н между собой, т. е. имеют смысл η_{CC} , η_{CH} , η_{HH} , ζ_{CC} , ζ_{CH} , ζ_{HH} и т. д., рассмотренных в [1,4]. При таком изменении содержания понятий рассмотренного метода, без чего он противоречит этому методу, этот метод оказывается тождественным методу попарных взаимодействий атомов и не дает ничего нового. Здесь, при этом, с совершенной ясностью, на основании сказанного выше, выясняется, что в действительности как энергии связей С—Н и С—С могут рассматриваться величины $\epsilon_{\text{C—H}}$ или $\epsilon_{\text{C—C'}}$, фигурирующие в рассмотренном методе, а величины h_i и h_{ij} , которые в соответствии с известными фактами и теоретическими представлениями оказываются различными для связей С—Н и С—С различных видов.

Таким образом рассмотренный нами метод [2] в отношении его принципиальной стороны является нелогичным, внутренне противоречивым, а в отношении вида уравнений, к которым он приводит, не дает ничего нового по сравнению с первыми двумя методами. При правильной трактовке смысла отдельных членов в его основном уравнении, этот метод точно совпадает с методом представления энергии молекулы как суммы попарных взаимодействий атомов.

Попытка связать энергию молекулы с электронными зарядами связей. В работе Г. В. Быкова [5] принимается, что энергия алкана может быть выражена уравнением:

$$E_{\text{C}_n\text{H}_{2n+2}} = \Delta_{\text{CC}} \sum q_{\text{CC}} + \Delta_{\text{CH}} \sum q_{\text{CH}}, \quad (1)$$

где Δ_{CC} и Δ_{CH} — постоянные, а q_{CC} и q_{CH} — некоторые величины, которые автор работы называет «эффективными зарядами связей» СС и С—Н соответственно. Суммирование производится по всем связям С—С и С—Н.

Легко видеть, что, внося Δ_{CC} и Δ_{CH} под знак сумм и вводя обозначения:

$$\Delta_{\text{CC}} q_{\text{CC}} = \epsilon_{\text{C—C'}}, \quad \Delta_{\text{CH}} q_{\text{CH}} = \epsilon_{\text{C—H}}, \quad (2)$$

мы получим уравнение

$$E_{C_nH_{2n+2}} = \sum \varepsilon_{C-C} + \sum \varepsilon_{C-H}, \quad (5)$$

т. е. основное уравнение первого метода [3]. Для его конкретного использования необходима классификация связей C—C и C—H либо непосредственно по энергиям ε_{C-C} и ε_{C-H} , либо (что совершенно эквивалентно, поскольку Δ_{CC} и Δ_{CH} — постоянные) по величинам q_{CC} и q_{CH} . Если при классификации связей C—C и C—H учитывать только ближайшее окружение связей C—C и C—H, то как по величинам ε_{C-C} и ε_{C-H} , так и по величинам q_{CC} и q_{CH} получим одну и ту же классификацию, точно совпадающую с классификацией (Б) (см. [3] раздел второй) по числу и характеру видов связей C—C и C—H. Тогда для связи $C_i - C_j$ энергия связи будет $\varepsilon_{C_i-C_j}$ и эффективный заряд $q_{C_i-C_j}$; а для связей C—H соответствующие величины будут ε_{C_i-H} и q_{C_i-H} . Уравнение (5) примет вид:

$$E_{C_nH_{2n+2}} = \sum_{\substack{i, j=1 \\ i \leq j}}^4 n_{ij} \varepsilon_{C_i-C_j} + \sum_{i=1}^3 n_i \varepsilon_{C_i-H}, \quad (6)$$

совершенно эквивалентный уравнению (5) первого метода [3], и путем преобразований, приведенных в указанной работе, приведет к виду:

$$E_{C_nH_{2n+2}} = \sum_{\substack{i, j=1 \\ i \leq j}}^4 n_{ij} A_{ij}, \quad (7)$$

где A_{ij} равняется

$$A_{ij} = \varepsilon_{C_i-C_j} + \left(\frac{4-i}{i}\right) \varepsilon_{C_i-H} + \left(\frac{4-j}{j}\right) \varepsilon_{C_j-H} \quad (i, j = 1, 2, 3, 4; i \leq j).$$

Если использовать постулированную выше связь между $\varepsilon_{C_i-C_j}$, ε_{C_i-H} числами $q_{C_i-C_j}$, q_{C_i-H} , то A_{ij} можно представить так:

$$A_{ij} = q_{C_i-C_j} \Delta_{CC} + \left(\frac{4-i}{i}\right) q_{C_i-H} \Delta_{CH} + \left(\frac{4-j}{j}\right) q_{C_j-H} \Delta_{CH}. \quad (8)$$

Таким образом в отношении формы получающихся уравнений рассмотренная работа [5] при учете только ближайшего окружения связи не дает нового по сравнению с уравнением (5) части I, выведенным в 1950 г. в работе [6]*, если на величины $q_{C_i-C_j}$ и q_{C_i-H} не накладывается никаких условий, кроме (4), где Δ_{CC} и Δ_{CH} — произвольные константы. Однако в упомянутой работе [5] на числа $q_{C_i-C_j}$ и q_{C_i-H} накладываются дополнительные условия. Там принимается, что $q_{C_i-C_j}$ и q_{C_i-H} для связей имеет вид сумм

$$\begin{aligned} q_{C_i-C_j} &= q_{iC} + q_{jC}, \\ q_{C_i-H} &= q_{iH} + 1, \end{aligned} \quad (9)$$

* Следует отметить только, что представления работы [5] в том виде, как они там изложены, не допускают учета поворотной изомерии.

где q_{iC} и q_{jC} — «эффективные заряды», вносимые атомами C_i и C_j «эффективный заряд связи» $C_i - C_j$, и q_{iH} — «эффективный заряд», вносимый атомом C_i в «заряд» связи $C_i - H$. «Эффективный заряд связи» вносимый атомами H в связь $C_i - H$, принимается равным единице.

Кроме условий (9) на q_{iC} , q_{jC} , q_{iH} накладываются условия, чтобы для данного атома

$$\sum q_{iC} + \sum q_{iH} = 4. \quad (10)$$

Последнее условие при учете только ближайшего окружения связей (и, следовательно, ближайшего окружения каждого атома), очевидно перейдет в следующее:

$$iq_{iC} + (4-i)q_{iH} = 4. \quad (11)$$

или

$$q_{iC} + \left(\frac{4-i}{i}\right)q_{iH} = \frac{4}{i} \quad (12)$$

и, аналогично,

$$q_{jC} + \left(\frac{4-j}{j}\right)q_{jH} = \frac{4}{j}.$$

Из (12) получим

$$q_{iC} + q_{jC} + \left(\frac{4-i}{i}\right)(q_{iH} + 1) + \left(\frac{4-j}{j}\right)(q_{jH} + 1) = \frac{8}{i} + \frac{8}{j} - 2 \quad (13)$$

или

$$q_{C_i - C_j} + \left(\frac{4-i}{i}\right)q_{C_i - H} + \left(\frac{4-j}{j}\right)q_{C_j - H} = \frac{8}{i} + \frac{8}{j} - 2; \quad (14)$$

откуда

$$\left(\frac{4-i}{i}\right)q_{C_i - H} + \left(\frac{4-j}{j}\right)q_{C_j - H} = 8\left(\frac{1}{i} + \frac{1}{j}\right) - 2 - q_{C_i - C_j}. \quad (15)$$

Это специальное условие*, принятое в работе [5], являющееся следствием (9) и (12), если его ввести в уравнение (7) и выражение (9) делает уравнение (7) менее общим и ухудшает степень его соответствия

* Для рассматриваемой классификации связей (учет ближайшего окружения

$$\sum q_{CC} + \sum q_{CH} = \sum_{i, j=1, i < j}^4 n_{ij} q_{C_i - C_j} + \sum_{i=1}^3 n_i q_{C_i - H},$$

что при учете уравнений (4) части I дает

$$\sum q_{CC} + \sum q_{CH} = \sum_{i, j=1, i < j}^4 n_{ij} \left[q_{C_i - C_j} + \left(\frac{4-i}{i}\right)q_{C_i - H} + \left(\frac{4-j}{j}\right)q_{C_j - H} \right]. \quad (16)$$

Учет (14а) и (14) дает

$$\sum q_{CC} + \sum q_{CH} = \sum_{i, j=1, i < j} n_{ij} \left[\frac{8}{i} + \frac{8}{j} - 2 \right] = 6n + 2 = N, \quad (17)$$

где N — общее число валентных электронов в алкане. Таким образом (15а) для рассматриваемой классификации связей является следствием (9) и (12), а не независимым условием, как это принимается в работе [5].

экспериментальным данным. Действительно, используя (15), получим из (8)

$$A_{ij} = (\Delta_{CC} - \Delta_{CH}) q_{C_i - C_j} + \left[8 \left(\frac{1}{i} + \frac{1}{j} \right) - 2 \right] \Delta_{CH} = \\ = (\Delta_{CC} - \Delta_{CH}) q_{iC} + \left[\frac{8}{i} - 1 \right] \Delta_{CH} + (\Delta_{CC} - \Delta_{CH}) q_{jC} + \left[\frac{8}{j} - 1 \right] \Delta_{CH}, \quad (16)$$

или

$$A_{ij} = S_i + S_j, \quad (17)$$

где

$$S_i = q_{iC} (\Delta_{CC} - \Delta_{CH}) + \left[\frac{8}{i} - 1 \right] \Delta_{CH}, \quad S_j = q_{jC} (\Delta_{CC} - \Delta_{CH}) + \left[\frac{8}{j} - 1 \right] \Delta_{CH}. \quad (18)$$

Таким образом оказывается, что если в уравнении (5) части I десять величин A_{ij} (с учетом этана) или девять величин A_{ij} (исключая этан) были независимыми постоянными, то в выражениях (17), являющихся следствиями условий (9) и (12), величины A_{ij} и, следовательно, энергии алкана $E_{C_n H_{2n+2}}$ выражаются через четыре независимых постоянных S_i ($i = 1, 2, 3, 4$).

Следовательно, требования (9) и (12), наложенные в рассматриваемой работе на q_{CC} и q_{CH} , приводят к тому, что энергия образования алкана представляется функцией четырех постоянных:

$$E_{C_n H_{2n+2}} = \sum_{\substack{i, j=1, \\ i \leq j}}^4 n_{ij} (S_i + S_j), \quad (19)$$

что приводит к значительному ухудшению сходимости между рассчитанными и экспериментальными значениями $E_{C_n H_{2n+2}}$, как это и следовало ожидать.

По поводу физических представлений работы [5] следует отметить, что вводимые в ней «эффективные заряды связей» фактически просто являются числами, удовлетворяющими уравнениям (9) и (12), а положение о пропорциональности энергий связей в этих «зарядах» сводится к предположению пропорциональности энергий связей числам, удовлетворяющим уравнениям (9) и (12). В действительности нельзя разделить «электронное облако» молекулы по связям иначе, как условно, а предположение о пропорциональности энергии связи и «заряда» связи противоречит основным квантово-механическим представлениям и уравнениям*. Что касается попытки автора работы [5] связать числа q_{CC} и q_{CH} с так называемыми «электроотрицательностями», то мы на ней останавливаться не будем. Несостоятельность введения этого понятия и произвольность его содержания были основательно разобраны в работе [7], к которой мы и отсылаем интересующихся.

Среди работ, рассматривающих связь энергии образования со строением молекулы, следует упомянуть также ряд других работ [7—12]. Однако в этих работах не дается достаточно подробного теоретического обоснования и анализа используемых понятий, и поэтому формулы, приводимые в упомянутых работах, следует рассматривать как эмпирические, и мы их разбирать не будем.

* Энергия всегда получается из волновой функции при помощи соответствующего оператора, например оператора H . Заряд, или плотность заряда, определяется только квадратом модуля волновой функции.

О связи других физико-химических свойств со строением молекулы

Вопрос о связи других физико-химических свойств (помимо энергии образования) со строением молекулы имеет близкое отношение к вопросам, рассмотренным выше. Мы не можем разбирать здесь этот вопрос подробно, так как он далеко выходит за рамки настоящей работы. Отметим только, что представления первого метода (суммирование свойств по связям) могут быть непосредственно использованы для установления связи между строением молекулы и рядом физико-химических свойств соответствующих веществ.

В частности, в ряде работ [13—21] было показано, что уравнение (5) части I, основанное на классификации связей C — C и C — H [(B) или (Г)], хорошо отображает закономерности в таких физико-химических свойствах, как теплота сгорания, молярный объем, молярная рефракция, теплота испарения, логарифм давления пара, средняя магнитная восприимчивость, изменение термодинамического потенциала при образовании из элементов и других.

Из уравнения (5) части I вытекают для перечисленных физико-химических свойств некоторые специальные закономерности. Важнейшая из них состоит в том, что алканы могут быть разделены на такие гомологические группы, в каждой из которых ΔP (изменение одного из перечисленных выше свойств P) при переходе от алкана данной гомологической группы к нормальному с тем же числом атомов постоянно и не зависит от n — числа атомов углерода в алкане. Разделение алканов на такие гомологические группы приводит к тому, что в каждой гомологической группе свойство P линейно зависит от n — числа атомов углерода в алкане [13, 18, 19].

Этот результат приводит к двум важным следствиям [20, 21]. Во-первых, любые два разные свойства (P и Q) из числа перечисленных одной гомологической группы алканов оказываются линейно связанными. Во-вторых, свойство P одной гомологической группы алканов оказывается линейно связанным со свойством Q другой гомологической группы алканов. За детальными сведениями об этих закономерностях, являющихся прямым математическим следствием уравнения (5) части I и их возможным использованием, мы отсылаем читателей к оригинальным работам*.

Следует отметить, что представления первого метода, соответствующие классификации химических связей, и вытекающие из них уравнения связывающие строение молекул и разные физико-химические свойства веществ, были разработаны не только для алканов, но и для углеводородов других классов (алкенов, алкинов, полиенов, алкилцикланов, алкилбензолов, конденсированных ароматических углеводородов [13]), а также для органических соединений формулы $C_n H_{2n+2-k} X_k$, где X — одновалентная замещающая группа [22]. Полученные результаты хорошо согласуются с экспериментом. Очевидно, что связь между энергией образования и строением молекул может быть установлена, опираясь на представления и пути расчета как первого, так и второго методов, изложенные выше, не только для углеводородов, но и для молекул других органических соединений, причем результирующие уравнения могут быть получены, если желательно, и квантово-механическим путем, аналогично тому, как это было сделано выше (см. [3]) или в работе [23] для алканов.

Выводы

1. Показано, что попытка представить энергию образования молекулы как сумму энергии связей и энергий взаимодействия связей основанная на внутренне противоречивой системе представлений, а в математическо-

* См. также [24].

отношении приводит к уравнениям, не дающим ничего нового по сравнению с уравнениями первого и второго методов (см. части I и II).

2. Показано, что попытки связать энергию связи с так называемыми электронными зарядами связей приводят к уравнениям, хуже отображающим экспериментальные закономерности, чем уравнения первого и второго методов, выведенные в эквивалентном приближении. Указано, что понятие «электронных зарядов связей» в работе [5] является чисто формальным и не может быть обосновано; попытки связать числа «эффективных зарядов» связей с энергиями связей противоречат квантово-механическим представлениям и уравнениям.

3. Указано, что формулы, связывающие энергию образования и строения молекулы алканов, полученные первым методом, при соответствующем изменении физического смысла постоянных хорошо отображают закономерности в других физико-химических свойствах веществ (молярный объем, молярная рефракция, теплота испарения, логарифм давления пара, средняя магнитная восприимчивость, изменение термодинамического потенциала при образовании моля вещества из элементов). Эти результаты могут быть объяснены и обоснованы на основании представлений о типах и видах связей C — C и C — H, введенных ранее [6].

Московский государственный
университет им. М. В. Ломоносова

Поступила
16.II.1959

ЛИТЕРАТУРА

1. H. J. Bernstein, J. Chem. Phys., 20, 263, 1952.
2. Hsu Kwang-Hsien and Chao Shen, Хуасюэсюэбао, Acta chimica 22, 426, 1956.
3. В. М. Татевский, Ю. Г. Папулов, Ж. физ. химии, 34, 241, 1960.
4. В. М. Татевский и Ю. Г. Папулов, Ж. физ. химии, 34, 489, 1960.
5. Г. В. Быков, Изв. АН СССР, Отд. хим. н., № 11, 1342, 1956.
6. В. М. Татевский, Докл. АН СССР, 75, 819, 1950; 74, 287, 1950.
7. В. П. Спиридонов, Диссертация, Химический факультет МГУ, 1958.
8. W. J. Taylor, J. M. Pignocco, F. D. Rossini, J. Res. Nat. Bur. Standards, 34, 413, 1945.
9. E. J. Prosen, W. H. Johnston, F. D. Rossini, J. Res. Nat. Bur. Standards, 3, 51, 1946.
10. H. Wiener, J. Chem. Phys., 15, 766, 1947; J. Phys. Chem., 52, 1082, 1948.
11. D. R. Platt, J. Phys. Chem., 56, 328, 1952.
12. J. B. Greenshields, F. D. Rossini, J. Phys. Chem., 62, 271, 1958.
13. В. М. Татевский, Диссертация, МГУ, 1951, Химическое строение углеводородов и закономерности в их физико-химических свойствах. Изд-во МГУ, М., 1953.
14. В. М. Татевский, Уч. зап. МГУ, 174 (неорганическая и физическая химия), 235, 1955.
15. В. И. Зиборов, Ю. А. Пентин и В. М. Татевский, Ж. физ. химии, 32, 707, 1958.
16. В. М. Татевский, Докл. АН СССР, 109, 131, 1956.
17. В. М. Татевский, Ж. общ. химии, 28, 2935, 1958.
18. В. М. Татевский, Докл. АН СССР, 113, 886, 1957.
19. В. М. Татевский и В. А. Бендерский, Ж. общ. химии, 28, 1733, 1958.
20. В. М. Татевский, Ж. физ. химии, 32, 1168, 1958.
21. В. М. Татевский, Вестн. МГУ, № 4, 205, 1958.
22. Ю. А. Пентин, Докл. АН СССР, 119, 106, 1958.
23. В. М. Татевский и Ю. Г. Папулов, Докл. АН СССР, 126, 823, 1959.
24. В. М. Татевский, В. А. Бендерский и С. С. Яровой, Закономерности и методы расчета физико-химических свойств парафиновых углеводородов, Гостехиздат, 1960.

К ВОПРОСУ О СТРОЕНИИ КРИСТАЛЛИЧЕСКИХ ПОЛИМЕРОВ

Е. И. Колобов

Полимеры не кристаллизуются полностью [1]. В них наряду с упорядоченными областями имеются аморфные области [2—4].

С целью выяснения характера распределения аморфных и упорядоченных областей в кристаллическом полимере нами изучались термомеханические свойства этих полимеров в изотропном и ориентированном состояниях, определялись также термические удлинения пленок полимеров с различной степенью ориентации. При интерпретации полученных результатов использовались данные рентгеноструктурного анализа Бунни и Алкокка [5].

Экспериментальная часть

Термомеханические свойства кристаллических полимеров в изотропном состоянии. Производилось растяжение пленок сечением $0,5-1 \text{ мм}^2$, длиной $30-80 \text{ мм}$ на усовершенствованных для этой цели динамометрических весах (рис. 1).

Образец полимера в виде узкой ленты зажимается в зажимы 1. Нижний зажим одновременно захватывает с одной стороны образец, а с другой — лепесток, припаянный к стойке 2, и таким образом укрепляется на ней. Верхний зажим одновременно с образцом захватывает лепесток тяги 3. Тяга 3 изготавливается из стальной проволоки. Верхний конец тяги заканчивается Г-образным крючком, поперечная часть которого представляет собой трехгранную призму. Детали 1, 2, 3 представляют собой растягивающую систему, которая вместе с образцом подвешивается за ушко рычага 11. Рычаг 11 имеет на коротком конце агатовую призму 10, посредством которой он опирается на опору 9. Длинный конец рычага имеет ушко и тонкую прорезь, через которую заводится стальная нить 12. Один конец нити укрепляется на верхней тяге 13, а другой конец заканчивается металлическим шариком такой величины, чтобы он свободно проходил через ушко рычага, но не мог бы проскочить через прорезь. Отношение плеч рычага $5:1$. Тяга 13 вешается на одно из плеч коромысла весов.

После того как растягивающая система вместе с образцом собрана, в дно стакана 4 ввинчивается втулка 5, которая в центре имеет вертикальное отверстие для стойки 1. При ввинчивании втулки 5 стойка 2 пропускается через отверстие и в нужный момент зажимается там зажимным винтом. После этого втулка 5 закрепляется контргайкой.

Для уменьшения теплопередачи стакан 4 соединяется с фланцем 8 через асбестовую муфту 7. При работе на стакан 4 надевается вертикальная электропечь. Кпельхромелевая термопара вводится в стакан с таким расчетом, чтобы спай оказался на уровне середины образца полимера.

Измерение угла коромысла весов отсчитывается при помощи оптического отсчетного устройства. Зеркальце 14 отсчетного устройства укрепляется при помощи кронштейна на коромысле весов.

Деформация отсчитывается по шкале отсчетного устройства с точностью 10^{-3} мм , растягивающее усилие определяется по нагрузке на чашке весов с точностью до $0,05 \text{ г}$.

Определялись обратный модуль и разность обратных модулей для $\tau = 10 \text{ сек.}$ в гуковской области кривой, выражающей связь напряжения и деформации. Гуковская область находилась из условия линейности связи между напряжением и деформацией при трех нагрузках различных величин.

Во избежание ошибок, связанных с неточностью определения сечения термомеханические свойства изучались на одном и том же образце. Относительная погрешность не превышала $\pm 3\%$.

При работе с ориентированными образцами под опору 9 подкладывались калиброванные плитки с таким расчетом, чтобы по мере термической усадки образца можно было уменьшить расстояние между зажимами 1, вынимая некоторое количество плиток.

Перед началом эксперимента образец полимера выдерживался при наивысшей температуре опыта в течение 30 мин. для того, чтобы устранить

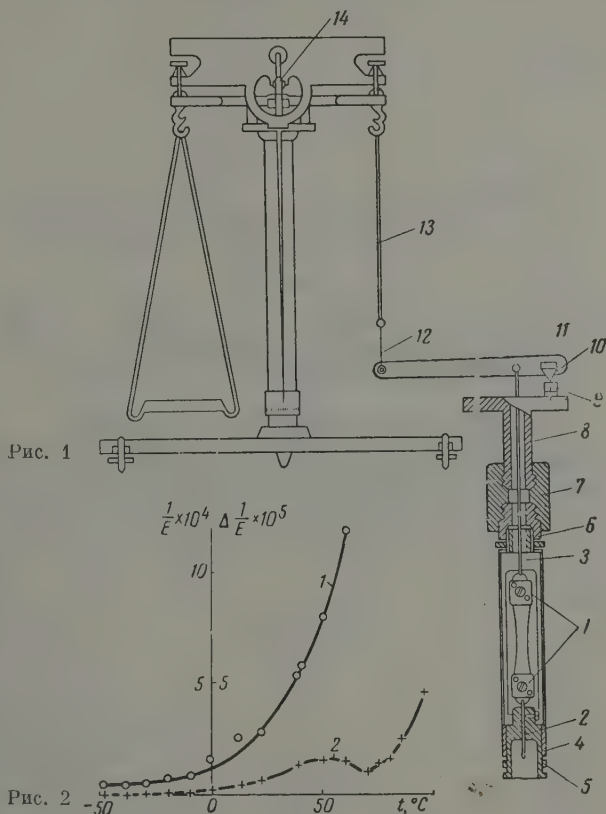


Рис. 1

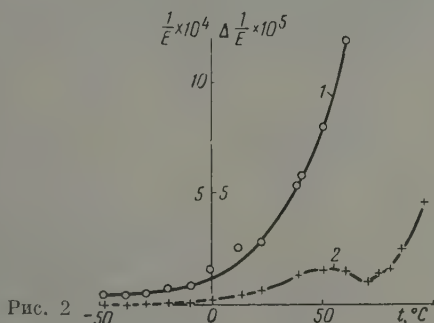


Рис. 2

Рис. 1. Динамометрические весы

Рис. 2. Термомеханические свойства полиэтилена: 1 — обратные модули десятисекундной деформации, $\text{см}^2/\text{кг}$, 2 — разности обратных модулей минутной и десятисекундной деформации, РОМ (6—10), $\text{см}^2/\text{кг}$

влияние релаксационных явлений, вызванных возможными перенапряжениями. Затем температура снижалась скачками от измерения к измерению.

Перед каждым измерением температура выдерживалась постоянной в течение 10 мин. Затем проверялось в течение 1 мин., не происходит ли смещение по шкале отчетного устройства. При отсутствии смещения начального положения производились отсчеты деформации через 10 и 30 сек. после приложения нагрузки.

Термомеханические свойства изучались у полимеров различной полярности. Из неполярных полимеров были выбраны полиэтилен, гуттаперча, политетрафторэтилен (тефлон), из полимеров со слабо выраженной

полярностью — полихлортрифторэтилен, из полимеров с сильно выраженной полярностью — капрон. Некоторые из этих полимеров изучались Шмидером и Вольфом [6] методом крутильных колебаний.

Для сравнения были изучены также термомеханические свойства аморфных полимеров: полиметилметакрилата и полистирола. Был

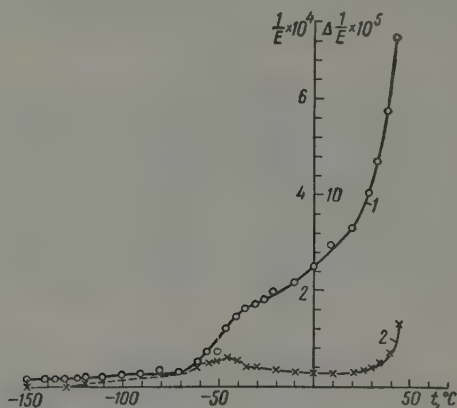


Рис. 3. Термомеханические свойства гуттаперчи: 1 — обратные модули десятисекундной деформации, $\text{см}^2/\text{кг}$, 2 — разности обратных модулей минутной и десятисекундной деформации, РОМ (60—10), $\text{см}^2/\text{кг}$

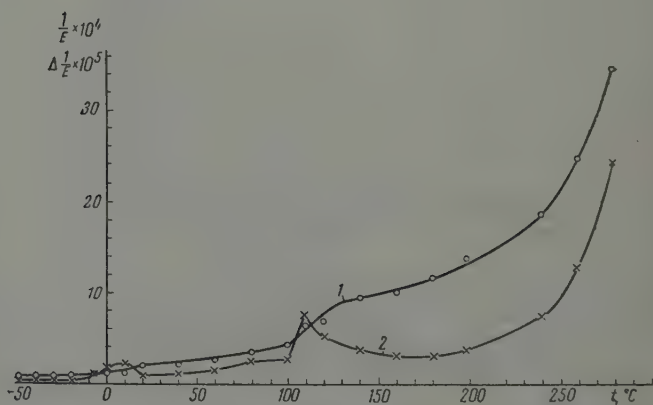


Рис. 4. Термомеханические свойства тефлона (политетрафторэтилен): 1 — обратные модули десятисекундной деформации, $\text{см}^2/\text{кг}$, 2 — разности обратных модулей минутной и десятисекундной деформации, РОМ (60—10), $\text{см}^2/\text{кг}$

найденно, что их температуре стеклования соответствует обратный модуль $5-10 \cdot 10^{-5} \text{ см}^2/\text{кг}$ и разность обратных модулей для 60 и 10 сек. около $10^{-5} \text{ см}^2/\text{кг}$.

Результаты измерений показали, что в соответствии с литературными данными механические свойства кристаллических полимеров изменяются скачками. Такие скачки или механикотермические переходы, как они

иногда называются, наблюдаются при тех же температурах, при каких они зафиксированы в более ранних работах. Было замечено, что если пронумеровать переходы в порядке возрастания температур, то у полярных полимеров соответствующие переходы лежат при более высоких температурах, чем у неполярных. Исключение составляет капрон. У него

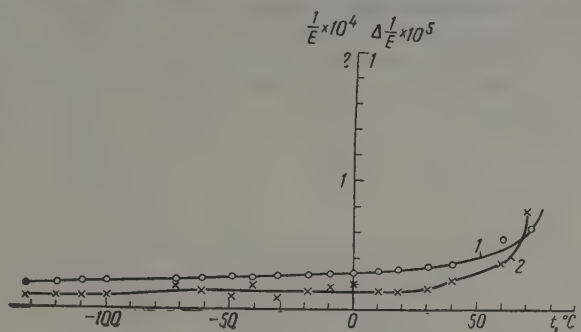


Рис. 5. Термомеханические свойства сополимера хлорвинила и хлорвинилидена: 1 — обратные модули десятисекундной деформации, $\text{см}^2/\text{кг}$, 2 — разности обратных модулей минутной и десятисекундной деформации, РОМ (60—10), $\text{см}^2/\text{кг}$

оме переходов, свойственных полярным полимерам, дополнительно имеется при -110° переход, свойственный неполярным полимерам.

У неполярных полимеров при возрастании температуры обратный модуль в области переходов резко увеличивается, а разность обратных модулей (РОМ) образует пик (рис. 2—4), в то время как у полярных поли-

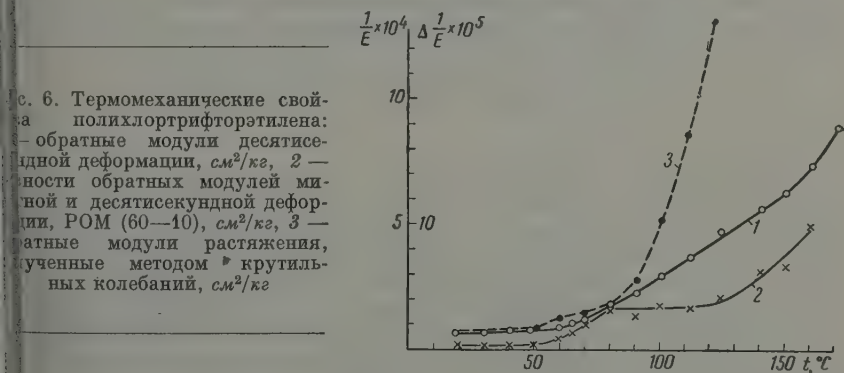


Рис. 6. Термомеханические свойства полихлортрифторэтилена: 1 — обратные модули десятисекундной деформации, $\text{см}^2/\text{кг}$, 2 — разности обратных модулей минутной и десятисекундной деформации, РОМ (60—10), $\text{см}^2/\text{кг}$, 3 — обратные модули растяжения, полученные методом крутильных колебаний, $\text{см}^2/\text{кг}$

меров изменяется наклон кривой обратный модуль — температура, разность обратных модулей (60—10 сек.) скачкообразно возрастает (с. 5—7).

Интересно, что у всех полимеров второй, а у капрона третий переход начинается с механических характеристик, соответствующих механическим характеристикам аморфных полимеров при температуре стеклования: обратный модуль — $6 \cdot 10^{-5} - 10^{-4} \text{ см}^2/\text{кг}$, разность обратных модулей для 60 и 10 сек. — около $10^{-5} \text{ см}^2/\text{кг}$.

У полиэтилена известный из литературы [6] второй переход при -10° этим методом не обнаружен, но и здесь обратный модуль близок к величине $10^{-4} \text{ см}^2/\text{кг}$.

У некоторых полимеров (полиэтилен, тефлон) при более высоких температурах наблюдается еще третий переход, при котором максимум разности обратных модулей для 60 и 10 сек. соответствует обратный модуль порядка $5 \cdot 10^{-4}$ см²/кг.

Резкое изменение механических свойств в области предплавления у полиэтилена и политетрафторэтилена (тефлона) начинается при значе-

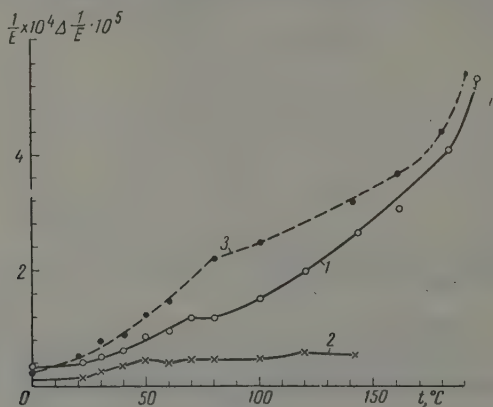


Рис. 7. Термомеханические свойства капрона: 1 — обратные модули десятисекундной деформации, см²/кг, 2 — разности обратных модулей минутной и десятисекундной деформации, РОМ (60—10), см²/кг, 3 — обратные модули растяжения, полученные методом крутильных колебаний, см²/кг

нии обратного модуля десятисекундной деформации $\sim 1,5-2 \cdot 10^{-3}$ см²/кг. У остальных кристаллических полимеров эти изменения начинаются при значениях обратного модуля, соответствующих следующему тер-

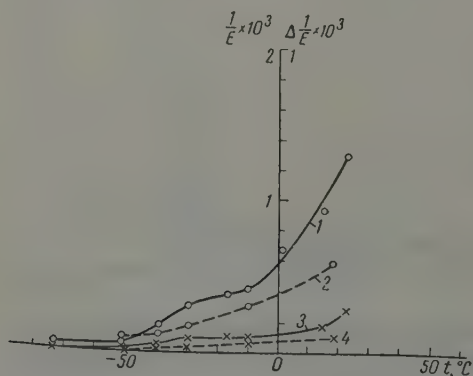


Рис. 8. Термомеханические свойства ориентированной гуттаперчи. 1, 2 — обратные модули десятисекундной деформации вдоль (1) и поперек (2) ориентации, см²/кг, 3, 4 — разности обратных модулей минутной и десятисекундной деформации, РОМ (60—10) в (3) и поперек (4) ориентации, см²/кг

механическому переходу: у полимеров с одним переходом (сополипропилен, полиэтилен, полипропилен, поливинилхлорид, поливинилфторид, поливинилхлорид, поливинилфторид) — около 10^{-4} см²/кг, а у полимеров с двумя переходами (гуттаперча, полихлортрифторэтилен, капрон) — около $5 \cdot 10^{-4}$ см²/кг.

Термомеханические свойства кристаллических полимеров в ориентированном состоянии. Термомеханические свойства ориентированных полимеров, так же как и неориентированных, исследовались в области гуковских деформаций.

Ориентация пленок производилась при комнатной температуре. Образцы вырубались вдоль и поперек ориентации.

Для пленок ориентированных гуттаперчи (рис. 8) и тефлона (рис. 9) изменения механических свойств исследовались в интервале от температур второго перехода до температуры предплавления, для пленок полиэтилена механические характеристики определены только для 19°.казалось, что величина и характер температурных изменений обратных модулей у ориентированных полимеров очень сильно зависят от того, в каком направлении они деформируются по отношению к направлению ориентации.

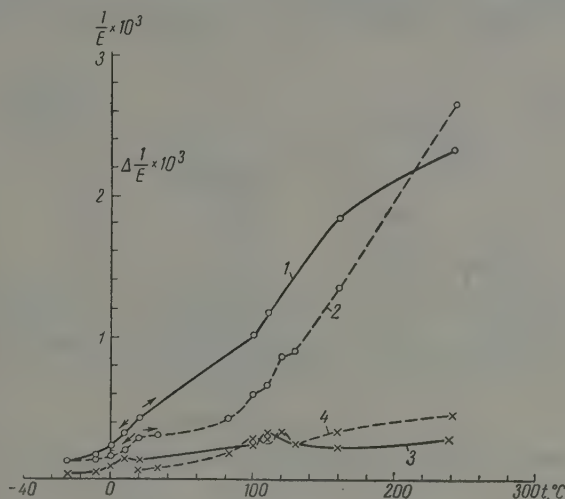


Рис. 9. Термомеханические свойства ориентированного тефлона (политетрафторэтилен): 1,2 — обратные модули десятисекундной деформации, вдоль (1) и поперек (2) ориентации, $\text{см}^2/\text{кг}$; 3,4 — разности обратных модулей минутной и десятисекундной деформации, РОМ (60—10), вдоль (3) и поперек (4) ориентации, $\text{см}^2/\text{кг}$

Сопоставляя полученные результаты с ранее полученными данными для изотропных полимеров (рис. 3 и 4), замечаем, что на кривой для растяжения вдоль ориентации «переходы» расположены точно так же, как и на кривой для изотропного состояния. Наоборот, кривые, соответствующие деформации в поперечном направлении, иногда «переходов» не обнаруживают, например у гуттаперчи (рис. 8). Заметно, что в начале области второго «перехода» кривые, выражающие зависимость обратного модуля от температуры, для деформаций в направлении ориентации и для деформаций в поперечном направлении пересекаются. При температурах ниже точки пересечения обратные модули растяжения по направлению ориентации несколько меньше обратных модулей поперечного растяжения. Но при температурах выше температуры второго перехода обратный модуль продольной деформации становится почти вдвое больше модуля поперечной деформации.

Для ориентированного полиэтилена при деформации в направлении ориентации при 19° обратный модуль равен $1,88 \cdot 10^{-4} \text{ см}^2/\text{кг}$, а обратный модуль при деформации в поперечном направлении равен $2,1 \cdot 10^{-4} \text{ см}^2/\text{кг}$. Разница находится в пределах ошибок опыта. Если учесть, что «второй переход» у полиэтилена лежит около -10°C [6], то оказывается, что у этого полимера обратные модули в обоих направлениях по отношению к ориен-

тации практически равны между собою, даже при температурах выше области второго перехода.

Термические удлинения кристаллических полимеров в направлении ориентации. Определены термические удлинения в направлении ориентации у полиэтилена, политетрафторэтилена (тефлона), капрона и полихлортрифторэтилена. Для сравнения исследовались также термические удлинения вытянутых аморфных полимеров. Измерения производились следующим образом.

Лента полимера 1 (рис. 10) накаливается на кварцевые крючки 2 и 3 неравной длины, изготовленные из кварцевой палочки толщиной 0,5 мм. Короткий крючок 2 неподвижно прикрепляется к жестяной пластинке 4 с отверстием. Длинный крючок 3 пропускается через это отверстие и свободно висит на исследуемой ленте. Груз 6 вешается

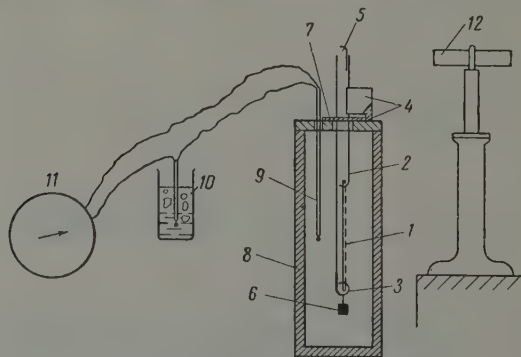


Рис. 10. Схема установки для определения термических удлинений

1—2 г предохранял ленту от продольного изгиба и обеспечивал достаточное натяжение системы. Собранный таким образом образец опускался в вертикальную электропечь 8 через отверстие в крышке 7.

Термопара 9 устанавливалась с таким расчетом, чтобы ее спай находился примерно на уровне середины образца. Другой спай термопары помещался в таящий лёд. Отсчеты температуры производились по милливольтметру. Удлинения измерялись микроскопом с десятикратным увеличением 12 по изменению расстояния между указателем 5 и верхним концом крючка 3. Указатель изготовлялся из тонкой кварцевой палочки и наклеивался на короткий крючок.

При каждой новой температуре образец перед отсчетом выдерживался в течение 10 мин. При работе с ориентированными пленками образец предварительно отпускался и выдерживался в течение 3 час. для кристаллических и 7 час. для аморфных полимеров при температуре верхнего предела области измерений.

При этом длина образца у кристаллических полимеров сокращалась до некоторой вполне определенной величины, по-видимому, равновесной для каждой температуры отпуска. У ориентированных аморфных полимеров сокращение длины не достигало равновесной величины, но через 7 час. становилось едва заметным.

После отпуска пленки проводились измерения, причем температура от измерения к измерению понижалась скачками. Затем таким же образом производились измерения в обратном порядке до температуры отпуска. Такие циклы повторялись до тех пор, пока отсчеты не становились воспроизводимыми. Обычно воспроизводимость отсчетов устанавливалась уже при втором цикле. Погрешность не превышала $\pm 2,5\%$ первоначальной длины образца.

Результаты измерений для кристаллических полимеров приведены на рис. 11—14, а для аморфных — на рис. 15. Во всех случаях по абсциссе отложены температуры, а по оси ординат — относительные удлинения.

Обращает внимание то, что при небольших температурах отпуска образцы ориентированных кристаллических полимеров, за исключением закаленного полихлортрифторэтилена, имеют область температур, в которой термические удлинения отрицательны и изменяются с температурой.

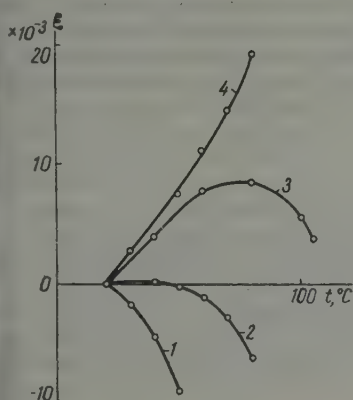


Рис. 11

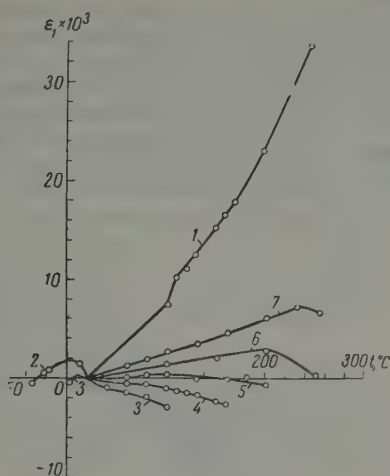


Рис. 12

Рис. 11. Термические удлинения полиэтилена: 1, 2, 3 — ориентированного при 20° и отпущенного соответственно при 40, 80 и 110° С; 4 — изотропного

Рис. 12. Термические удлинения тефлона (политетрафторэтилена): 1 — изотропного, 3, 4, 5, 6, 7 — ориентированного при 20° и отпущенного соответственно при 100, 160, 200, 250 и 270° С

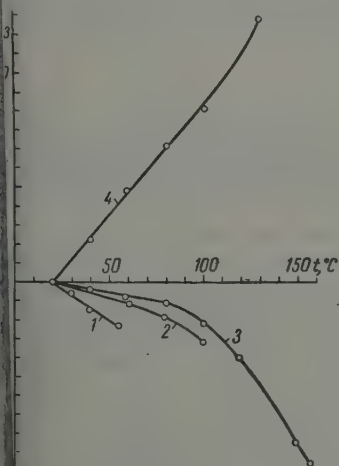


Рис. 13

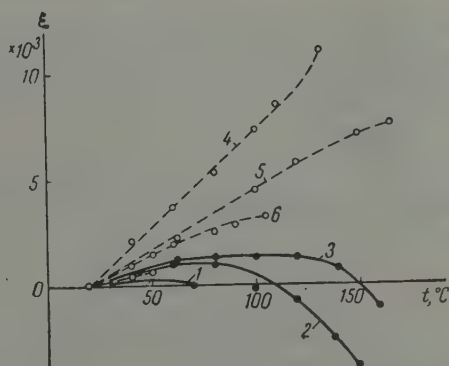


Рис. 14

Рис. 13. Термические удлинения капрона: 1, 2, 3 — ориентированного при 20° и отпущенного соответственно при 55, 100 и 158° С, 4 — изотропного

Рис. 14. Термические удлинения полихлортрифторэтилена: 1, 2, 3 — незакаленного, ориентированного при 70° и отпущенного соответственно при 70, 150 и 203° С, 4 — изотропного; 5, 6 — закаленного (быстро охлажденного из расплава), ориентированного при 20° С и отпущенного соответственно при 170 и 105° С

приблизительно линейно. При высоких температурах отпуска эти удлинения приобретают положительный знак, так как при нагревании степени ориентации уменьшается, однако и здесь величина их значительно меньше удлинений изотропного полимера. В области высоких температур изменение относительных удлинений имеет явно нелинейный характер: кривые загибаются вниз тем сильнее, чем выше температура. Интересно, что именно для этих температур все методы указывают на интенсивное уменьшение степени кристалличности.

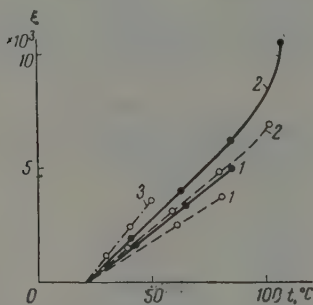


Рис. 15. Термические удлинения аморфных полимеров: 1, 2 — изотропных полистирола (1) и полиметилметакрилата (2); 1' — ориентированного при 120° полистирола (1); 2' — ориентированного при 100° полиметилметакрилата (2); 3 — вытянутой и сшитой γ -лучами пленки бутадиенстирольного каучука, СКС-30

Совершенно по-другому ведут себя аморфные полимеры. В ориентированном состоянии термическое удлинение у этих полимеров остается положительным, однако величина его тем меньше, чем сильнее ориентирована пленка.

Закристаллизованный полихлортрифторэтилен ведет себя так же, как прочие кристаллические полимеры, в то время как в закаленном состоянии (быстро охлажденный из расплава) имеет термические удлинения такие же, как у аморфных полимеров (рис. 14).

Обсуждение результатов

Использованный нами метод исследования упругих статических деформаций позволяет с достаточной точностью определить механические характеристики в области «термомеханических переходов», обнаруженных в работе [6] частотным методом.

Оказалось, что если у полимеров, содержащих неполярные группы (типа полиамидов), «первый переход» считать двойным и пронумеровать переходы в порядке возрастания температур, то каждому номеру перехода соответствует общая для всех кристаллических полимеров величина обратного модуля:

а) началу «первого перехода» соответствует обратный модуль $3 \cdot 10^{-5} \text{ см}^2/\text{кг}$,

б) началу «второго перехода» — от $6 \cdot 10^{-5}$ до $10^{-4} \text{ см}^2/\text{кг}$,

в) началу «третьего перехода» — $5 \cdot 10^{-4} \text{ см}^2/\text{кг}$.

Из всех переходов «второй переход» имеет следующие три особенности:

Переход начинается при значении обратного модуля, равном величине обратного модуля аморфных полимеров в начале области размягчения.

При нагревании ориентированных полимеров деформируемость в направлении ориентации в начале области «второго перехода» растет гораздо быстрее деформируемости в поперечном направлении, в результате обратный модуль растяжения в направлении ориентации становится почти в два раза больше обратного модуля поперечного растяжения.

При температуре «второго перехода» обратимые термические удлинения кристаллических полимеров в направлении ориентации принимают отрицательный знак.

Из более ранних работ по рентгеноструктурному анализу известно, что степень кристалличности при нагревании кристаллических полимеров обратимо уменьшается [4]. Известно также, что параметры кристаллических решеток полимеров и межмолекулярные расстояния при изменении температуры изменяются с положительным знаком: при нагревании увеличиваются, при охлаждении уменьшаются [5].

Отсюда следует, что если бы полимеры представляли собой однофазные кристаллические системы или если бы они имели какой-либо кристаллический каркас (дефектную кристаллическую фазу), то линейные размеры образца полимера изменялись бы с тем же знаком, с каким изменяются параметры кристаллической решетки.

Следовательно, отрицательные термические удлинения указывают на отсутствие непрерывности кристаллической фазы в полимерах при температурах выше области «второго перехода».

В этой связи обращают на себя внимание работы Хаузера и Марка [7], Мис и Сайлера [8], а также Парка [9]. Они показали, что кристаллизация растянутого на 200—300% каучука сопровождается удлинением образца, при этом растягивающее напряжение быстро падает до нуля. При дальнейшем охлаждении длина продолжает расти без приложения растягивающего усилия.

Принимая во внимание тот факт, что при охлаждении кристаллических полимеров их степень кристалличности возрастает и что при температурах выше области «второго перехода» у этих полимеров размеры направления ориентации спонтанно удлиняются, можно допустить аналогию между строением кристаллических полимеров и закристаллизованном каучуком, в котором, как известно, кристаллическая фаза прерывна и распределена в аморфной среде в виде локализованных микрообластей.

Повышенная деформируемость ориентированных пленок в направлении ориентации при температурах выше «второго перехода» также указывает на прерывность кристаллической фазы в полимере.

Выводы

На основании проведенных исследований можно допустить наличие процесса разобщения кристаллической фазы на отдельные локализованные микроскопические области при температурах «второго термомеханического перехода» (в порядке возрастания температур).

Поступила
30. XII. 1956

ЛИТЕРАТУРА

- А. П. Александров, Тр. Первой и Второй конференции по высокомолекулярным соединениям, М.—Л., 1945.
J. M. Goppel, Appl. Scient. Res. A., 1, 18, 1947.
P. H. Herman, A. Weidinger, J. Polymer Sci., 4, 709, 1949.
S. Krimm, A. W. Tobolsky, J. Polymers Sci., 7, 57, 1951.
C. W. Bunn, T. C. Alcock, Trans. Faraday Soc., 41, 317, 1945.
K. Schmieder, K. Wolf, Kolloid-Z. 134, 149, 1953/54.
E. A. Hauser, H. Mark, Kolloid Beihefte, 22, 63, 1926.
W. H. Smith, Ch. P. Saylor, J. Res. Nat. Bur. Standards, Washington, 24, 257, 1938.
R. P. Park, Mem. Coll. Sci. Univ. Kyoto, A. 22, 13, 1939.

ON THE STRUCTURE OF CRYSTALLINE POLYMERS

E. I. Kolobov (Moscow)

Summary

Based on the study separation of the crystalline phase into localized microscopic regions may be assumed to take place at temperatures of the second (in the order of increasing temperatures) thermo mechanical transition.

ЗАКОНОМЕРНОСТИ ЗАМЕЩЕНИЯ АТОМОВ ВОДОРОДА
В БЕНЗОЛЬНОМ ЯДРЕ АЛКИЛЬНЫМИ ГРУППАМИVIII. К ВОПРОСУ ОБ ОРИЕНТАЦИИ АЛКИЛЬНЫХ ГРУПП
ПРИ КАТАЛИТИЧЕСКОМ АЛКИЛИРОВАНИИ БЕНЗОЛА
С КИСЛОТНЫМИ КАТАЛИЗАТОРАМИ*И. А. Алексеева, В. Г. Плоснин, Е. П. Бабин и
Г. А. Алексеева*

В литературе приведено достаточно сведений о составе ди- и полиалкилбензолов, получаемых над различными катализаторами. Например, указывается, что AlCl_3 , FeCl_3 обычно дают смеси диалкилбензолов, содержащие 1,3- и 1,4- изомеры с преобладанием 1,3-изомера. Серная кислота и BF_3 дают диалкилбензолы, состоящие из 1,2- и 1,4-изомеров, с преобладанием 1,4-изомера [1—4]. В работе А. В. Топчиева и соавторов [5, 6] определялись количества 1,4-диизопропилбензола в диизопропилбензольной фракции, причем найдено, что при 50° и отношении бензола к пропилену 2 : 1 над AlCl_3 получающаяся в количестве 21% от теории диизопропилбензольная фракция состоит на 30% из 1,4-изомера, а с H_2SO_4 фракция, получающаяся в количестве 31% от алкилата, состоит на 70% из 1,4-изомера.

Образование 1,3-диалкилбензолов следует отнести к «ненормальным» явлениям, так как при обычных замещениях в ароматическом ядре, как известно, алкильные группы преимущественно ориентируют заместители в 1,2- и 1,4-положение. Это явление, с тех пор не нашло себе теоретического объяснения из-за сложности протекания реакции каталитического алкилирования. П. Г. Сергеев считает, что ориентация алкильных групп зависит от температуры, природы катализатора, природы имеющегося и замещающего радикала, продолжительности контакта и других факторов [7].

В отношении ориентации триалкилбензолов мнения различных авторов сходятся. При алкилировании с хлористым алюминием образуется преимущественно 1,3,5-изомер; с серной, фосфорной кислотами и фтористым бором — 1,2,4-изомер [6, 8, 9].

Некоторые из принятых химических методов анализа ди-, три- и высших гомологов бензола не дают точных результатов, в силу сопутствующих реакций перемещения, изомеризации, нитрования и т. п.

Так, например, Шлаттер и Кларк [10], применяя для анализа продуктов алкилирования инфракрасную спектроскопию, показали, что проведение анализа продуктов алкилирования методом сульфирования не может дать надежных результатов вследствие изомеризации алкильных групп.

В настоящей работе для исследования алкилбензольных фракций был использован метод комбинационного рассеяния. Ниже приводятся результаты исследования составов алкилатов, полученных путем алкилирования бензола и изопропилбензола пропиленом в присутствии AlCl_3 , HF , H_2SO_4 и в одной серии опытов H_3PO_4 на кизельгуре.

Экспериментальная часть

Алкилирование проводилось в трехгорлом реакторе, снабженном обратным холодильником, барботером для подачи пропилена и шиновой мешалкой (скорость 200–2500 об/мин.). Температура поддерживалась водяной баней с контактным термометром с точностью до $\pm 0,2^\circ$. До начала опыта через реактор пропусклся сухой азот. В подготовленный таким образом реактор вносилась навеска AlCl_3 , а затем и углеводород и после этого подавался пропилен. Пропилен перед началом опыта высушивался и очищался от спиртов пропусканием через серную кислоту. Скорость подачи пропилена поддерживалась на стадии проскока, т. е. она была равной скорости конверсии.

Таким образом методика проведения алкилирования была аналогичной ранее описанной [11, 12].

Для алкилирования были взяты специально очищенные и проверенные по спектру комбинационного рассеяния бензол и изопропилбензол. Пропилен получался дегидратацией спирта над окисью алюминия при температуре $450\text{--}500^\circ$.

В табл. 1 приводятся условия проведения опытов по алкилированию. Во всех опытах, за исключением 1, перемешивание прекращалось, как только заканчивалось

Таблица 1

Условия проведения опытов алкилирования

опыта	Состав реакционной смеси	Количество молей пропилена на 1 моль ароматики, n	Количество молей катализатора на 1 моль ароматики, k	Температура, °C	Продолжительность опыта
	с $AlCl_3$				
1	Бензол-пропилен	1,528	0,150	60	6 ч. 10 м.
2	Бензол-пропилен	2,012	0,075	20	1 ч. 50 м.
3	Бензол-пропилен	1,932	0,075	60	2 ч. 10 м.
4	Изопропилбензол-пропилен	0,825	0,075	60	1 ч. 05 м.
5	Бензол-пропилен	1,835	0,037	60	7 ч. 45 м.
	с HF				
6	Бензол-пропилен	2,0	1,5	20	2 ч. 20 м.
7	Изопропилбензол-пропилен	0,3	2,4	20	0 ч. 40 м.
	с H_2SO_4				
8	Бензол-пропилен	0,548	0,191	20	1 ч. 10 м.
9	Бензол-пропилен	1,112	0,191	20	3 ч. 00 м.
10	Бензол-пропилен	1,012	0,382	20	0 ч. 40 м.
11	Бензол-пропилен	2,06	0,764	20	1 ч. 30 м.

Фосфорный катализатор *

12	Бензол-пропилен			235	
----	-----------------	--	--	-----	--

* Диизопропилбензольная фракция была взята с завода, алкилирующего бензол пропиленом над фосфорным катализатором (H_3PO_4 на кизельгуре) при 235° и давлении 30 атм.

Таблица 2

Состав алкилатов, полученных при условиях, указанных в табл. 1

опытов табл. 1	Состав алкилата, % *					Состав диизопропилбензольной фракции, % *			Состав триизопропилбензольной фракции **	
	бензольные фракции	изопропилбензолов			Остаток	1,2-изомера	1,3-изомера	1,4-изомера	1,3,5-изомера	1,2,4-изомера
		моно-	ди-	три-						
1	9	35	40	11	5	Нет	70	30	100	Нет
2	6	15	31	47	1	»	67	33	100	»
3	3	19	50	25	3	»	67	33	100	»
4	2	22	53	21	2	»	62	38	100	»
5	5	16	40	34	5	Следы	55	45	100	»
6	2	25	48	24	1	14	45	41	7	93
7	Нет	68	26	2	4	17	39	44	28	72
8	42	44	12	1	1	18	39	43	26	74
9	24	38	30	5	3	13	44	43	14	86
10	17	48	27	7	1	13	41	46	10	90
11	8	21	48	21	7	10	42	48	8	92

Фосфорный катализатор

12	—	—	—	—	—	17	53	30	—	—
----	---	---	---	---	---	----	----	----	---	---

* Точность определения состава методом комбинационного рассеяния света в данном случае лежит в пределах $\pm 1,5\%$, что установлено на искусственных смесях веществ, аналитические линии которых близки по интенсивности к линиям исследуемых веществ. Поэтому все полученные данные округлены до 1%.

** Точность определения состава в данном случае ниже, чем в случае определения количеств моно- и диизопропилбензола, так как для стандартных спектров эти вещества меньшей чистоты.

Таблица 3

Результаты обработки алкилбензолов AlCl_3 при температуре в 60°C

№	Состав исходного сырья	Число молей катализатора на 1 моль ароматики	Время обработки, час	Состав алкилата, %					Остаток	Состав диизопропилбензольной фракции, %			Состав триизопропилбензольной фракции, %		
				бензольная фракция	изопропилбензолов			1,2-изомер		1,3-изомер	1,4-изомер	1,2,4-изомер			
					моно-	ди-	три-								
1	Моноизопропилбензол	0,075	4°	18	50	25	6	1	Нет	77	23	100	Нет		
2	Диизопропилбензольная фракция 198—212° *	0,056	1°	1	15	56	27	1	»	69	31	100	»		
3	То же	0,056	8°	1	16	55	27	1	»	74	26	100	»		
4	91% 1,3-изомера, 9% 1,4-изомера диизопропилбензола	0,075	4°	1	16	54	27	2	»	71	29	100	»		
5	41% 1,3-изомера 40% 1,4-изомера 19% 1,2-изомера диизопропилбензола	0,075	4°	1	15	55	26	3	»	75	25	100	»		
6	100% 1,4-изомера диизопропилбензола	0,075	4°	Нет	17	49	34	Нет	»	75	25	100	»		
7	1,3,5-триизопропилбензол + следы 1,4-диизопропилбензола	0,074	6°	»	Нет	Нет	100	»	»	Нет	Нет	100	»		

* Диизопропилбензольная фракция, выделенная при разгонке алкилатов, полученных над AlCl_3 .

ступление олефина в реактор. Продолжительность перемешивания и была принята на продолжительность опыта. В опыте 1 продолжительность перемешивания была увеличена до 6 час., хотя для поглощения пропилена в количестве, соответствующем молярному соотношению пропилен—бензол n -1,528, потребовалось время около 1 часа.

Анализ катализаторов производился следующим образом: промывые и просушенные алкилаты разгонялись на ректификационной колонке (примерно 30 теоретических тарелок) на узкие фракции, составы которых исследовались методом комбинационного рассеяния.

В табл. 2 и 3 приводятся результаты исследования фракций.

Спектры комбинационного рассеяния снимались на стеклянном трехпризмменном спектрографе ИСП-51 с камерой $F' = 270$ мм. Расшифровка спектров моно- и диизопропилбензолов производилась при помощи спектров для чистых индивидуальных соединений, полученных в Комиссии по спектроскопии Академии наук СССР [13].

Спектры для триизопропилбензолов в известной нам литературе не приводятся. Поэтому нами были выделены соответствующие изомеры из алкилатов и изучены их спектры.

Отогнанные из алкилатов триизопропилбензольные фракции снова перегонялись на ректификационной колонке (30 теоретических тарелок). В отобранной узкой фракции определялись n_D^{20} и d_4^{20} , и они хроматографировались на колонке емкостью 100 г силикагеля (был взят силикагель 30 меш с активностью 4,5 г на 100 г).

В результате такой очистки были получены довольно чистые продукты, однако чистота их ниже требуемой для стандартных веществ, поэтому спектры для них даются в качестве предварительных данных.

1, 3, 5-триизопропилбензол

Т. кип. 235 — 6° (747 мм), n_D^{20} 1,4888, d_4^{20} 0,8554, по литературным данным [14]: т. кип. 238 (760 мм), n_D^{20} 1,4882, d_4^{20} 0,8547.

$\Delta\gamma$ (см⁻¹): 266 (36, оп), 436 (16, ш), 461 (16, ш), 493 (22, ш), 542 (6, ш), 578 (12, ш), 638 (16), 718 (11)*, 821 (18, оп), 882 (80), 942 (36), 952 (38), 999 (270), 1053 (12), 1071 (5), 1103 (95, опф), 1133 (14, шф), 1172 (18, шф), 1194 (100, опф), 1236 (16, оп), 1266 (21, ш), 1303 (50, оп), 1333 (10), 1381 (31), 1445 (50), 1464 (60), 1600 (70), 1668 (4, ф)**, 2904 (3, ф)**, 2931 (1, ф)**, 2961 (7, ф)**.

1, 2, 4-триизопропилбензол ***

Т. кип. 238 — 240 (738 мм), n_D^{20} 1,4916, d_4^{20} 0,8607; по литературным данным [14]: т. кип. 244 (760 мм), n_D^{20} 1,4924, d_4^{20} 0,8620.

$\Delta\gamma$ (см⁻¹): 253 (15, оп), 441 (33, оп), 718 (80), 828 (21), 884 (44, ш), 924 (39), 960 (28), 1004 (30, ш), 1050 (50, ш), 1106 (55, шф), 1139 (13, шф), 1168 (85, шф), 1199 (55, шф), 1237 (47), 1304 (42, ш), 1351 (36, ш), 1378 (26, ш), 1447 (41), 1464 (60), 1609 (75), 2867 (4, ш)**, 2902 (3, оп)**, 2933 (1, оп)**, 2962 (5, ш)**, 3044 (1, оп)**.

Характерными аналитическими линиями для 1,3,5-изомера являются 382 (80), 942 (36), 952 (38), 999 (270), для 1, 2, 4 — 718 (80), 884 (44).

Полученные данные для 1,3,5-триизопропилбензола имеют значительное сходство со спектрами для 1,3,5-замещенных бензола, приведенными у Кольрауша [15].

Обсуждение результатов

Исследование спектров отдельных фракций показало, что алкилбензолы, отличающиеся числом алкильных групп при разности температур кипения их порядка 20°, разделяются довольно четко на колонке в 30 теоретических тарелок. Алкилбензолы с одинаковым числом алкильных

* Эта линия, по-видимому, принадлежит примеси 1, 2, 4-триизопропилбензола.

** Интенсивность отмеченных линий выражена визуально в 10-балльной шкале, причем для 1, 3, 5-изомера за 10 принята линия 999/270, а для 1, 2, 4-изомера 718/80.

*** Почти все образцы 1, 2, 4-триизопропилбензола имели флуоресценцию, в результате чего получался при съемке сильной спектр. Для поташения флуоресценции перед съемкой прибавлялось несколько капель нитробензола.

групп, в частности диизопропилбензолы, методом ректификации на указанной колонке не разделяются.

Из табл. 2 видно, что с AlCl_3 образуются только два изомера: 1,3- и 1,4-диизопропилбензолы. Причем соотношение между этими изомерами изменяется в зависимости от условий опыта, однако в нешироких пределах. Преобладающим изомером остается 1,3-диизопропилбензол.

Основным фактором, влияющим на соотношение изомеров, является количество катализатора в системе. Как видно из табл. 1 и 2, уменьшение количества катализатора в системе в 4 раза, с 0,150 до 0,037 молей на моль ароматических соединений приводит к повышению содержания 1,4-изомера в диалкилбензольной фракции в 1,5 раза — с 30 до 45%. Из этих же таблиц видно, что продолжительность контакта, по-видимому, не влияет на соотношение изомеров.

В отличие от AlCl_3 в присутствии HF , H_2SO_4 и фосфорного катализатора на кизельгуре, как видно из табл. 2, образуются все три изомера. Причем составы диизопропилбензолов, в особенности полученных с HF и H_2SO_4 , весьма близки. Во всех случаях в диизопропилбензольных фракциях преобладают 1,3- и 1,4-изомеры.

Это обстоятельство не согласуется с выводами ряда авторов [1—5], считающих, что с H_2SO_4 и BF_3 образуется преимущественно 1,4-диалкилбензол. Фтористый водород по каталитическим свойствам близок к H_2SO_4 . Следовательно, с этим катализатором нужно было бы ожидать образование также 1,4- и 1,2-изомеров. Однако оказалось, что с H_2SO_4 и HF образуется не только 1,3-изомер, но образование его идет в количествах, значительно больших, чем 1,2-изомера.

Преобладающим изомером в диизопропилбензольной фракции, полученной с фосфорным катализатором, является 1,3-изомер, содержание которого достигает 53% за счет снижения выходов 1,4-изомера. Содержание 1,2-изомера в диизопропилбензольной фракции, полученной с этим катализатором, примерно то же самое, что с HF и H_2SO_4 .

Из рассмотренных выше четырех кислотных катализаторов при проведении реакций в условиях, указанных в табл. 1, ни один не обладает особой способностью к преимущественному образованию какого-либо изомера. Надо полагать, что даже наиболее специфичный из них, AlCl_3 может в особых условиях дать все три изомера, на что указывает опыт 5, где в диизопропилбензольной фракции методом комбинационного рассеяния обнаружены следы орто-изомера. В отличие от диизопропилбензолов, значительные количества 1,2-изомера обнаружены в диэтилбензолах, полученных при алкилировании бензола этиленом в присутствии AlCl_3 при 70° . В этом случае соотношение между 1,2-, 1,3- и 1,4-изомерами были соответственно 1 : 8 : 3.

Образованию 1,2-изомера могут препятствовать пространственные затруднения. Нашими исследованиями [16] и исследованиями других авторов [17] было установлено, что чем больше и разветвленное алкильная группа, тем больше образуется 1,4-изомера. Например, при алкилировании бензола *n*-бутиленом в присутствии фтористого водорода и диалкилбензолов образуется только один 1,4-изомер [16].

Результаты табл. 2 указывают, что в процессе алкилирования не устанавливается равновесного состояния между различными изомерами. Недостаточно ясным остается также вопрос о взаимных переходах изомеров из одного вида в другой под влиянием катализатора.

С целью выяснения этих вопросов были подвергнуты обработке хлористым алюминием различные смеси диизопропилбензолов. Результаты условия проведения опытов приводятся в табл. 3.

Из табл. 3 видно, что при действии хлористого алюминия на различные смеси диизопропилбензолов идут два процесса: перераспределение алкильных групп между молекулами исходной смеси (деалкилирование) и перераспределение алкильных групп в молекуле алкилбензола, веду

дего к переходу одного изомера в другой. Оба эти процесса являются равновесными. Однако, как видно по опыту 3, за 1 час равновесие установилось только в составе алкилбензолов, отличающихся числом алкильных групп. Равновесие же между изомерами устанавливается за промежуток времени, значительно больший.

Из всех опытов с диизопропилбензолами видно, что равновесный состав устанавливается только между двумя 1,3- и 1,4-изомерами. Причем 2-изомер исчезает полностью, а изомеры 1,3- и 1,4- взаимно переходят один в другой до состояния равновесия, при котором соотношение между 1,3- и 1,4-изомерами устанавливается как 3 : 1.

Сравнивая состав диизопропилбензольных фракций в равновесном состоянии (табл. 3) с составами диизопропилбензольных фракций, полученных при алкилировании (табл. 2), видим, что в процессе алкилирования получается далеко не равновесный состав диизопропилбензолов. Очевидно, для получения равновесного состава в процессе алкилирования необходимо вести процесс с количеством катализатора, значительно большим, чем 0,15 моля на моль бензола и при более длительном контакте.

Исходя из указанного, следует заключить, что образование диизопропилбензолов с $AlCl_3$ в процессе алкилирования идет в соответствии с закономерностями ориентации, одинаковыми для всех кислотных катализаторов, и что только после образования соответствующих изомеров идет в качестве вторичного процесса — процесс перемещения алкильных групп в бензольном ядре до состояния равновесия, определяемого природой катализатора.

В связи с перераспределением алкильных групп в алкилбензолах под влиянием $AlCl_3$ было интересно сравнить состав диалкилбензольных фракций, получение которых возможно при воздействии $AlCl_3$ на моно- и триизопропилбензолы (табл. 3).

Было выяснено, что диизопропилбензолы образуются только при дезалкилировании изопропилбензола, причем состав близок к составу диизопропилбензольной фракции, полученной при дезалкилировании диизопропилбензолов.

Как видно из данных табл. 2 и 3, триизопропилбензольная фракция, образующаяся при алкилировании и дезалкилировании с хлористым алюминием, состоит из 1,3,5-триизопропилбензола.

Обработка 1,3,5-изомера при 60° в течение 6 час. не приводит ни к изомеризации, ни к дезалкилированию его. При алкилировании же с фтористым водородом и серной кислотой образуется 1,2,4- и 1,3,5-изомеры преобладанием 1,2,4-изомера. Было установлено, что чем больше изопропилбензольной фракции (повышающейся с увеличением количества алкилирующего агента), тем меньше во фракции 1,3,5-изомера и соответственно больше 1,2,4-изомера. Причем в опытах с одинаковым выходом триизопропилбензольной фракции (опыты 6 и 11, 7 и 8) совершенно одинаковое соотношение изомеров. Все это позволяет сделать вывод о весьма близком действии катализаторов HF и H_2SO_4 .

Таким образом, в отличие от образования моно- и диизопропилбензолов, образование триизопропилбензола в указанных условиях в присутствии хлористого алюминия идет необратимо.

Надо полагать, что симметричный триизопропилбензол в процессе алкилирования образуется из 1,3-диизопропилбензола, 1,4-диизопропилбензол в результате нарушенного равновесия переходит в 1,3-изомер. Так как изомеризация 1,4-изомера в 1,3-изомер идет со скоростью, меньшей, чем скорость алкилирования 1,3-изомера, то в результате этого в конце процесса алкилирования состав диизопропилбензольной фракции не отвечает состоянию равновесия, на что указывалось выше.

Выводы

1. Найдено, что диизопропилбензольная часть алкилата, получаемая с $AlCl_3$ в изученных условиях, содержит по данным спектрального анализа два изомера 1,3- и 1,4-диизопропилбензола, причем количество 1,3-изомера значительно больше 1,4-изомера.

2. Диизопропилбензольные фракции, получаемые с HF и H_2SO_4 , состоят из смеси трех изомеров, в которых количества 1,3- и 1,4-изомеров примерно равны и значительно больше, чем 1,2-изомера.

3. Диизопропилбензольная фракция, получаемая с фосфорным катализатором, содержит все три изомера с преобладанием 1,3-изомера.

4. Выяснено, что при дезалкилировании моно- и диизопропилбензолов устанавливается равновесный состав изомеров в диизопропилбензольной фракции, соответствующей отношению 1,3-изомера к 1,4-изомеру как 3:1.

5. Показано, что над $AlCl_3$ образуется только 1,3,5-триизопропилбензол, над HF и H_2SO_4 главным продуктом реакции алкилирования является 1,2,4-триизопропилбензол.

6. Впервые предпринято изучение спектров комбинационного рассеяния света для 1,3,5- и 1,2,4-триизопропилбензолов.

Уральский филиал АН СССР
Институт химии

Поступила
25. IV. 1957

ЛИТЕРАТУРА

1. A. W. Francis, Chem. Rev., 43, 257, 1948.
2. A. Verley, Bull. Soc. Chim., 3, 19, 67, 1898.
3. S. J. Slanina, F. J. Sowa, J. A. Nieuwland, J. Amer. Chem. Soc., 57, 1547, 1935.
4. C. E. Welsh, G. F. Hennion J. Amer. Chem. Soc., 63, 2603, 1941.
5. А. В. Толчиёв, Я. М. Паушкин, IV Международный нефтяной конгресс Гостехиздат, 1956, стр. 157.
6. Я. М. Паушкин, М. В. Курашев, Изв. АН СССР, Отд. хим. н., 8, 1006, 1956.
7. П. Г. Сергеев, Ж. Хим. пром-сть, 4, 16, 1956.
8. J. P. Norris, D. Rubinstein, J. Amer. Chem. Soc., 61, 1163, 1939.
9. А. В. Толчиёв, М. В. Курашев, Б. А. Кренцель, Ж. прикл. химии, 9, 976, 1955.
10. M. Schlatter, R. Clark, J. Amer. Chem. Soc., 75, 361, 1953.
11. В. Г. Плюснин, А. П. Лысенко, Е. П. Бабин, Ж. физ. химии, 31, 2229, 1957.
12. Е. П. Бабин, В. Г. Плюснин, М. И. Насакина, Изв. АН СССР, 11, 28, 1958.
13. В. Т. Алексанян, Х. Е. Стерин, А. Л. Либерман, Е. А. Михайлова, М. А. Прянишникова, Б. А. Казанский, Изв. АН СССР Сер. физ., 19, 225, 1955.
14. A. Francis, Chem. Rev., 42, 144, 1948.
15. Н. Кольрауш, Спектры комбинационного рассеяния. ИИЛ, Москва, стр. 324, 1952.
16. В. Г. Плюснин, А. П. Лысенко, Ж. физ. химии, 32, 1262, 1958.
17. C. H. Hennion, A. J. Driesch, Dll P. L., J. Organ. Chem., 17, 1102, 1952.

CORRELATIONS IN THE SUBSTITUTION OF BENZENE HYDROGEN
BY ALKYL GROUPSVIII. ON THE ORIENTATION OF ALKYL GROUPS IN THE CATALYTIC ALKYLATION
OF BENZENE WITH ACID CATALYSTS.*I. A. Alekseeva, V. G. Plusnin, E. P. Babin and G. A. Alekseeva**(Sverdlovsk)*

Summary

The diisopropylbenzene part of the alkylate obtained with AlCl_3 has been found by spectral analysis to contain under the conditions of the experiment two isomers, namely, 1,3- and 1,4-diisopropylbenzene, the former greatly exceeding the latter.

The diisopropyl fractions obtained with HF and H_2SO_4 consist of a mixture of three isomers of which the 1,3- and 1,4- are present in about equal amounts, much greater than that of the 1,2-compound.

The fraction obtained with a phosphorus catalyst contains all three isomers with the 1,3 predominant.

On desalkylation of mono- and diisopropylbenzenes an equilibrium composition of the diisopropylbenzene fraction is established, corresponding to a 1,3 to 1,4 ratio of 3 : 1.

It has been shown that with AlCl_3 only 1,3,5-triisopropylbenzene is formed, whereas in the presence of HF and H_2SO_4 the main product is 1,2,4-triisopropylbenzene.

An attempt has been made for the first time to investigate the Raman spectra of 1,3,5- and 1,2,4-triisopropylbenzene.

К ВОПРОСУ О РАЦИОНАЛЬНЫХ ПУТЯХ ИЗУЧЕНИЯ ТЕПЛОЕМКОСТНЫХ СВОЙСТВ ВОДНЫХ РАСТВОРОВ ЭЛЕКТРОЛИТОВ

А. П. Рүцков

Изучение теплоемкостных свойств растворов имеет важное значение. В особенности это относится к водным растворам электролитов, теплоемкость которых, как известно, не равна сумме теплоемкостей воды и электролита и чаще всего меньше теплоемкости соответствующей доли чистой воды C_p . Несмотря на значительные достижения в теории теплоемкости газов и кристаллических тел, основанные на квантовой теории и статистических методах расчета, теория теплоемкости растворов, так же как и жидкостей вообще, вследствие исключительной сложности их структуры, еще не поддается достаточно строгому обоснованию. Именно этим можно объяснить тот факт, что в теоретической обработке экспериментальных данных по теплоемкости растворов наиболее широкое применение получили чисто формальные методы — кажущихся и парциальных величин. Однако оба эти метода в приложении к растворам электролитов имеют весьма ограниченное значение, а во многих случаях, особенно метод парциальных теплоемкостей, приводят к величинам, далеким от физических разумных значений и имеющим чисто условный, расчетно-выпостомогательный характер.

Более рационально к обработке экспериментальных данных по теплоемкости этих растворов, по нашему мнению, можно подойти третьим путем, излагаемым ниже.

Кажущиеся молярные теплоемкости Φ_{C_p} . Основной недостаток этих величин, как и кажущихся объемов Φ_v [1—3], заключается в их негативном характере, так как все изменения в их численных значениях с изменением концентрации формально приписываются все цело электролиту (ионам), тогда как не подлежит сомнению, что наиболее изменяющимся компонентом в действительности является вода-растворитель, а значительно менее ионы. Вследствие этого молярные Φ_{C_p} сами по себе не имеют прямого физического смысла: во-первых для всех сильных электролитов величина Φ_{C_p} в разбавленных растворах имеет отрицательное значение*, а, во-вторых, электролиты с ионами малых атомных весов (например, OH^- , Li^+ , Mg^{2+}) отрицательное значение Φ_{C_p} имеют и при больших концентрациях.

Кажущиеся молярные теплоемкости приобретают физический смысл только в том случае, когда берутся их разностные (дифференциальные) функции. Таковы, например, функции $\Phi_{C_p}^\circ - \Phi_{C_p}$ и $k_{C_p} = \partial \Phi_{C_p} / \partial \sqrt{C}$ из уравнения

$$\Phi_{C_p} = \Phi_{C_p}^\circ + k_{C_p} \sqrt{C_v} \quad (1)$$

* Исключением являются соли серной и органических кислот, а также исследованные нами [4] монофосфаты калия и аммония.

Функция $\Delta\Phi_{C_p} = \Phi_{C_p}^\circ - \Phi_{C_p}$ выражает собою изменение теплоемкости раствора (по нашему мнению, изменение теплоемкости воды-растворителя) с изменением концентрации и потому позволяет сравнивать между собой отдельные электролиты и ионы и судить о силе их депрессирующего воздействия на теплоемкость раствора. Однако применение и этой функции для положительной характеристики электролитов и отдельных ионов, вследствие получения ее из негативных величин, требует известной осторожности.

Из кажушихся функций положительный характер имеет только угловой коэффициент $k_{C_p} = \partial\Phi_{C_p} / \partial\sqrt{C_v}$, выражающий собою скорость изменения теплоемкости раствора (по существу воды-растворителя) с изменением концентрации, и потому является важной характеристикой отдельных электролитов и ионов, как это более подробно показано в работах [4—5]. По предложенной нами [1] концепции для изотерм $\Delta\Phi_{C_p} = f(\sqrt{C_v})$, скачкообразное изменение значений коэффициента k_{C_p} является показателем наличия менделеевских точек излома на указанных изотермах. Парциальные молярные теплоемкости \bar{C}_{p_1} и \bar{C}_{p_2} функции вида

$$\bar{C}_{p_1} = \left| \frac{\partial C_p}{\partial n_1} \right|_{p, T, n_2} \quad \text{и} \quad \bar{C}_{p_2} = \left| \frac{\partial C_p}{\partial n_2} \right|_{p, T, n_1}$$

и равенство

$$C_p = n_1 \bar{C}_{p_1} + n_2 \bar{C}_{p_2}$$

отнюдь не выражают собою реального распределения свойства между электролитом и водой-растворителем, поскольку для этих систем совершенно не выполняются два непременных условия: 1) точное сохранение общего числа частиц (молей $n_1 + n_2$) до и после смешения и 2) точное сохранение частицами обоих компонентов своих свойств во всех точках раствора. Сохранению обоих условий препятствуют сложность и изменчивость структуры воды и тесное взаимодействие последней с ионами.

Подробное изучение парциальной молярной теплоемкости воды \bar{C}_{p_1} и такой же функции растворенного электролита \bar{C}_{p_2} в растворах монофосфата аммония, проведенное нами [5] при температурах 25, 50 и 75° в самом широком интервале концентраций, показало, что применение этих формальных функций также приводит к физически неприемлемому выводу, а именно, что в области малых концентраций уменьшение (депрессия) теплоемкости раствора приписывается почти целиком ионам (\bar{C}_{p_2} соли минимально), а в области средних концентраций почти целиком молекулам воды (\bar{C}_{p_2} достигает наибольших значений). Именно в этом кроется причина появления в расчетах и таблицах физически неприемлемых величин: отрицательных значений \bar{C}_{p_2} почти всех электролитов при малых концентрациях.

Предложение новых теплоемкостных функций. Общую теплоемкость водно-солевого раствора ΣC_p , состоящего из 1 моля (1 г-эквивалента) электролита и N молей воды, исходя из двух разобранных концепций, можно выразить в виде суммы двух слагаемых двумя способами:

1) как

$$\Sigma C_p = \Phi_{C_p} + C_{p_0} N, \quad (2)$$

где Φ_{C_p} — величина переменная, а C_{p_0} — постоянная, или

2) как

$$\Sigma C_p = \bar{C}_{p_2} + \bar{C}_{p_1} N, \quad (3)$$

где оба слагаемые — величины переменные.

Ни тот, ни другой способ, как показано, не отвечает действительному распределению теплоемкостного свойства.

Мы предлагаем третий способ, наиболее, по нашему мнению, рациональный:

$$3) \quad \sum C_p \doteq C_{p_0} + \check{C}_{p_0} N, \quad (4)$$

где C_{p_0} — эффективная молярная теплоемкость электролита в растворе — величина постоянная (при $t^\circ = \text{const}$) и $\check{C}_{p_0} N$ — величина переменная, поскольку \check{C}_{p_0} — «эффективная молярная теплоемкость воды» в растворе — меняется с концентрацией.

Таким образом, мы предлагаем концепцию, диаметрально противоположную концепции кажущихся теплоемкостей: неизменности теплоемкости ионов в растворе и изменчивости ее для воды, т. е. изменчивым компонентом мы принимаем только воду-растворитель. Концепция наша является сознательно допускаемым упрощением, позволяющим, однако, подойти к выявлению и пониманию закономерностей взаимодействия между ионами электролита и молекулами воды в растворе несравненно ближе и реальнее, чем это можно сделать при помощи негативных Φ_{C_i} и формальных \bar{C}_{p_i} , но и по существу наша концепция вряд ли далека от истинной. Так, изменчивость C_{p_0} воды в растворе подтверждается фактом неодинакового значения кажущихся и парциальных теплоемкостей электролитов в водных и неводных растворах, а также фактом колебания C_{p_0} чистой воды от 9 до 18 кал при агрегатных ее переходах. В пользу этого говорит и концепция исключительной «рыхлости» воды в смысле ее объемной неустойчивости (от давления, температуры, действия понов). Наконец, в пользу того же допущения говорят и теории «вырождения» степеней свободы молекул воды в ее растворах, например в работах Самойловича [6] и Эверта и Кальсона [7]. Допущение неизменности теплоемкости ионов в растворе или, по крайней мере, ничтожности этого изменения находит свое оправдание 1) в структурной простоте ионов (особенно элементарных) по сравнению со сложной структурой воды-растворителя и 2) в ярко выраженных фактах аддитивности атомных и ионных теплоемкостей.

Наша концепция не противоречит и более глубоким, чисто теоретическим попыткам подойти к вопросу о теплоемкости растворов электролитов с электростатической точки зрения — путем разложения теплоемкостной функции не на два, а на большее число слагаемых. Наиболее серьезная из таких попыток принадлежит Цвикки [8]. Комбинируя классические, термодинамические и электростатические представления о теплоемкости, Цвикки предлагает весьма сложное уравнение, которое, приходясь к нашему способу выражения состава водно-солевых комплексов, можно представить в таком общем виде:

$$\sum C_v = C_{v_0} N + \lambda \frac{R}{2} + T \sum_{i=1}^4 \left| \frac{\partial^2 A_i}{\partial T^2} \right|_v, \quad (5)$$

где C_{v_0} — молярная теплоемкость чистой воды, λ — число степеней свободы молекулы электролита и A_i — работа против ионных сил.

В уравнении (5) первое слагаемое $C_{v_0} N$ выражает теплоемкость чистой воды, содержащейся во всем водно-солевом комплексе, второе — $\lambda R/2$ — теплоемкость 1 моля чистого электролита в этом комплексе, третье слагаемое выражает изменение в теплоемкости того же комплекса, производимое работой против ионных сил A_i , которая, по Цвикки, в свою очередь, складывается из четырех слагаемых: A_1 — энергии разрушения ионных атмосфер (со знаком плюс), A_2 — энергии электрической поляризации молекул воды (со знаком минус), A_3 — энергии сжатия

ды (со знаком минус) и A_4 — энергии гидратации ионов (со знаком плюс). Таким образом, по Цвикки, теплоемкость всякого водно-солевого комплекса может быть выражена суммой шести отдельных тепловых эффектов:

$$\sum C_v = C_v N + \lambda \frac{R}{2} + \Delta C_{v_1} + |\Delta C_{v_2} + \Delta C_{v_3} + \Delta C_{v_4}| N. \quad (6)$$

Вычисление первых двух эффектов, очевидно, очень просто. Вычисление же эффектов ΔC_{v_1} , ΔC_{v_2} и ΔC_{v_3} Цвикки ведет довольно сложным тем. Однако, несмотря, казалось бы, на полный учет в трех последних эффектах всех видов и факторов взаимодействия между ионами растворителем (диэлектрической постоянной и дипольного момента молекул воды, радиусов и зарядов ионов, температуры, давления и плотности раствора), все же общий итог расчета не дал Цвикки сколь-нибудь удовлетворительного согласия с опытными данными и заставил его ввести четвертый эффект ΔC_{v_4} , названный им эффектом гидратации, физический смысл которого, по выражению В. К. Семенченко [9], является «таинственным» и для вычисления которого Цвикки не мог положить ничего иного, как взять для него разницу между опытными данными и суммой пяти первых эффектов в уравнении (6). Такой результат в значительной мере подрывает значение теории Цвикки в целом, для нашей концепции последняя все же может служить хорошей основой. В самом деле, суммируя три эффекта ΔC_{v_2} , ΔC_{v_3} и ΔC_{v_4} , как и относящиеся к воде-растворителю, мы получаем общий эффект $\Delta C_{v_4} N$, генуемый нами интегральной теплоемкостной депрессией воды и обогащаемый у нас через ΔC_{p_0} . Функция Цвикки $\lambda R/2$ есть не что иное, как наше ΔC_{p_0} . По Цвикки, только функция ΔC_{v_1} относится к ионам, к таковым, как эффект второго порядка, но, по его собственному изложению, эффект этот так незначителен, что сам автор пренебрегает им. Наконец, в согласии с Цвикки, для конденсированных систем разницы между ΔC_v и ΔC_p также не имеет существенного значения (особенно если в виду приближенность большинства эмпирических данных по теплоемкости), и мы можем уравнение (6) Цвикки выразить через

$$\sum C_p = C_{p_0} + C_{p_0} N - \Delta C_{p_0} N, \quad (7)$$

полностью идентичное нашему соотношению (4), так как

$$C_{p_0} N - \Delta C_{p_0} N = \tilde{C}_{p_0} N.$$

Таким образом, мы не ставим себе задачи расчленить сложную функцию $\sum C_p$ раствора по всем возможным видам молекулярных и ионных взаимодействий в растворе и тем самым чисто теоретически решить проблему теплоемкости растворов, как она решается в отношении газов и кристаллических тел. От такого решения физическая химия еще далека. Наша задача гораздо скромнее: исходя из опытных данных, расчленить функцию $\sum C_p$ лишь на два слагаемых, как это формально делается при помощи кажущихся и парциальных теплоемкостей, но решить эту задачу более рационально.

Наша основная позитивная величина $C_{p_0}^*$ в нашем понимании, как в понимании Цвикки, является «абсолютной» или «истинной» молярной теплоемкостью электролита, обусловленной лишь увеличением энергии

* В значение C_{p_0} , строго говоря, должна входить и работа расширения при постоянном давлении; однако для конденсированных систем величина эта весьма невелика (например, по Эверту и Кальсону [7] даже для воды она составляет 0,18 ккал/моль); поэтому, как и Цвикки, мы ее особо не учитываем, а принимаем ее как изменяемое слагаемое величины C_{p_0} .

атомных (ионных) движений и определяемой, следовательно, исключительно общим числом степеней свободы тепловых движений Σn :

$$C_{p_s} = C_{p_a} \Sigma n,$$

где $C_{p_a} = R/2$ — теплоемкость — величина постоянная, приходящаяся при данной температуре на одну степень свободы.

Как следствие из этого определения вытекает, что величина C_{p_s} должна не только аддитивно складываться из эффективных грам. ионных теплоемкостей $(C_{p_i})_s$ катионов и анионов

$$C_{p_s} = (C_{p_k})_s + (C_{p_a})_s,$$

но при $t^\circ = \text{const}$ она для всех элементарных ионов (и атомов) должна быть одинакова, как и для молекул одного и того же типа.

Как и Цвикки, мы исходим из допущения, что элементарные ионы совершают в растворе такие же колебательные движения с шестью степенями свободы, как и в кристаллической решетке. Численное значение теплоемкости каждого иона (об исключениях см. ниже) при $(273,1^\circ \text{ K})$ мы принимаем за $6 \text{ экал/1}^\circ \approx 3R$ (т. е. $C_{p_a} \approx 1 \text{ кал/1}^\circ$), что почти совпадает со значением в $5,98 \text{ кал}$, принятым как среднее для элементов А. Ф. Капустинским [10] по закону Дюлонга и Пти. Для стандартной температуры 25° , относительно которой мы унифицировали все справочные и наши собственные данные, учитывая среднее значение коэффициента $\partial C_{p_s}/\partial T$, мы принимаем $(C_{p_i})_s$ элементарного иона в растворе за $6,15 \text{ кал/1}^\circ$, что отвечает $C_{p_T}/2$ почти всех галогенидов щелочных металлов. Отметим также, что принятое нами значение $(C_{p_i})_s$ с большой точностью отвечает $C_{p_T}/2 = 6,14 \text{ кал}$, рассчитанному по функции Дебая на примере KBr, приводимому А. Ф. Капустинским [10].

Для полноты охвата нашими стандартными значениями $(C_{p_i})_s^{25}$ и большинства ионов и электролитов и приведения их в соответствие с экспериментальными данными, необходимо было сделать два дополнительных допущения. Во-первых, принять, что атомы водорода, кислорода и ион H^+ в растворе в интервале $0 - 100^\circ$ обладают не шестью, а лишь тремя степенями свободы (остальные три подверглись «вырождению»). Во-вторых, в отношении группы аммония допустить, что в ней эта группа имеет 15 степеней свободы.

Таблица 1

Σn	$(C_{p_i})_s$ и C_{p_s}	Изученные ионы и электролиты
3	3,075	H^+
6	6,15	Все элементарные ионы и ион OH^-
12	12,3	Уни-унивалентные соли из элементарных ионов; NaOH , KOH , LiOH , CO_3^{2-}
15	15,4	ClO_3^- , JO_3^- , NO_3^- , NH_4^+
18	18,45	Галогениды двухвалентных металлов; HNO_3 , SO_4^{2-} , PO_4^{2-}
21	21,5	Нитраты щелочных металлов и галогениды аммония
24	24,6	Сульфаты двухвалентных металлов; H_2SO_4
30	30,8	Сульфаты щелочных металлов; NH_4NO_3 , KH_2PO_4
36	36,9	Нитраты двухвалентных металлов
48	49,2	$(\text{NH}_4)_2\text{SO}_4$

В табл. 1 даем сводку условно принимаемых нами значений $(C_{pi})_s$ и C_{ps} для наиболее изученных ионов и электролитов при 25°.

В табл. 2 дается сопоставление величин C_{ps} с экспериментальными C_{pT} тех электролитов, для которых удалось получить данные из справочной литературы [11 — 15] и отдельных монографий [16 — 21]. Данные эти приведены к 25° и округлены до 0,1 кал.

Таблица 2

Электролиты	C_{ps}	C_{pT}	Электролиты	C_{ps}	C_{pT}
а) Электролиты с очень близкими значениями C_{ps} и C_{pT}					
NaCl	12,3	12,2	MgCl ₂	18,45	18,1
NaBr	12,3	12,3	CaCl ₂	18,45	18,1
NaJ	12,3	12,5	SrCl ₂	18,45	18,9
KF	12,3	11,8	SrBr ₂	18,45	19,0
KCl	12,3	12,3	BaCl ₂	18,45	18,3
KBr	12,3	12,3	ZnCl ₂	18,45	18,3
KJ	12,3	12,3	FeCl ₂	18,45	18,3
RbF	12,3	12,1			
RbCl	12,3	12,3	Среднее	18,45	18,4
RbBr	12,3	12,3			
RbJ	12,3	12,2	NaNO ₃	21,5	21,8
CsF	12,3	12,2	KNO ₃	21,5	22,2
CsCl	12,3	12,6	LiNO ₃	21,5	20,0
CsBr	12,3	12,5	AgNO ₃	21,5	22,6
CsJ	12,3	12,4			
LiCl	12,3	12,0	Среднее	21,5	21,4
LiBr	12,3	12,4			
LiJ	12,3	13,1	FeSO ₄	24,6	25,0
LiOH	12,3	11,9	CuSO ₄	24,6	24,6
Среднее	12,3	12,3	Среднее:	24,6	24,8
			K ₂ SO ₄	30,8	31,2

б) Электролиты с небольшой (менее 5%) разницей C_{ps} и C_{pT}

NH ₄ NO ₃	30,8	31,7	Na ₂ SO ₄	30,8	29,0(?)
Ca(NO ₃) ₂	36,9	35,7	(NH ₄) ₂ SO ₄	49,2	51,5
MgSO ₄	24,6	25,4			

в) Электролиты со значительной разницей C_{ps} и C_{pT}

NH ₄ Cl	21,5	19,8	Na ₂ CO ₃	24,6	26,0
KH ₂ PO ₄	30,8	28,3	K ₂ CO ₃	24,6	29,0
ZnSO ₄	24,6	27,1	CH ₃ COOK	24,7	30,5

Данные табл. 2 показывают, что из 44 изученных электролитов для 38 (86%) принятое нами C_{ps} или почти полностью совпадает с экспериментальными C_{pT} , или разница между ними никак не превышает ошибки метода определения C_{pT} , оцениваемой примерно в 2 — 5% [15]. Для сульфатов, карбонатов и ацетатов завышение C_{pT} , по-видимому, связано с появлением в их сложных анионах вращательных движений, или неточностью экспериментальных C_{pT}^* . Во всяком случае и опытные данные дают достаточные основания считать, что принятые нами в табл. 1 и 2

* Примером ненадежности экспериментальных C_{pT} вообще могут служить данные по C_{pT} для LiOH; по данным Гюнтера [11], вошедшим во все справочники, оно равно 3,2 кал, а по данным [21] оно равно 11,85, т. е. на 40% больше.

значения $(C_{Ti})_s$ и C_{r_s} являются теми постоянными («жесткими») теплоемкостными величинами, какими они как аддитивные слагаемые входят в теплоемкость различных комплексов, в том числе и водносолевых.

Функции $(C_{Ti})_s$ и C_{r_s} позволяют воспроизвести ряд других положительных теплоемкостных функций. Из них основной в наших исследованиях является функция $\Delta C_{p_0} = (C_{r_s} - \check{C}_{p_0}) N$, названная нами «интегральной теплоемкостной депрессией воды», легко вычисляемая из соотношения

$$\Delta C_{p_0} = C_{r_s} - \Phi_{C_p}. \quad (10)$$

Из закона корня квадратного для кажущихся величин, применимо как следствие и для ΔC_{p_0} [1]

$$\Delta C_{p_0} = \Delta \tilde{C}_{p_0} - k_{C_p} \sqrt{C_v}. \quad (11)$$

воспроизводятся еще две важные функции — $\Delta \tilde{C}_{p_0}$ — интегральная депрессия теплоемкости воды при крайних разведениях и $k_{C_p} = \partial \Delta C_{p_0} / \partial \sqrt{C_v}$ — угловой коэффициент, идентичный такому в уравнении (1).

Несмотря на всю простоту изложенных представлений, все же предлагаемые нами функции дают возможность с достаточной глубиной подойти к освещению таких важных вопросов теории водных растворов электролитов, как вопросы изменения структуры этих растворов под влиянием ионов и изменений температуры, вопрос о физической природе лиотропных рядов ионов, который мы уже затрагивали [2], вопрос о точках излома на кривых ΔC_{p_0} и $\Delta C_{p_0}/N = f(C_v)$, которого мы также уже касались [4], и ряд других подобных вопросов.

Обсуждение всех этих вопросов в свете предложенных функций выходит, однако, из рамок настоящего сообщения.

Здесь мы отметим лишь следующие три особо интересных заключения к которым привело нас сравнительное изучение таких теплоемкостных и объемных величин, как $\Delta \tilde{C}_{p_0}$ и Δv_0 и k_{C_p} и k_v .

1) Депрессирующее влияние ионов на теплоемкость воды-растворителя значительно (в 3—4 раза) больше соответствующего влияния ионов на объем воды, чем и объясняется отрицательное значение величин Φ_{C_p} и C_{r_s} большинства электролитов.

2) Экспериментально обнаружимое дальное действие ионных сил на C_p в водных растворах с крайним разведением определено больше (до координированных гидратных сфер), чем на v_0 (лишь до 4 сфер), т. е. максимально до 14—16 Å по радиусу на отдельный ион.

3) Все ионы можно в основном разбить на две группы: а) ионы действующие на C_p и v_0 симбатно, и б) ионы, действующие на те же две величины антибатно, причем особо резко выраженным антибатным характером взаимодействия на эти функции обладают ионы Cs^+ , NH_4^+ , Li^+ , H^+ , J^- и Br^- (усиливают депрессию ΔC_{p_0} и ослабляют депрессию Δv_0).

Выводы

1) В познании закономерностей и физической сущности взаимодействия между ионами и водой-растворителем в растворах возможность применения кажущихся теплоемкостей электролитов весьма ограничена.

2) В разрешении той же проблемы применение парциальных теплоемкостей, как величин чисто формальных, еще более ограничено.

3) Предложены новые теплоемкостные функции, способные, по мнению автора, непосредственно и наиболее рационально приблизить к пониманию ряда вопросов общей проблемы водных растворов электролитов.

ЛИТЕРАТУРА

1. А. П. Р у ц к о в, Изв. Сектора физ.-хим. анализа. ИОНХ АН СССР, 19, 192, 1949.
2. А. П. Р у ц к о в, Коллоидн. ж., 15, 284, 1953.
3. А. П. Р у ц к о в, Ж. физ. химии, 28, 402, 1954.
4. А. П. Р у ц к о в, Изв. Сектора физ.-хим. анализа. ИОНХ АН СССР, 17, 286, 1948 и 18, 139, 1949.
5. Н. К. Воскресенская и А. П. Р у ц к о в, Изв. АН СССР, Отд. хим. н., 5, 796 и 6, 895, 1940.
6. Samoilowisch, Phys. Zt d Som., 4, 843, 1933.
7. Everetta Coulson, Trans Faraday Soc., 633, 1940.
8. F. Zwicky, Phys. Z., 27, 9, 271, 1926.
9. В. К. Семенченко, Успехи химии, 5, 641, 1936.
0. А. Ф. Капустинский, Термодинамика химических реакций, ОНТИ, 1935.
1. Справочник Технич. Энцикл., т. VII, ОГИЗ, Москва, 1931.
2. Сборник физ. констант, под ред. Дорфмана и Фриша, ОНТИ, М.—Л., 1937.
3. Спутник химика, т. IV, в. 1, Тех.-хим. изд-во, Л.—М., 1940.
4. Landolt—Börnstein—Roth—Scheel, Phys-Chem. Tab., B, 1, II, 1923; Ergebn. B, 1, 1927, 2, 1931, 3, 1935—36.
5. Э. В. Брицке, А. Ф. Капустинский, ред., Термические константы, Изд-во АН СССР, 1949.
6. П. Ф. Антипин и др., Электрохимия распл. солей, ч. 1, ОНТИ, 1937.
7. А. П. Р у ц к о в, Ж. прикл. химии, 21, 820, 1948.
8. Kelly a. Moore, J. Amer. Chem. Soc., 65, 1264, 1943.
9. Stephenson a. Hooley, J. Amer. Chem. Soc., 66, 1397, 1944.
0. Stephenson a. Zettlemyer, J. Amer. Chem. Soc., 66, 1405, 1944.
1. Bauer, Jonston a. Keer, J. Amer. Chem. Soc., 72, 5174, 1950.

ON THE MOST RATIONAL APPROACHES TO THE SPECIFIC
HEAT PROPERTIES OF AQUEOUS SOLUTIONS OF ELECTROLYTES

A. P. Rutskov (Simferopol')

S u m m a r y

The potentialities of applying the apparent thermal capacities of electrolytes, which are negative quantities, in elucidating the laws and physical sense of ion-solvent water interaction in solutions are very restricted. Of still less aid in the solution, this problem can be the partial thermal capacities, as purely formal quantities devoid of real significance. New, positive thermal capacity functions have been proposed, which in the author's belief are capable of giving a direct and more rational approach to some aspects of the general problem of aqueous electrolyte solutions.

ВЛИЯНИЕ МОЛИБДАТА НАТРИЯ НА КАТАЛИТИЧЕСКИЙ РАСПАД ПЕРЕКИСИ ВОДОРОДА В ПРИСУТСТВИИ БИХРОМАТА

Е. З. Нанобашвили

В настоящей статье исследовалось совместное каталитическое действие молибдата натрия и хромата калия на распад перекиси водорода в гомогенной среде.

Экспериментальная часть

Распад перекиси водорода в гомогенной среде исследовался под действием системы: $K_2Cr_2O_7 + H_2O_2$; $K_2Cr_2O_7 + Na_2MoO_4 + H_2O$. Изучалось также влияние на каталитический распад перекиси водорода следующих факторов: 1) концентрации ионов водорода, 2) концентрации катализаторов, 3) начальной концентрации перекиси водорода, 4) влияния повторного действия катализаторов.

Скорость распада перекиси водорода измерялась газометрически при $25 \pm 0,02^\circ$ в аппарате Вальтона — Шпитальского.

Применяемая нами перекись водорода была абсолютно бескислотная $K_2Cr_2O_7$, Na_2MoO_4 и H_2SO_4 — химически чистые.

За меру каталитического действия принимались абсолютные величины средней скорости реакции или константы скоростей.

Коэффициент активности одного катализатора, т. е. активирующего его действие (в данной работе ионов молибдата) выражается следующим образом:

$$k_a = \frac{k_{2\text{сумм}} - k_{1\text{бихромат}}}{k_{1\text{бихромат}}}.$$

Концентрации растворов молибдата натрия брались соответственно концентрациям бихромата калия.

Результаты опытов по распаду перекиси водорода действием только молибдата в нейтральной среде показали, что применяемая нами концентрация молибдата $c_{Na_2MoO_4} = 0,0068 N$ в течение часа вызвала незначительное разложение перекиси водорода.

В нейтральной и кислой средах каталитическая активность молибдата (в отсутствие бихромата) в отношении распада перекиси водорода оказалась весьма незначительной.

Результаты указанных опытов находятся в полном согласии с данными аналогичных исследований Е. И. Шпитальского [1], Н. Н. Петина Г. А. Богданова [2] и Е. И. Шпитальского и Б. А. Коноваловой [3].

При совместном действии бихромата и молибдата в нейтральной среде было установлено некоторое увеличение константы скорости реакции по сравнению с константой скорости реакции, протекающей только с бихроматом. Коэффициент активности обоих катализаторов $k_a = 1,588$; коэффициент активности молибдата $k_a = 0,6$. При совместном действии указанных катализаторов в кислой среде наблюдалось замедление реакции по сравнению с реакцией, протекающей только с бихроматом, что характеризует молибдат в данной системе, как отрицательный катализатор здесь $k_a = 0,89$. Данные опытов приведены в табл. 1.

Таблица 1

$c_{\text{H}_2\text{O}_2}$	$c_{\text{K}_2\text{Cr}_2\text{O}_7}$	$c_{\text{Na}_2\text{MoO}_4}$	$c_{\text{H}_2\text{SO}_4}$	$0,4343k_m$	$\frac{c_1 - c_2}{t_2 - t_1}$	k_a бихромата	k_a молибдата
0,0810	0,00346	—	—	0,05440	0,0086	1,59	0,59
0,0810	0,00346	0,00069	—	0,0864	0,0115		
0,0810	—	0,00069	—	0,0058	0,0020		
0,0810	0,00346	—	0,2230	0,2219	0,0458	0,89	0,10
0,0810	0,00346	0,00069	0,2230	0,1992	0,0432		
0,0810	—	0,00069	0,2230	0,0018	0,0020		
0,0810	0,00346	—	2,230	0,2909	0,0428	0,00	0,10
0,0810	0,00346	0,00069	2,230	0,2360	0,0316	0,81	

Влияние концентрации ионов водорода. Результаты опытов в средах, различающихся концентрацией кислоты, показали следующее: константа скорости реакции распада H_2O_2 в кислой среде, соответствующей $c_{\text{H}_2\text{SO}_4} = 0,223 \text{ N}$, в три раза больше константы скорости реакции, идущей в нейтральной среде.

Из сравнения данных опытов, поставленных в более кислой среде при



Рис. 1. $c_{\text{H}_2\text{O}_2} = 0,1089 \text{ N}$, $c_{\text{K}_2\text{Cr}_2\text{O}_7} = 0,00346 \text{ N}$, $c_{\text{Na}_2\text{MoO}_4} = 0,00069 \text{ N}$;
 1 — $\text{H}_2\text{O}_2 + \text{K}_2\text{Cr}_2\text{O}_7 + \text{Na}_2\text{MoO}_4$; 2 — $\text{H}_2\text{O}_2 + \text{K}_2\text{Cr}_2\text{O}_7 + \text{Na}_2\text{MoO}_4 +$
 $+ \text{H}_2\text{SO}_4$ ($c_{\text{H}_2\text{SO}_4} = 0,223 \text{ N}$); 3 — $\text{H}_2\text{O}_2 + \text{K}_2\text{Cr}_2\text{O}_7 + \text{Na}_2\text{MoO}_4 + \text{H}_2\text{SO}_4$
 ($c_{\text{H}_2\text{SO}_4} = 2,23 \text{ N}$)

$c_{\text{H}_2\text{SO}_4} = 2,230 \text{ N}$, видно незначительное ускорение реакции (кривая 1 рис. 1). Следовательно, увеличение кислотности выше определенного оптимума почти не сказывается на скорости разложения перекиси водорода.

Аналогичное явление воздействия ионов водорода наблюдалось в опытах Ш. А. Шарашенидзе и И. Бугианишвили [4].

Влияние соотношения концентраций катализаторов. При постоянной концентрации молибдата натрия увеличение концентрации бихромата калия в два раза увеличивает скорость реакции в два раза в нейтральной и кислой среде.

Когда же концентрация бихромата постоянна, увеличение концентрации молибдата натрия в 10 раз в нейтральной среде увеличивает скорость реакции приблизительно в 1,5 раза, а в кислой среде — уменьшает приблизительно в 1,3 раза.

Однако при относительно большой концентрации кислоты скорость реакции более значительно увеличивается с увеличением концентрации молибдата натрия.

Влияние начальной концентрации перекиси водорода. При одинаковых концентрациях катализаторов, но изменяющейся концентрации перекиси водорода от 0,0363—0,1815 N , константы скорости почти прямолинейно возрастают при увеличении начальной концентрации перекиси водорода в нейтральной среде.

В кислой среде наблюдалась следующая картина: увеличение начальной концентрации H_2O_2 в три раза влечет за собой уменьшение константы скорости распада H_2O_2 в 2,5 раза.

Таблица 2

$c_{H_2O_2}$	$c_{K_2Cr_2O_7}$	$c_{Na_2MoO_4}$	$c_{H_2SO_4}$	$0,4343k_m$	$\frac{c_1-c_2}{t_2-t_1}$
0,0363	0,00346	0,000069	—	0,03575	0,0018
0,10890	0,00346	0,000069	—	0,0664	0,0115
0,1815	0,00346	0,000069	—	0,1394	0,0230
0,0363	0,00346	0,000069	0,2230	0,5040	0,0075
0,1089	0,00346	0,000069	0,2230	0,1992	0,0432
0,1815	0,00346	0,000069	0,2230	0,2035	0,0445

При дальнейшем увеличении начальной концентрации перекиси водорода в пять раз наблюдалась аналогичная картина. Результаты опытов приведены в табл. 2.

Влияние повторного воздействия катализаторов. Изучение кинетики повторных реакций, т. е. повторное внесение субстрата (в данном случае перекиси водорода) в реакционную смесь дает возможность отличить истинно каталитический процесс от необратимого катализа.

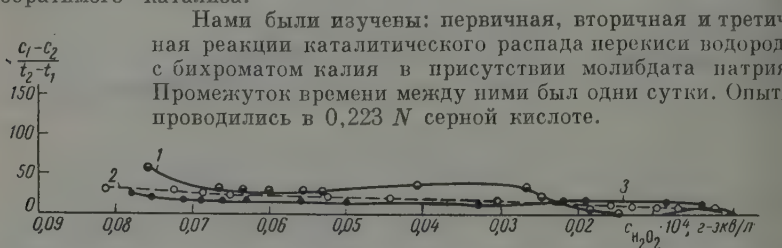


Рис. 2. $c_{H_2SO_4} = 0,223N$; 1 — первичная реакция, 2 — вторичная реакция, 3 — третичная реакция

Первичная реакция шла вначале очень быстро, и на девятой минуте стала постепенно замедляться, на пятидесятой минуте прекратилось выделение кислорода.

После окончания реакции раствор был прозрачный светло-синего-голубоватого цвета, он сохранялся в термостате в течение 24 час., через 24 часа в оставшуюся реакционную смесь была внесена новая порция перекиси водорода с таким расчетом, чтобы полученная концентрация H_2O_2 соответствовала концентрации в первом опыте.

Во второй реакции скорость распада H_2O_2 плавно уменьшалась, константа скорости реакции на 45-й минуте возросла приблизительно вдвое и оставалась постоянной до окончания реакции (100-я минута).

Раствор имел небольшой желтоватый осадок, в него была внесена новая порция H_2O_2 .

Третичная реакция шла медленно, почти аналогично вторичной реак

ии. Результаты опытов приводятся на рис. 2 с концентрациями: $c_{H_2O_2} = 0,0810 N$, $c_{Na_2MoO_4} = 0,000692 N$, $c_{K_2Cr_2O_7} = 0,00069 N$; $c_{H_2SO_4} = 0,2230 N$.

Отношение константы скорости первичной реакции к константам повторных реакций показывает изменение активности катализаторов со временем во вторичных и третичных опытах.

Из рисунка видно, что во вторичной реакции активность катализаторов спадает вдвое.

В третичной реакции активность катализаторов почти не отличается от активности вторичной реакции, что выражается в небольшом уменьшении константы скорости реакции разложения H_2O_2 .

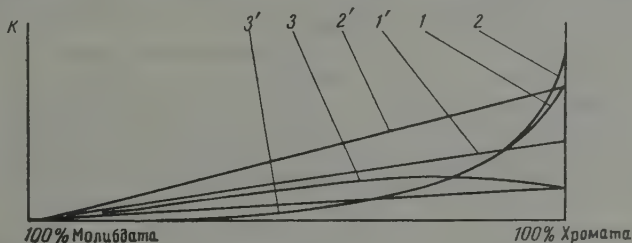


Рис. 3. Опыты: 1 — в нейтральной среде, 2 — в кислой среде, $c_{H_2SO_4} = 0,223 N$, 3 — в кислой среде, $c_{H_2SO_4} = 2,23 N$; 1', 2', 3' — линии аддитивности, соответствующие опытам 1, 2, 3

Из данных опытов видно, что катализаторы стабилизируются во времени после обработки их перекисью, так как после первичного действия имеет место увеличение константы скорости, после которого активность мало изменяется.

Сопоставлением констант скоростей каталитического действия солей молибдата и бихромата в отдельности с константой их совместного действия показывает, что аддитивности не наблюдается: кривая совместного действия указанных катализаторов лежит выше прямой линии аддитивности как в нейтральной, так и в кислой среде (рис. 3).

Таким образом, ионы молибдата проявляют в некоторой степени прототирующие действия в отношении бихромата. В данной реакции не выполняется аддитивность схемы в различных условиях кислотности среды.

Обсуждение результатов

Каталитическое разложение перекиси водорода при совместном действии молибдата и бихромата представляет собой интересный пример, в котором наглядно можно проследить возникновение промежуточных веществ, обуславливающих существование промежуточной стадии. Здесь можно предположить, что в результате взаимодействия перекиси водорода с молибдатом получаются пероксимолибдаты различного состава, обладающие различными свойствами.

Простейшие пермолибдаты соответствуют формуле $Me_2(MoO_5)$; другие пероксимолибдаты имеют более сложный состав. В частности, в известной работе П. Г. Меликишвили [5] был описан пероксимолибдат состава $2MoO_5 \cdot nH_2O$ под названием желтого пероксимолибдата, который менее устойчив, чем соответствующая соль надмолибденовой кислоты состава $2MoO_5$.

В условиях наших опытов ход реакции осложняется одновременным присутствием двух гомогенных катализаторов — бихромата и молибдата,

которые в присутствии перекиси водорода образуют пероксихроматы, пероксимолибдаты, представляющие собой активные промежуточные соединения, легко отщепляющие кислород.

В условиях равной концентрации катализаторов при катализе перекиси водорода относительно большая активность наблюдалась у пероксихромата, чем у пероксимолибдата.

Уменьшение концентрации молибдата влечет за собой увеличение константы скорости разложения перекиси водорода в кислой среде, соответствующей $c_{H_2SO_4} = 0,223 N$.

Возможно, это указывает на то, что пероксимолибдат препятствует разложению перекиси водорода. Наблюдаемый в этих случаях максимум средней скорости реакции следует приписать разложению не только пероксихромата, но и пероксимолибдата.

Что касается влияния начальной концентрации перекиси водорода при ее каталитическом распаде с бихроматом и с молибдатом, наблюдалось следующее: в кислой среде с увеличением начальной концентрации перекиси водорода константа скорости ее распада уменьшалась.

В нейтральной среде уменьшение начальной концентрации перекиси водорода вызывало значительное уменьшение константы скорости реакции (табл. 2). Таким образом, скорость реакции находится в зависимости от начальной концентрации перекиси водорода, что указывает на необратимость реакции.

Из рассмотрения данных опытов, проведенных с различной кислотностью среды (при остальных равных условиях концентрации катализаторов), сопоставление констант скоростей показывает увеличение константы скорости реакции распада перекиси водорода в кислой среде соответствующей $c_{H_2SO_4} = 0,223 N$, по сравнению с константой скорости реакции, идущей в нейтральной среде.

Активирующее действие ионов водорода нами наблюдалось почти во всех последующих опытах, однако в более кислой среде с концентрацией $c_{H_2SO_4} = 2,230 N$ константа скорости остается практически неизменной (почти равной с константой скорости реакции, протекающей в меньшей кислотности среды).

Уменьшение концентрации молибдата вызывает увеличение константы скорости реакции распада перекиси водорода в кислой среде. Эти результаты можно объяснить следующим обстоятельством: в кислой среде пероксимолибдаты переходят в соответствующие пероксимолибденовые кислоты, которые согласно исследованию Н. И. Кобозева [6] являются кинетически неактивными. Такая пассивность обусловлена сильной внутренней перегруппировкой в молекуле пероксимолибденовой кислоты в процессе нейтрализации раствора солей.

Кроме того, в кислой среде пероксихромат переходит в соответствующую кислоту, которая очень легко распадается с выделением кислорода. В результате кислая среда вызывает увеличение скорости реакции распада перекиси водорода за счет легкости разложения падхромовой кислоты. Таким образом в данном случае совместного каталитического влияния бихромата и молибдата при распаде перекиси водорода скорость реакции находится в зависимости от начальной концентрации перекиси водорода.

При повторных опытах наблюдаемое отличие первичной реакции распада перекиси водорода от последующих реакций объясняется согласно исследованию Н. И. Кобозева и Н. Н. Соколова [6] образованием свободного пероксимолибдата, за счет оставшейся перекиси водорода в первичной реакции. Наряду с образованием пероксимолибдатов образуются также пероксихроматы и соответствующие кислоты. Аналогично по положению Н. И. Кобозева [6] в пероксимолибденовой кислоте происходит внутренняя перегруппировка, в результате чего большая часть молекул переходит кинетически в неактивную форму.

В третичной реакции наблюдается неизменяемость константы скорости

распада перекиси водорода. Это мы объясняем стабильностью промежуточных продуктов пероксимолибдатов. При изучении указанных повторных реакций с изменением кинетического хода реакций (первичные и вторичные реакции), а также с зависимостью скорости реакции распада перекиси водорода от начальной концентрации перекиси, нами установлена была необратимость реакции распада перекиси водорода при комбинированном действии бихромата и молибдата.

Аналогичные исследования были проведены Г. А. Богдановым. Наши данные подтвердили исследования Г. А. Богданова [7].

Таким образом кажется правдоподобным, что механизм активации относится к тому, что катализатор (сам по себе неактивный) активирует распад перекиси водорода путем образования промежуточного продукта.

Выводы

1. Молибдат натрия практически не разлагает перекиси водорода, отсутствие бихромата как в нейтральной, так и в кислой среде. Увеличение концентрации молибдата при постоянном содержании бихромата влечет за собой возрастание реакции в нейтральной среде, а в кислой среде — ее замедление.

2. При совместном действии бихромата и молибдата увеличение начальной концентрации перекиси водорода влечет за собой ускорение реакции разложения H_2O_2 в нейтральной среде, а в кислой среде — замедление реакции.

3. Активность катализаторов бихромата и молибдата спадает со временем и, доходя до предельного значения в своей активности, остается почти неизменяемой.

4. Найдено, что в нейтральной среде прибавление MoO_4^{2-} -иона к H_2O_2 -иону увеличивает активность последнего в 1,54 раза, в кислой среде, соответствующей $c_{\text{H}_2\text{SO}_4} = 0,223 \text{ N}$, уменьшает активность в 1,11 раза, более кислой среде, соответствующей $c_{\text{H}_2\text{SO}_4} = 2,230 \text{ N}$, уменьшает ее в 1,22 раза.

5. Реакция представляет собой случай необратимого катализа, что характеризуется зависимостью скорости реакции распада H_2O_2 от начальной концентрации субстрата и изменением кинетического хода процесса разложения перекиси водорода при повторной (вторичной) реакции.

Нами были найдены отчетливые неаддитивные отношения в активности смешанных катализаторов.

Тбилисский государственный
университет
им. И. В. Сталина

Поступила
8.IV.1958

ЛИТЕРАТУРА

- Е. И. Шпитальский, А. Л. Функ, ЖРФ-ХО, ч. X, в. 1—3, 1928.
Г. А. Богданов и Н. Н. Петин, Ж. общ. химии, 12 в. 12, 598, 1942.
Е. И. Шпитальский и Б. А. Коновалова, ЖРФ-ХО, 12, в. 5, 1033, 1930.
Ш. С. Шарашенидзе и И. Бугианишвили, Тр. Тбилисск. ун-та, 20, 81, 1941.
П. Г. Меликишвили, Зап. Академии наук по физико-химическому отделу, VIII серия, т. IX, № 8, 1900.
Н. И. Кобозев и Н. Н. Соколов, Ж. физ. химии, 4, 273, 1933.
Г. А. Богданов, Ж. физ. химии, 25, 323, 1951.

THE EFFECT OF MOLYBDATE ON THE CATALYTIC DECOMPOSITION
OF HYDROGEN PEROXIDE IN THE PRESENCE OF DICHROMATE*E. Z. Nanobashvili (Tbilisi)*

S u m m a r y

Sodium molybdate practically does not decompose hydrogen peroxide, whereas it has a considerable catalytic effect, in the presence of dichromate both in neutral and acid solutions.

Increase in the initial hydrogen peroxide concentration leads to acceleration of the reaction in neutral and retardation in acid medium. The activity of the dichromate and molybdate catalysts falls off with time to a limiting value, following which it remains almost constant. The addition of MoO_4^{2-} ions to $\text{Cr}_2\text{O}_7^{2-}$ ions in neutral medium was found to activate the latter by 1.54 times and in acid medium, corresponding to $\text{C}_{\text{H}_2\text{SO}_4} = 0.2$ g. eq./liter to retard it by 1.11 times and to $\text{C}_{\text{H}_2\text{SO}_4} = 2.230$ g. eq./liter, by 1.22 times.

The reaction represents a case of irreversible catalysis, as proved by the dependence of the rate of H_2O_2 decomposition on the initial peroxide concentration and by the change in the course of the kinetics of the process on repeating the reaction.

We found definitely non-additive relations in the activity of the catalysts.

ТЕРМОДИНАМИЧЕСКАЯ ТЕОРИЯ КРИТИЧЕСКИХ ЯВЛЕНИЙ В ТРЕХКОМПОНЕНТНЫХ СИСТЕМАХ

II. О ФОРМЕ ИЗОТЕРМО-ИЗОБАРЫ СОСУЩЕСТВОВАНИЯ ДВУХ ФАЗ В ОКРЕСТНОСТИ КРИТИЧЕСКОЙ ТОЧКИ

А. В. Сторонкин и А. И. Русанов

Анализ формы кривых сосуществования в окрестности критической точки занимает одно из центральных мест в теории критических явлений бинарных системах. При переходе к тройным системам наибольший интерес представляет рассмотрение изотермо-изобарической кривой сосуществования (рисунок). Уравнение этой кривой имеет следующий вид:

$$\left(\frac{dx_2}{dx_1}\right)_{\text{сосущ. } P, T}^{(1)} = - \frac{\zeta_{11}^{(1)}(x_1^{(2)} - x_1^{(1)}) + \zeta_{12}^{(1)}(x_2^{(2)} - x_2^{(1)})}{\zeta_{12}^{(1)}(x_1^{(2)} - x_1^{(1)}) + \zeta_{22}^{(1)}(x_2^{(2)} - x_2^{(1)})}, \quad (1)$$

где ζ — молярный термодинамический потенциал Гиббса, $\equiv (\partial^2 \zeta / \partial x_i \partial x_k)_{P, T}$; x_i — молярная доля i -го компонента; P — давление; T — температура, а верхние индексы показывают номера сосуществующих фаз.

Если ввести в рассмотрение величину

$$t \equiv \frac{x_2^{(2)} - x_2^{(1)}}{x_1^{(2)} - x_1^{(1)}}, \quad (2)$$

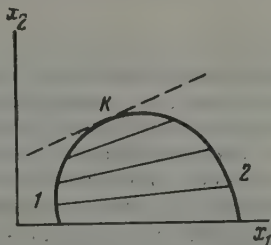
уравнение (1) можно переписать следующим образом:

$$\left(\frac{dx_2}{dx_1}\right)_{\text{сосущ. } P, T}^{(1)} = - \frac{\zeta_{11}^{(1)} + t \zeta_{12}^{(1)}}{\zeta_{12}^{(1)} + t \zeta_{22}^{(1)}}. \quad (3)$$

Величина t определяет значение тангенса угла наклона ноды, соединяющей фигуративные точки составов сосуществующих фаз на концентрационной диаграмме (рисунок).

В настоящей работе рассмотрены следующие вопросы: 1) симметричность кривой сосуществования в окрестности критической точки, 2) расположение нод в окрестности критической точки, 3) кривизна кривой сосуществования в окрестности критической точки.

Симметричность изотермо-изобары сосуществования двух фаз тройной системы в окрестности критической точки. На диаграммах сосуществования в координатах температура — состав и давление — состав в случае бинарных систем ноды располагаются параллельно друг другу. Поэтому симметричность кривых сосуществования в окрестности критической точки представляется здесь очевидным фактом, вытекающим из принципа тождественности сосуществующих фаз в критической точке. Этот факт сохраняет свою очевидность и при рассмотрении аналогичных диаграмм-трояных систем (ноды здесь располагаются в параллельных плоскостях). Иначе обстоит дело в случае концентрационных диаграмм сосуществования фаз (рисунок). Здесь, как правило, ноды распо-



Изотермо-изобара сосуществования двух фаз в тройной системе

Итак, факт сохранения своей очевидности и при рассмотрении аналогичных диаграмм-трояных систем (ноды здесь располагаются в параллельных плоскостях). Иначе обстоит дело в случае концентрационных диаграмм сосуществования фаз (рисунок). Здесь, как правило, ноды распо-

гаются под некоторым углом друг к другу и даже имеют тенденцию в ряде случаев пересекаться в одной точке (правило Д. Н. Тарасенкова) [4]. Очевидно, если эта тенденция имеет место и в окрестности критической точки, кривая сосуществования является в этой окрестности несимметричной. Поэтому в случае концентрационной диаграммы предположение о симметричности кривой сосуществования в окрестности критической точки требует, как нам кажется, специального доказательства.

Для доказательства обратимся к условиям равновесия между двумя фазами тройной системы, которые мы запишем в следующей форме:

$$\left. \begin{aligned} d\left(\frac{\partial \zeta}{\partial x_1}\right)^{(2)} &= d\left(\frac{\partial \zeta}{\partial x_1}\right)^{(1)}, \\ d\left(\frac{\partial \zeta}{\partial x_2}\right)^{(2)} &= d\left(\frac{\partial \zeta}{\partial x_2}\right)^{(1)}. \end{aligned} \right\}$$

При изотермо-изобарических условиях эти неравенства можно раскрыть следующим образом:

$$\left. \begin{aligned} \zeta_{11}^{(2)} dx_1^{(2)} + \zeta_{12}^{(2)} dx_2^{(2)} &= \zeta_{11}^{(1)} dx_1^{(1)} + \zeta_{12}^{(1)} dx_2^{(1)}, \\ \zeta_{12}^{(2)} dx_1^{(2)} + \zeta_{22}^{(2)} dx_2^{(2)} &= \zeta_{12}^{(1)} dx_1^{(1)} + \zeta_{22}^{(1)} dx_2^{(1)}. \end{aligned} \right\}$$

Отсюда можно получить систему линейных неоднородных уравнений относительно производных $dx_1^{(2)}/dx_1^{(1)}$ и $dx_2^{(2)}/dx_1^{(1)}$:

$$\left. \begin{aligned} \zeta_{11}^{(2)} \frac{dx_1^{(2)}}{dx_1^{(1)}} + \zeta_{12}^{(2)} \frac{dx_2^{(2)}}{dx_1^{(1)}} &= \zeta_{11}^{(1)} + \zeta_{12}^{(1)} \left(\frac{dx_2}{dx_1}\right)^{(1)}, \\ \zeta_{12}^{(2)} \frac{dx_1^{(2)}}{dx_1^{(1)}} + \zeta_{22}^{(2)} \frac{dx_2^{(2)}}{dx_1^{(1)}} &= \zeta_{12}^{(1)} + \zeta_{22}^{(1)} \left(\frac{dx_2}{dx_1}\right)^{(1)}. \end{aligned} \right\}$$

Решая систему (6) относительно $dx_1^{(2)}/dx_1^{(1)}$, получим

$$\left(\frac{dx_1^{(2)}}{dx_1^{(1)}}\right)_{\text{сосущ. Р, Т}} = \frac{\begin{vmatrix} \zeta_{11}^{(1)} & \zeta_{12}^{(2)} \\ \zeta_{12}^{(1)} & \zeta_{22}^{(2)} \end{vmatrix}}{\begin{vmatrix} \zeta_{11}^{(2)} & \zeta_{12}^{(2)} \\ \zeta_{12}^{(2)} & \zeta_{22}^{(2)} \end{vmatrix}} + \frac{\begin{vmatrix} \zeta_{12}^{(1)} & \zeta_{12}^{(1)} \\ \zeta_{22}^{(1)} & \zeta_{22}^{(1)} \end{vmatrix}}{\begin{vmatrix} \zeta_{11}^{(2)} & \zeta_{12}^{(2)} \\ \zeta_{12}^{(2)} & \zeta_{22}^{(2)} \end{vmatrix}} \left(\frac{dx_2}{dx_1}\right)^{(1)}_{\text{сосущ. Р, Т}}.$$

Проследим теперь, как будет изменяться правая часть выражения при переходе к критической точке, когда выполняется условие $\zeta_{ik}^{(j)} \rightarrow 0$ (верхним индексом (к) мы будем обозначать критическую фазу). Абсолютная величина первого слагаемого правой части (7) стремится к единице, поскольку определители, стоящие в числителе и знаменателе этого слагаемого, становятся тождественными в критической точке. Множитель при $(dx_2/dx_1)^{(1)}_{\text{сосущ. Р, Т}}$ во втором слагаемом правой части (7) становится неопределенным в критической точке. Однако, если числитель этого множителя равен нулю тождественно (как определитель с двумя одинаковыми столбцами), то знаменатель обращается в нуль в силу уравнения критической фазы. Поэтому при раскрытии этой неопределенности мы получим нуль.

Из сказанного следует, что вблизи от критической точки первое слагаемое правой части (7) значительно превосходит по абсолютной величине второе слагаемое, а потому и знак всей правой части (7) определяется целиком знаком первого слагаемого. Поскольку вблизи от критической

точки должно выполняться условие

$$(dx_1^{(2)} / dx_1^{(1)})_{\text{сосущ. } P, T} < 0,$$

первое слагаемое правой части (7) (точнее, его числитель, так как знаменатель положителен по условиям устойчивости) является в окрестности критической точки отрицательной величиной. Мы приходим, таким образом, к выражению

$$\left(\frac{dx_1^{(2)}}{dx_1^{(1)}} \right)_{\text{сосущ. } P, T}^{(K)} = -1. \quad (8)$$

Аналогичным образом можно получить выражение

$$\left(\frac{dx_2^{(2)}}{dx_2^{(1)}} \right)_{\text{сосущ. } P, T}^{(K)} = -1. \quad (9)$$

Условия (8) и (9) и означают симметричность изотермо-изобарической кривой сосуществования в окрестности критической точки. Эти условия играют важную роль в термодинамической теории критических явлений в тройных системах. Некоторые выводы, вытекающие из условий (8) и (9), будут изложены ниже.

Расположение нод в окрестности критической точки. При приближении к критической точке величина тангенса угла наклона ноды на изотермо-изобарической диаграмме сосуществования фаз стремится к определенному пределу, величина которого равна угловому коэффициенту касательной к изотермо-изобаре в критической точке:

$$\lim_{x_1^{(1)} \rightarrow x_1^{(K)}} t = k, \quad (10)$$

где $k = (dx_2/dx_1)_{\text{сосущ. } P, T}^{(K)}$.

Для того чтобы ответить на вопрос, как будут располагаться ноды в окрестности критической точки, нам нужно обратиться к исследованию производной $(dt/dx_1^{(1)})_{\text{сосущ. } P, T}$. Дифференцируя левую и правую части (2) по $x_1^{(1)}$ вдоль кривой сосуществования, получим

$$\left(\frac{dt}{dx_1^{(1)}} \right)_{\text{сосущ. } P, T} = \frac{\frac{dx_2^{(2)}}{dx_1^{(1)}} - \left(\frac{dx_2}{dx_1} \right)^{(1)} - t \left(\frac{dx_1^{(2)}}{dx_1^{(1)}} - 1 \right)}{x_1^{(2)} - x_1^{(1)}}, \quad (11)$$

знаменатель правой части выражения (11) обращается в нуль в критической точке. Если использовать условия симметричности (8) и (9), легко заметить, что числитель правой части этого выражения также стремится к нулю при приближении к критической точке. Поэтому все выражение становится неопределенным в критической точке. Чтобы раскрыть эту неопределенность, продифференцируем числитель и знаменатель правой части выражения (11) по $x_1^{(1)}$ вдоль кривой сосуществования. Переходя затем к пределу в критической точке с учетом условий симметричности кривой сосуществования, мы придем к следующему выражению:

$$\left(\frac{dt}{dx_1^{(1)}} \right)_{\text{сосущ. } P, T}^{(K)} = -\frac{1}{4} \left\{ \left[\frac{d^2 x_2^{(2)}}{d(x_1^{(1)})^2} \right]^{(K)} - \left[\frac{d^2 x_2}{dx_1^2} \right]^{(K)} - k \left[\frac{d^2 x_1^{(2)}}{d(x_1^{(1)})^2} \right]^{(K)} \right\}. \quad (12)$$

Теперь используем очевидное соотношение:

$$\frac{dx_2^{(2)}}{dx_1^{(1)}} = \frac{dx_2^{(2)}}{dx_1^{(2)}} \frac{dx_1^{(2)}}{dx_1^{(1)}}.$$

Продифференцируем его по $x_1^{(1)}$ и перейдем к пределу в критической точке, учитывая условия симметричности (8) и (9). В результате получим

$$\left[\frac{d^2 x_2^{(2)}}{d(x_1^{(1)})^2} \right]^{(K)} = \left[\frac{d^2 x_2}{dx_1^2} \right]^{(K)} + k \left[\frac{d^2 x_1^{(2)}}{d(x_1^{(1)})^2} \right]^{(K)}. \quad (12)$$

Из сравнения (12) и (13) следует, что производная, стоящая в левой части (12), равна нулю:

$$\left(\frac{dt}{dx_1^{(1)}} \right)_{\text{сосущ. } P, T}^{(K)} = 0. \quad (14)$$

Условие (14), являющееся прямым следствием условий симметричности (8) и (9), означает, что в окрестности критической точки ноды располагаются параллельно друг другу. Следовательно, наблюдающаяся у целого ряда систем тенденция к пересечению нод в одной точке не может иметь место в непосредственной близости от критической точки.

Кривизна в критической точке изотермо-изобары сосуществования двух фаз. Для вычисления кривизны кривой сосуществования в критической точке необходимо знать величины первой и второй производных от x_2 по x_1 в критической точке. Выражение для первой производной легко получить из уравнения (1), если числитель и знаменатель правой части (1) поделить на $x_1^{(2)} - x_1^{(1)}$ и перейти к пределу в критической точке. Это выражение имеет следующий вид [3]:

$$k \equiv \left(\frac{dx_2}{dx_1} \right)_{\text{сосущ. } P, T}^{(K)} = - \frac{\zeta_{12}^{(K)}}{\zeta_{22}^{(K)}}. \quad (15)$$

Для того чтобы получить выражение для второй производной от x_2 по x_1 на кривой сосуществования в критической точке, нужно продифференцировать по $x_1^{(1)}$ левую и правую части уравнения (1), затем, освободившись от неопределенности, еще раз продифференцировать по $x_1^{(1)}$ числитель и знаменатель правой части полученного выражения и перейти к пределу в критической точке, используя условия (8), (9), (10) и (14). Воспользовавшись символической формой записи, можно представить окончательный результат в следующем виде:

$$\left(\frac{d^2 x_2}{dx_1^2} \right)_{\text{сосущ. } P, T}^{(K)} = - \frac{\left(\frac{\partial}{\partial x_1} + k \frac{\partial}{\partial x_2} \right)^4 \zeta^{(K)}}{3 \left(\frac{\partial}{\partial x_1} + k \frac{\partial}{\partial x_2} \right)^2 \left(\frac{\partial \zeta}{\partial x_2} \right)^{(K)}}. \quad (16)$$

Выражение, стоящее в знаменателе правой части (16), конечно и отлично от нуля. Знак этого выражения определяет тип критической точки в отношении концентрации второго компонента [3]. Выражение, стоящее в числителе правой части (16), согласно условиям устойчивости критических фаз, положительно и отлично от нуля [4]. Из опыта хорошо известно, что величина k также конечна и отлична от нуля. Поэтому можно утверждать, что кривизна изотермо-изобарической кривой сосуществования двух фаз тройной системы имеет в критической точке, вообще говоря, конечное и отличное от нуля значение.

Аналогичное утверждение может быть сформулировано и для других кривых сосуществования, лежащих в различных сечениях изобарическо-или изотермической поверхностей сосуществования двух фаз тройной системы.

Интересно отметить, что вывод об отличности от нуля кривизны кривых сосуществования в критической точке не может быть получен так просто в теории бинарных систем. В выражениях для вторых производных

т T или P по x_1 , в случае бинарных систем входит величина $(\partial^4 \zeta / \partial x_1^4)_{P,T}^{(k)}$, которая, согласно условиям устойчивости критической фазы, может принимать либо положительное, либо нулевое значение. Поэтому исследование формул для вторых производных от T или P по x_1 в критической точке на кривых сосуществования в случае бинарных систем [5] еще не дает уверенности в том, что кривизна этих кривых отлична от нуля в критической точке. Для доказательства отличности от нуля кривизны кривых сосуществования в критической точке в теории бинарных систем привлекаются дополнительные аргументы, например данные о скачках теплоемкости [6].

Иначе обстоит дело в случае тройных систем. Здесь утверждение об отличности от нуля кривизны кривых сосуществования в критической точке является следствием условий устойчивости критической фазы [3, 4]. Поскольку величины скачков теплоемкости и других вторых производных термодинамического потенциала при пересечении кривой сосуществования в критической точке непосредственно связаны с величиной кривизны кривой сосуществования в критической точке (это положение было впервые показано И. Р. Кричевским [7] на примере бинарных систем), можно утверждать, что эти величины скачков имеют в случае тройных систем, вообще говоря, конечные и отличные от нуля значения.

Таким образом, вывод о конечности величин скачков вторых производных термодинамического потенциала при пересечении кривой сосуществования в критической точке является в случае трехкомпонентных систем результатом, вытекающим из термодинамической теории.

Выводы

1. Доказана симметричность изотермо-изобары сосуществования двух фаз тройной системы в окрестности критической точки, и обсужден вопрос расположении нод в окрестности критической точки.
2. Показано, что кривизна изотермо-изобары сосуществования фаз величины скачков вторых производных термодинамического потенциала имеют в критической точке тройной системы, вообще говоря, конечные отличные от нуля значения.

Ленинградский государственный
университет им. А. А. Жданова

Поступила
2. VI. 1958

ЛИТЕРАТУРА

1. Д. Н. Тарасенков и И. А. Паульсен, Ж. общ. химии, 7, 2143, 1937; 8, 76, 1938.
2. Н. А. Измайлови А. К. Франке, Ж. физ. химии, 29, 120, 263, 620, 1955.
3. А. И. Русанов, Вестн. ЛГУ, № 4, 84, 1958.
4. А. В. Сторонкин и А. И. Русанов, Ж. физ. химии, 34, 530, 1960.
5. G. Rehage, Z. Naturforsch., 10a, 4, 300, 1955.
6. И. Р. Кричевский и Н. Е. Хазанова, Ж. физ. химии, 29, 1087, 1955.
7. И. Р. Кричевский, Докл. АН СССР, 83, 435, 1952.

THERMODYNAMIC THEORY OF CRITICAL PHENOMENA IN THREE COMPONENT SYSTEMS

II. ON THE SHAPE OF THE ISOTHERM AND ISOBAR CURVE OF TWO-PHASE COEXISTENCE IN THE VICINITY OF THE CRITICAL POINT

A. V. Storonkin and A. I. Rusanov (Leningrad)

Summary

In the paper the proof is given of the symmetry of the isotherm and isobar curve of coexistence in the vicinity of the critical point. It follows from the conditions of symmetry at the nodes in the neighborhood of the critical point are arranged parallel to each other. The curvature of the coexistence curve has been shown to have a finite non-zero value at the critical point.

О ГОЛИ САМОПРИСПОСОБЛЕНИЯ В ПОЛЯРИЗАЦИОННЫХ ИЗМЕРЕНИЯХ ПРИ ЭЛЕКТРООСАЖДЕНИИ МЕТАЛЛОВ

З. А. Соловьева и А. Т. Ваграмян

При изучении механизма электродных процессов методом снятия поляризационных кривых в случае электроосаждения металла часто встречаются с исключительной невоспроизводимостью, причины которой неоднократно обсуждались в литературе [1]. Как известно, одной из основных причин является неоднородность поверхности электрода: изменение активной растущей части поверхности в процессе электроосаждения металла [2].

При изучении роста отдельных кристаллов серебра было обнаружено явление самоприспособления растущей поверхности, заключающееся в стремлении к сохранению постоянства величины поверхности при изменении режима электролиза [3]. Например, при увеличении силы тока в цепи растущая поверхность увеличивается, а при уменьшении — уменьшается до восстановления определенной величины плотности тока. Таким образом, истинная плотность тока, устанавливающаяся на катоде при разных силах тока в цепи, сохраняется постоянной, причем величина ее определяется скоростью пассивирования в данных условиях. Соответственно этому и величина катодной поляризации меняется при каждой заданной силе тока так, что установившееся значение ее сохраняется постоянным при разных заданных плотностях тока [4]. Измерение же установившихся значений поляризации не может вскрыть зависимость катодной поляризации от плотности тока.

При образовании поликристаллических осадков металла также можно наблюдать изменение растущей поверхности при изменении силы тока. Например, при электроосаждении меди из сернокислых растворов с добавкой желатина наблюдалось увеличение растущей поверхности при увеличении тока и сохранение постоянства истинной плотности тока в некотором интервале, при этом величина катодной поляризации также сохранялась неизменной [5].

В данной работе приводятся результаты исследования изменения катодной поляризации при электроосаждении цинка в результате самоприспособления растущей поверхности, выраженном более или менее сильной зависимости от скорости пассивирования поверхности при адсорбции поверхностно-активных веществ.

Экспериментальная часть

Электроосаждение цинка производилось из растворов ZnSO_4 различной концентрации с добавками октилового или бутилового спирта на платиновом микрокатоде, предварительно покрытом электролитическим слоем цинка в отдельной ячейке из раствора 1 N ZnSO_4 без добавок. Катодная поляризация измерялась посредством усилителя с электрометрическим входом и короткопериодного гальванометра [6].

На рис. 1 представлены кривые изменения величины начальной η_i и установившейся $\eta_{i\infty}$ поляризации катода в зависимости от кажущейся плотности тока, рассчитанной на геометрическую поверхность катода ($7 \cdot 10^{-4} \text{ см}^2$). Кривые получены при электроосаждении цинка из раствора 4 N ZnSO_4 с добавкой $2,5 \cdot 10^{-4} \text{ моль/л}$ октилового спирта при 18° . Начальная поляризация измерялась непосредственно после погружения катода в электролит без предварительной выдержки его до включения тока. Для каждой плотности тока применялся свежепокрытый катод с тем

обы исходная величина активной поверхности была каждый раз одинакова. Из рис. 1 видно, что при низких плотностях тока (примерно до 10 mA/cm^2) $\eta_{t=0}$ ниже $\eta_{t=\infty}$, а при больших плотностях тока $\eta_{t=0}$ выше ∞ , т. е. катодная поляризация увеличивается или уменьшается по мере протекания электролиза в зависимости от исходной плотности тока. Кроме того, приведенные кривые наглядно показывают, что в то время как $\eta_{t=0}$ возрастает при увеличении плотности тока, $\eta_{t=\infty}$ остается постоянным до плотности тока 40 mA/cm^2 , затем тоже начинает увеличиваться с плотностью тока.

Очевидно, что сохранение постоянства установившегося значения катодной поляризации в интервале плотностей тока от 0 до 40 mA/cm^2 является результатом самоустановления на электроде одинаковой истинной плотности тока вследствие изменения величины растущей поверхности. Действительно, при исследовании поверхности микроэлектрода под микроскопом можно видеть, что при низких плотностях цинковый осадок представляет собой отдельный островок, занимающий очень незначительную часть катодной поверхности. По мере увеличения кажущейся плотности тока поверхность катода, на которой происходит заданное осаждение металла, увеличивается, и при значительных плотностях тока на поверхности катода уже нельзя заметить участков, на которых нет осадка.

Таким образом, можно видеть, что в процессе электроосаждения цинка в растворе $4N \text{ ZnSO}_4$ с добавкой октилового спирта в процессе электролиза происходит самоприспособление величины растущей поверхности к условиям электролиза и установление постоянной плотности тока. По-видимому, установившееся значение катодной поляризации $\eta_{t=\infty}$, меняющееся в интервале плотностей тока от 0 до 40 mA/cm^2 , соответствует такой истинной плотности тока, которая обеспечивает равенство между скоростью осаждения металла и скоростью пассивирования. Именно, что при изменении скорости пассивирования можно наблюдать соответствующее изменение установившейся скорости осаждения (по изменению установившейся поляризации $\eta_{t=\infty}$). В самом деле, в менее концентрированном растворе ZnSO_4 , где скорость адсорбции октилового спирта увеличивается [7], величина $\eta_{t=\infty}$ значительно возрастает.

На рис. 2 приведена зависимость $\eta_{t=0}$ и $\eta_{t=\infty}$ от плотности тока для раствора $1N \text{ ZnSO}_4$, насыщенного октиловым спиртом, показывающая увеличение $\eta_{t=\infty}$ почти в два раза. Из рис. 2 можно также видеть, что в случае $1N$ раствора установившееся значение поляризации $\eta_{t=\infty}$ сохраняется постоянным во всем изученном интервале плотностей тока (от 0 до 80 mA/cm^2), тогда как в растворе $4N \text{ ZnSO}_4$ (рис. 1), начиная с 10 mA/cm^2 , постоянство $\eta_{t=\infty}$ нарушается. Это говорит о том, что для сохранения постоянства $\eta_{t=\infty}$ необходима достаточно высокая скорость адсорбции поверхностно-активных молекул, чтобы вновь образующаяся поверхность успевала пассивироваться. Известно, что скорость адсорбции уменьшается с уменьшением длины углеводородной цепочки в гомологическом ряду спиртов [6]. Из кривых рис. 3, полученных в растворе $1N \text{ ZnSO}_4$ с добавкой бутилового спирта ($0,3 \text{ моль/л}$), можно видеть, что, действительно, в этом случае постоянство $\eta_{t=\infty}$ сохраняется в очень не-

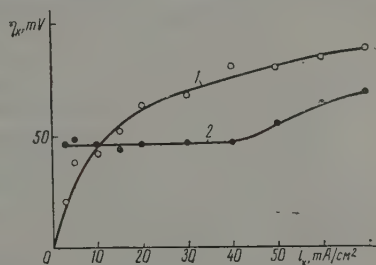


Рис. 1. Зависимость катодной поляризации от плотности тока при электроосаждении цинка из раствора $4N \text{ ZnSO}_4 + 2,5 \cdot 10^{-4} \text{ моль/л}$ октилового спирта: 1 — начальная поляризация $\eta_{t=0}$; 2 — установившаяся поляризация $\eta_{t=\infty}$

большом интервале плотностей тока (от 0 до 10 мА/см^2). Наконец, при отсутствии специально введенных поверхностно-активных веществ в растворе ZnSO_4 , когда пассивирование поверхности цинка вследствие адсорбции следов за разливаний выражено весьма слабо, вообще нельзя наблюдать постоянство $\eta_{l=\infty}$ при различных плотностях тока. Из рис. 4 видно, что при этом происходит лишь уменьшение $\eta_{l=\infty}$ по сравнению с $\eta_{l=0}$ вследствие увеличения растущей поверхности.

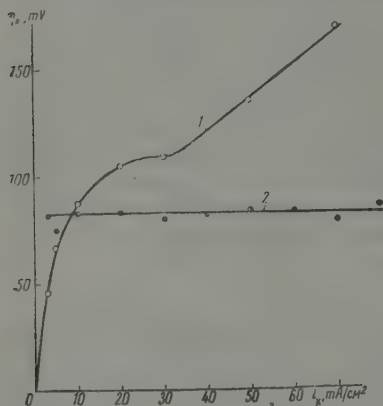


Рис. 2. Зависимость катодной поляризации от плотности тока при электроосаждении цинка из раствора $1N \text{ZnSO}_4 + 2,5 \cdot 10^{-3}$ моль/л октилового спирта: 1 — $\eta_{l=0}$; 2 — $\eta_{l=\infty}$

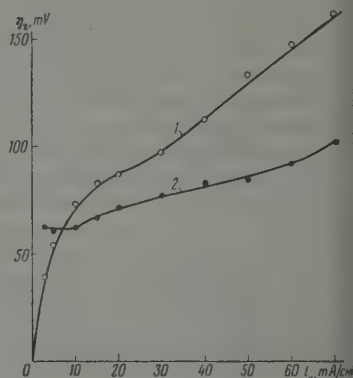


Рис. 3. Зависимость катодной поляризации от плотности тока при электроосаждении цинка из раствора $1N \text{ZnSO}_4 + 0,3$ моль/л бутилового спирта: 1 — $\eta_{l=0}$; 2 — $\eta_{l=\infty}$

Из изложенного следует, что при электроосаждении поликристаллических осадков цинка можно наблюдать самоприспособление растущей поверхности, которое резко выражено при достаточно высокой скорости

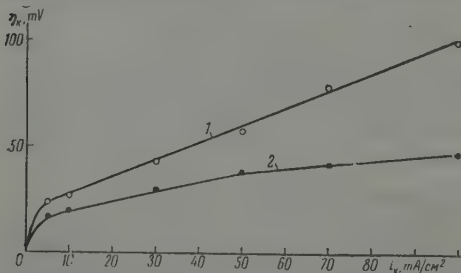


Рис. 4. Зависимость катодной поляризации от плотности тока при электроосаждении цинка из $4N$ раствора ZnSO_4 без добавок: 1 — $\eta_{l=0}$; 2 — $\eta_{l=\infty}$

пассивирования металла в условиях электролиза и которое влечет за собой изменение катодной поляризации во времени и вносит неопределенность, к каким плотностям тока следует отнести измеренные величины.

Необходимо также отметить, что характер изменения катодной поляризации с момента включения тока (в сторону повышения величины поляризации или понижения) определенным образом связан с явлением самоприспособления, а также со скоростью пассивирования. Из рис. 1 следует, что при невысоких плотностях тока ($< 10 \text{ мА/см}^2$) катодная поляризация возрастает по мере электролиза до установившегося значения ($\eta_{l=0} < \eta_{l=\infty}$), а при высоких плотностях, наоборот, уменьшается ($\eta_{l=0} > \eta_{l=\infty}$). Эти данные относятся к случаю, когда свежепокрытый катод не был выдержан в растворе до включения тока. Если же ток включен после некоторого вре-

выдержки катода в растворе без тока, то и при невысоких плотностях тока можно наблюдать не увеличение, а уменьшение поляризации во времени, причем при продолжительной выдержке и при не очень малых плотностях тока это уменьшение будет скачкообразным. Как видно из с. 5, в зависимости от продолжительности выдержки катода в растворе без тока при постоянной плотности тока можно наблюдать и увеличение, и уменьшение поляризации со временем электролиза. Вероятно, поверхность катода при небольшой выдержке τ не успела значительно заполнить адсорбируемыми молекулами вследствие невысокой скорости сорбции и продолжает пассивироваться под током, а при большом τ , когда $\eta_{t=0} > \eta_{t=\infty}$, произошло слишком большое пополнение поверхности, так что скорость осаждения стала больше скорости адсорбции, и поэтому растущая поверхность увеличивается в процессе электролиза до восстановления равенства между скоростью осаждения и скоростью пассивирования.

В зависимости от скорости адсорбции поверхностно-активного вещества (а, следовательно, его концентрации и состава раствора), заданной плотности тока, исходного состояния поверхности катода, времени нахождения его в растворе до включения тока и т. п. условий характер изменения поляризации во времени может быть различным. Следовательно, можно сказать, что повышение или понижение катодной поляризации в процессе электроосаждения металла характеризует лишь соотношение между начальной растущей поверхностью катода и устанавливающейся зависимостью от условий электролиза (состава раствора, природы поверхностно-активного вещества, плотности тока). Это следует учитывать при изучении влияния потенциала катода на адсорбцию поверхностно-активных веществ, чтобы не впасть в ошибку при выяснении того, способствующее изменение потенциала электрода процессу адсорбции при электроосаждении металла или, наоборот, затрудняет.

Приведенные результаты по электроосаждению цинка показывают, с какой осторожностью следует относиться к значениям катодной поляризации, получаемым при электроосаждении металлов из растворов с добавками поверхностно-активных веществ, где имеет место самоприспособление растущей поверхности к условиям электролиза и, в частности, к скорости пассивирования. Действительно, с одной стороны, установленное значение поляризации, которым чаще всего пользуются, относится к неопределенной плотности тока, величина которой зависит от скорости пассивирования, и которая может сохраняться постоянной в большей или меньшей степени при различных плотностях тока. С другой стороны, величина начальной поляризации определяется исходной активностью поверхности катода, величина которой зависит от скорости адсорбции поверхностно-активного вещества в данных условиях, времени нахождения катода в растворе до включения тока и от того, продолжился ли уже электролиз в данном растворе с добавкой, или катод является свежепокрытым. При снятии поляризационной кривой в зависимости от плотности тока на одном и том же катоде (путем последовательного повышения или понижения плотности тока) начальные значения поляризации будут относиться к различным величинам активной поверхности, которые устанавливаются в результате самоприспособления.

В заключение нужно отметить, что, как показывают приведенные экспериментальные данные, изучая механизм электродных процессов в присутствии и отсутствие поверхностно-активных веществ, совершенно

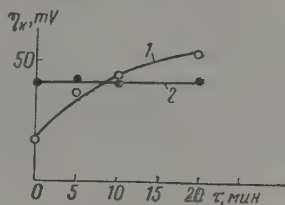


Рис. 5. Зависимость катодной поляризации от времени предварительной выдержки катода до включения тока в 4N растворе $\text{ZnSO}_4 + 2,5 \cdot 10^{-4}$ моль/л октилового спирта: 1 — $\eta_{k,t=0}$; 2 — $\eta_{k,t=\infty}$. Плотность тока 5 мА/см^2

необходимо учитывать различие величины активной, растущей поверхности электрода. Так как из приведенных результатов видно, что в зависимости от скорости измерения потенциала величина поляризации меняется самым различным образом, то форма кривой зависимости поляризации от плотности тока может быть различной в зависимости от скорости снятия кривой. Следовательно, трактовка экспериментальных результатов может привести к ошибочным суждениям о механизме электрохимического процесса, особенно в присутствии поверхностно-активных веществ.

Выводы

1. Установлено явление самоприспособливания растущей поверхности к скорости пассивирования при электроосаждении поликристаллических осадков цинка.
2. Показано влияние изменения поверхности при электроосаждении цинка вследствие самоприспособления, особенно в присутствии поверхностно-активных веществ, на измерение поляризации, вызывающее искажение формы поляризационных кривых в зависимости от скорости снятия.
3. Показано, что характер изменения катодной поляризации в процессе электролиза (уменьшение ее во времени или возрастание) зависит от соотношения между величиной исходной активной поверхности и величиной установившейся растущей поверхности, определяемой скоростью пассивирования и условиями электролиза.

Поступила
3.VI.1958

ЛИТЕРАТУРА

1. I. Erday-Gruz, M. Volmer, Z. phys. Chem., A, **157**, 165, 1934; А. Т. Ваграмян, Тр. II конференции по коррозии металлов, т. I, 1940; А. Г. Самарцев, К. С. Евстропьев, Ж. физ. химии, **5**, 854, 1934; П. Ф. Михалец, Изв. АН СССР, Отд. мат. естеств. н., **789**, 1937; Hoekstra, Coll. trav. chim. Tchechoslov., **6**, 17, 1937; К. М. Горбунова, Тр. II конференции по коррозии металлов, т. I, 1940; О. Есин, А. Левин, Ж. общ. химии, **5**, 1302, 1935.
2. А. Т. Ваграмян, Тр. II конференции по коррозии металлов, т. I, 1940; Электроосаждение металлов, М., 1950.
3. A. A. ten, L. Boerlage, Recueil trav. chim., **39**, 720, 1920; А. Г. Самарцев, Докл. АН СССР, **2**, 478, 1935; А. Т. Ваграмян, Тр. II конференции по коррозии металлов, т. I, 1940; К. М. Горбунова, А. И. Жукова, Ж. физ. химии, **23**, 605, 1949; К. М. Горбунова, П. Д. Данков, Ж. физ. химии, **23**, 616, 1949.
4. А. Т. Ваграмян, Ж. физ. химии, **10**, 443, 1937; Докл. АН СССР, **22**, 24, 1939.
5. Ю. В. Лызлов, Т. А. Мечковская, А. Г. Самарцев, Ж. физ. химии, **31**, 2720, 1957.
6. А. Т. Ваграмян, З. А. Соловьева, Методы исследования процессов электроосаждения металлов, М., 1955.
7. З. А. Соловьева, Ж. физ. химии, **33**, 537, 1960.

THE EFFECT OF SELF-ADJUSTMENT ON POLARIZATION MEASUREMENTS DURING THE ELECTRODEPOSITION OF METALS

S. A. Solovieva and A. T. Vagramyan (Moscow)

Summary

It has been shown by the electrodeposition of zinc that in the process of electrolysis with increasing current density the growing part of the surface increases so that the true current density remains constant (the law of self-adjustment). It has been found that the greater the rate of electrode passivation during the electrodeposition by the adsorption of surface active substances the faster the self-adjustment of the growing surface. The direction and rate of change of polarization with time may vary within very wide limits depending upon the ratio between the initial active and self-adjusting growing surface. Thus, depending upon the rate of measurement of the polarization, its value will correspond to different true current densities, and hence the shape of the E-i polarization curve will also depend upon the rate of its recording.

РАДИОЛИЗ И РАДИАЦИОННОЕ ОКИСЛЕНИЕ
ДИИЗОПРОПИЛОВОГО ЭФИРА

В. В. Сараева, Б. Я. Ладыгин и Нам Чан Сун

Радиационно-химические изменения, происходящие в простых эфирах, привлекают внимание в связи с их использованием в качестве экстрагентов радиоактивных веществ. В появившихся недавно статьях Ньютона [2] приведены результаты систематического изучения радиолиза обезжиренных эфиров различного строения, в которых основное внимание было уделено составу газообразных продуктов. В нашей работе исследовались продукты в жидкой фазе, образующиеся в присутствии и в отсутствие кислорода при 25° С. В качестве источника излучения использовалась рентгеновская установка РУП-1М, работавшая в режиме 200 кВ и 20 мА.

При облучении диизопропилового эфира в присутствии азота образуются карбонильные соединения [3] и спирты [4]. Зависимости накопления этих продуктов от времени приведены на рис. 1. Как показал опыт, начальный выход карбонильных соединений очень сильно зависит от чистоты исходного эфира, особенно влияя примеси карбонильных соединений, в присутствии которых выход снижается.

Только после очистки исходного эфира динитрофенилгидразином и металлическим натрием в атмосфере азота удалось получить воспроизводимые результаты. Начальные значения выходов спиртов и карбонильных соединений G составляют 0,7 и 1,1 соответственно. Так как азот в данном случае можно считать инертным газом, то полученные нами результаты можно сравнить с опубликованными данными. Ньютон [2] для γ -излучения Co^{60} приводит значения выходов спиртов $G \sim 0,7$ и карбонильных соединений $G \sim 2,6$. Различия в выходах карбонильных соединений связано с тем, что Ньютон определял количество образующихся карбонильных соединений при достаточно высокой дозе. Полученное им значение выхода можно рассматривать только как среднее, которое удовлетворительно сходится с нашими данными. Для выяснения причин, приводящих к перегибу на кривой накопления карбонильных соединений, исследовалось влияние добавок и проводился хроматографический анализ образующихся соединений в виде 2,4-динитрофенилгидразонов. Хроматографический анализ облученного эфира, поглотившего $\sim 3 \cdot 10^{19}$ эВ/см³, показывает наличие ацетальдегида, ацетона

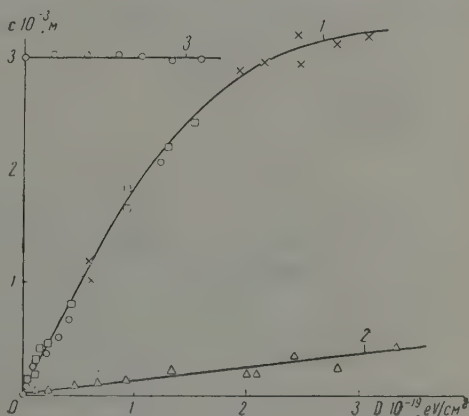


Рис. 1. Зависимость концентрации продуктов в диизопропиловом эфире от дозы в присутствии N_2 : 1 — карбонильные соединения; 2 — спирты, 3 — карбонильные соединения при введении $3 \cdot 10^{-3}$ М ацетона

и длинноцепочного метилкетона, возможно, метилизобутилкетона, составляющего основную часть смеси. Добавка $3 \cdot 10^{-3} M$ ацетона в диизопропиловый эфир до начала облучения приводит к тому, что не наблюдается прироста карбонильных соединений, но меняется их состав: исчезает ацетон, а появляется длинноцепочный метилкетон.

В присутствии кислорода резко возрастает выход карбонильных соединений и спиртов и появляются, кроме того, перекисные соединения и кислоты. Как и в отсутствие кислорода, основным карбонильным соединением при больших дозах является метилбутилкетон, но образуются также ацетон, ацетальдегид и формальдегид. Перекиси определены с титановой

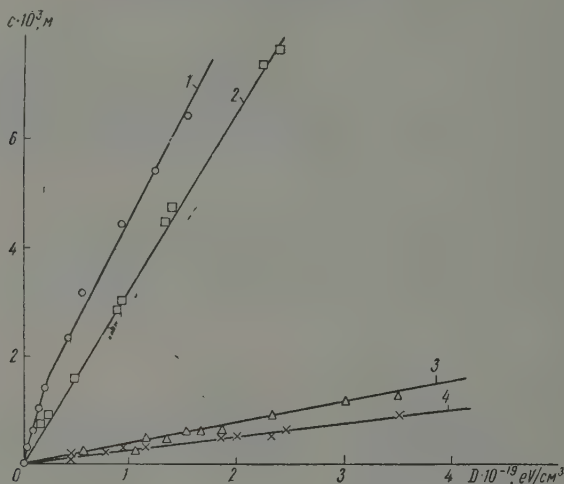
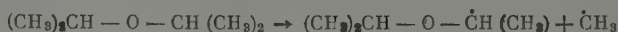


Рис. 2. Зависимость концентрации продуктов в диизопропиловом эфире от дозы в присутствии O_2 : 1 — карбонильные соединения; 2 — перекиси; 3 — спирты; 4 — кислоты

реактивом; таким образом, полученные данные относятся только к гидроперекисям эфира [5]. Перекись водорода не была обнаружена по специфической реакции с $K_2Cr_2O_7$ и диэтиловым эфиром в уксуснокислой среде. Так же как и в отсутствие кислорода, наличие примесей в исходном эфире резко влияет на начальный выход и накопление карбонильных соединений.

На рис. 2 приведены полученные данные. Выход спиртов составляет $G = 2,2$, кислот $G = 1,5$. Высокий выход карбонильных соединений ($G = 25$) и перекисей ($G = 20$) указывает на цепной механизм их образования.

При облучении чистого эфира могут разрываться связи $C-H$, $C-O$ и $C-C$. Разрыв связи $C-H$ с возникновением эфирного радикала $(CH_3)_2\dot{C}-O-CH(CH_3)_2$ и его последующий распад, как это было показано ранее в нашей лаборатории для водных растворов диизопропилового эфира, приводит к образованию ацетона и радикала $n-C_3H_7$. Присоединение кислорода к эфирному радикалу приводит к образованию гидроперекисей эфира. В результате разрыва связей $C-S$ согласно



могут образовываться при взаимодействии с O_2 кислота и спирт. Наконец, разрыв связи $C-O$ в образовавшемся радикале может приводить к образованию ацетальдегида.

В отсутствие кислорода распад эфира, по-видимому, также происходит по цепному механизму. Цепи в этом случае короткие, и их обрыв может быть обусловлен взаимодействием с возникающими карбонильными соединениями, в частности с молекулами ацетона. Ньютон на основании результатов, полученных для относительно высоких доз, приходит к выводу о нецепном радикально-молекулярном механизме распада эфира. Авторы приносят свою благодарность проф. Н. А. Бах за интерес и внимание к настоящей работе.

Выводы

1. Исследовано образование карбонильных соединений и спиртов при облучении рентгеновскими лучами диизопропилового эфира в отсутствие кислорода. Установлено, что начальный выход карбонильных соединений сильно зависит от присутствия в эфире примесей, в частности ацетона.
2. В присутствии кислорода при облучении диизопропилового эфира резко возрастает выход карбонильных соединений и спиртов и появляются перекисные соединения и кислоты.
3. Высказано предположение, что как в присутствии, так и в отсутствие кислорода радиационно-химическое превращение эфира происходит по цепному механизму.

Московский государственный
университет им. М. В. Ломоносова

Поступила
14.II.1958

ЛИТЕРАТУРА

- A. S. Newton, J. Phys. Chem., **61**, 1485, 1957.
 A. S. Newton, J. Phys. Chem., **61**, 1490, 1957.
 G. R. Lappin, L. C. Clark, Analyt. Chem., **23**, 541, 1951.
 С. А. Шукарев, С. Н. Андреев, И. А. Островская, Ж. аналит. химии, **9**, 354, 1954.
 К. Е. Иванов, Промежуточные продукты и промежуточные реакции автоокисления углеводов, Гостоптехиздат, М.—Л., 1949, стр. 123.

THE RADIOLYSIS AND RADIATION OXIDATION OF DIISOPROPYL ETHER

V. V. Saraeva, B. Ya. Ladygin and Nam Chan Sun (Moscow)

Summary

The formation of carbonyl compounds and alcohols during the x-radiation of isopropyl ether in the absence of oxygen has been investigated. The initial yield of carbonyl compounds has been found to depend to a great extent upon the presence of impurities, in particular acetone, in the ether.

On irradiation of the ether in the presence of oxygen the yield of carbonyl compounds and alcohols greatly increases and peroxides and acids appear.

It has been suggested that conversion of the ether takes place by a chain mechanism in the presence and absence of oxygen.

ОБ ОСОБЕННОСТЯХ ИЗОТЕРМ ЭЛЕКТРОПРОВОДНОСТИ
1-1-ВАЛЕНТНЫХ СОЛЕЙ В РАСТВОРАХ С НИЗКОЙ
ДИЭЛЕКТРИЧЕСКОЙ ПРОНИЦАЕМОСТЬЮ

А. М. Сухотин и Е. М. Рыжков

Многие свойства растворов электролитов в растворителях с низкой диэлектрической проницаемостью практически полностью определяются ассоциацией ионов. Прежде всего, это относится к электропроводности растворов.

По электропроводности неводных растворов электролитов накоплен обширный опытный материал. Проводимость растворов минеральных солей изучалась главным образом в растворителях, имеющих сравнительно высокую диэлектрическую проницаемость (от 12 до 80). Ценность этих работ для проблемы ассоциации ионов не очень велика, так как наиболее интересные особенности влияния ассоциации на свойства растворов четко выступают лишь при исследовании растворов со значительно меньшей диэлектрической проницаемостью. Важные сведения о поведении такого рода систем были получены в результате изучения растворов солей замещенных аммонийных оснований. Особое место занимает работа [1] посвященная измерению электропроводности растворов нитрата тетраизоамиламмония в смесях воды с диоксаном. Эта работа является единственным систематическим исследованием влияния диэлектрической проницаемости на электропроводность растворов в одном и том же смешанном растворителе в широком диапазоне диэлектрической проницаемости вплоть до весьма низких ее значений.

Нашей задачей было систематическое изучение влияния диэлектрической проницаемости на свойства растворов простейших минеральных солей. Данные по электропроводности растворов йодистого натрия в смесях этилового спирта с четыреххлористым углеродом уже были опубликованы [2, 3, 4]. Ниже приведены результаты измерений проводимости и диэлектрической проницаемости растворов NaI , LiCl , LiBr , LiI и $(\text{изо-}\text{C}_5\text{H}_{11})_4\text{NI}$ в смесях гексана с бутиловым спиртом.

Экспериментальная часть

Бутанол марки «чистый» дважды перегонялся над прокаленным поташом. Для работы отбиралась средняя фракция с т. кип. $117,2-117,4^\circ$. Очистка гексана марки «чистый» также производилась путем перегонок. Отбиралась фракция $68,5-68,7^\circ$. Контроль чистоты жидкостей осуществлялся определением их плотности. Плотность очищенных бутанола и гексана была равна соответственно $0,8057 \text{ г/см}^3$ и $0,6547 \text{ г/см}^3$ при 20° .

Очистка солей LiCl , LiBr , LiI осуществлялась следующим образом. Соли марки «х. ч.» дважды перекристаллизовывались из воды и прокаливались в токе сухого азота, содержащего соответствующий галоидоводород. Перекристаллизованный йодистый натрий сушился в сушильном шкафу. Следует отметить, что ввиду высокой гигроскопичности этих солей все операции с ними необходимо проводить в сухой камере. В качестве осушителя для сухой камеры следует использовать фосфорный ангидрид.

Йодистый тетраизоамиламмоний дважды перекристаллизовывался из смеси петлейного эфира и этилацетата, промывался гексаном и сушился под вакуумом. Анализ солей производился путем потенциометрического титрования раствором азотной кислоты серебра. Полученные соли не содержали влаги. Содержание основного компонента было не менее 99,5 вес. %. Приготовление смешанного растворителя и растворов солей производилось весовым путем в специально изготовленных смесителях.

Определение плотности и вязкости производилось обычными методами в водяном термостате при $25,0 \pm 0,01^\circ$.

Для определения диэлектрической проницаемости был использован измеритель емкости типа ИЕ-2, предназначенный для измерения емкости конденсаторов резонансным методом с точностью до 0,1 дд Ф. Измерительная ячейка представляла собой два концентрических платиновых цилиндра, заключенных в стеклянный сосуд. Площадь каждого из электродов составляла 60 см², расстояние между ними было равно 0,5 мм. При помощи этой ячейки можно было с точностью до 0,2% измерять диэлектрическую проницаемость растворов, удельная электропроводность которых не превышала $5 \cdot 10^{-8} \Omega^{-1} \text{см}^{-1}$. Для измерения диэлектрической проницаемости растворов, имеющих проводимость от $5 \cdot 10^{-8}$ до $2 \cdot 10^{-6} \Omega^{-1} \text{см}^{-1}$, применялась ячейка с плоскими параллельными электродами площадью 12 см², отстоявшими друг от друга на 3 мм. Точность измерений в этом случае не превышала 1%. Калибрование ячеек производилось при помощи чистых жидкостей, значения диэлектрической проницаемости которых хорошо известны. Измерения сопротивлений растворов с удельной электропроводностью в пределах от 10^{-2} до $10^{-7} \Omega^{-1} \text{см}^{-1}$ производились при помощи моста переменного тока. В диагональ моста включался усилитель и стрелочный индикатор баланса. Частота переменного тока была равна 1 кГц. Применялись измерительные ячейки, имевшие константы от $5 \cdot 10^{-3}$ до $2 \cdot 10^{-2} \text{см}^{-1}$. Electroды для изготовления из платиновой или золотой пластины.

Сопротивление растворов с удельной электропроводностью от 10^{-6} до $10^{-11} \Omega^{-1} \text{см}^{-1}$ измерялось в установке постоянного тока. Измерительная ячейка включалась последовательно с источником постоянного тока, напряжение которого можно было менять от 0,01 до 250 В. Сила тока, протекавшего через ячейку, измерялась при помощи зеркального гальванометра типа М-21, имевшего чувствительность $1 \cdot 10^{-9} \text{А/мм/м}$. Было обращено особое внимание на тщательную изоляцию и экранирование проводов. Чтобы избежать влияния поляризации электродов при измерениях проводимости растворов, имевших удельную проводимость, близкую к $10^{-6} \Omega^{-1} \text{см}^{-1}$, электроды ячеек (с константой $\sim 5 \cdot 10^{-2} \text{см}^{-1}$) слегка платинировались. Изучение растворов с удельной электропроводностью $3 \cdot 10^{-14} < \kappa < 10^{-11} \Omega^{-1} \text{см}^{-1}$ производилось на установке с баллистическим гальванометром, схема которой изображена на рис. 1. Эталонный конденсатор 1 типа МЕ-4 емкостью в 1 мкФ в течение определенного времени τ заряжался через измерительную ячейку 2 от источника постоянного тока 3. Накопленное конденсатором количество электричества измерялось тем разряда конденсатора через баллистический гальванометр 4 типа ГЗБ-47. Подаваемое напряжение измерялось от 3 до 250 В. При сборке этой схемы необходимо исключить все источники утечек тока, особенно на участке между измерительной ячейкой и магазином емкости.

Удельная электропроводность растворов рассчитывалась по формуле:

$$\kappa = - \frac{2,303 k_{\text{яч}} C}{\tau} \lg \left(1 - \frac{k_{\text{б.г}} \alpha}{UC} \right),$$

где $k_{\text{б.г}}$ — чувствительность баллистического гальванометра, равная в нашем случае 10^{-8}кулон/см , α — максимальный отсчет по шкале баллистического гальванометра (антиметра), τ — время заряжения в секундах, C — емкость конденсатора в фарадах.

Все измерения электропроводности и диэлектрической проницаемости растворов производились в воздушном термостате при $25,0 \pm 0,05^\circ$.

При расчете удельной электропроводности растворов вводилась поправка на проводимость чистого растворителя.

Обсуждение результатов

В табл. 1 представлены результаты измерений диэлектрической проницаемости, плотности, вязкости и удельной электропроводности смесей этанола с гексаном. Табл. 2 содержит результаты измерений диэлектрической проницаемости и вязкости некоторых растворов. Данные по электропроводности приведены в табл. 3. Соответствующие графики уже приводились в наших прежних сообщениях [3, 4].

Сравнение данных по проводимости, полученных в этой работе, с соответствующими данными для растворов NaI в смесях этанола с четырех-

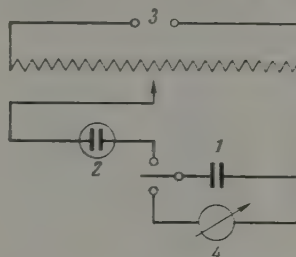


Рис. 1. Схема установки для измерения электропроводности при помощи баллистического гальванометра

Таблица 1

Диэлектрическая проницаемость D , плотность d , вязкость η и удельная электропроводность κ смесей бутанола с гексаном при 25°

$n\text{-C}_4\text{H}_9\text{OH}$ вес. %	D	d , г/см ³	η , сП	κ , $\Omega^{-1}\text{ см}^{-1}$
100,0	17,3	0,8057	2,77	$1,0 \cdot 10^{-7}$
85,0	13,7	0,769	—	—
70,0	10,1	0,753	1,18	$8 \cdot 10^{-8}$
40,0	4,77	0,7075	0,570	$1 \cdot 10^{-9}$
27,2	3,10	0,690	0,430	$7 \cdot 10^{-11}$
25,0	2,85	0,687	0,415	$4 \cdot 10^{-11}$
20,0	2,51	0,680	0,385	$5 \cdot 10^{-12}$
13,05	2,19	0,671	0,360	$1 \cdot 10^{-12}$
12,65	2,16	0,670	0,350	$7 \cdot 10^{-13}$
11,25	2,10	0,668	0,345	$3 \cdot 10^{-13}$
7,0	2,02	0,663	0,330	$5 \cdot 10^{-14}$
2,0	1,90	0,657	0,324	—
Гексан	1,83	0,6547	0,320	—

Таблица 2

Диэлектрическая проницаемость (D) и вязкость (η) растворов солей в смесях бутанола с гексаном при 25°

$c \cdot 10^4$	D	$c \cdot 10^4$	D	$c \cdot 10^4$	D	$c \cdot 10^4$	η
LiBr 25% $n\text{-C}_4\text{H}_9\text{OH}$		12,65% $n\text{-C}_4\text{H}_9\text{OH}$		(изо- C_5H_{11}) ₄ NJ 20% $n\text{-C}_4\text{H}_9\text{OH}$		LiBr 25% $n\text{-C}_4\text{H}_9\text{OH}$	
268	3,27	248	2,32	59,0	2,58	3230	1,13
142	3,10	243	2,315	17,6	2,53	2125	0,75
64,6	2,90	48,5	2,19	4,73	2,52	940	0,49
35,5	2,89	10,2	2,175	13,05% $n\text{-C}_4\text{H}_9\text{OH}$		555	0,45
		1,67	2,17	58,6	2,26	268	0,43
		0,511	2,165	14,9	2,23	LiJ 25,0% $n\text{-C}_4\text{H}_9\text{OH}$	
20% $n\text{-C}_4\text{H}_9\text{OH}$		11,25% $n\text{-C}_4\text{H}_9\text{OH}$		3,39	2,20	2160	0,74
180	2,72	98,6	2,16	0,98	2,19	1952	0,72
127	2,63	33,0	2,14	12,65% $n\text{-C}_4\text{H}_9\text{OH}$		1490	0,58
64,1	2,59	7,65	2,125	60,0	2,20	588	0,44
41,7	2,55	2,94	2,115	14,8	2,18	20% $n\text{-C}_4\text{H}_9\text{OH}$	
18,5	2,53			4,84	2,17	2900	0,89
4,68	2,52			1,31	2,16	1790	0,61
1,87	2,515					1257	0,52
						840	0,44

хлористым углеродом [2] и (изо- C_5H_{11})₄NNO₃ и NaJ в водно-диоксановых смесях [1, 2] показывает, что характер зависимости эквивалентной электропроводности солей от концентрации и от диэлектрической проницаемости растворителя во всех этих случаях одинаков. Сравнительно высокая растворимость солей лития позволила установить, что на изотермах, круто поднимающихся после минимума, наблюдается максимум при концентрациях, близких к 0,1 М.]

В тех случаях, когда диэлектрическая проницаемость растворителя не превышает ~5, логарифм проводимости в области малых концентраций представляет собой линейную функцию логарифма концентрации; графически это может быть выражено прямой с наклоном, равным — 1/

Таблица 3

ксаном при 25°

LiJ	20% $n\text{-C}_4\text{H}_9\text{OH}$		34,0 6,00		2,48 12,6		13,05% $n\text{-C}_4\text{H}_9\text{OH}$	
	$c \cdot 10^5$	$\lambda \cdot 10^4$	$c \cdot 10^5$	$\lambda \cdot 10^4$	$c \cdot 10^5$	$\lambda \cdot 10^4$	$c \cdot 10^5$	$\lambda \cdot 10^4$
0% $n\text{-C}$	315 1,92	85,4 1,3	31,4 8,20	28,7 7,20	1,13 14,4	1,08 14,9	566 34,3	150 15,1
10 ⁴	63,9 1,31	20,6 1,76	19,7 7,60	12,9 12,4	12,8 11,2	12,0 10,0	33,9 6,31	9,81 5,22
4	19,2 1,43	5,60 2,95	9,87 13,4	4,27 22,2	3,75 22,0	3,36 24,1	2,95 6,78	1,10 10,0
4	3,84 3,43							
4								
6								
0								
3								
1,6								
8,2								
6,0								
0,0								
6,51								
2,61								
2,14								
5% $n\text{-C}$								
10 ⁴								
60								
52								
90								
80								
88								
83								
24								
73								
77,5								
2,6								
1,2								
4,9								
3,7								
5,05								
1,72								

то свидетельствует о применимости в этой области концентраций закона разбавления Оствальда и дает возможность вычислить значения констант диссоциации ионных пар [2—4].

Результаты такого расчета для изученных нами систем приведены в табл. 4. Там же приведены величины эквивалентной электропроводности при бесконечном разведении λ_0 , найденные при помощи правила Вальдена ($\lambda_{0\gamma} = \text{const}$) из данных по вязкости растворителей и значений λ_0 для чистого бутанола, найденных обычной экстраполяцией.

Таблица 4

Проверка применимости уравнений Бьеррума [6] и А. М. Сухотина [7] для растворов солей в растворителях с низкими диэлектрическими проницаемостями, 25°

Растворитель и электролит	D	λ_0	K_d	α , Å [6]	α_0 , Å [7]
утанол + гексан LiI	17,3 2,85 2,51 2,16 2,02	15,0 100,2 110,8 118,0 125,7	— $4,80 \cdot 10^{-13}$ $1,17 \cdot 10^{-13}$ $2,70 \cdot 10^{-16}$ $1,44 \cdot 10^{-18}$	— 6,95* 6,94 6,73 6,29	— 7,34* 7,28 7,02 6,54
утанол + гексан LiBr	17,3 4,77 2,85 2,51 2,16	14,0 68,0 93,5 100,7 110,8	— $9,35 \cdot 10^{-9}$ $2,25 \cdot 10^{-13}$ $3,58 \cdot 10^{-14}$ $6,90 \cdot 10^{-17}$	— 5,59 6,74 6,65 6,46	— 5,95 7,09 6,98 6,75
утанол + гексан LiCl	17,3 10,1 2,85	15,8 37,1 105,5	— $4,45 \cdot 10^{-6}$ $8,50 \cdot 10^{-19}$	— 3,49 6,49	— 3,74 6,82
утанол + гексан NaI	17,3 4,77 2,51 2,16 2,02	15,8 76,8 114,0 126,0 133,5	— $7,60 \cdot 10^{-9}$ $5,20 \cdot 10^{-14}$ $1,08 \cdot 10^{-16}$ $4,50 \cdot 10^{-19}$	— 5,52 6,74 6,55 6,11	— 5,88 7,07 6,84 6,34
утанол + гексан (изо- C_5H_{11}) ₄ NJ	17,3 2,85 2,51 2,16	17,0 113,5 122,2 134,7	— $2,75 \cdot 10^{-12}$ $7,35 \cdot 10^{-14}$ $2,90 \cdot 10^{-16}$	— 6,79 6,82 6,74	— 7,45 7,17 7,04
танол + CCl_4 NaI	13,6 10,6 7,2 3,4 3,0 2,6 2,4 2,32	50,2 51,7 54,4 58,1 58,8 60,1 60,8 61,5	$2,7 \cdot 10^{-4}$ $6,6 \cdot 10^{-5}$ $2,8 \cdot 10^{-6}$ $2,3 \cdot 10^{-9}$ $4,1 \cdot 10^{-10}$ $4,6 \cdot 10^{-12}$ $1,34 \cdot 10^{-13}$ $5,5 \cdot 10^{-15}$	3,80 4,39 5,16 7,66 8,07 7,70 7,33 6,81	3,98 4,66 5,52 8,15 8,55 8,10 7,70 7,14

* Цифровые данные этих столбцов изменены автором при корректуре.

Фуосс и Краусс показали [5], что теория Бьеррума [6] может служить для описания зависимости K_d от диэлектрической проницаемости. Однако эта теория, как указывает сам Бьеррум, опирается на допущения, не имеющие физического обоснования. Одним из нас [6] был предложен новый путь теоретического вычисления констант диссоциации ионных пар в растворах с различной диэлектрической проницаемостью, основанный на использовании закона Кулона и статистического выражения для констант равновесия. В этой же работе было показано, что новая теория удовлетворительно описывает зависимость K_d от диэлектрической проницаемости для растворов нитрата тетраизоамиламмония в смесях воды диоксаном.

Выражение для K_d имеет следующий вид:

$$K_d = \frac{1000 \varepsilon}{N_0} \left(\frac{n-1}{32 \pi^3 a^3 D k T} \right)^{1/2} e^{-\frac{\varepsilon^2}{D a k T}},$$

где ε — заряд электрона; n — константа, характеризующая борновское отталкивание ионов; a — межионное расстояние в ионной паре. Следует отметить, что в работе [7] в этой формуле была допущена ошибка: вместо коэффициента 32 стояла цифра 3. Это привело к появлению систематической ошибки при расчетах величины a [3, 7, 8]. Исправленные значения приведены в табл. 4.

С целью дальнейшей проверки теории были рассчитаны значения межионных расстояний в ионных парах по этому уравнению для систем изученных в настоящей и в предыдущей [2] работах. Полученные величины в табл. 4 сопоставлены с результатами вычислений по формуле Бьеррума. Обе теории дают близкие значения межионных расстояний и достаточно хорошо описывают зависимость K_d от D для всех изученных солей.

В области сравнительно высокой диэлектрической проницаемости ($D > 2$) обе теории приводят к пониженным значениям межионных расстояний, что показывает, по-видимому, границу их приложимости.

Следует отметить один важный вывод, который следует из применимости электростатических теорий к растворам щелочно-галогидных солей в смешанных растворителях, подобных нашим, катионы как свободные

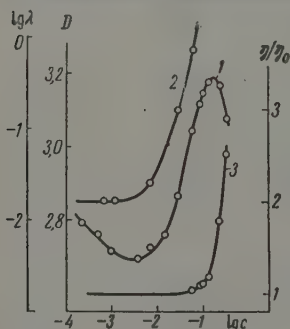


Рис. 2. Концентрационная зависимость: 1 — логарифма электропроводности; 2 — диэлектрической проницаемости ϵ ; 3 — относительной вязкости η/η_0 растворов LiBr в смеси 25% бутанола + 75% гексана при 25°

так и входящие в состав ионных пар, безусловно прочно сольватированы молекулами полярного компонента растворителя. В противном случае невозможно было бы объяснить огромное различие в растворимости этих солей в таких растворителях, как бензол ($D = 2,27$) и смесь, содержащая 93% гексана и 7% бутанола ($D = 2,02$).

Если бы процесс диссоциации ионных пар сопровождался значительным изменением энергии сольватации ионов, он не мог бы быть описан простыми электростатическими теориями, не учитывающими сольватацию. Следовательно, при диссоциации ионных пар всех изученных нами солей в растворителях с низкой диэлектрической постоянной не происходит заметного изменения энергии сольватации ионов.

Появление минимума на изотермах проводимости можно объяснить уменьшением ионных коэффициентов активности с ростом концентрации [2, 3, 4, 9]. В области крутого подъема на кривых λ — с наряду с этим фактором, по-видимому, сказывается еще один. Данные табл. 2 показывают, что при этих концентрациях имеет место быстрое возрастание диэлектрической проницаемости растворов. Зависимость диэлектрической проницаемости от концентрации бромистого лития представлена на рис. Рост диэлектрической проницаемости с концентрацией соли не вызывает удивления, если вспомнить, что соль в растворе существует главным образом в виде ионных пар, обладающих, как известно, очень высоким дипольным моментом.

Увеличение диэлектрической проницаемости, так же как и уменьшение ионных коэффициентов активности, должно приводить к быстрому повышению степени диссоциации ионных пар, а следовательно, и электропроводности, что и наблюдается на опыте.

Следует подчеркнуть, что в области минимума влияние увеличения электрической проницаемости на электропроводность не существенно.

Максимум в области крепких растворов объясняется повышением вязкости (см. табл. 2 и рис. 2). После внесения поправки на вязкость на изменение подвижности ионов максимум исчезает, однако на его месте на изотермах сохраняется резкий перегиб, который, по-видимому, является такой же характерной особенностью кривых λ — с для систем малой диэлектрической проницаемостью, как и минимум.

Выводы

1. Измерена эквивалентная электропроводность растворов NaJ, LiJ, Br, LiCl и (изо- C_5H_{11}) $_4$ NJ в смесях бутанола с гексаном, в области значений диэлектрической проницаемости от 2,02 до 17,3.

2. Показано, что максимумы на изотермах проводимости определяются возрастанием вязкости, а резкий подъем после минимума связан не только с уменьшением ионных коэффициентов активности, но и с увеличением электрической проницаемости растворов с ростом концентрации соли.

3. Вычислены значения констант диссоциации ионных пар в изученных системах и показано, что теоретические уравнения Бьеррума [6] А. М. Сухотина [7] удовлетворительно описывают зависимости K_d от электрической проницаемости растворителя.

Поступила

14.VI.1958

ЛИТЕРАТУРА

- R. Fuoss, Ch. Kraus, J. Amer. Chem. Soc., 55, 21, 1933.
 А. М. Сухотин, З. Н. Тимофеева, Ж. физ. химии, 33, 1602, 1739, 1959.
 А. М. Сухотин, Вопросы теории растворов электролитов в средах с низкой диэлектрической проницаемостью, Госхимиздат, 1959.
 А. М. Сухотин, Ж. физ. химии, 33, 2405, 1959.
 R. Fuoss, Ch. Kraus, J. Amer. Chem. Soc., 55, 1019, 1933.
 N. Bjerrum, Kgl. danske vid. selskab. Math.-fys. medd., 7, 3, 1926.
 А. М. Сухотин, Ж. физ. химии, 31, 792, 1957.
 Е. М. Рыжков, А. М. Сухотин, Ж. физ. химии, 33, 2414, 1959.
 А. М. Сухотин, Исследование по энергетике неводных растворов щелочно-галогенидных солей, Диссертация, Ленинград, 1952.

THE CHARACTERISTIC FEATURES OF THE ELECTROCONDUCTIVITY ISOTHERMS OF 1-1 VALENCY SALTS IN SOLUTIONS OF LOW DIELECTRIC CONSTANT.

A. M. Sukhotin and E. M. Ryzhkov (Leningrad)

S u m m a r y

The equivalent electroconductivities of NaJ, LiJ, LiBr, LiCl and (iso- C_5H_{11}) $_4$ NJ butanol-hexane solutions have been measured for dielectric constants ranging from 2 to 17.3. It has been shown that the maximum on the electroconductivity isotherms is due to growth in viscosity and the sharp rise in the isotherms following the minimum is associated not only with decrease in value of the ionic activity coefficients but also with increase in the dielectric constant as the concentration of the salt is increased.

РАСТВОРИМОСТЬ АЦЕТАЛЬДЕГИДА В СЖАТЫХ ГАЗАХ

Д. С. Циклис, Л. И. Шендерей и А. Н. Кофман

Исследования растворимости чистого ацетальдегида и ацетальдегидиз его водного раствора в сжатом метане, проведенные ранее [1, 2], показали, что экспериментальные данные хорошо передаются уравнением И. Р. Кричевского и Н. Е. Хазановой [3], предназначенным его авторами для вычисления растворимости полярных жидкостей в неполярных газах. Определив графическим путем коэффициенты этого уравнения по данным о растворимости полярной жидкости в каком-либо газе, можно далее рассчитать растворимости этой же жидкости в других сжатых газах.

С целью проверить возможность применения указанного уравнения для расчетов растворимости ацетальдегида в различных сжатых газах и была поставлена настоящая работа, в которой мы исследовали растворимость ацетальдегида в водороде и азоте.

Экспериментальная часть

Методика. Растворимость ацетальдегида в сжатых газах и газах в ацетальдегиде при температурах от 0 до 60° и давлениях до 200 атм была определена на установке, описанной ранее [4]. Методика анализа фаз, примененная нами, также была описана [5].

Нами были исследованы фазовые равновесия в системах ацетальдегид-водород и ацетальдегид — азот при давлениях до 200 атм и 1, 20, 40, 60° и фазовые равновесия в системе ацетальдегид — вода — азот и ацетальдегид — вода — водород при 1, 25 и 50° и давлениях до 200 атм.

Водные растворы содержали 43,5 вес. % ацетальдегида. Азот и водород очищали от кислорода медно-аммиачным раствором, после чего сжимали сжатый газ пропускали через систему очистки от влаги и масла. Ацетальдегид был марки «чистый».

Полученные данные представлены на рис. 1—7.

Обработка экспериментальных данных

Для обработки полученных нами данных по растворимости водорода и азота в ацетальдегиде под давлением мы применили уравнение И. Р. Кричевского и Я. С. Казарновского [3].

Нанеся на график значения $\lg (j_2^* N_2' / N_2)$ против $(p - p_1)$, мы убедились, что точки удовлетворительно легли на прямые линии; отрезки отсекаемые на оси ординат, дают значения коэффициентов Генри $K(p^\circ, T)$, а из тангенса угла наклона прямой нетрудно вычислить кажущийся парциальный мольный объем (табл. 1).

Таблица 1

Значения коэффициентов Генри $K(p^\circ, T)$ и v_2^* системы ацетальдегид — водород

°C	K , ат/мольная доля	\bar{v}_2^* , см ³ /моль	°C	K , ат/мольная доля	\bar{v}_2^* , см ³ /моль
1	5880	20	40	3600	27
20	4660	21	60	2950	40

Температурная зависимость коэффициента Генри дается следующим уравнением:

$$\lg K = 2,092 + \frac{460}{T}.$$

Отсюда нетрудно вычислить теплоту растворения водорода в ацетальдегиде:

$$\Delta H = + 2100 \text{ кал/моль}.$$

Полученные нами для системы ацетальдегид — азот экспериментальные данные были обработаны таким же образом, как для водорода.

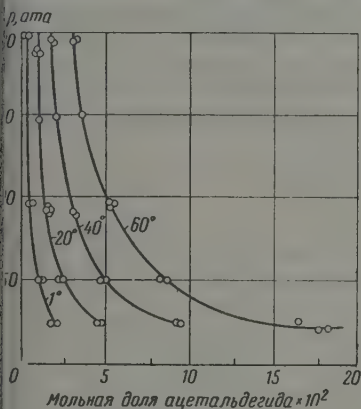


Рис. 1. Растворимость ацетальдегида в сжатом водороде

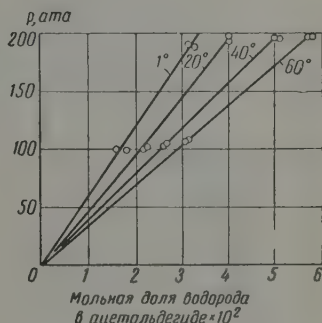


Рис. 2. Растворимость водорода в ацетальдегиде

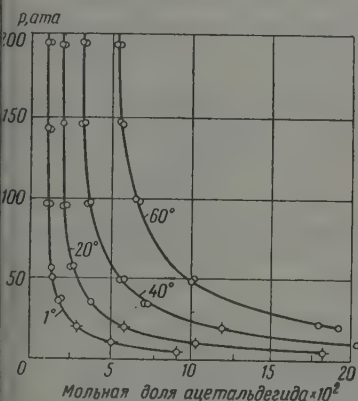


Рис. 3. Растворимость ацетальдегида в сжатом азоте

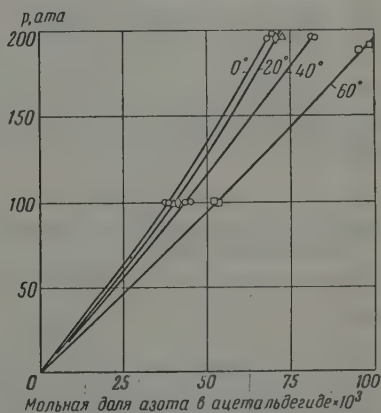


Рис. 4. Растворимость азота в ацетальдегиде

В табл. 2 приведены рассчитанные нами значения коэффициентов Генри и кажущегося парциального мольного объема азота в растворе ацетальдегида.

На рис. 8 отложены результаты расчета по уравнению Кричевского — Газановой для систем ацетальдегид — метан, ацетальдегид — водород, ацетальдегид — азот и ацетальдегид — вода — метан.

Таблица 2

Коэффициент Генри $K(p, ^\circ T)$ и \bar{v}_2^* азота

$t, ^\circ C$	1	20	40	60
$K(p, ^\circ T)$	2710	2450	2150	1630
\bar{v}_2^*	-3	0	11	27

Из рисунка видно, что точки для систем ацетальдегид — водород, ацетальдегид — азот и ацетальдегид — метан [1] укладываются на одну прямую с отклонением в пределах 10—15%, как это предусмотрено авторами уравнения. Несколько хуже ложатся точки системы ацетальдегид — вода — метан [2].

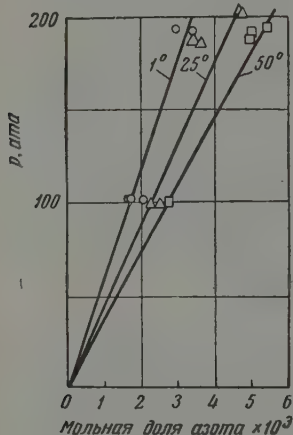


Рис. 5. Растворимость азота в водном растворе ацетальдегида

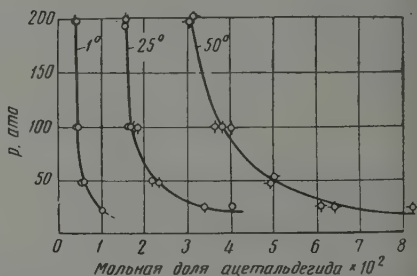


Рис. 6. Растворимость ацетальдегида из водного раствора в сжатом азоте

Значение члена N_2/a , вычисленное по угловому коэффициенту наклона прямой, равно $7,6 \cdot 10^{11}$ эрг. Эта величина и должна служить для построения расчетного графика.

Таблица 3

Растворимость ацетальдегида в сжатом водороде, г/л сжатого газа

$p, \text{ атм}$	1°	20°	40°	60°
10	0,90	2,20	4,10	—
20	0,92	2,20	4,20	—
50	1,02	2,32	4,40	7,31
100	1,17	2,64	4,85	8,00
150	1,34	2,95	5,29	8,69
200	1,51	3,30	5,74	9,36

Таблица 4

Растворимость ацетальдегида в сжатом азоте, г/л сжатого газа

$p, \text{ атм}$	1°	20°	40°	60°
10	1,06	2,03	3,96	7,1
20	1,14	2,20	4,20	7,7
50	1,47	2,84	5,06	8,8
100	2,35	4,20	6,63	11,2
150	3,46	5,72	8,73	13,8
200	4,52	7,40	11,36	17,4

В табл. 3 приведены интерполированные на равные давления данные по растворимости ацетальдегида в сжатом азоте, а в табл. 4 в сжатом водороде.

Полуэмпирическое уравнение И. Р. Кричевского и Н. Е. Хазанов было проверено ранее на ряде систем [3], причем оказалось, что оно удовлетворительно передает растворимость воды в сжатых двуокиси углерода.

вода, воздухе, азоте, водороде и азотоводородной смеси, растворимость этанола в азоте, метане и двуокиси углерода.

Проведенные нами работы показали, что это уравнение удовлетворительно передает также растворимость ацетальдегида из его водного рас-

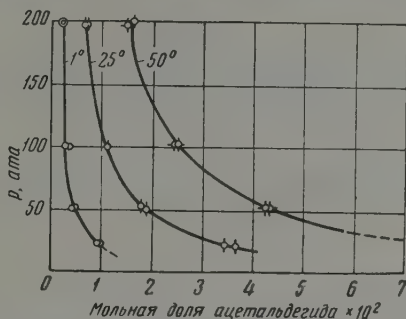


Рис. 7. Растворимость ацетальдегида из водного раствора в сжатом водороде

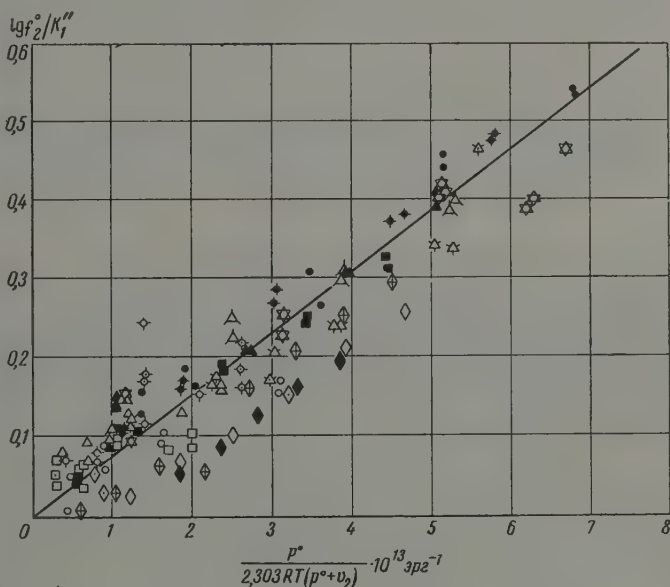


Рис. 8. Растворимость ацетальдегида в сжатых газах

Система ацетальдегид—водород—светлый кружок, кружок с крестом, треугольник и квадрат; система ацетальдегид—азот—темный кружок, кружок с крестом, треугольник и квадрат; система ацетальдегид—метан—шестиугольная звезда, треугольник с усами, квадрат с крестом; система ацетальдегид—вода—метан—ромбы: светлый, с крестом и черный

бора в метане и позволяет в дальнейшем рассчитывать с точностью, достаточной для технологических расчетов, растворимость ацетальдегида в сжатых газах и их смесях*.

Авторы выражают благодарность И. Р. Кричевскому за помощь в работе.

* За исключением тех случаев, когда ацетальдегид образует с сжатым газом (как, например, с CO_2) концентрированные растворы.

Выводы

1. Исследованы фазовые равновесия в системах ацетальдегид — азот и ацетальдегид — водород при давлениях до 200 атм и температурах 20, 40 и 60°C, ацетальдегид — вода — азот и ацетальдегид — вода — водород при давлениях до 200 атм и температурах 1, 25 и 50°.

2. Показано, что растворимость ацетальдегида в сжатых азоте и водороде хорошо передается уравнением Кричевского — Хазановой для вычисления растворимости полярных жидкостей в неполярных газах, причем коэффициенты уравнения те же, что и для ранее исследованных нами систем ацетальдегид — метан и ацетальдегид — вода — метан.

3. Показано, что растворимость азота и водорода в ацетальдегиде хорошо передается уравнением Кричевского и Казарновского.

ЛИТЕРАТУРА

1. Д. С. Циклис и Я. Д. Шварц. Ж. физ. химии, **31**, 2302, 1957.
2. Д. С. Циклис, Ж. физ. химии, **32**, 1367, 1958.
3. И. Р. Кричевский, Фазовые равновесия в растворах при высоких давлениях, Госхимиздат, 1946.
4. Д. С. Циклис и А. Н. Кофман, Тр. ГИАП, **5**, 54, 1956.
5. Д. С. Циклис и А. Н. Кофман, Ж. физ. химии, **31**, 100, 1957.

THE SOLUBILITY OF ACETALDEHYDE IN COMPRESSED GASES

D. S. Tsiklis, L. I. Shenderei and A. N. Kofman (Moscow)

Summary

Phase equilibria in the systems acetaldehyde—nitrogen, acetaldehyde—hydrogen, acetaldehyde—nitrogen—water and acetaldehyde—hydrogen—water have been investigated at pressures up to 200 at. and temperatures from 1 to 60°C.

It has been shown that the solubility of acetaldehyde in compressed gases is well described by the Krichevskii—Khazanova equation with the same coefficients as that for the systems acetaldehyde—methane and acetaldehyde—water—methane previously studied by the authors.

ФИЗИКО-ХИМИЧЕСКОЕ ИССЛЕДОВАНИЕ ЭЛЕКТРОСИНТЕЗА КОНЦЕНТРИРОВАННОЙ ПЕРЕКИСИ ВОДОРОДА ИЗ ЭЛЕМЕНТОВ

I. КИНЕТИКА ЭЛЕКТРОСИНТЕЗА H_2O_2

Н. И. Кобозев, И. А. Семюхин и В. Г. Синдюков

Из известных в настоящее время способов получения перекиси водорода [1] прямой синтез из элементов в тихом электрическом разряде имеет следующие преимущества:

1. Позволяет непосредственно получать перекись водорода высокой концентрации.
2. Дает возможность синтезировать продукт, лишенный примесей, понижающих его стабильность.
3. Кроме того, способ обладает и другими преимуществами: доступность и дешевизна сырья (вода), небольшая затрата рабочей силы, простота и возможность автоматизации процесса.

Все это побудило нас обратить внимание на этот способ и провести подробное изучение влияния различных параметров на процесс получения перекиси водорода в тихом электрическом разряде *.

Экспериментальная часть

Влияние температуры. О влиянии температуры на синтез перекиси водорода в тихом электрическом разряде впервые упоминается в работе Фишера и Энге [8], пропускавших через разряд нагретую до $130^\circ C$ смесь водяных паров (95,3%) кислородом (4,7%). Нагревание применялось ими для предотвращения конденсации воды на стенках разрядных трубок и происшедшего по этой причине нарушения изоляции.

Фишер и Вольф [9] нашли, что образующаяся перекись водорода легко разлагается до воды и кислорода, что делает необходимым ее вывод из зоны реакции, например, путем конденсации. Понижение температуры реактора от комнатной до $-80^\circ C$ способствовало десятикратному увеличению выхода перекиси водорода.

Трудная конденсируемость перекиси водорода, о которой еще упоминали Шонбейн [10], Энглер и Нассе [11], побудила Вольфа [12] снизить рабочую температуру реактора до $-80^\circ C$, когда при оптимальных условиях выход достигал 99,9% от пропущенного кислорода. Дальнейшее понижение температуры до $-180^\circ C$ вызывало уменьшение выхода до 54%. Это объяснялось тем, что вследствие конденсации озона на стенках трубки из зоны реакции уводился кислород, необходимый для образования перекиси водорода.

Ноак и Ницшке [13] запатентовали способ получения перекиси водорода при той температуре, при которой она не могла бы конденсироваться на стенках реактора.

Из канадского патента 344104 [14] вытекает, что целесообразно получать перекись водорода при $15-17^\circ C$.

Наконец, как сообщает Гольден [15], в сороковых годах компанией «Elektrochemische Werke» было освоено производство 10%-ного раствора перекиси водорода из элементов и водяных паров при нагревании газовой смеси до $160^\circ C$.

Противоречивость литературных и патентных данных не позволяет однозначно судить об условиях проведения процесса получения перекиси водорода. Поэтому первой задачей нашей работы явилось выяснение влияния температуры на электросинтез перекиси водорода.

* Данные настоящей и последующих статей по физико-химическому исследованию электросинтеза перекиси водорода являются результатом работ, проведенных в ГУ в 1947—1950 гг. [2—7].

Для изучения условий электросинтеза была создана лабораторная установка (рис. 1), главной частью которой является реактор 1, состоящий из двух коаксиально спаянных стеклянных цилиндров. Третий внутренний цилиндр 2 соединялся на шлифе с меньшим из впаиваемых. Пространство между наружным и средним спаянными цилиндрами заполнялось электролитом, допускавшим его охлаждение твердой углекислотой. Подобным же способом производилось охлаждение внутреннего электрода. Основные размеры реактора: активная высота реактора 35 см; толщина барьера 1 мм; средняя величина газового зазора 3 мм; объем реактора около 200 см³; рабочая площадь реактора 700 см².

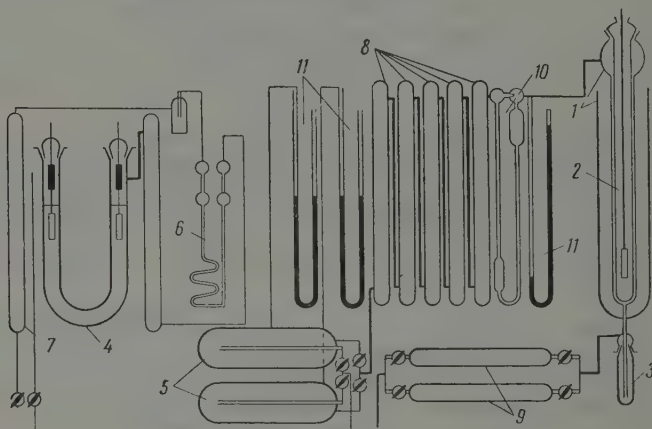


Рис. 1. Схема лабораторной установки

К реактору присоединялся приемник 3, в котором конденсировались продукты реакции. Исходные вещества — водород и кислород — получались в электролизерах 4. Между электролизерами и реактором были установлены два буфера 5. По пути до буферов газы подвергались очистке от токсических для синтеза перекиси водорода веществ (мышьяка, серы и другие) и осушке. Очистка осуществлялась в промывалках 6 с плювитом натрия, осушка — в колонках 7 и 8, наполненных хлористым кальцием, силикагелем и фосфорным ангидридом.

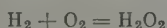
Состав исходной газовой смеси, отобранной при помощи пипеток, определялся в газоанализаторе системы ВТИ. Для опытов обычно готовилась смесь из 97—96% водорода и 3—4% кислорода, которая, согласно литературным данным [12, 16], является наиболее благоприятной для проведения электросинтеза перекиси водорода.

Питание реактора производилось переменным током 50 пер/сек от однофазного трансформатора мощностью в 600 Вт. В цепи высокого напряжения ток измерялся универсальным прибором типа мультиметр, напряжение — электростатическим киловольтметром на 10 кВ. До зажигания разряда по реометру 10 устанавливалась скорость протока газовой смеси, по манометру 11 — давление, по термометру — температура в реакторе. Температура приемника во всех опытах колебалась от —70 до —75° С. В первой серии опытов изменялась только температура реактора.

Перекись водорода, сконденсированная на стенках реактора, смывалась дистиллированной водой и подвергалась количественному определению. Вымороженная в приемнике перекись водорода взвешивалась в бюксе и растворялась в мерной колбе с последующим титрованием раствором перманганата калия для определения концентрации полученной

ейся перекиси водорода. В табл. 1 приведены результаты опытов, проведенных при температурах от -35 до 62°C . Давление во всех опытах равнялось 500 мм рт. ст. , скорость потока газовой смеси равнялась $7-3,8 \text{ л/час}$. Продолжительность каждого опыта равнялась 2 час .

Материальный баланс процесса определялся двумя реакциями в разряде:



Кроме того, образование воды могло протекать и по реакции:



которая не влияла на материальный баланс процесса. Из этой системы уравнений видно, что если реакция проводится при постоянном давлении, то происходит уменьшение объема газа.

Обозначим: $[\text{O}_2]_0$ — доля кислорода в исходной газовой смеси; $[\text{O}_2]$ — доля кислорода в конечной газовой смеси; α — доля исходного кислорода, израсходованного на образование H_2O_2 ; Δ — доля исходного кислорода, израсходованного на образование H_2O_2 и H_2O или общее потребление кислорода; $\gamma = \alpha/\Delta$ — полезное потребление кислорода.

Эта система обозначений аналогична разработанной ранее [17] для крекинга метана до ацетилена. Тогда, если через реактор пропустить один объем смеси, то в конечной газовой смеси получим водород:

$$\{1 - [\text{O}_2]_0\} - \{\alpha [\text{O}_2]_0 + 2(\Delta - \alpha) [\text{O}_2]_0\} = 1 - [\text{O}_2]_0 (1 - \alpha + 2\Delta). \quad (1)$$

Объем кислорода в конечной газовой смеси

$$[\text{O}_2]_0 - \Delta [\text{O}_2]_0 = [\text{O}_2]_0 (1 - \Delta). \quad (2)$$

Общий объем конечной смеси

$$1 - [\text{O}_2]_0 + \alpha [\text{O}_2]_0 - 2\Delta [\text{O}_2]_0 + [\text{O}_2]_0 - \Delta [\text{O}_2] = 1 - [\text{O}_2]_0 (3\Delta - \alpha). \quad (3)$$

Сжатие при электросинтезе будет равно

$$\mu = 1 - [\text{O}_2]_0 (3\Delta - \alpha), \quad (4)$$

доля кислорода в конечной газовой смеси, пересчитанная на первоначальный объем, — так называемая приведенная доля — будет равна

$$[\text{O}_2]_{\text{пр}} = [\text{O}_2] \mu = [\text{O}_2] \{1 - [\text{O}_2]_0 (3\Delta - \alpha)\}. \quad (5)$$

Общее потребление кислорода в долях

$$\Delta = \frac{[\text{O}_2]_0 - [\text{O}_2]_{\text{пр}}}{[\text{O}_2]_0} = 1 - \frac{[\text{O}_2]_{\text{пр}}}{[\text{O}_2]_0}; \quad (6)$$

отсюда

$$[\text{O}_2]_{\text{пр}} = [\text{O}_2]_0 (1 - \Delta). \quad (7)$$

Подставив в уравнение (7) значение $[\text{O}_2]_{\text{пр}}$ из уравнения (5), получим

$$[\text{O}_2] \{1 - (3\Delta - \alpha) [\text{O}_2]_0\} = [\text{O}_2]_0 (1 - \Delta)$$

или

$$[\text{O}_2] - 3\Delta [\text{O}_2] [\text{O}_2]_0 + \alpha [\text{O}_2] [\text{O}_2]_0 = [\text{O}_2]_0 - \Delta [\text{O}_2]_0,$$

т. е.

$$\Delta \{3 [\text{O}_2] - 1\} [\text{O}_2]_0 = [\text{O}_2] (1 + \alpha [\text{O}_2]_0) - [\text{O}_2]_0;$$

отсюда

$$\Delta = \frac{[\text{O}_2]_0 - [\text{O}_2] (1 + \alpha [\text{O}_2]_0)}{[\text{O}_2] - 3 [\text{O}_2] [\text{O}_2]_0} = \frac{1 - \alpha [\text{O}_2] - [\text{O}_2] / [\text{O}_2]_0}{1 - 3 [\text{O}_2]}. \quad (8)$$

В опытах, в которых ввиду малой мощности и малой продолжительности получались количества перекиси водорода, недостаточные для определения ее концентрации весовым путем, последняя вычислялась на основе данных газового и объемного анализа:

$$c_{\text{H}_2\text{O}_2} = \frac{\alpha 34}{\alpha 34 + (\Delta - \alpha) 36} = \frac{34 \alpha}{36 \Delta - 2 \alpha}, \quad (9)$$

а α по уравнению

$$\alpha = \frac{22,4g}{34V [\text{O}_2]_0}, \quad (10)$$

где g — количество перекиси водорода (в граммах), образовавшейся в результате опыта и определенное титрованием, V — объем пропущенной газовой смеси (в литрах), приведенный к нормальным условиям.

Общее количество раствора перекиси водорода (в граммах) вычислялось по уравнению:

$$G = \frac{g}{c_{\text{H}_2\text{O}_2}} = (36\Delta - 2\alpha) \frac{V [\text{O}_2]_0}{22,4}. \quad (1)$$

Энергетический выход перекиси водорода (в г/квт-ч):

$$A = \frac{g}{U}, \quad (2)$$

где U — энергия (в киловатт-часах), потребленная во время опыта.

Опыты на лабораторной установке, в которых концентрация перекиси водорода могла быть определена весовым способом, рассчитывались другим путем. Так, общее потребление кислорода вычислялось из уравнения (9):

$$\Delta = \frac{\alpha (34 + 2c_{\text{H}_2\text{O}_2})}{36c_{\text{H}_2\text{O}_2}}. \quad (3)$$

Зная α и Δ , можно вычислить $[\text{O}_2]$ из (2) и (3) или (5) и (7):

$$[\text{O}_2] = \frac{[\text{O}_2]_0 (1 - \Delta)}{1 - [\text{O}_2]_0 (3\Delta - \alpha)}, \quad (4)$$

и сравнить полученную величину с опытной. Их сходимость являлась хорошим контролем результатов опытов.

Опыты, проведенные на укрупненной установке и на установке с реактором повышенного давления *, показали, что при больших скоростях пропускания газовой смеси перекись водорода улавливается в приемнике не полностью. Часть образовавшейся перекиси водорода проскакивает через приемник и обнаруживается в газовой пипетке, расположенной на значительном расстоянии (до 2—3 м) от приемника. Вследствие этого количество перекиси водорода, определенное весовым способом из приемника, было всегда меньше полного количества образующейся перекиси водорода. Поэтому расчеты выхода перекиси водорода и общего потребления кислорода, а соответственно расходов энергии на весовую единицу продукта, в этих опытах производились на основе газового анализа и весового определения концентрации перекиси водорода следующим путем: из (5), (7) и (13)

$$\begin{aligned} [\text{O}_2]_0 - \Delta [\text{O}_2]_0 &= [\text{O}_2] - 3\Delta [\text{O}_2] [\text{O}_2]_0 + \alpha [\text{O}_2] [\text{O}_2]_0 = \\ &= [\text{O}_2] - \Delta [\text{O}_2] [\text{O}_2]_0 \left\{ 3 - \frac{36c_{\text{H}_2\text{O}_2}}{34 + 2c_{\text{H}_2\text{O}_2}} \right\} = \\ &= [\text{O}_2] - \Delta [\text{O}_2] [\text{O}_2]_0 \left\{ \frac{51 - 15c_{\text{H}_2\text{O}_2}}{17 + c_{\text{H}_2\text{O}_2}} \right\}; \end{aligned}$$

отсюда

$$\Delta [\text{O}_2] \{17 + c_{\text{H}_2\text{O}_2} - [\text{O}_2] (51 - 15c_{\text{H}_2\text{O}_2})\} = (17 + c_{\text{H}_2\text{O}_2}) ([\text{O}_2]_0 - [\text{O}_2])$$

или

$$\Delta = \frac{(17 + c_{\text{H}_2\text{O}_2}) ([\text{O}_2]_0 - [\text{O}_2])}{[\text{O}_2]_0 \{17 + c_{\text{H}_2\text{O}_2} - [\text{O}_2] (51 - 15c_{\text{H}_2\text{O}_2})\}}, \quad (5)$$

а

$$\alpha = \frac{18c_{\text{H}_2\text{O}_2} ([\text{O}_2]_0 - [\text{O}_2])}{[\text{O}_2]_0 \{17 + c_{\text{H}_2\text{O}_2} - [\text{O}_2] (51 - 15c_{\text{H}_2\text{O}_2})\}}. \quad (6)$$

Расход электроэнергии на весовую единицу образующейся перекиси водорода (в расчете на 1 кг 100% — H_2O_2) вычислялся по уравнению:

$$B = \frac{U}{g} = \frac{22,4U}{34\alpha V [\text{O}_2]_0} = 0,659 \frac{U}{V} \frac{1}{\alpha [\text{O}_2]_0} \text{квт-ч/кг}. \quad (7)$$

* Результаты этих опытов будут приведены в следующих статьях.

расход энергии на килограмм образующегося продукта ($\text{H}_2\text{O}_2 + \text{H}_2\text{O}$) рассчитывался из (11) и (17) уравнений:

$$\beta = \frac{U}{G} = \frac{U c_{\text{H}_2\text{O}_2}}{g} = B c_{\text{H}_2\text{O}_2} \quad \text{квт-ч/кг} \quad (18)$$

или из (9) и (11):

$$\beta = \frac{34\alpha U}{(36\Delta - 2\alpha)g} = \frac{11,2U/V}{(18\Delta - \alpha)[\text{O}_2]_0} \quad \text{квт-ч/кг}. \quad (19)$$

Полученные результаты показывают (рис. 2, 3), что при малой мощности разряда в реакторе выход и концентрация перекиси водорода сильно падают с увеличением температуры реактора выше 10°C . Так как перепад температуры на стенках реактора пропорционален мощности разряда,

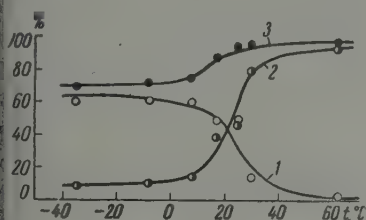


рис. 2. Зависимость потребления кислорода от температуры реактора: 1 — на H_2O_2 ; 2 — на H_2O ; 3 — на $(\text{H}_2\text{O}_2 + \text{H}_2\text{O})$

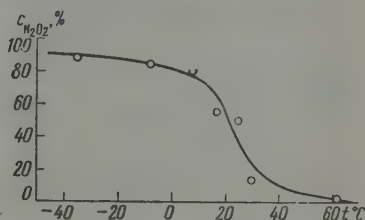


рис. 3. Зависимость концентрации перекиси водорода от температуры реактора

о при малых мощностях (как это было в наших опытах) можно считать температуру стенок реактора практически равной температуре охлаждающей смеси. Поэтому, говоря о температуре реактора, мы имеем в виду температуру охлаждающей смеси, наполняющей оба электрода реактора.

Из табл. 1 видно, что выход перекиси водорода падает от 60,5 до 1,3% при повышении температуры от -35 до 8°C и от 59,4 до 1,3% при повышении температуры от 8 до 62°C . Следовательно, достаточно высокие

Таблица 1

Мощность реактора равнялась 10,3 вт
Состав исходной смеси: $[\text{H}_2]_0 \approx 96,5\%$ и $[\text{O}_2]_0 \approx 3,5\%$

Температура, $^\circ\text{C}$	Выход и пропущ. O_2 , %		Вес. % $c_{\text{H}_2\text{O}_2}$	Энергет. выход $\frac{\text{г}}{\text{квт-ч}}$ H_2O_2	Вычисленные k
	H_2O_2	H_2O			
-35	60,5	8,5	87,1	10,6	0,422
-8	60,5	10,8	84,1	11,0	0,455
+8	59,4	13,7	80,4	9,7	—
+17	48,8	37,9	54,9	9,0	0,735
+25	47,5	46,2	49,3	9,7	—
+30	42,7	79,6	13,1	2,5	—
+62	1,3	92,3	1,3	0,23	0,925

выходы (59%) получались нами при положительных температурах (8°C), в то время как Вольфом [12] даже при -20°C получались значительно меньшие выходы, равные всего 30—35% от пропущенного кислорода. При повышении температуры наблюдалось дальнейшее снижение выхода перекиси водорода.

На основе опытных данных нами по первому порядку были рассчитаны константы скорости общего потребления кислорода для различных температур, которые, как будет показано в следующих статьях, для цельностеклянных реакторов равны константам скорости образования перекиси водорода. Значения констант приведены в последнем столбце табл. 1. Рассчитанная из этих значений энергия активации оказалась равной 1200 кал/моль, а средний температурный коэффициент скорости образования перекиси водорода — равным 1,09. Найденная величина температурного коэффициента хорошо согласуется с величиной температурного

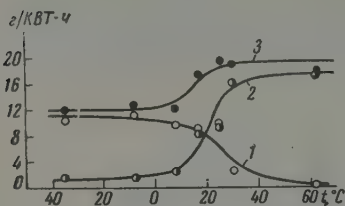


Рис. 4. Зависимость энергетических выходов от температуры реактора: 1— H_2O_2 ; 2— H_2O ; 3 — $(\text{H}_2\text{O}_2 + \text{H}_2\text{O})$

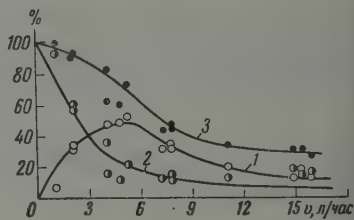


Рис. 5. Влияние скорости протока газовой смеси на выход: 1 — H_2O_2 ; 2 — H_2O ; 3 — $(\text{H}_2\text{O}_2 + \text{H}_2\text{O})$

коэффициента, определенной Маршаллом [18] для фотохимической реакции образования перекиси водорода из элементов в присутствии ртутных паров ($\lambda = 2536,7 \text{ \AA}$) и равной 1,04. Такое низкое значение температурного коэффициента указывает на то, что переход системы через энергетический барьер практически не зависит от температуры. Аналогия действия электрического разряда и ультрафиолетового излучения (в присутствии ртутных паров как сенсibilизаторов) на химические реакции наблюдалась ранее Н. И. Кобозевым и его сотрудниками [19—21]. В нашем случае можно также допустить, что основная часть энергии активации поступает в результате ударов второго рода. Кривая на рис. 3 показывает, что при малой мощности в реакторе концентрация образующейся перекиси водорода сильно понижается при переходе от отрицательных к положительным температурам. Поскольку скорость образования перекиси водорода практически не зависит от температуры, резкое снижение концентрации может быть объяснено только увеличением скорости разложения перекиси водорода с температурой. Зависимость концентрации перекиси водорода от температуры реактора ранее в литературе не приводилась.

В литературе также отсутствуют данные по определению энергетического выхода перекиси водорода для широкого интервала температур. Между тем, как показали наши опыты, энергетический выход перекиси водорода для широкого интервала температур меняется аналогично материальному выходу перекиси водорода. При этом под выходом перекиси водорода мы понимаем долю исходного кислорода, пошедшего на образование перекиси водорода. В приведенной нами ранее схеме обозначался через α или $\alpha \cdot 100\%$.

Под энергетическим выходом мы всегда будем понимать число граммов перекиси водорода (в расчете на 100%-ную концентрацию), образовавшейся на один киловатт-час подводимой энергии.

Мощность разряда рассчитывалась нами путем умножения вольт-амперной мощности на коэффициент мощности. Этот коэффициент сильно зависит от частоты питающего реактор тока и от конструкции реактора. Согласно измерениям Е. Н. Пицхелаури [22] для цельностеклянных реакторов при частоте питающего тока в 50—60 пер/сек коэффициент

мощности равен 0,25—0,30. Нами для расчета энергетических выходов коэффициент мощности принимался равным 0,3.

Кривые, показывающие зависимость энергетического выхода перекиси водорода и воды от температуры в реакторе, представлены на рис. 4. Верхняя кривая изображает зависимость суммарного энергетического выхода образующихся продуктов ($\text{H}_2\text{O}_2 + \text{H}_2\text{O}$) от температуры реактора.

Влияние скорости протока газовой смеси. Влияние скорости протока газовой смеси на электросинтез перекиси водорода изучалось нами на той же установке. При этом, на основе опытных данных была выбрана рабочая температура в 8—10° С, при которой ранее получались достаточно высокие выходы перекиси водорода. Температура реактора поддерживалась постоянной во избежание ее влияния на выходы и концентрацию образующейся перекиси водорода. Остальные условия те же, что в первой серии опытов.

В табл. 2 приведена связь между показателями процесса и скоростью протока газовой смеси. Как видно из табл. 2 и из рис. 5, при уменьшении скорости протока газовой смеси общее потребление кислорода в реакцию возрастает от 30 до 100%, выход воды от 10—15 до 93,5%. Потребление кислорода на образование перекиси водорода проходит через максимум и составляет 50% от пропущенного кислорода при скорости в 4—5 л/час. Чтобы сравнить результаты этих опытов с получающимися в других реакторах с отличной мощностью, определим зависимость показателей процесса от величины удельной энергии U/V *, весьма удобной для сравнения

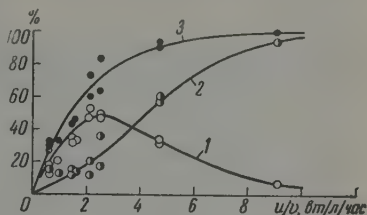


Рис. 6. Влияние удельной энергии на выход: 1 — H_2O_2 ; 2 — H_2O ; 3 — ($\text{H}_2\text{O}_2 + \text{H}_2\text{O}$)

Таблица 2

Продолж. опыта, час	Скор. протока газовой смеси, л/час	Удельн. энергия, Вт/л/час	Выход к пропущенному O_2 , %		Весовая концентрация H_2O_2 , %	Энергетич. выход, г/кВт·ч H_2O_2
			H_2O_2	H_2O		
1	15,4	0,67	17,8	14,3	53,9	13,3
1	16,0	0,68	12,6	15,0	44,0	11,0
1	14,9	0,69	11,7	18,8	37,0	10,0
1,5	11,1	0,93	20,8	12,5	60,5	11,6
3	7,8	1,32	32,6	13,5	69,5	14,0
2	7,75	1,33	33,2	11,7	72,7	13,2
2	7,3	1,41	31,3	12,5	70,3	10,4
2	5,2	2,15	52,2	20,9	70,3	12,8
3	4,88	2,15	48,6	11,2	80,4	12,0
2	4,14	2,49	47,1	35,4	55,6	9,5
2	4,09	2,52	47,4	15,0	74,8	9,4
3	2,17	4,75	33,5	59,8	34,7	3,7
2	2,17	4,75	34,3	56,7	36,4	3,4
4	1,09	9,08	6,5	93,5	6,2	0,4

эффективности разряда в таких случаях. Рис. 6 показывает, что общее потребление кислорода и потребление кислорода на образование воды растут с увеличением значения удельной энергии. Выход перекиси водорода проходит через максимум, достигая 50% при значении $U/V = 2,0$ —2,5. Единственным указанием в литературе на существование зависимости

* Отношение U/V , впервые введенное С. С. Васильевым, Н. И. Кобозевым и Е. Н. Среминым [23], под названием удельной энергии, представляет собой энергию разряда ватт-часах, приходящуюся на литр пропущенного газа.

электросинтеза перекиси водорода от скорости протока газа является работа Вольфа [12], констатирующего, без каких-либо объяснений, наличие максимума выхода перекиси водорода при скорости протока газовой смеси в 0,4 л/час.

Объяснение влияния скорости протока на показатели электросинтеза будет приведено нами позднее на основе кинетического анализа, являющегося рациональным способом оценки химического действия электрического разряда.

Выводы

1. Изучено влияние температуры реактора на выход и концентрацию перекиси водорода при синтезе в тихом электрическом разряде. При 8° С получена перекись водорода концентрацией в 80%.

2. Найдено, что при повышении температуры от —35° до 8° С выход перекиси водорода и ее концентрация практически не меняются, в то время как при дальнейшем повышении температуры до 62° С выход и концентрация перекиси водорода резко уменьшаются.

3. Вычислена энергия активации реакции образования перекиси водорода в тихом электрическом разряде, которая оказалась равной 1200 кал/моль. Такое низкое значение совпадает с аналогичными значениями при фотохимическом образовании перекиси водорода, что указывает на общие черты активации с помощью тихого разряда и ультрафиолетового излучения.

4. Показано, что при увеличении скорости протока газовой смеси через реактор, выход перекиси водорода проходит через максимум.

5. Обнаружено, что общее потребление кислорода в реакцию и потребление кислорода на образование воды увеличиваются по мере уменьшения скорости протока газовой смеси.

Московский государственный
университет им. М. В. Ломоносова

Поступила
16.VI.1958

ЛИТЕРАТУРА

1. R. A. Cooley, Chem. Ind., 58, 957, 1946; русский перевод в сборнике «Физики и химия реактивного движения», сб. 1, 1948.
2. Н. И. Кобозев, В. Г. Синдюков, Е. Н. Еремин, Л. И. Некрасов и И. А. Семиохин. Отчет НИИХ, МГУ, 61, 1948.
3. Н. И. Кобозев, В. Г. Синдюков, Е. Н. Еремин, Л. И. Некрасов и И. А. Семиохин, Отчет МИИХ МГУ, 105, 1948.
4. Н. И. Кобозев, В. Г. Синдюков, Е. Н. Еремин, И. А. Семиохин, Л. И. Некрасов и Х. Ф. Джернетов, Отчет НИИХ МГУ, 131, 1949.
5. Н. И. Кобозев, Е. Н. Пицхелаури, Е. Н. Еремин, И. А. Семиохин и Л. И. Некрасов, Отчет НИИХ МГУ, 162, 1949.
6. Н. И. Кобозев, Е. Н. Пицхелаури, Е. Н. Еремин, И. А. Семиохин и Л. И. Некрасов, Отчет НИИХ МГУ, 228, 1950.
7. И. А. Семиохин, Канд. диссертация, МГУ, 1951.
8. F. Fischer und O. Ringe, Ber., 41, 950, 1908.
9. F. Fischer und P. M. Wolf, Ber., 44, 2956, 1911.
10. Schonbein, J. prakt. Chem., 83, 86, 1861.
11. Engler und Nasse, Lieb. Ann., 154, 215, 1870.
12. P. M. Wolf, Z. Elektrochem., 20, 204, 1914.
13. E. Noack und O. Nitzschke, I. G. Farbenindustrie, A.—G., герм. пат. 630905, швейц. пат. 137202, австр. пат. 122209, фр. пат. 643127, англ. пат. 30028 (от 12/II—1927 г.).
14. Канад. пат. 344104, Mathieson Alkali Works, Chem. Zbl., 2, 915, 1935.
15. M. Golden, Industr. Chemist, 350, 153, 1946.
16. A. de Hemptinne, герм. пат. 229573; цитировано из книги W. Mach, Das Wasserstoffsperoxyd und Perverbindungen, II Auflage, Wien, 1951.
17. С. С. Васильев, Уч. зап. МГУ, 86, кн. 2, 3, 1946; Ж. физ. химии, 20, 51, 1946.
18. A. L. Marshall, J. Amer. Chem. Soc., 49, 2763, 1927.

9. Н. И. Кобозев, С. С. Васильев и Э. Е. Гальбрайт, Докл. АН СССР, 3—4, 236, 1935.
 10. Н. И. Кобозев, В. П. Лебедеви Ю. В. Филиппов, Ж. физ. химии, 24, 845, 1950.
 11. Ю. В. Филиппов, В. П. Лебедев, В. В. Заламани Н. И. Кобозев, Ж. физ. химии, 24, 1009 (1950).
 12. Е. Н. Пицхелаури, Канд. диссертация, ИОХ АН СССР, 1942.
 13. С. С. Васильев, Н. И. Кобозев, Е. Н. Еремин, Ж. физ. химии, 7, 620, 1936.
-

PHYSICO-CHEMICAL STUDIES ON THE ELECTROSYNTHESIS OF CONCENTRATED HYDROGEN PEROXIDE FROM ITS ELEMENTS

1. THE KINETICS OF THE ELECTROSYNTHESIS OF H_2O_2

N. I. Kobozov, I. A. Semiokhin and V. G. Sindjukov (Moscow)

S u m m a r y

In the paper the results are presented of studies on the effect of reactor temperature and rate of flow of gas mixture on the yield and concentration of hydrogen peroxide during its electrosynthesis from the elements. At 8° C hydrogen peroxide of 80% concentration has been obtained. The yield and concentration of hydrogen peroxide has been found to remain practically unchanged on raising the temperature from —35 to 8° C, but to decrease sharply on further rise in temperature.

It has been found that with increase in the velocity of gaseous flow through the reactor the hydrogen peroxide yield passes through a maximum, whereas with decrease in the velocity the yield of water increases.

An analogy has been drawn between activation with the aid of the silent electrical discharge and ultraviolet irradiation.

ИССЛЕДОВАНИЕ ТЕРМОДИНАМИЧЕСКИХ СВОЙСТВ
ЖИДКИХ МЕТАЛЛИЧЕСКИХ РАСТВОРОВ

СИСТЕМА КАЛИЙ — СВИНЕЦ

М. Ф. Лантратов

Активность калия в сплавах К — Pb определялась Морачевским [1] при 575° для составов с атомной долей калия от 0,058 до 0,643. Исследование термодинамических свойств системы калий — свинец представляет практический интерес в связи с разработкой нового метода получения калия путем электрохимического выделения его на жидком свинцовом катоде с последующей вакуумной дистилляцией сплава. Поэтому в настоящей работе изучены термодинамические свойства жидких металлических растворов калия и свинца в широком интервале концентраций (от 0,05 до 0,9 N_K , где N_K — атомная доля калия) и температур (от 525 до 600°). При исследовании был использован метод электродвижущих сил. Термодинамические свойства рассчитывались из значений э. д. с. (E) и температурных коэффициентов э. д. с. (dE/dT) концентрационных цепей:

$K | \text{электролит, содержащий } K^+ | K(N_K) + Pb(N_{Pb})$, где N_K и N_{Pb} — атомные доли калия и свинца, соответственно.

В качестве электролита нами использовалось твердое стекло, содержащее окись калия (стекла марок: № 23, № 29 и ЗС — «5к»). Возможность применения стекла в качестве твердого электролита при подобных измерениях показана в ряде работ [1—5].

Активность калия (a_K) вычислялась из значений э. д. с. по уравнению:

$$\lg a_K = - \frac{5040 \cdot E}{T}.$$

За стандартное состояние принималось состояние чистого жидкого калия при той же температуре. Парциальные значения изобарно-изотермических потенциалов ($\Delta \bar{Z}_K$) и избыточного потенциала ($\Delta \bar{Z}_K^*$) вычислялись по уравнениям:

$$\Delta \bar{Z}_K = -23060E = 4,576 \lg a_K \text{ кал/г-атом};$$

$$\Delta \bar{Z}_K^* = \Delta \bar{Z}_K - RT \ln N_K = 4,576 \lg \gamma_K \text{ кал/г-атом} \quad \left(\gamma_K = \frac{a_K}{N_K} \right).$$

Для вычисления парциальных молярных энтропий смешения ($\Delta \bar{S}_K$) и избыточной энтропии смешения ($\Delta \bar{S}_K^*$) использовались соотношения:

$$\Delta \bar{S}_K = 23060 \frac{dE}{dT} \text{ кал/град-атом};$$

$$\Delta \bar{S}_K^* = \Delta \bar{S}_K + 4,576 \lg N_K \text{ кал/град-г-атом}.$$

Парциальная молярная энтальпия (теплота) смешения вычислялась по уравнению

$$\Delta \bar{H}_K = \Delta \bar{Z}_K + T \Delta \bar{S}_K \text{ кал/г-атом}.$$

Интегральные значения получались путем графического интегрирования по уравнению:

$$\Delta G = (1 - N_K) \int_0^{N_K} \frac{\Delta \bar{G}_K}{(1 - N_K)^2} dN_K,$$

где ΔG — любая интегральная, а $\Delta \bar{G}$ — парциальная термодинамическая функция состояния.

Парциальные величины для свинца рассчитывались из интегральных значений: $G = N_K \cdot \Delta \bar{G}_K + N_{Pb} \cdot \Delta \bar{G}_{Pb}$ или путем графического интегрирования по уравнению Абса—Дюгема в форме:

$$\lg \gamma_{Pb} = - \int_0^{N_K} \frac{N_K}{N_{Pb}} d \lg \gamma_K.$$

Экспериментальная часть

Методика эксперимента. Конструкция измерительной ячейки и методика работы были в основном такими же, как и в работах [2, 6]. Опыты проводились в атмосфере тщательно очищенного аргона. При выполнении работы использовались металлы высокой чистоты. Металлический свинец, полученный электролизом расплавленного $PbCl_2$ (марки «х ч.»), освобождался перед опытом от окислов пропусканием через капилляр в атмосфере аргона. Металлический калий подвергался специальной фильтрации через стеклянный фильтр № 3 в атмосфере аргона и вводился через капилляр в стеклянную ампулу. Последняя запаивалась после заполнения. Это обеспечивало взятие точных навесок калия. Состав сплава контролировался анализом.

Измерения производились потенциометрически с точностью $\pm 0,2$ мВ при прямом обратном ходе по температуре. Принятые для расчета значения э. д. с. являются средними, полученными в 2—4 независимых опытах при данном составе сплава; э. д. с. отдельных опытов при одном и том же составе не отличалась более чем на $\pm 0,2\%$. Температура измерялась хромель-алюмелевой термопарой с точностью $\pm 1^\circ$.

Обсуждение результатов

Значения э. д. с. концентрационных цепей калий | стекло | сплав калия со свинцом и рассчитанные значения термодинамических функций состояния для жидких растворов K — Pb при 525—600° С представлены в табл. 1 и на рис. 1—6.

На рис. 1 изображены изотермы активности и коэффициента активности натрия и свинца при 600°. Как видно из рисунка, активности калия свинца во всей области концентраций сплавов меньше соответствующих томных долей. В системе наблюдается сильное отрицательное отклонение от закона Рауля. Это особенно наглядно видно из хода кривых коэффициента активности натрия или свинца (кривые 2, 4 на рис. 1). Такое поведение сплавов калия со свинцом может быть объяснено существованием в жидком состоянии структурных групп металлических соединений. Справедливость такого заключения подтверждается прежде всего рентгенографическими исследованиями строения жидких металлов сплавов [7—10]. Так, например, Зауервальд и Теске [10] установили существование структурных групп соединений Tl_2Hg_5 и KHg_2 в соответствующих жидких двойных сплавах.

На рис. 2 приведена диаграмма состояния системы K — Pb по данным мита [11]. По Смиту в системе образуются два инконгруентно плавящиеся соединения: KPb_4 (295°) и KPb_2 (340°); в области составов от 36 до 4 атм% калия наблюдается разрыв растворимости. Указывается также и возможность существования соединения K_2Pb . Иенеке [12] считает весьма сомнительным существование области расслоения в этих сплавах.

Измерения э. д. с. в системе K — Pb были проведены нами при 525—600°. При этом было установлено, что при температурах 570° и выше сплавы всех составов являлись жидкими. Нами не обнаружена также

Таблица 1

Э. д. с. (E) цепей: калий [стекло] сплав калия со свинцом, активность и коэффициент активности калия (a_K , γ_K) и свинца (a_{Pb} , γ_{Pb}) при 550 и 600°

Э. д. с., а и γ	Состав сплава, атомная доля калия									
	0,05	0,1	0,2	0,3	0,4	0,5	0,6	0,7	0,8	0,9
600°										
E	0,5898	0,5305	0,4450	0,3570	0,269	0,1700	0,0960	0,0433	0,0213	0,0097
a_K	0,000394	0,000866	0,0027	0,00869	0,028	0,104	0,279	0,562	0,753	0,879
γ_K	0,00738	0,00806	0,0135	0,0289	0,070	0,209	0,465	0,803	0,942	0,977
a_{Pb}	0,9435	0,883	0,724	0,501	0,266	0,0854	0,0244	0,00724	0,00262	0,00104
γ_{Pb}	0,9932	0,981	0,905	0,716	0,443	0,171	0,0611	0,0241	0,0131	0,0104
550°										
E	0,5848	0,530	0,450	0,361	0,273	(0,178)*	0,1005	0,0423	0,0208	0,0091
a_K	0,000262	0,000568	0,00176	0,00616	0,0213	(0,0813)	0,242	0,551	0,745	0,880
γ_K	0,00524	0,000568	0,0088	0,0205	0,0532	(0,163)	0,404	0,787	0,932	0,977
a_{Pb}	0,9432	0,882	0,724	0,493	0,253	(0,0831)	0,0183	0,00582	0,00220	0,000907
γ_{Pb}	0,9928	0,980	0,905	0,704	0,421	(0,166)	0,0457	0,0177	0,011	0,00917

* Получены экстраполяцией.

Таблица 2

Термодинамические свойства жидких металлических растворов K — Pb при 600 и 550°

Термодинамические величины	Состав сплава, атомная доля калия									
	0,05	0,1	0,2	0,3	0,4	0,5	0,6	0,7	0,8	0,9
600°										
$\Delta \bar{Z}_K$	-13600	-12330	-10260	-8230	-6200	-3920	-2215	-998	-490	-223
$\Delta \bar{Z}_{Pb}$	-101	-216	-562	-1200	-2300	-4270	-6440	-8550	-10310	-11920
$\Delta \bar{Z}_K^*$	-8400	-8340	-7470	-6140	-4614	-2720	-1330	-380	-104	-4
$\Delta \bar{Z}_{Pb}^*$	-12	-34	-172	-580	-1410	-3070	-4890	-6460	-7520	-7930
$\Delta \bar{Z}$	-780	-1430	-2600	-3310	-3860	-4095	-3900	-3360	-2450	-1390
$\Delta \bar{Z}^*$	-430	-860	-1730	-2250	-2690	-2890	-2740	-2190	-1520	-830
$\Delta \bar{S}_K$	+2,31	+0,25	-2,19	-1,84	-1,84	-3,69	-2,07	+0,46	+0,20	+0,20
$\Delta \bar{S}_K^*$	-3,65	-4,32	-5,40	-424	-3,36	-5,07	-3,08	-0,44	-0,25	+0,00
$\Delta \bar{S}$	+0,19	+0,26	+0,09	-0,16	-0,40	-0,86	-1,39	-1,107	-0,64	-0,11
$\Delta \bar{S}^*$	-0,20	-0,38	-0,90	-1,38	-1,74	-2,23	-2,66	-2,32	-1,63	-0,80
$\Delta \bar{H}_K$	-11580	-12110	-12170	-9840	-7810	-7140	-4020	-600	-320	+10
$\Delta \bar{H}$	-610	-1200	-2520	-3450	-4210	-4840	-5060	-4325	-3000	-1530
550°										
$\Delta \bar{Z}_K$	-13480	-12220	-10380	-8320	-6290	(-4100)	-2320	-970	-480	-210
$\Delta \bar{Z}_K^*$	-8590	-8460	-7740	-6360	-4800	(-2930)	-1480	-390	-115	-30
$\Delta \bar{Z}$	-765	-1440	-2500	-3310	-3870	(-4090)	-3810	-3250	-2390	-1330
$\Delta \bar{Z}^*$	-440	-875	-1680	-2310	-2770	(-2930)	-2740	-2250	-1570	-820

ность расслоения. Если бы в системе наблюдался разрыв растворимости и концентрациях от 34 до 74 ат. % калия, то во всей этой области э. д. с. следовательно, и активность, сохраняли бы постоянные значения. Однако, как видно из рис. 1 (кривые 1 и 3), изотермы активности калия и свинца не показывают такого хода.

На рис. 2 приведена линия $A - K\text{Pb} - B$, ограничивающая область жидких сплавов и область гетерогенного равновесия. Она была получена нами из кривых температурной зависимости э. д. с. При охлаждении жидкого сплава любого состава от A до B э. д. с. изменялась прямолинейно до точки появления в системе гетерогенности, т. е. начала кристаллизации. Начиная с этой температуры и далее, температурный ход э. д. с.

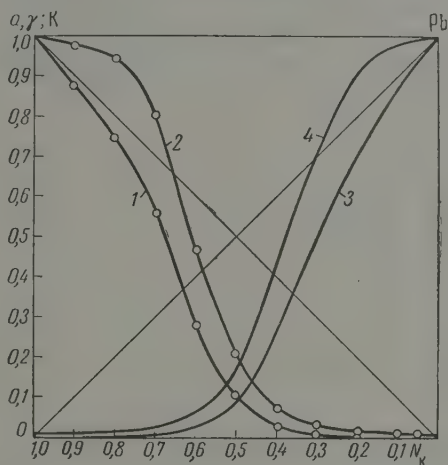


Рис. 1. Активность и коэффициент активности компонентов жидких сплавов $K - Pb$ при 600° ; 1—активность K , 2—коэффициент активности K ; 3—активность Pb , 4—коэффициент активности Pb

ли иным. Следовательно, кривая $A - K\text{Pb} - B$ является кривой ликвидуса в этой части системы. Кривая имеет максимум при $N_K = 0,5$ при $568 - 570^\circ$, который отвечает, по-видимому, конгруентно плавящемуся соединению $K\text{Pb}$. Таким образом в системе $K\text{Pb}$ наиболее прочным соединением является соединение $K\text{Pb}$, имеющее температуру конгруэнтного плавления 570° . Наличие структурных групп этого соединения в жидких сплавах $K - Pb$ и определило все термодинамические свойства этой системы.

На рис. 3 представлена зависимость активности калия от температуры полулогарифмической шкале, причем в широком интервале температур отмечается прямолинейность такой зависимости. Это обстоятельство имеет важное практическое значение, ибо позволяет экстраполировать значения как в сторону больших, так и в сторону меньших температур.

На рис. 4 приведены кривые парциальных и интегральных молярных обарно-изотермических потенциалов и избыточного потенциала при 0° . Интегральные кривые имеют экстремум при $N_K = 0,5$. Максимальные значения равны: $\Delta Z = -4090 \text{ кал}$; $\Delta Z^* = -2890 \text{ кал}$. Ход кривой ΔZ^* подтверждает вывод о том, что наиболее прочным соединением в системе является $K\text{Pd}$.

На рис. 5 представлены интегральные значения теплоты смешения, обарно-изотермического избыточного потенциала и значения $T\Delta S$

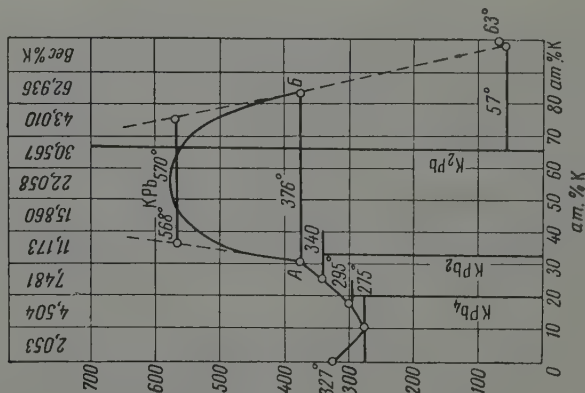


Рис. 2.

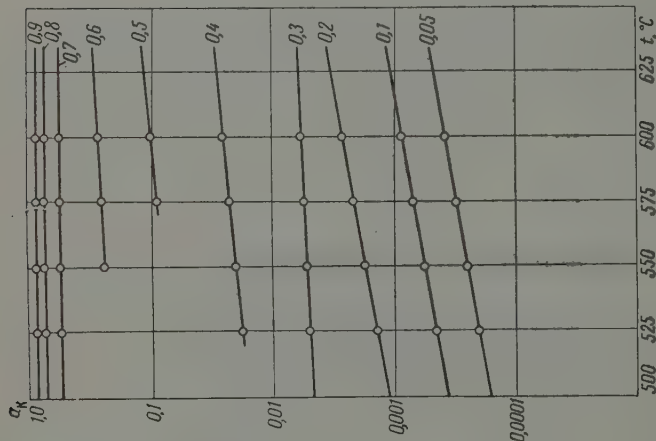


Рис. 3

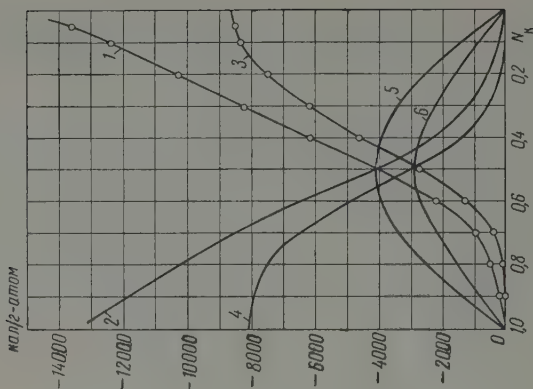


Рис. 4

Рис. 2. Диаграмма состояния системы К — РЬ

Рис. 3. Политермы активности калия в системе К — РЬ

Рис. 4. Парциальные и интегральные изобарно-изотермические потенциалы в системе К — РЬ при 600°: 1 — ΔZ_K ; 2 — ΔZ_{Pb} ; 3 — $\Delta Z_{K,Pb}$; 4 — $\Delta Z_{K,Pb}^*$; 5 — ΔZ и 6 — ΔZ^*

при 600° . Из рисунка видно, что все кривые имеют экстремум при составе $N_K = 0,6-0,5$. Образование жидких сплавов калия со свинцом сопровождается значительным экзотермическим эффектом. Максимальное значение $\Delta H = -5060$ кал. Из рис. 5 также видно, что ΔH для всех составов больше соответствующих величин ΔZ^* . В силу этого растворы К — Рb не могут быть отнесены к числу так называемых регулярных растворов [13], для которых $\Delta \bar{H}_K = RT \ln \gamma_K$. Экстремальные значения в нашем случае отличаются на 2170 кал.

Важным является также то обстоятельство, что для сплавов калия со свинцом величина ΔH в основном определяется величиной изменения изобарно-изотермического потенциала ΔZ . Роль энтропийной составляющей $T\Delta S$ в выражении $\Delta H = \Delta Z + T\Delta S$ относительно мала; максимальное значение равно приблизительно -1160 кал.

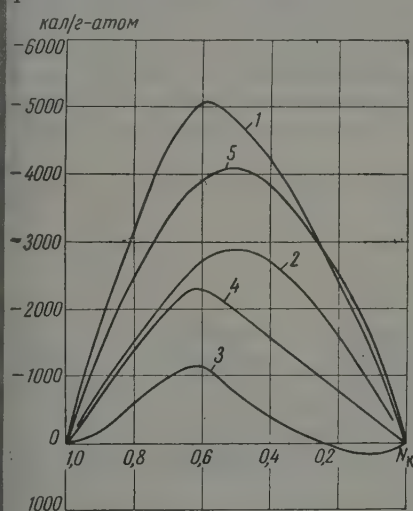


Рис. 5. Интегральная молярная теплота смешения в системе К—Рb при 600° : 1 — ΔH ; 2 — ΔZ^* ; 3 — $T\Delta S$; 4 — $T\Delta S^*$ и 5 — ΔZ

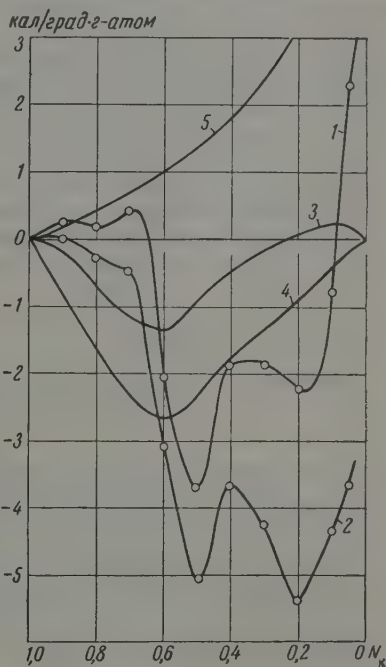


Рис. 6. Парциальная и интегральная энтропия смешения в системе К—Рb: 1 — $\Delta \bar{S}_K$; 2 — $\Delta \bar{S}_K^*$; 3 — ΔS ; 4 — ΔS^* и 5 — $\Delta S_{ид}$

На рис. 6 приведены кривые парциальных и интегральных значений энтропии смешения. Парциальная молярная энтропия смешения (кривая 1) сложно зависит от состава. Для богатых калием сплавов ($N_K = 1,0-0,67$) она положительна, начиная с состава $N_K = 0,67$ и далее кривая $\Delta \bar{S}_K$ переходит в область отрицательных значений, а для сплавов с $N_K < 0,1$ энтропия снова становится положительной. Аналогичный ход имеет кривая избыточной энтропии смешения (кривая 2, рис. 6).

Таким образом в области образования в жидком сплаве структурных групп металлических соединений энтропия смешения отрицательна. Отрицательные значения в этой области составов имеют также интегральные молярные энтропия смешения и избыточная энтропия смешения. Экстремальные значения ΔS и ΔS^* равны соответственно: $-1,33$ и $-2,66$ кал/град.г-атом. Отрицательные значения энтропии смешения в сплавах К — Рb связаны, по-видимому, с сильной полярностью связей в соединениях калия со свинцом.

Выводы

1. Измерены э. д. с. концентрационных цепей калий|стекло|калий — свинец в широком интервале концентраций (от 0,05 до 0,9 N_K) и температур (500—600°).

2. Для исследованных жидких металлических растворов вычислены значения активности, коэффициента активности, парциальных молярных изобарно-изотермических потенциала и избыточного потенциала, парциальные значения молярных энтропии и теплоты смешения, а также рассчитаны соответствующие значения интегральных молярных величин.

3. Обнаружены в системе сильные отрицательные отклонения от идеального поведения. Такое поведение сплавов К — Рб объяснено существованием в жидкой фазе структурных групп металлических соединений.

4. Экстремальные значения интегральных кривых лежат при составе $N_K = 0,5-0,6$. Образование сплавов К — Рб сопровождается экзотермическим тепловым эффектом; максимальное значение $H_K = -5,06$ ккал/г-атом. Теплота смешения определяется в основном величиной изобарно-изотермического потенциала.

5. Отмечена приблизительно линейная зависимость активности калия от температуры в полулогарифмической шкале.

6. Отрицательные значения энтропии смешения в широкой области составов сплавов объяснены частично ионным характером связей в соединениях калия со свинцом.

7. Показано, что в системе наиболее прочным соединением должно быть соединение KPb .

Ленинградский электротехнический институт
им. В. И. Ульянова (Ленина)

Поступила
18.VI.1958

ЛИТЕРАТУРА

1. А. Г. Морачевский, Ж. прикл. химии, **30**, 1239, 1957.
2. K. Hauffe, Z. Elektrochem., **46**, 348, 1940.
3. K. Hauffe, A. L. Vierk. Z. Elektrochem., **53**, 151, 1949.
4. A. L. Vierk, Z. Elektrochem., **54**, 436, 1950.
5. A. L. Vierk, K. Hauffe, Z. Elektrochem., **54**, 383, 1950.
6. М. Ф. Лантратов, Е. В. Царенко, Ж. физ. химии, **33**, 1792, 1959.
7. В. И. Данилов, Рассеяние рентгеновых лучей в жидкостях, ОИТИ, 1935.
8. В. И. Данилов, Строение и физические свойства вещества в жидком состоянии, Материалы совещания, Киев, Изд-во КГУ, 1954.
9. N. S. Gingrich, Rev. Mod. Phys. **15**, 90, 1943; Успехи химии, **15**, 297, 1946.
10. F. Sauerwald, W. Teske, Z. anorgan. Chem., **210**, 247, 1933.
11. D. P. Smith, Z. anorgan. Chem., **56**, 133, 1907.
12. E. Janeske. Kurzgefasstes Handbuch aller Legierungen, Heidelberg, 1949.
13. К. Вагнер, Термодинамика сплавов, Металлургиздат, 1957.

STUDIES OF THE THERMODYNAMIC PROPERTIES OF LIQUID METAL SOLUTIONS. THE SYSTEM POTASSIUM — LEAD

M. F. Lantratov (Leningrad)

Summary

The values of the partial and integral thermodynamic values for the system K — Pb have been calculated over a large range of concentrations (0.05 to 0.9 N_K) and temperatures (500—600°C) from the e.m.f.'s of the concentration cells potassium/glass/potassium — lead alloy. Large negative deviations from the ideal values have been explained by the existence in liquid alloys of structural groups of metallic compounds. An approximately linear dependence of activity upon temperature has been observed in the semilogarithmic coordinate system. The integral quantities possess extremal values at the composition $N_K = 0.5-0.6$. The formation of potassium — lead alloys is accompanied by a large exothermal effect. The maximum value of the heats of mixing equals -5.06 kcal/g. atom. The heats of mixing depend mainly upon the value of the isobaric — isothermal potential. The negative values of the entropy of mixing observed over a wide range of concentrations are explained by the partial ionic character of the bond in the potassium — lead compound. The most stable compound has been shown to be KPb .

О ПРИМЕНЕНИИ ТЕОРИИ ПОДОБИЯ ПРИ ФИЛЬТРАЦИИ ЖИДКОСТИ

Н. У. Койда

Значительные успехи теории гидравлических сопротивлений для случая движения жидкости в пористой среде достигнуты главным образом благодаря привлечению теории подобия и метода размерностей, в особенности после введения в число Рейнольдса в качестве характерного линейного размера гидравлического радиуса. Хотя такой выбор характерного линейного размера ничем не оправдывается, тем не менее многочисленные опыты, поставленные для одного и того же сыпучего материала при различных пористостях его, показали, что однозначная связь имеет место, если только положить

$$\lambda = \frac{p}{\rho L} \frac{R}{u^2} = i \frac{\gamma}{\rho} \frac{R}{u^2} \quad (1)$$

$$\text{Re} = \frac{u R \rho}{\mu}, \quad (2)$$

где λ — коэффициент сопротивления; p — давление; R — гидравлический радиус; ρ — плотность; u — скорость фильтрации; L — длина; i — гидравлический уклон; γ — вес единицы объема жидкости; μ — динамическая вязкость.

В этом отношении особенно убедительны опыты с расpirяющимися нагрузками, в которых пористость колебалась в весьма широких пределах.

Экспериментальный материал показывает, что зависимость $\lambda = F(\text{Re})$ имеет вид:

$$\lambda = \frac{A}{\text{Re}} + B, \quad (3)$$

где A и B — постоянные; или после разрешения относительно уклона

$$i = A \frac{\mu}{\gamma} \frac{u}{R^2} + B \frac{\rho}{\gamma} \frac{u^2}{R} \quad (4)$$

$$i = \frac{v}{k_{\text{л}}} + \frac{v^2}{k_{\text{т}}} \quad (5)$$

v — скорость фильтрации; $k_{\text{л}}$ — коэффициент ламинарной фильтрации; $k_{\text{т}}$ — коэффициент турбулентной фильтрации).

В выражениях (4) — (5) величина R — гидравлический радиус пористой среды, численно равный отношению объема пор к их поверхности. Для однородных по зерновому составу сыпучих материалов он принимается равным

$$R = \frac{\varepsilon d}{6\alpha(1-\varepsilon)}, \quad (6)$$

где ε — пористость материала, d — диаметр зерна, α — модуль формы α для неоднородных

$$R = \frac{\varepsilon d_0}{6\alpha(1-\varepsilon)}, \quad (7)$$

где

$$d_0 = \frac{1}{\sum_{i=1}^n \frac{\gamma_i}{d_i}} \quad (8)$$

Из зависимостей (3) — (5) следует, что для определения гидравлического сопротивления пористого материала необходимо знать численные значения безразмерных величин A и B , его гидравлический радиус и пористость. Располагая этими величинами, коэффициенты фильтрации можно подсчитать по следующим формулам:

$$k_{\text{л}} = \frac{\varepsilon \gamma R^2}{A_{\text{л}}}, \quad (9)$$

$$k_{\text{т}} = \varepsilon \sqrt{\frac{\gamma R}{B\rho}}. \quad (10)$$

Зависимости (1) и (2) напоминают аналогичные зависимости из теории подобия. Опыты показывают, что они хорошо выполняются для одного того же материала при различных пористостях. Однако при изменении пористости меняется форма пор, и, стало быть, нарушается геометрическое подобие пор. Поэтому естественно попытаться проверить, будут ли формулы (1) и (2) справедливыми для более общего случая — для материалов, имеющих не только различные формы пор, но и различные конфигурации зерен (например, для щебня и гравия).

Ряд авторов придерживается мнения, что они будут справедливыми по крайней мере при ламинарной фильтрации.

Если только условия (1) и (2) выполняются для материалов, имеющих различные по форме зерна, то коэффициенты A и B в формулах (3) и (4) являются постоянными. В настоящей работе сделана попытка проверить это экспериментальным путем.

Экспериментальная проверка постоянства коэффициентов A и B для различных пористых материалов в конечном итоге свелась к определению гидравлического сопротивления шести сыпучих материалов и к определению гидравлических радиусов этих материалов наиболее надежным способом.

Гидравлические сопротивления исследуемых материалов определялись на вертикальном приборе типа Дарси. Прибор имел квадратное поперечное сечение со стороной 20 см. Длина рабочего участка (расстояние между крайними пьезометрами) принималась равной 40 см. Высота загрузки во всех опытах была равной 65 см. В качестве рабочей жидкости принималась вода (температура 10°). Перепад давления замерялся при $i < 1$ пьезометрами, в остальных случаях — ртутным дифманометром.

В процессе опытов были построены зависимости для шести материалов, характеристики которых приведены в табл. 1.

Гидравлические радиусы сыпучих материалов определялись по их разрезам подобно тому, как в металлографии определяют удельную поверхность металла по его шлифу.

Для удельной поверхности металла, численно равной поверхности зерен металла в единице объема, С. А. Салтыковым [1] получена следующая формула:

$$S = \frac{2q}{L}, \quad (11)$$

которой L — длина отрезка на шлифе и q — число пересечений этого отрезка с поверхностями зерен.

Эта формула пригодна и для разреза сыпучего материала. В этом случае при $q = n$

$$S = 2 \frac{2n}{L} = \frac{2}{h_0}, \quad (12)$$

$$h_0 = \frac{L}{2n}. \quad (13)$$

Гидравлический радиус численно равен отношению объема пор в единице объема материала к их поверхности. Поэтому

$$R = \frac{\varepsilon}{S} = \frac{\varepsilon h_0}{2}. \quad (14)$$

соответствии с принципом Кавельери — Аккера (см. [1])

$$\varepsilon = \frac{f_0}{l_0 + f_0} = \frac{f_0}{2h_0}; \quad (15)$$

$$f_0 = \frac{\varepsilon l_0}{1 - \varepsilon} \quad (16)$$

$$l_0 = 2(1 - \varepsilon)h_0, \quad (17)$$

где l_0 и f_0 — средние значения отрезков прямой, оказавшихся соответственно в пределах сечения зерен и в пределах сечения пор.

Из (14) — (17) получаем

$$R = \frac{f_0}{4}; \quad (18)$$

$$R = \frac{\varepsilon c_0}{4(1 - \varepsilon)}. \quad (19)$$

Приравнивая попарно правые части уравнений (6) и (19), (7) и (19), получим формулы для определения модуля формы материала по его разрезу:

$$\alpha = \frac{2}{3} \frac{d}{c_0} \quad (20)$$

$$\alpha = \frac{2}{3} \frac{d_0}{c_0}. \quad (21)$$

Приведенные формулы и использованы для определения гидравлического радиуса пористого материала и его модуля формы.

Для получения разрезов исследуемых материалов, последние перемешивались с цементным раствором, приготовленным на весьма мелком песке, и укладывались в формы. После затвердения формы разбирались, образцы разрезались на камнерезной машине и шлифовались.

По разрезам материалов определялись средние значения h_0 [см. формулу (13)] и пористости ε (по методу А. А. Глаголева — см. [1]). По известным h_0 и ε находились величины c_0 [см. формулу (17)]. Последние и были исходными для определения гидравлических радиусов и модулей формы.

Гидравлические радиусы загрузок подсчитывались по формуле (19), которую вводились пористости, замеренные в приборе. Модули формы материалов подсчитывались по формулам (20) и (21), в которые вводились диаметры зерен, найденные методом счета.

Полученные значения c_0 и α приведены в табл. 1.

Таблица 1

Наименование материалов	Диаметры отверстий сит, на которых отсеивались материалы, мм	Состав неоднородных материалов	d_3 , см	e_0 , см	α
Гравий	7 и 12	Однородный	0,77	0,48	1,07
»	5 и 7	»	0,51	0,36	0,95
Щебень	7 и 10	»	0,64	0,36	1,18
»	5 и 7	»	0,47	0,30	1,04
Гравийная смесь	12 и 20; 7 и 12	$d_1=1,36$ см; 70% $d_2=0,77$ см; 30%	1,11	0,75	0,95
»	12 и 20; 7 и 12	$d_1=1,96$ см; 50% $d_2=0,77$ см; 50%	0,98	0,65	1,00

Из табл. 1 следует, что полученные численные значения модулей формы ниже рекомендуемых в литературе. Так, например, Д. М. Минин, обобщив опытные данные ряда авторов, приводит в работе [2] следующие рекомендации для модулей формы: для песка окатанного — 1,17; для песка остроугольного 1,50—1,67; для песка с неоднородными зернами 1,70—1,87; для кокса — 2,86. Между тем, в нашем случае наибольшее значение модуля формы оказалось равным 1,48 (щебень).

Для некоторых материалов модули формы оказались меньше единицы. Что легко объяснить, если учесть, что практически материал после просева на ситах всегда будет состоять из зерен различных объемов. Пусть, например, материал состоит из двух однородных фракций, объемы зерен и веса которых соответственно равны: $V_1 = 1$, $\gamma_1 = 0,3$; $V_2 = 4$, $\gamma_2 = 0$. Пусть при этом модули формы фракций одинаковы и равны α_0 . Если смесь этих материалов, подобно тому, как поступают на практике, считать однородным материалом, то средний объем зерна окажется равным

$$V_c = \frac{n_1 V_1 + n_2 V_2}{n_1 + n_2} = \frac{\frac{\gamma_1}{V_1} V_1 + \frac{\gamma_2}{V_2} V_2}{\frac{\gamma_1}{V_1} + \frac{\gamma_2}{V_2}} = \frac{1}{\frac{\gamma_1}{V_1} + \frac{\gamma_2}{V_2}},$$

а поверхность зерен в единице объема

$$S_c = \alpha \pi \left(\frac{6V_c}{\pi} \right)^{2/3} \frac{1}{V_c} \approx \frac{4,83\alpha}{\sqrt[3]{\frac{\gamma_1}{V_1} + \frac{\gamma_2}{V_2}}},$$

где α — модуль формы смеси, предполагаемой однородным материалом.

С другой стороны, поверхность зерен в единице материала, выраженная через модули формы фракций, будет

$$\begin{aligned} S_c &= n_1 \alpha_0 \pi \left(\frac{6V_1}{\pi} \right)^{2/3} + n_2 \alpha_0 \pi \left(\frac{6V_2}{\pi} \right)^{2/3} = \\ &= \frac{\gamma_1}{V_1} \alpha_0 \pi \left(\frac{6V_1}{\pi} \right)^{2/3} + \frac{\gamma_2}{V_2} \alpha_0 \pi \left(\frac{6V_2}{\pi} \right)^{2/3} \approx 4,83\alpha_0 \left(\frac{\gamma_1}{\sqrt[3]{V_1}} + \frac{\gamma_2}{\sqrt[3]{V_2}} \right). \end{aligned}$$

Приравнявая правые части различных выражений для поверхности зерен в единице объема, для соотношения модулей формы получим

$$\alpha = \frac{\frac{\gamma_1}{\sqrt[3]{V_1}} + \frac{\gamma_2}{\sqrt[3]{V_2}}}{\sqrt[3]{\frac{\gamma_1}{V_1} + \frac{\gamma_2}{V_2}}} \alpha_0,$$

а, подставляя численные значения,

$$\alpha = 0,96\alpha_0.$$

Этот пример показывает, что при окатанных зернах материала ($\alpha_0 \approx 1$) модуль формы α действительно может оказаться меньше единицы.

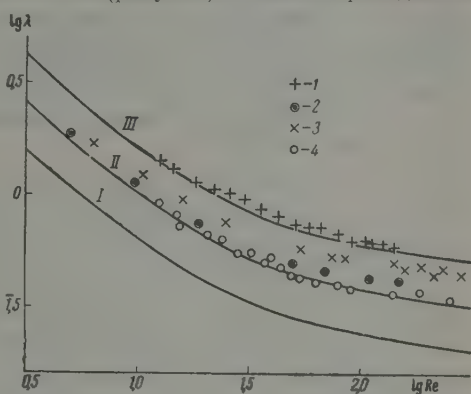
Для проверки постоянства величин A и B по опытным данным для шести сыпучих материалов (по соответственным значениям i и u) подчитывались численные значения λ и Re [см. формулы (1), (2) и (19)], которые наносились на график $\lambda - Re$ (рисунк). Там же приведена зависимость $\lambda = F(Re)$ для шариков по опытам Н. М. Каворонкова, М. Э. Аэрова и Н. Н. Умняка [3]

$$\lambda = \frac{4,54}{Re} + 0,2, \quad (2.2)$$

также кривые

$$\lambda = C \left(\frac{4,54}{Re} + 0,2 \right).$$

Анализ графиков показывает, что при одном и том же значении гидравлического радиуса потери напора в гравии и щебне больше, чем в слое из шариков. Опытные точки для материалов, имеющих различные по форме зерна, не располагаются по одной кривой. Это значит, что коэффициенты A и B не являются постоянными (табл. 2). Таким образом, подобие движений жидкостей при фильтрации в материалах, имеющих различные по форме зерна, не имеет места.



Зависимость $\lambda = F(Re)$: I — $C = 10$; II — $C = 1,6$; III — $C = 2,5$; IV — $C = 1,6$; 1 — $d = 0,64$ см; 2 — $d = 0,51$ см; 3 — $d = 0,47$ см; 4 — $d = 0,77$ см

Таблица 2

Вид зерен сыпучего материала	А		Б		α
	от	до	от	до	
Шары		4,54		0,2	1
Окатанные зерна (например, гравий)	7	10	0,3	0,4	0,95—1,10
Остроконечные зерна (например, щебень)	10	12	0,4	0,5	1,10—1,20

Некоторые авторы (например, Д. М. Минц [2]) придерживаются другого мнения, полагая, что при ламинарной фильтрации существует однозначная связь $\lambda = F(Re)$ и все опытные точки (независимо от формы зерен материала) должны располагаться на одной прямой $\lambda = A/Re$. Раньше этого мнения придерживались Козени и Карман, в связи с чем в литературе имеется предположение о существовании однозначной связи $\lambda = F(Re)$, называемое гипотезой Козени — Кармана.

Несоответствие гипотезы Козени — Кармана опыту подмечено рядом авторов. Так, например, И. И. Федоров [4] обнаружил, что при одном и том же значении гидравлического радиуса и модуля формы гидравлические сопротивления однородного и неоднородного материала оказываются различными. В связи с этим он отказывается от чисто геометрической трактовки модуля формы и вкладывает в это понятие гидравлический смысл.

В физической химии гипотеза Козени — Кармана используется для определения удельной поверхности пористых материалов по их гидравли-

ческим сопротивлением. Б. В. Дерягин отмечает, что полученные эти путем численные значения удельной поверхности часто сильно отличаются от тех ее значений, которые получены другими методами [5].

Придерживаясь гипотезы Козени — Кармана, т. е. полагая $A = \text{const}$, ряд авторов при изучении ламинарной фильтрации определяли модуль формы зерен различных материалов по их гидравлическим сопротивлениям. Это и привело к завышению численных значений модулей формы, причем в ряде случаев к значительным. Легко убедиться в том, что приведенные в табл. 2 значения вполне согласуются с опытами этих авторов. Обозначим через α_ϕ завышенный модуль формы, полученный по гидравлическому сопротивлению в предположении $A = 4,54$.

Составим равенство

$$4,54 \frac{\frac{\mu u}{d^2 \varepsilon^2}}{\sqrt[3]{36 \alpha_\phi^2 (1 - \varepsilon)}} = A \frac{\frac{\mu u}{d^2 \varepsilon^2}}{\sqrt[3]{36 \alpha^2 (1 - \varepsilon)^2}},$$

в котором α — действительный модуль формы.

Из этого равенства получим

$$A = 4,54 \left(\frac{\alpha_\phi}{\alpha} \right)^2.$$

Подставляя сюда попарно $\alpha_\phi = 1,17$; $\alpha = 0,95$ и $\alpha_\phi = 1,50$; $\alpha = 1,1$ (см. приведенные выше выдержки из таблицы значений модулей формы по Д. М. Минцу), получим соответственно $A \approx 6,9$ и $A \approx 3,4$, что близко к данным табл. 2.

Выводы

Однозначной (универсальной) зависимости

$$\lambda = F(\text{Re})$$

при фильтрации жидкости не существует. Коэффициент сопротивления зависит не только от величины удельной поверхности, но и от формы (конфигурации) отдельных зерен. Численное значение удельной поверхности пористого материала, определяемой по его гидравлическому сопротивлению, во всех случаях должно оказаться завышенным.

Поступила
20.VI.1958

ЛИТЕРАТУРА

1. С. А. Салтыков, Введение в стереометрическую металлографию, Ереван, 1950.
2. Д. М. Минц, Некоторые вопросы теории фильтрации однородных жидкостей суспензий и их практические приложения в области очистки воды, Автореферат диссертации, Москва, 1954.
3. Н. М. Жаворонков, М. Э. Аэров и Н. Н. Умник, Ж. физ. химии, 23, 342, 1949.
4. И. И. Федоров, Коэффициенты испарения, теплоотдачи и сопротивления при сушке зернистых материалов с продувкой воздуха через слой. Сб. «Современные проблемы сушильной техники», 1941.
5. Б. В. Дерягин, Новый метод измерения удельной поверхности пористых тел и порошков, Сб. «Новые методы физико-химических исследований поверхностных явлений», 1950.

ON THE APPLICATION OF THE SIMILARITY PRINCIPLE IN THE FILTRATION OF LIQUIDS

N. U. Koida (Gomel')

Summary

The present work is a chapter of the dissertation on «The Determination of the Hydraulic Resistance of a Porous Material from Its Structure», Leningrad Institute of Transportation Engineers, 1955.

The study had as its objective to test the validity of the assumption concerning the existence of a unilateral relation $\lambda = F(\text{Re})$ in the filtration of a liquid. A study of the cross sections of six free-flowing materials showed that no such unilateral relation can exist, because the moduli of the shape of the grains are actually less than the values ordinarily employed (e. g. by Mintz) on plotting the curve $\lambda = F(\text{Re})$.

In the paper formulas are presented for the coefficients of laminar and turbulent filtration for homogeneous free-flowing materials.

ПОЛЯРОГРАФИЧЕСКОЕ ИССЛЕДОВАНИЕ ТЕРЕФТАЛЕВОЙ
КИСЛОТЫ

В. Д. Безуглый и Е. Ю. Новик

Полярографическому исследованию терефталевой кислоты на ртутном капиллярном электроде, насколько нам удалось выяснить, посвящена только одна работа [1], в которой установлено, что терефталевая кислота на фоне буферных растворов с pH 0,8—3,7 и $\text{N}(\text{C}_2\text{H}_5)_4\text{Br}$ не восстанавливается на ртутном капиллярном электроде.

Эта кислота в последнее время приобретает особо важное значение промышленности синтетических смол и ее всестороннее изучение весьма целесообразно.

Поэтому нами проведено полярографическое исследование терефталевой кислоты с целью выяснения влияния состояния ее молекул в растворе на полярографические свойства и изучения возможности полярографического определения*.

Экспериментальная часть

Методика. Исследования проводились на полярографе ФГ-88 с ртутным капиллярным электродом, характеризующимся данными: капилляр 1: $m = 1,9$ мг/сек; $t = 2,4$ сек при $E = -1,9$ В; капилляр № 2: $m = 0,87$ мг/сек; $t = 6,4$ сек; $m^{2/3}/t^{1/3} = 1,242$ при $E = 0$; $m^{2/3}/t^{1/3} = 1,081$ при $E = -1,91$ В.

Значения $E_{1/2}$ отнесены к насыщенному каломельному электроду.

В качестве фона были использованы растворы: LiCl , MgCl_2 , CaCl_2 , а также буферные растворы состава:



Результаты. На фоне 0,1 N раствора LiCl добавка терефталевой кислоты (сухие кристаллы) вызывает появление волны с $E_{1/2} = -1,36$ В, связанной с восстановлением иона водорода, так как добавка уже нескольких капель щелочи NaOH совершенно подавляет указанную волну. Точка так же действует на эту волну добавка метилового спирта: высота волны снижается за счет снижения степени диссоциации терефталевой кислоты (рис. 1); не удается получить полярографическую волну при добавке терефталевой кислоты к буферному раствору (уксусная кислота + $\text{N}(\text{C}_2\text{H}_5)_4\text{OH}$) с $\text{pH} = 5,22$.

Так как терефталевая кислота очень плохо растворима в воде, то в качестве стандарта в дальнейшем нами применялась ее соль, полученная нейтрализацией в мерной колбе определенной навески терефталевой кислоты тетраэтиламмонийгидроксидом. Концентрация применяемого стандарта была 0,05 N.

Добавка стандартного раствора к фону 0,1 N LiCl вызывает появление хорошо измеряемой волны при сильно отрицательном потенциале $E_{12} \sim -1,94$ В (рис. 2). Такая волна совершенно не пригодна для количественного определения.

* Подробная методика определения терефталевой кислоты полярографическим методом будет опубликована в специальной статье.

Используя наш прежний опыт получения волны для щавелевой кислоты [2], мы испытали влияние добавки к LiCl двухзарядного катиона Mg^{2+} в виде хлористого магния. На рис. 2 представлены полученные результаты, из которых видно явное улучшение волны терефталевой кислоты в присутствии ионов Mg^{2+} . При этом, как видно, начало волны при добавке ионов Mg^{2+} смещается в положительную сторону, и перелом в месте тока насыщения становится вполне четким.

Волны терефталевой кислоты могут быть получены и при отсутствии LiCl в составе фона; достаточно иметь в растворе ионы Mg^{2+} или Ca^{2+} .

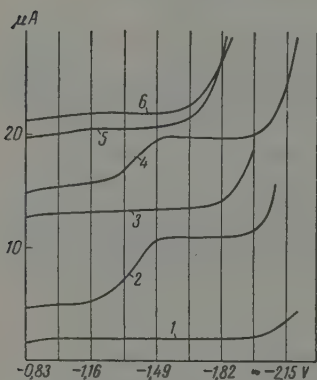


Рис. 1

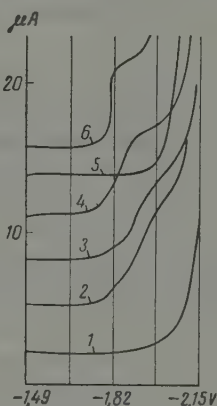


Рис. 2

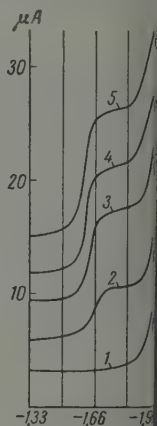


Рис. 3

Рис. 1. Полярографические кривые терефталевой кислоты: 1 — фон 0,1 N LiCl; 2 — фон + терефталевая кислота 0,037 ммоль/л; 3 — то же + NaOH 0,74 ммоль/л; 4 — 0,1 N LiCl + 30% метилового спирта + терефталевая кислота 0,037 ммоль/л; 5 — фон ферный раствор pH = 5,22 (уксусная кислота + $N(C_2H_5)_4OH$); 6 — то же + терефталевая кислота. Капилляр № 1

Рис. 2. Полярографические волны терефталатона на фоне LiCl с разной концентрацией его, а также с добавкой ионов Mg^{2+} : 1 — фон 0,1 N LiCl; 2 — то же + терефталевый тетраэтиламмоний; 3 — 0,4 N LiCl + терефталевый тетраэтиламмоний; 4 — 1,7 N LiCl + терефталевый тетраэтиламмоний; 5 — фон 0,1 N LiCl + 0,5 N $MgCl_2$; 6 — 0,1 N LiCl + 0,5 N $MgCl_2$ + терефталевый тетраэтиламмоний. Концентрация терефталевых тетраэтиламмоний 1,3 ммоль/л; капилляр № 1

Рис. 3. Полярографические волны терефталатона на фоне 0,5 N $CaCl_2$: 1 — фон 0,5 N $CaCl_2$; 2 — фон + 1,06 ммоль/л терефталевых тетраэтиламмоний; 3 — фон + 2,04 ммоль/л терефталевых тетраэтиламмоний; 4 — фон + 2,5 ммоль/л терефталевых тетраэтиламмоний; 5 — фон + 2,94 ммоль/л терефталевых тетраэтиламмоний. Капилляр № 2

На рис. 3 представлены полярограммы терефталевой кислоты на фоне 0,5 N раствора $CaCl_2$ в воде при различных концентрациях терефталевой кислоты. Нами установлено, что величина диффузионного тока зависит линейно от концентрации терефталевой кислоты.

Результаты полярографирования терефталевой кислоты в буферных растворах * с добавкой хлористого магния представлены на рис. 4. Невидно из этих рисунков, получающиеся волны выражены не четко и являются пригодными для количественного анализа.

Только в буферном растворе, состоящем из уксусной кислоты и уксуснокислого натрия в присутствии ионов Mg^{2+} (pH = 5,58), волна удобна для измерения.

* Состав буферных растворов: $N(C_2H_5)_4OH + CH_3COOH + H_3PO_4 + C_6H_5COOH$

Влияние pH на характер полярографических волн (без введения других анионов, кроме иона Cl^-) было исследовано путем добавок к раствору KCl растворов $\text{N}(\text{C}_2\text{H}_5)_4\text{OH}$ или HCl ; в таблице представлены полученные данные.

Влияние pH на величину диффузионного тока терефталевой кислоты

pH	i_d	pH	i_d
8,3	7,35	6,0	6,51
6,6	7,35	4,9	6,51
6,5	7,07	4,38	6,22
6,25	6,51	4,12	3,95

Из этих данных видно, что от pH = 8,3 до pH = 4,28 высота волны терефталевой кислоты при подкислении раствора практически не меняется; заметное снижение высоты начинается с pH = 4,28 и ниже.

Влияние поливалентных анионов было проверено путем добавки PO_4^{3-} и SO_4^{2-} чет- кой волны при этом не наблюдается (рис. 5).

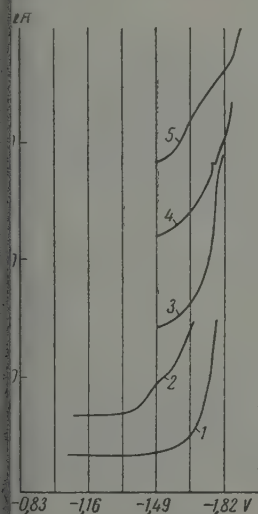


Рис. 4

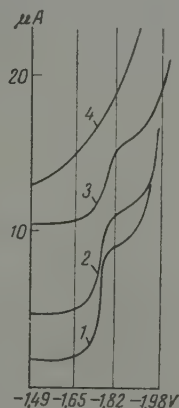


Рис. 5

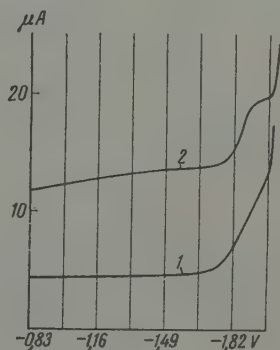


Рис. 6

Рис. 4. Полярографические волны терефталатона на фоне буферных растворов с дозой ионов Mg^{2+} : 1 — фон буферный раствор (уксусная кислота + уксуснокислый натрий + 0,5 N MgCl_2) pH=5,58; 2 — то же + терефталевый тетраэтиламмоний; 3 — буферный раствор ($\text{H}_3\text{PO}_4 + \text{C}_6\text{H}_5\text{OH} + \text{CH}_3\text{COOH} + \text{N}(\text{C}_2\text{H}_5)_4\text{OH} + 0,5 \text{ N Cl}_2$), pH=5,38; 4 — то же + терефталевый тетраэтиламмоний; 5 — буферный раствор ($\text{H}_3\text{PO}_4 + \text{C}_6\text{H}_5\text{OH} + \text{N}(\text{C}_2\text{H}_5)_4\text{OH} + 0,5\text{N MgCl}_2$), pH 7,1 + терефталевый тетраэтиламмоний. Концентрация терефталового тетраэтиламмония 1,3 ммоль/л. Капилляр № 1

Рис. 5. Влияния ионов SO_4^{2-} и PO_4^{3-} на полярографические волны терефталатона: 1 — 0,5 N MgCl_2 + терефталевый тетраэтиламмоний; 2 — 0,5 N MgCl_2 + 0,2N Na_2SO_4 + терефталевый тетраэтиламмоний; 3 — 0,5 N MgCl_2 + 0,8N Li_2SO_4 + терефталевый тетраэтиламмоний; 4 — 0,5N MgCl_2 + 0,01 N H_3PO_4 + терефталевый тетраэтиламмоний. Концентрация терефталового тетраэтиламмония 1,3 ммоль/л. Капилляр № 1

Рис. 6. Влияние добавки метилового спирта на полярографическую волну терефталатона: 1 — 0,1N LiCl в воде + терефталевый тетраэтиламмоний; 2 — 0,1N LiCl в 50%-м метилом спирте + терефталевый тетраэтиламмоний. Концентрация терефталового тетраэтиламмония 1,3 ммоль/л. Капилляр № 2

Четкая волна терефталевой кислоты может быть получена и на фоне LiCl , однако, концентрация его должна быть значительно больше, чем концентрация ионов Mg^{2+} .

На рис. 2 представлены полярограммы терефталевой кислоты, полученные на фоне LiCl при разных концентрациях последнего.

Уже при концентрации 0,1 N волна мало заметна; при более высоких концентрациях LiCl ток насыщения выражен лучше. Однако волну терефталевой кислоты и на фоне 0,1 N LiCl удастся улучшить добавкой спирта. При содержании метилового спирта 50% волна становится удобной для измерения, при этом $E_{1/2}$ несколько смещается в положительную сторону (рис. 6).

На фоне хлористого магния, даже при малых концентрациях, волна терефталевой кислоты получается четкой (рис. 7). Такой же четкой получена волна терефталевой кислоты и на фоне хлористого кальция (рис. 8).

Результаты полярографирования терефталевой кислоты при разных температурах показывают, что температурный коэффициент изменения высоты волны равен 2,5–3% на один градус.

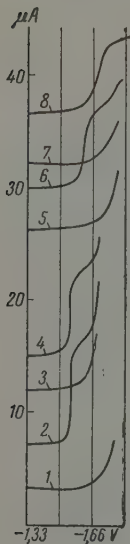


Рис. 7. Полярографические волны терефталатона на фоне MgCl_2 разной концентрации: 1 — фон 0,1 N MgCl_2 ; 2 — 0,01 N MgCl_2 + терефталевый тетраэтиламмоний; 3 — фон 0,05 N MgCl_2 ; 4 — 0,05 N MgCl_2 + терефталевый тетраэтиламмоний; 5 — фон 0,01 N MgCl_2 ; 6 — 0,01 N MgCl_2 + терефталевый тетраэтиламмоний; 7 — фон 0,005 N MgCl_2 ; 8 — 0,005 N MgCl_2 + терефталевый тетраэтиламмоний. Концентрация терефталевого тетраэтиламмония 1,3 ммоль/л. Капилляр № 1

Для определения числа электронов n , участвующих в реакции восстановления одного иона терефталевой кислоты, мы провели микрокулометрическое исследование указанного процесса.

С этой целью в электролизер помещался 1 мл исследуемого раствора, снималась полярограмма, а затем при потенциале предельного тока проводился длительный электролиз (на протяжении 1–5 час.), и периодически замерялось значение предельного тока.

Расчет n производился по формуле

$$n = \frac{4,403 \cdot 10^{-6} i_{d0} t}{(\lg i_{d0} - \lg i_d) v c},$$

где i_{d0} — первоначальная величина диффузионного тока; t — время электролиза в секундах; v — объем раствора в миллилитрах; c — концентрация раствора в ммоль/л; i_d — величина диффузионного тока через t сек. При этом было получено значение $n = 4,1$.

Одновременно мы произвели расчет n по уравнению Ильковича, используя значение коэффициента диффузии $D = 0,7568 \cdot 10^{-5}$, рассчитанный из значения коэффициента диффузии бензоат-иона ($D = 0,881 \cdot 10^{-5}$).

Из уравнения Ильковича $n = 3,53$, т. е. несколько меньше 4.

Таким образом, можно считать, что в реакции восстановления одного аниона терефталевой кислоты принимают участие 4 электрона.

Обсуждение результатов

Как видно из полученных результатов, недиссоциированные молекулы терефталевой кислоты не восстанавливаются в исследованных нами условиях на ртутном капельном электроде.

Получающаяся волна при добавке терефталевой кислоты к LiCl соответствует восстановлению иона водорода.

Об этом говорят такие факты, как отсутствие этой волны при добавке терефталевой кислоты к буферному раствору ($pH = 5,22$), так и действие добавок метилового спирта в кислых растворах.

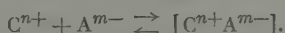
Наблюдающаяся на фоне LiCl волна при прибавлении терефталевой кислоты значительно подавляется прибавлением спирта (рис. 1). Причем последнем случае снижение волны на полярограмме происходит значительно сильнее, чем это соответствовало бы действию фактора повышения вязкости.

При добавке в раствор LiCl нейтрализованной терефталевой кислоты, т. е. аниона терефталата, только при больших концентрациях LiCl наблюдается полярографическая волна. Эта волна, как видно, значительно уменьшается в положительную сторону при добавке двухвалентных ионов Ig^{2+} или Ca^{2+} , которые облегчают восстановление терефталата.

Аналогичное действие мы наблюдали уже ранее при изучении полярографического восстановления аниона шавелевой кислоты [2].

Полученные результаты следует, по-видимому, объяснить с точки зрения связи между электродными процессами и ионными реакциями в растворе, на которую неоднократно обращал внимание А. Н. Фрумкин [3, 4]. В исследованном случае восстановления аниона терефталевой кислоты реакция взаимодействия между исследуемым анионом и катионами фона приводит к возникновению катионных мостиков, облегчающих подход ионов к отрицательно заряженному электроду (катоде).

Что касается механизма образования указанных мостиков, то он, по-видимому, вообще связан не столько с адсорбцией катионов на поверхности ртутного электрода (при имеющих место в нашем случае значениях потенциалов вообще трудно говорить о значении адсорбции), сколько с образованием ионных пар между противоположно заряженными ионами уже в растворе. Эти ионные двойники (или тройники) не являются полностью недиссоциированными молекулами, а представляют собой комплексы из гидратированных ионов с противоположными зарядами, образовавшиеся только за счет действия кулоновских сил (а не за счет возникновения электронной связи)

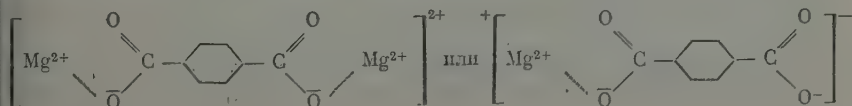


Представление об образовании «ассоциированных ионных пар» в растворах электролитов впервые было высказано В. К. Семенченко [5], а затем развито Бьеррумом [6].

Имеются работы, в которых показана, например, роль катионов в кинетике реакции обмена между анионами MnO_4^{2-} и MnO_4^- [7] и между анионами $S_2O_3^{2-}$ и $C_2H_2BrO_2^-$ [8].

Таким образом, эффективность катионных мостиков показана и в объемных реакциях.

В нашем случае ионы Mg^{2+} (или другие катионы) образуют, по-видимому, указанные выше катионные мостики за счет образования ионных пар:



Блокирование в таком комплексе отрицательного заряда карбоксильной группы повышает электрофильные свойства углерода, таким образом значение катионо-анионных комплексов состоит не только в облегчении подхода анионов к катоду, но также в облегчении их восстановления. Запущенное значение n , полученное из уравнения Ильковича, в которое входит значение D , взятое нами при расчете для свободного аниона щавелевой кислоты, также говорит о том, что в действительности к катоду движутся более тяжелые частицы, и скорость их движения меньше, чем свободного терефталат-аниона.

Аналогично ионам Mg^{2+} и Ca^{2+} действует, по-видимому, и ион Li^+ . Однако в связи с меньшим зарядом действие его проявляется только при больших концентрациях.

При снижении диэлектрической постоянной среды за счет добавления метилового спирта ион Li^+ действует с большим эффектом, чем в воде, так как в этом случае образование ионных пар облегчается. Поэтому добавка 50% спирта к 0,1 N раствору $LiCl$ приводит к улучшению волны терефталата.

Анионы (особенно, поливалентные) действуют тормозящим образом на образование катионных мостиков между электродом и анионами терефталевой кислоты. При этом двухвалентный анион SO_4^{2-} влияет на волну терефталата только при больших концентрациях, в то время как трехвалентный анион PO_4^{3-} даже в малых концентрациях искажает его волну.

Указанным действием аниона PO_4^{3-} можно объяснить и искажение волны терефталата при применении в качестве фона буферных растворов содержащих фосфат-ионы.

Таким образом, эффективность действия катионов при восстановлении анионов зависит от наличия в растворе других анионов с более высоким отрицательным зарядом или вообще с большей склонностью к образованию ионных пар с катионами. При подкислении раствора (до $pH = 4,2-4,3$) происходит образование недиссоциированных молекул терефталевой кислоты, в результате чего исключается образование ионных пар между ионами Mg^{2+} и терефталатом, и высота волны падает. Можно предположить, что роль катионных мостиков сводится в основном к облегчению подведения анионов к электроду, а в некоторых случаях, может быть, и к передаче электронов от катода к аниону.

В связи с указанным ни в коем случае нельзя упускать из виду строение аниона, его электрофильные свойства, связанные как с наличием отдельных электрофильных атомов или связей, так и с возникновением их за счет поляризуемости аниона у электрода. С этой точки зрения, восстановление анионов терефталевой кислоты следует объяснить сопряжением полярных карбонильных групп через систему двойных связей бензольного кольца. Наличие такого сопряжения может вызывать дополнительную поляризацию связей в электрическом поле катода, что приводит к облегчению восстановления. При этом восстановление, по-видимому, происходит в одной из карбоксильных групп.

Выводы

1. Исследовано полярографическое поведение терефталевой кислоты на ртутном капельном катоде. Анион терефталевой кислоты восстанавливается на этом электроде. На потенциал восстановления аниона оказывает существенное влияние как природа ионов фона, в частности катионов, так и их концентрация.
2. Наиболее четкие волны получаются в присутствии катионов Mg^{2+} и Ca^{2+} .
3. Анионы PO_4^{3-} и SO_4^{2-} искажают волну терефталата.
4. Процесс электровосстановления терефталата связан с ионными

акциями в растворе, приводящими к образованию катионных мостиков облегчающих подачу частиц деполаризатора к катоду.

5. Восстановление терефталевой кислоты объяснено с точки зрения протекания карбонильных групп.

Поступила
23.VI.1958

ЛИТЕРАТУРА

- Оно, J. Chem. Soc. Japan, Pure Chem. Sec., 75, 1195, 1954.
Н. А. Измайлов, В. Д. Безуглый, Укр. хим. ж., 19, 675, 1953.
А. Н. Фрумкин, Изв. АН СССР, Отд. хим. н., № 12, 1427, 1957.
А. Н. Фрумкин, Сборник «Вопросы кинетики, катализа и реакционной способности», Изд-во АН СССР, 1955, Москва, стр. 402.
В. К. Семенченко, J. phys. Chem., 48, 128, 1924.
N. Bjerrum, Kgl. danske vid. selskab., Mat. fys. medd., 7, № 9, 1926.
J. Sheppard, A. Wahl, J. Amer. Chem. Soc., 79, 1020, 1957.
V. La Mer, M. Kammer, J. Amer. Chem. Soc., 57, 2662, 1935.

A POLAROGRAPHIC STUDY OF TEREPHTHALIC ACID

V. D. Bezuglyi and E. Yu. Novik (Kharkov)

S u m m a r y

In the paper the results are presented of an investigation into the polarographic behavior of terephthalic acid on a dropping mercury electrode. Terephthalic acid has been found undergo reduction as the anion, its reduction potential being affected both by the nature of the supporting electrolyte ions, in particular cations, as well as their concentration. The most well defined waves are obtained in the presence of polyvalent cations (Ca^{++} , Mg^{++}).

The electroreduction of terephthalate is connected with ionic reactions in solution, leading to the formation of cationic bridges facilitating the supply of depolarizer particles to the cathode. The possibility of employing the polarographic method for the quantitative determination of terephthalic acid has been demonstrated.

ЭЛЕКТРОЛИТИЧЕСКАЯ ДИССОЦИАЦИЯ В НЕВОДНЫХ СИСТЕМАХ

XI. СИСТЕМА *o*-АНИЗИДИН-АЛЛИЛОВОЕ ГОРЧИЧНОЕ МАСЛО

С. П. Мискиджян

Ранее [1] нами было показано, что при взаимодействии аллилового горчичного масла с различными аминами протекают две параллельные реакции, одна из которых приводит к образованию замещенной тиомочевины, а другая — к образованию соответствующего роданистоводородного аллиламина (с третичными аминами — роданистого аллиламмония). В настоящей статье приводятся результаты исследования взаимодействия аллилового горчичного масла с *o*-анизидином.

Выбор такой системы определялся, с одной стороны, тем, что она до сих пор еще не изучена, а с другой стороны, желанием выяснить возможность протекания обнаруженной нами реакции в данной системе и изучить влияние кислородного атома в боковой цепи молекулы амина на эту реакцию.

Экспериментальная часть

Аллиловое горчичное масло получено и очищено способом, описанным в наших прежних работах [1]. *o*-Анизидин был перегнан, и отобрана фракция, кипящая при 219—220° ($P = 730$ мм). Очищенный таким образом *o*-анизидин имел слегка желтый цвет, d_{40}^{20} 1,093; n_D^{20} 1,5745. Смеси систем готовились по весу. При смешивании компонентов растворы через некоторое время сильно разогревались, и спустя сутки большинство их затвердевало. В связи с этим мы решили изучить диаграмму состояния систем. В таблице приведены результаты измерения температуры плавления растворов в зависимости от состава, вязкости и плотности при температуре 70°. Нами также измерена удельная электропроводность растворов систем; результаты этих измерений приведены в таблице, а на рисунке приведена соответствующая изотерма.

Состав, мол. % аллил. горчичн. масла	Т. пл.	Вязкость, пуазы	Плотность	$\kappa_{70} \cdot 10^3$	$\kappa_{70} \cdot \eta_{70} \cdot 10^8$ до нагрева	[SCN] ⁻¹ , %	
						до нагрева	после нагрева (46 ч)
0	+5	0,0114	1,0584	0,010	0,011	—	—
10	—18	0,0167	1,0652	0,048	0,080	—	2,5
20	+25	0,0237	1,0885	0,298	0,704	0,78	5,9
30	+40	0,0375	1,0994	0,432	1,600	1,53	9,1
40	+54	0,0863	1,1106	0,361	3,115	1,91	10,7
48	58	0,1778	1,1190	0,231	4,108	2,08	10,7
50	67	0,2219	1,1188	0,213	4,729	2,37	11,1
53	64	—	—	0,158	—	2,39	10,7
60	57	0,1448	1,1106	0,321	4,623	1,64	20,0
70	49	0,0377	1,0852	0,953	3,593	—	11,1
80	36	0,0129	1,0497	1,090	1,406	1,02	9,1
90	16	0,0054	0,9955	1,22	0,666	0,63	8,1
100	—	0,0040	0,9826	0,020	0,008	—	—

Все приведенные диаграммы имеют сингулярные точки и, следовательно, свидетельствуют о том, что мы имеем дело с рациональной системой, т. е. при взаимодействии аллилового горчичного масла с *o*-анизидином, как и следовало ожидать [2, 3], в основном образуется замещенная тиомочевина.

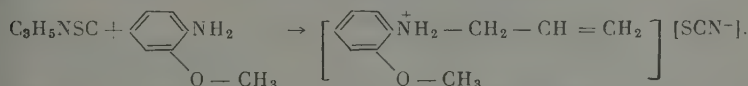
Однако, как показали наши измерения, растворы этой системы обладают значительной электропроводностью. Так, удельная электропроводность растворов, содержащих 80 и 90% аллилового горчичного масла, превышает $\kappa_{70} > 10^{-3} \Omega^{-1} \text{ см}^{-1}$.

Как известно, возникновение электропроводности в системах, образованных из непроводящих ток компонентов, объясняется образованием в них соединений, являющегося электролитом. В изучаемой нами системе образующаяся аллил-*o*-анизидилтиомочевина может являться электролитом. Поэтому мы предположили, что в данной системе, как и в ранее нами изученных [1], наряду с образованием замещенной тиомочевины образуется роданистоводородный аллил-*o*-анизидин, который представляет собой электролит обуславливающий проводимость растворов системы.

Действительно, всеми качественными реакциями (с FeCl_3 и другими) нам удалось обнаружить ион SCN^- в растворах этой системы. В связи с этим определена концентрация SCN^- в растворах системы в зависимости от состава, описанным в наших прежних работах. В таблице приведены результаты этих измерений, а на рисунке соответствующая диаграмма.

На этом же рисунке приведена изотерма исправленной («приведенной») электропроводности. Из сопоставления этих двух диаграмм легко заключить, что электропроводность в системе обусловлена образованием соединения, анионом которого является SCN^- .

Эти и некоторые другие данные, которые будут приведены ниже, дают основание считать, что при взаимодействии аллилового горчичного масла с *o*-анизидином наряду с аллил-*o*-анизидилтиомочевинной образуется роданистоводородный аллил-*o*-анизидин по реакции:



Как и в ранее изученных нами системах, концентрация в растворах системы повышалась при нагревании их. На рисунке приведена кривая 4 зависимости концентрации SCN^- от состава смесей после нагревания их течение 46 час. при $100 \pm 5^\circ$. Соответствующие данные включены в таблицу.

Как видно из приведенных данных, при длительном нагревании концентрация роданистоводородного аллил-*o*-анизидина растет и в отдельных случаях достигает 20%, что указывает на то, что эта побочная реакция, которая без нагрева протекает в очень незначительной мере (концентра-

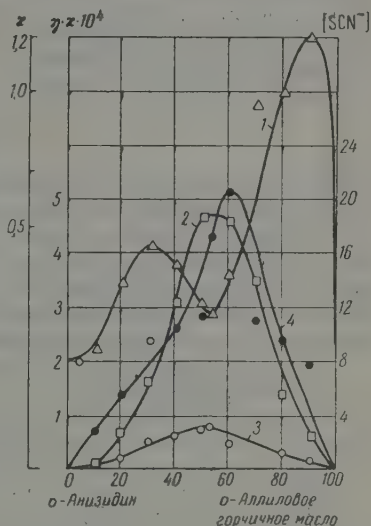


Рис. 1. 1 — изотерма электропроводности; 2 — кривая исправленной электропроводности; 3 — кривая зависимости концентрации SCN^- от состава (до нагрева); 4 — кривая зависимости концентрации SCN^- от состава (после нагрева в течение 46 час.)

ция роданистоводородного аллил-*o*-анизидина не превышает 2,5%), при нагревании протекает интенсивно.

Методом, описанным в наших работах [1], мы экстрагированием получили смесь, содержащую 68% роданистоводородного *o*-анизидина и подвергли ее электролизу в приборе для электролиза нашей конструкции [1].

Электролиз проводился в тех же условиях, которые указаны в наших прежних работах и при этом наблюдались те же явления.

Полученные данные по электролизу смеси подтверждают как предположение в данной системе параллельной реакции, приводящей к образованию роданистоводородного аллил-*o*-анизидина, так и механизм электролитической диссоциации.

Выводы

1. Методами плавкости, вязкости, плотности и электропроводности изучена система *o*-анизидин — аллиловое горчичное масло. Установлено, что компоненты системы взаимодействуют между собой с образованием аллил-*o*-анизидинтиомочевины и роданистоводородного аллил-*o*-анизидина (в качестве продукта побочной реакции).

2. Показано, что электропроводность системы обусловлена образованием в системе роданистоводородным аллил-*o*-анизидином.

Львовский медицинский
институт

Поступила
26.VI.1958

ЛИТЕРАТУРА

1. С. П. Мискиджьян, Ж. общ. химии, 26, 1046, 1955; 27, 1755, 1957; 28, 1958; С. С. Кирилюк и С. П. Мискиджьян, Ж. физ. химии, 31, 1957; С. П. Мискиджьян и Ф. Н. Козленко. Сообщ. ВХО им. Д. Менделеева, вып. 1, 1953.
2. Н. С. Курнаков, Собр. избр. работ, т. 1, стр. 214—231, 1938.
3. A. W. Hofmann, Ber., 1, 26, 172; 1, 27, 1868.

ELECTROLYTIC DISSOCIATION IN NON-AQUEOUS SYSTEMS

XI. THE SYSTEM *o*-ANISIDINE—ALLYLIC MUSTARD OIL

S. P. Miskidzh'yan (L'vov)

Summary

The system *o*-anisidine - allylic mustard oil has been investigated with the methods of the melting, viscosity, density and electroconductivity. It has been found that the components of the system interact with the formation of allyl-*o*-anisidyl-thiocyanate and allyl-*o*-anisidyl thiocyanate (as side product).

The electroconductivity of the system has been shown to be due to allyl-*o*-anisidyl thiocyanate.

Based on the ion transfer study a mechanism has been proposed for the electrolytic dissociation of this electrolyte.

ИЗМЕРЕНИЕ ЧИСЕЛ ПЕРЕНОСА КАТИОНОВ В РАСПЛАВАХ $\text{Na}_2\text{O} \cdot \text{MgO} \cdot 4\text{SiO}_2$ И $\text{Na}_2\text{O} \cdot \text{SrO} \cdot 4\text{SiO}_2$

В. И. Малкин и В. В. Покидьшев

Измерениями электропроводности бинарных силикатных расплавов показано, что подвижность одновалентных катионов больше подвижности двухвалентных катионов [1].

Результаты измерений относительной подвижности ионов Na^{2+} и Ca^{2+} в расплаве $\text{Na}_2\text{O} \cdot \text{CaO} \cdot 4\text{SiO}_2$ [2] и ионов Na^+ и Ba^{2+} в расплаве $\text{Na}_2\text{O} \cdot \text{BaO} \cdot 4\text{SiO}_2$ [3] свидетельствуют о том, что в расплавах с двумя катионами ионов одновалентные катионы движутся быстрее двухвалентных, при этом доля на Na^+ в переносе электричества различна в этих расплавах.

Представляется интересным измерить числа переноса катионов в расплавах $\text{Na}_2\text{O} \cdot \text{MgO} \cdot 4\text{SiO}_2$ и $\text{Na}_2\text{O} \cdot \text{SrO} \cdot 4\text{SiO}_2$ с тем, чтобы сопоставить подвижность иона Na^+ с подвижностью двухзарядных катионов различного диуса, имеющих электронную оболочку благородного газа.

Экспериментальная часть

Измерение чисел переноса осуществлялось описанным ранее методом [4] с использованием радиоактивных изотопов Na^{24} и Sr^{89} . В расплаве $\text{Na}_2\text{O} \cdot \text{MgO} \cdot 4\text{SiO}_2$ измерялось только число переноса иона Na^+ , а в расплаве $\text{Na}_2\text{O} \cdot \text{SrO} \cdot 4\text{SiO}_2$ — числа переноса ионов Na^+ и Sr^{2+} .

Соотношение энергий излучения и периодов полураспада Na^{24} и Sr^{89} таково, что можно измерять радиоактивность силиката по Na^{24} и Sr^{89} при их одновременном присутствии в расплаве точно так же, как это осуществлялось при измерении чисел переноса ионов Na^+ и Ca^{2+} в расплаве $\text{Na}_2\text{O} \cdot \text{CaO} \cdot 4\text{SiO}_2$. Опыты проводились в ячейках из алунда при 1150—1200° С.

Числа переноса определялись по формулам, отражающим убыль радиоактивности анода при миграции катионов к катоду в предположении униполярной проводимости.

Эти формулы напишутся в следующем виде:

и расплава $\text{Na}_2\text{O} \cdot \text{MgO} \cdot 4\text{SiO}_2$

$$x_{\text{Na}} = \frac{\frac{P_{\text{Na}}}{\Theta_{\text{Na}}} \left[\frac{M}{k} \left(1 - \frac{I_{\text{анол}}}{I_{\text{исх}}} \right)_{\text{Na}} + \Theta_{\text{Mg}} + \Theta_{\text{O}} \right]}{1 - P_{\text{Na}} + \frac{P_{\text{Na}} \Theta_{\text{Mg}}}{\Theta_{\text{Na}}}}; \quad (1)$$

и расплава $\text{Na}_2\text{O} \cdot \text{SrO} \cdot 4\text{SiO}_2$

$$x_{\text{Na}} = \frac{\frac{P_{\text{Na}}}{\Theta_{\text{Na}}} \left[\frac{M}{k} \left(1 - \frac{I_{\text{анол}}}{I_{\text{исх}}} \right)_{\text{Na}} + \Theta_{\text{Sr}} + \Theta_{\text{O}} \right]}{1 - P_{\text{Na}} + \frac{P_{\text{Na}} \Theta_{\text{Sr}}}{\Theta_{\text{Na}}}}; \quad (2)$$

$$x_{\text{Sr}} = \frac{\frac{P_{\text{Sr}}}{\Theta_{\text{Sr}}} \left[\frac{M}{k} \left(1 - \frac{I_{\text{анол}}}{I_{\text{исх}}} \right)_{\text{Sr}} + \Theta_{\text{Na}} + \Theta_{\text{O}} \right]}{1 - P_{\text{Sr}} + \frac{P_{\text{Sr}} \Theta_{\text{Na}}}{\Theta_{\text{Sr}}}}; \quad (3)$$

где x — число переноса катиона; p — весовая доля катиона в расплаве до опыта; Σ — грамм эквивалентный вес катиона; M — вес анолита в граммах после опыта; k — количество пропущенного электричества в фарадеях; $I_{\text{исх}}$ — исходная радиоактивность расплава; $I_{\text{анол}}$ — радиоактивность анолита после опыта.

Индексы Na, Mg, Sr и O относятся к натрию, магнию, стронцию и кислороду соответственно.

Результаты измерений в расплавах $\text{Na}_2\text{O} \cdot \text{MgO} \cdot 4\text{SiO}_2$ и $\text{Na}_2\text{O} \cdot \text{SrO} \cdot 4\text{SiO}_2$ представлены в табл. 1 и 2.

Таблица 1

Расплав $\text{Na}_2\text{O} \cdot \text{MgO} \cdot 4\text{SiO}_2$

Пропущено электричества, фарадей F	Вес анолита, г	$I_{\text{исх}}$ имп/мин	$I_{\text{анол}}$ имп/мин	x_{Na}
0,00980	14,00	2825	2572	0,92
0,00956	16,45	4003	3725	0,87
0,00925	16,55	4003	3748	0,84
0,00951	12,05	3730	3357	0,92
0,00916	14,25	3730	3427	0,91
0,00965	12,20	3730	3344	0,94
				Ср. 0,90

Таблица 2

Расплав $\text{Na}_2\text{O} \cdot \text{SrO} \cdot 4\text{SiO}_2$

Пропущено электричества, фарадей F	Вес анолита, г	$(I_{\text{исх}})_{\text{Na}}$ имп/мин	$(I_{\text{анол}})_{\text{Na}}$ имп/мин	$(I_{\text{исх}})_{\text{Sr}}$ имп/мин	$(I_{\text{анол}})_{\text{Sr}}$ имп/мин	x_{Na}	x_{Sr}
0,00991	16,75	2321	2156	602	601	0,77	0,19
0,00963	16,80	2321	2151	602	600	0,80	0,20
0,00980	14,95	1826	1685	891	889	0,76	0,19
						Ср. 0,78	0,19

В табл. 3 для сопоставления представлены средние значения числа переноса в расплавах $\text{Na}_2\text{O} \cdot \text{MgO} \cdot 4\text{SiO}_2$, $\text{Na}_2\text{O} \cdot \text{CaO} \cdot 4\text{SiO}_2$, $\text{Na}_2\text{O} \cdot \text{SrO} \cdot 4\text{SiO}_2$ и $\text{Na}_2\text{O} \cdot \text{BaO} \cdot 4\text{SiO}_2$.

Таблица 3

Расплав	Число переноса иона Na^+	Число переноса двухзарядного иона
$\text{Na}_2\text{O} \cdot \text{MgO} \cdot 4\text{SiO}_2$	0,90	Не измерялось
$\text{Na}_2\text{O} \cdot \text{CaO} \cdot 4\text{SiO}_2$	0,70	0,35
$\text{Na}_2\text{O} \cdot \text{SrO} \cdot 4\text{SiO}_2$	0,78	0,19
$\text{Na}_2\text{O} \cdot \text{BaO} \cdot 4\text{SiO}_2$	0,87	0,11

Как следует из данных, приведенных в табл. 3, в расплавах, содержащих катион Na^+ и двухзарядный катион, число переноса иона Na^+ является немонотонной функцией радиуса двухзарядного катиона.

Доля двухзарядного катиона в переносе электричества возрастает Mg^{2+} и Ca^{2+} , а затем падает от Ca^{2+} и Sr^{2+} и далее к Ba^{2+} .

Эти результаты могут быть объяснены следующим образом.

Подвижность катиона в силикатном расплаве зависит от его взаимодействия с анионной сеткой, а в случае, когда в расплаве имеются д

да катионов,—от их взаимного влияния на состояние анионной сетки сплава.

Сила притяжения между катионом и кислородом зависит как от заряда иона, так и от его радиуса. С уменьшением заряда и с увеличением радиуса эта сила уменьшается. При этом может меняться доля кулонового взаимодействия (процент ионной связи) и соответственно доля ковалентной связи. По Паулингу [5] в связях $\text{Na}-\text{O}$, $\text{Ca}-\text{O}$, $\text{Sr}-\text{O}$, $\text{Ba}-\text{O}$ доля ионного взаимодействия составляет приблизительно 80%, а в связи $\text{Mg}-\text{O}$ — около 73%.

Обладающий небольшим радиусом ион Mg^{2+} сравнительно сильно притягивает кислород и более прочно связывается с анионной сеткой расплава. Поэтому в расплаве $\text{Na}_2\text{O} \cdot \text{MgO} \cdot 4\text{SiO}_2$ доля иона Mg^{2+} в переносе электричества весьма мала и соответственно число переноса иона Na^+ близко к единице. Обладающий большим радиусом ион Ca^{2+} , будучи менее прочно связанным с анионной сеткой, принимает значительно большее участие в переносе электричества. Уменьшение чисел переноса двухзарядных катионов при дальнейшем увеличении их радиуса от Ca^{2+} к Sr^{2+} и Ba^{2+} может быть обусловлено увеличением роли сил отталкивания с увеличением размера катиона. Вследствие этого большие катионы, несмотря на большую прочность связи с анионной сеткой, обладают относительно небольшой подвижностью, так как им при движении необходимо совершать значительную работу для преодоления сил отталкивания. Роль этих сил в кислых силикатных расплавах отмечалась О. А. Есиным [6].

Естественно предположить, что влияние радиуса двухзарядного катиона на распределение долей в переносе электричества между ионами Na^+ и R^{2+} в первую очередь обязательно изменению подвижности двухзарядного катиона с увеличением его радиуса. Однако не исключена возможность того, что с изменением радиуса двухзарядного катиона в состоянии расплава происходят такие изменения, которые сказываются на подвижности иона Na^+ .

Зависимость многих свойств силикатных расплавов и стекол от радиуса катиона носит весьма сложный характер. Известно [7], что активность кислорода в стеклах определяется как прочностью связи катион — кислород, так и координационным числом катиона, вследствие чего зависимость активности кислорода от радиуса катиона немонотонна. Можно считать, что активность кислорода в силикатном расплаве тесно связана с состоянием анионной сетки, от которого в свою очередь зависит подвижность иона Na^+ .

Для определения величины и знака эффекта влияния радиуса катиона на состояние анионной сетки расплава, содержащего несколько катионов, необходимо проведение специальных исследований. Можно полагать, что роль этого эффекта в распределении долей различных катионов в переносе электричества через расплав является значительной.

Выводы

1. При помощи радиоактивных изотопов Na^{24} и Sr^{89} измерены числа переноса ионов Na^+ и Sr^{2+} в расплавах $\text{Na}_2\text{O} \cdot \text{MgO} \cdot 4\text{SiO}_2$ и $\text{Na}_2\text{O} \cdot \text{SrO} \cdot 4\text{SiO}_2$.

2. Сопоставление результатов измерений чисел переноса в этих расплавах с ранее полученными данными о числах переноса катионов в расплавах $\text{Na}_2\text{O} \cdot \text{CaO} \cdot 4\text{SiO}_2$ и $\text{Na}_2\text{O} \cdot \text{BaO} \cdot 4\text{SiO}_2$ показывает, что доля двухзарядного катиона в переносе электричества возрастает от Mg^{2+} к Ca^{2+} , а затем убывает от Ca^{2+} к Sr^{2+} и далее к Ba^{2+} , и таким образом зависимость числа переноса иона Na^+ от радиуса двухзарядного катиона не является монотонной.

ЛИТЕРАТУРА

1. J. O. 'M. Bocris, J. A. Kitchener, S. Ignatowicz, J. W. Tomlinson, Trans. Faraday Soc., 48, 75, 1952.
2. В. И. Малкин, С. Ф. Хохлов, Л. А. Шварцман, Докл. АН СССР, 106, 491, 1956.
3. В. И. Малкин, В. В. Покидышев, Ж. техн. физики, 28, 1958.
4. В. И. Малкин, Л. А. Шварцман, Докл. АН СССР, 102, 961, 1955.
5. Л. Паулинг, «Природа химической связи», Госхимиздат, Москва — Ленинград, 1947.
6. О. А. Есин, Успехи химии, 26, 1374, 1957.
7. G. S. Smith, G. E. Rindone, Glass Ind., 37, 437, 454, 456, 1956.

MEASUREMENT OF THE CATIONIC TRANSFERENCE NUMBERS

IN $\text{Na}_2\text{O} \cdot \text{MgO} \cdot 4\text{SiO}_2$ AND $\text{Na}_2\text{O} \cdot \text{SrO} \cdot 4\text{SiO}_2$ MELTS

V. I. Malkin and V. V. Pokidyshev (Moscow)

Summary

The transference numbers of Na^+ in the melt $\text{Na}_2\text{O} \cdot \text{MgO} \cdot 4\text{SiO}_2$ and of Na^+ and Sr^{++} in the melt $\text{Na}_2\text{O} \cdot \text{SrO} \cdot 4\text{SiO}_2$ have been determined with the aid of the radioactive isotopes Na^{24} and Sr^{89} . The value for Na^+ in the first melt equals 0.90 and in the second 0.78; the value for Sr^{++} is 0.19.

A comparison of these results with previous data on the transference numbers of cations in $\text{Na}_2\text{O} \cdot \text{CaO} \cdot 4\text{SiO}_2$ and $\text{Na}_2\text{O} \cdot \text{BaO} \cdot 4\text{SiO}_2$ melts, where the values for the Na^+ ions were respectively 0.70 and 0.87 showed that the contribution of the bivalent cations to the transport of electricity is not a monotonous function of its radius. The contribution grows from Mg^{++} to Ca^{++} and then falls from Ca^{++} to Sr^{++} and further to Ba^{++} .

ПОЛУЧЕНИЕ ПОЛУПРОВОДНИКОВОЙ ДВУОКИСИ ТИТАНА
НА ТИТАНЕ ПРИ МАЛЫХ ДАВЛЕНИЯХ КИСЛОРОДА

В. А. Дорин, Д. Н. Наследов и Ф. М. Тартаковская

На поверхности титана при определенных условиях образуется двуокись титана с дефектной структурой. Известно, что двуокись титана дефектной структурой является электронным полупроводником, величина проводимости которого сильно зависит от степени восстановления, определяющей количество дефектов в решетке [1—4].

Окисление титана происходит при нагревании на воздухе, в водяных парах и в кислороде.

Процесс окисления титана на воздухе изучался многими авторами в различных температурных интервалах. Было установлено, что окалина, получающаяся при окислении титана на воздухе, состоит из различных окислов титана [5—7]. Некоторые из авторов указывают, что процесс окисления титана на воздухе подчиняется параболическому закону.

Изучение окисления титана в водяных парах производилось в интервале температур 700—1200° С Г. П. Лучкиным и Г. Г. Ильиным [8].

Кинетика окисления при давлении кислорода, близком к атмосферному, изучалась рядом исследователей [9—11]. В ряде работ изучалось окисление титана при давлениях кислорода, близких к парциальному давлению кислорода в воздухе [12—14]. Гульбрансен и Эндрью [15] окисляли титан при давлениях кислорода, находящихся в интервале 0,76—76 мм рт. ст. и температурах 350—600°. Процесс окисления подчиняется параболическому закону, а температурная зависимость роста слоя — экспоненциально. Кинна и Кнор [7] изучали процесс окисления титана при давлениях кислорода 1—1000 мм рт. ст. и при температурах 800, 1000 и 1200°. Ими было установлено, что скорость окисления титана в области исследованных давлений почти не зависит от давления кислорода. Начиная лишь с давления 10 мм рт. ст., в сторону уменьшения, наблюдалось заметное снижение скорости роста слоя. Хикман и Гульбрансен [16] окисляли титан в электронографе при давлении кислорода 1 мм рт. ст. в температурном интервале 300—700°. При этом ими было установлено, что образовавшийся окисел представляет собой TiO_2 со структурой рутила. Конизнд [17] наблюдал образование TiO_2 при окислении тонких пленок титана, нанесенных на скол кристалла каменной соли в вакууме при парциальном давлении кислорода примерно 10^{-2} мм рт. ст.

Экспериментальная часть

Методика проведения опытов. Окисление титана производилось кислородом, освобождающимся при нагревании порошка двуокиси титана.

Образцами для окисления были пластинки титана толщиной 0,6 мм размером 20 × 20 мм². Титан содержал не более 0,08% С, не более 0,08% N₂, не более 0,5% Fe + Ni и следы Cu. Окисление производилось на пластинках титана, отожженных при 1000° в вакууме. Перед окислением пластинки механически полировались, обезжиривались органическими жидкостями и травились в водном растворе, содержащем 5% NaF и 12% HCl.

Порошок двуокиси титана предварительно прокаливался в течение час. при 800°. Навеска такого порошка, равная 5 г, совместно с титановой пластинкой, изолированной в кварцевую коробочку, помещалась в кварцевую пробирку. Из пробирки откачивался воздух до 10^{-2} мм рт. ст. при прогреве ее до 300°. После такого прогрева прибавки в весе пластинки не наблюдалось. Затем пробирка запаивалась и помещалась в нагретую печь для проведения окисления.

В результате совместного прогрева порошка двуокиси титана с титаном последний покрывался слоем окисла. На рис. 1 приведена микрфотография среза слоя двуокиси титана, полученного при 850°. Для получения пилифа пластинка со слоем вваривалась в легкоплавкое стекло в откачанной ампуле. На фотографии металлический титан — светлый, а стекло — темное. Между ними находится слой TiO_2 .

Для определения прироста веса окисляемого титана производилось взвешивание титановых пластинок до и после окисления*.

Окисление титана в анатазе. Процесс окисления титана происходил за счет кислорода, освобождающегося в результате нагревания порошка. Во время прогрева порошок двуокиси титана с структурой анатаза восстанавливался.

В работе была определена зависимость прироста веса пластинок титана от времени окисления при 800° и 850°. Полученные данные изображены на рис. 2 в координатах прирост веса — время в степени $1/2$. Как видно из рисунка, прирост веса окисла подчиняется параболической зависимости.

Внешний вид слоев окислов зависел от температуры окисления. Например, в интервале температур 650—800° цвет окисла изменялся от светло-серого до темно-серого, а выше 850° окисел был темно-синим, темнеющим с увеличением температуры.

Рис. 1. Фотография среза слоя полупроводниковой двуокиси титана толщиной 10 μ . Увеличение 560 раз

Рентгеновский анализ этих слоев показал, что двуокись титана с структурой рутила образовывалась до температур 850—900°.

При температурах окисления выше 900° слои окислов имели состав отличный от двуокиси титана. Так, слой окисла при 1100° состоял из двух слоев разного цвета. Верхний слой имел темно-синий цвет, а нижний — темно-коричневый. Рентгенограммы этих слоев были разные. Более толстый верхний слой представлял Ti_2O_3 . Рентгенограмма вещества этого слоя совпадала с рентгенограммой Ti_2O_3 , приводимой в работе [18]. Рентгенограмма вещества нижнего слоя отличалась от известных нам рентгенограмм окислов титана. Поэтому вещество с подобной рентгенограммой было синтезировано в достаточно больших количествах. При анализе этого вещества было установлено, что оно имеет также состав Ti_2O_3 .

Определение прироста веса пластинок (ΔP), окисленных при различных температурах в течение 5 час., показало, что вес слоя окисла увеличивается с повышением температуры окисления. На рис. 3 представлено изменение прироста веса пластинки в зависимости от температуры. Процесс окисления в полулогарифмических координатах характеризуется двумя прямыми с различным наклоном. Прямая, соответствующая области температур 650—850°, отражает процесс реактивной диффузии, которая приводит к образованию слоя двуокиси титана со структурой рутила. Эту прямую можно описать уравнением

$$\Delta P = 600e^{-14000/RT} \text{ мг/см}^2,$$

где ΔP — прирост веса пластинки при данной температуре, R — газовая постоянная и T — абсолютная температура. Знание временной зави-

* Ошибка взвешивания не превышала 0,2 мг на 8 см² поверхности титановой пластинки.

имости в данной области температур позволяет определить величину энергии активации, которая равна 28000 кал/моль. Полученная величина энергии активации близка к значениям энергии активации, которые получены в работе [11] (32000 кал/моль для ненасыщенного кислородом титана) и в работе [15] (26000 кал/моль), где так же, как и в нашем случае, наблюдались параболические зависимости роста слоя от времени.

Изменение наклона прямой в полулогарифмическом масштабе свидетельствует об изменении условий диффузии компонентов через слой окисла. По-видимому, образование окислов, отличных от двуокиси титана, изменяет условия диффузии, что приводит к другой температурной зависимости.

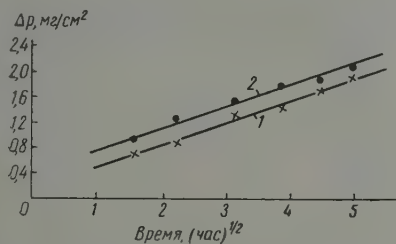


Рис. 2. Зависимость прироста веса титановых пластинок от времени прогрева: 1 — 800°; 2 — 850°

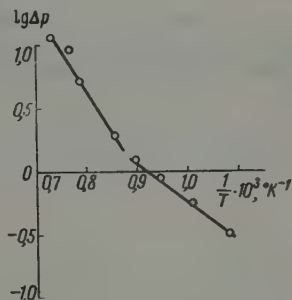


Рис. 3. Температурная зависимость прироста веса титановых пластинок

Было произведено измерение сопротивления и типа проводимости материала слоев, полученных в интервале температур 700—1100°. Двуокись титана, которая получалась на титане, а также и низшие окислы имели электронную проводимость, что устанавливалось по знаку термо-д. с. При измерении сопротивления слоев одним электродом служила ама титановая пластинка, а другим — слой алюминия, нанесенный спарением в вакууме. Алюминий не образовывал запирающих слоев восстановленной двуокисью титана, что, например, проявлялось в отсутствие какой-либо асимметрии ока.

Для сравнения электропроводности материала, из которого состояли ти слой, было вычислено среднеедельное сопротивление. Толщина слоя была рассчитана, исходя из прироста веса пластины. Растворенный титане кислород не учитывался. На рис. 4 приведена зависимость среднегодельного сопротивления материала слоя от температуры, при которой тот слой получен. Приведенные данные отражают лишь характер изменения сопротивления материала, так как состав образовавшегося слоя кисла может быть неоднородным по толщине. Уменьшение сопротивления повышением температуры приготовления, по-видимому, вызвано различной степенью отклонения от стехиометрии, которая с повышением температуры увеличивается. Было найдено, что сопротивление материала несколько падало с увеличением времени приготовления слоя.

Окисление титана в рутиле. Окисление титана велось в интервале температур 700—1100°. Прирост веса образцов удалось уста-

Температура, °С	Прирост веса, мг/см²	Изменение внешнего вида пластинки с изменением температуры окисления
700	0,22	Серо-голубой
800	0,68	Серо-голубой с фиолетовым оттенком
850	1,04	Фиолетовый
900	1,76	Темно-фиолетовый

новить лишь в интервале температур 700—900°. Эти данные помещены в таблице.

При более высоких температурах часть образовавшегося на титане окисла испарялась и осаждалась на стенках кварцевой коробочки, что не позволяло установить истинный прирост веса пластинки. В таблице также приведено изменение цвета пластин с изменением температуры окисления.

Рентгеновским анализом было установлено, что двуокись титана со структурой рутила образуется на титановой пластинке лишь при 700°. При более высоких температурах происходит образование Ti_2O_3 со значительными количествами металлического титана.

Обсуждение результатов

Слои окислов, образующиеся на титане, представляют собой либо слой двуокиси титана с дефектами в анионной части решетки, либо низшие окислы. Образование таких слоев происходит за счет диффузии ионов

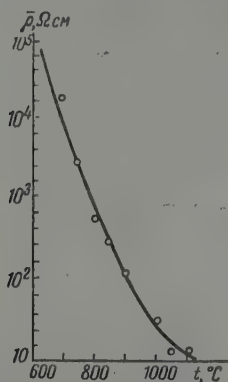


Рис. 4

Рис. 4. Зависимость среднего удельного сопротивления материала полупроводникового слоя от температуры его приготовления

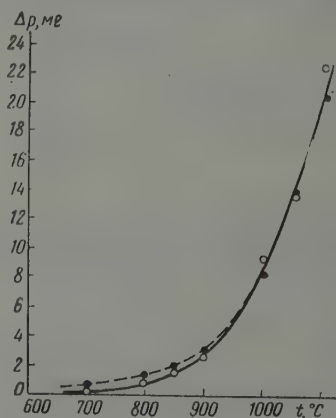


Рис. 5

Рис. 5. Зависимость убыли веса 1 г порошка двуокиси титана (анатаза и рутила) от температуры нагревания (анатаз — пунктирная кривая, рутил — сплошная кривая)

кислорода к границе окисел — газ и ионов титана к границе окисел — металл. Причем значительная диффузия ионов титана происходит при температурах выше 1000° [7]. Ниже 1000° преобладает диффузия ионов кислорода. Выше показано, что слои двуокиси титана образовались в области температур 650—850°, т. е. в области температур, где преобладает диффузия ионов кислорода. Так как рост слоя происходит за счет диффузии ионов кислорода, то, возможно, наличие пустых мест в узлах кислородной части решетки облегчает диффузию ионов кислорода, а вместе с тем создает условия для образования окисного слоя. Известно, что из-за наличия дефектов в анионной части решетки двуокись титана имеет электронную проводимость. Поэтому, возможно, рост слоя при малых давлениях кислорода и наличие электронной проводимости у двуокиси титана являются факторами, сопровождающими друг друга.

Рост слоя окисла происходит при одновременном восстановлении порошка двуокиси титана. На рис. 5 приведено изменение веса двуокиси титана в зависимости от температуры нагревания. Убыль в весе анатаза определена по приросту веса титановой пластинки, а убыль в весе рутила — по весовому анализу восстановленного рутила (прирост веса тита

новой пластинки в ампуле с рутилом примерно совпадает с убылью веса (рутила). Наряду с кислородом, выделяющимся при разложении порошка двуокиси титана, в процессе окисления титана могут частично принять участие и адсорбированные газы. Из рис. 5 видно, что убыль в весе анатаза больше, чем рутила. Только при температуре выше 900° убыль в весе становится почти одинаковой. Как было найдено, это связано с тем, что анатаз выше этой температуры в вакууме переходит в рутил и дальнейшему восстановлению подвергается уже в виде рутила.

Различная убыль в весе восстановленных порошков указывает на то, что диссоциация анатаза и рутила в области температур ниже 900° не одинакова. Вследствие этого и давление кислорода тоже различно. Последнее обстоятельство, по-видимому, существенно влияет на строение и характер роста слоев, полученных в анатазе и в рутиле.

Также на строение и характер роста слоя, по-видимому, влияет способность титана поглощать в значительных количествах кислород (последний растворяется в титане до 14,5 вес. % [19]), причем такое поглощение может происходить за счет растворения окислов в титане [11, 13]. Растворение двуокиси титана имеет место и в случае слоев, полученных в ампулах с анатазом. Так, например, слой окисла толщиной около 10μ после трехчасового прогрева при 1000° полностью поглотился титаном. Пластика после такого прогрева становилась блестящей, а ее вес оставался без изменения.

Таким образом, при выяснении характера роста слоя необходимо учитывать как процесс наращивания слоя, так и процесс его растворения. Преобладание скорости одного процесса над другим определяет конечный продукт реактивной диффузии на поверхности титана. Если предположить, что одинаковая убыль в весе соответствует одинаковому давлению кислорода в ампуле, то на основании рис. 5 можно видеть, что одинаковое давление кислорода в ампуле с рутилом и в ампуле с анатазом имеет место при разных температурах. Почти одинаковые давления кислорода наблюдаются при 700° в ампуле с анатазом и при 800° в ампуле с рутилом. При рассматриваемом давлении на титане в ампуле с анатазом образуется слой TiO_2 , тогда как в ампуле с рутилом такой слой не образуется. Так как при 800° поглощение кислорода в титане происходит сильнее, чем при 700° , то значительная часть взаимодействующего кислорода поглощается титаном, и при рассматриваемом давлении TiO_2 не может образоваться.

Наряду с окислением титана в TiO_2 проведен ряд опытов по окислению титана в окислах различных металлов, причем окислы титана, образующиеся на его поверхности, отличаются между собой по внешнему виду, по толщине слоя и по величине сопротивления. Поскольку в процессе нагревания окисла происходит процесс его диссоциации, то можно предполагать наличие в газовой фазе паров самого металла. Следовательно, можно ожидать, что таким путем можно вводить небольшие количества примесей металлов в слой двуокиси титана во время его образования.

Выводы

1. Исследовано окисление титана в газовой фазе, полученной при нагревании двуокиси титана в виде порошка. Эта газовая фаза характеризуется наличием в ней малых количеств кислорода. Окисление титана сопровождается значительным восстановлением порошка двуокиси титана.
2. При данных условиях окисления закон роста слоя двуокиси титана является параболическим, а температурная зависимость роста слоя подчиняется экспоненциальному закону.
3. Двуокись титана, полученная на титане, имеет электронный тип проводимости, величина которой зависит от температуры получения слоя.

ЛИТЕРАТУРА

1. K. Brekenrige, W. Hosler, Phys. Rev., **91**, 793, 1953.
2. Б. И. Болтакс, Ф. И. Васенин, А. Э. Салунина, Ж. техн. физики **21**, 532, 1951.
3. M. D. Earle, Phys. Rev., **61**, 56, 1942.
4. H. K. Henisch, Electrical Communication, **25**, 163, 1948.
5. В. И. Архаров, Г. П. Лучкин, Тр. ИФМУФАН СССР, вып. 16, 101, 1955.
6. P. H. Morton, W. M. Baldwin, Trans. Amer. Soc. Met., **44**, 1004, 1952.
7. W. Kinna, W. Knorr, Z. Metallkunde, **47**, 594, 1956.
8. Г. П. Лучкин, Г. Г. Ильин, ФММ, **2**, 521, 1956.
9. M. H. Davies, C. Z. Birchenall, J. Metals, **3**, 877, 1951.
10. A. E. Jenkins, J. Inst. Metals, **82**, 213, 1954.
11. M. Simnad, A. Spilners and O. Katz, J. Metals, **7**, 645, 1955.
12. L. S. Richardson, N. I. Grant, J. Metals, **6**, 69, 1954.
13. A. E. Jenkins, J. Inst. Metals, **84**, 1, 1954.
14. H. G. Carpenter, F. R. Reavell, Metallurgia, **39**, 63, 1948.
15. E. A. Gulbransen, K. F. Andrew, J. Metals, **1**, 741, 1949.
16. J. W. Hickman, E. A. Gulbransen, Analyt. Chem., **20**, 158, 1948.
17. Conjeand, J. rech. Centre nat. rech. scient., 273, 1955.
18. Н. Е. Филопенко, В. Н. Кудрявцев, И. В. Лавров, Докл. АН СССР, **86**, 561, 1952.
19. E. S. Bumps, H. D. Kessler, M. Hansen, Trans. Amer. Soc. Metals **45**, 1080, 1953.

THE PREPARATION OF TITANIUM DIOXIDE SEMICONDUCTOR
ON TITANIUM AT LOW OXYGEN PRESSURES

V. A. Dorin, D. N. Nasledov and F. M. Tartakovskaya (Leningrad)

Summary

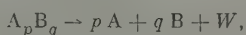
Metallic titanium has been oxidized at low oxygen pressures over the temperature range 650—1100° C. The low oxygen pressures were obtained by heating titanium dioxide powder. As a result of the oxidation a titanium dioxide layer was formed on the titanium. At temperatures ranging from 650 to 850° the layer was defective titanium dioxide of the structure of rutile. At 850—1100° C lower oxides were formed. All the oxides were semiconductors of the p-type. The growth of the layer with time was to obey a parabolic law and the temperature dependence to be of an exponential nature.

ТЕПЛОТА ОБРАЗОВАНИЯ И ФИЗИЧЕСКИЕ СВОЙСТВА ПОЛУПРОВОДНИКОВЫХ ИНТЕРМЕТАЛЛИЧЕСКИХ СОЕДИНЕНИЙ

П. П. Отопков и А. М. Евсеев

За последнее время опубликован ряд статей [1—6], в которых обсуждается вопрос о взаимосвязи между кристаллохимическими, физическими и энергетическими характеристиками полупроводниковых соединений. Хотя в этой области уже наметились определенные закономерности, все же необходимо дальнейшее изыскание связи характеристик полупроводника с его физико-химическими свойствами. В частности, для ширины запрещенной зоны полупроводника существует лишь одно правило, согласно которому в рядах полупроводниковых соединений, например, GaP—GaAs—GaSb или AlSb—GaSb—InSb ширина запрещенной зоны ΔE_0 уменьшается с увеличением атомного веса изменяющегося компонента [3]. Следует указать также на отмеченные в работах Б. Ф. Ормонда [4] и Н. Горюновой [5, 6] некоторые закономерности в изменении ΔE_0 в группе соединений со структурой типа цинковой обманки.

Для определения более явной зависимости ширины запрещенной зоны от свойств твердого тела мы исходили, во-первых, из предположения А. Ф. Иоффе [7] об определении структуры уровней и ширины запрещенной зоны ближним порядком в расположении атомов. Далее, свойства полупроводников зависят от характера сил, действующих между атомами. Для учета этих сил в кристалле с любым типом химической связи мы воспользовались атомной энергией образования соединений, которая определяется для процесса:



при расчете на один моль соединения. Очевидно,

$$W = \Delta H_{\text{обр}} + p\Delta H_{\text{A}} + q\Delta H_{\text{B}},$$

где $\Delta H_{\text{обр}}$ — теплота образования моля соединения A_pB_q из элементов в конденсированном состоянии по реакции:



ΔH_{A} и ΔH_{B} — теплоты испарения элементов с образованием одноатомного пара.

Можно ожидать, что энергия атомизации для определенных групп веществ, в пределах какого-либо группового признака, является функцией типа связи, с непрерывным переходом от металлической до ионной или ковалентной. С другой стороны, величина ΔE_0 в полупроводниках также является функцией типа связи. По-видимому, между энергией атомизации и шириной запрещенной зоны в полупроводниках должно существовать некоторое соответствие.

Для проверки этого предположения мы воспользовались литературными данными о величине ширины запрещенной зоны у интерметаллических полупроводниковых соединений [3, 7] и сопоставили их с вычисленными

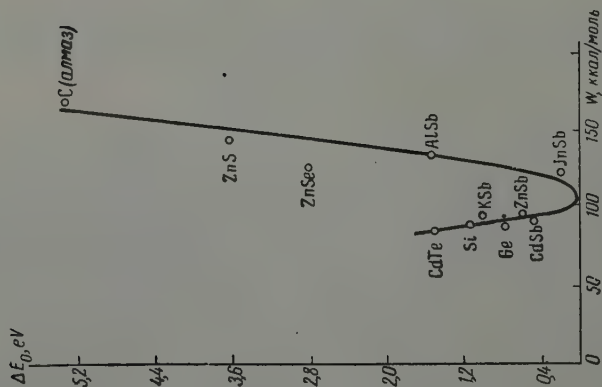


Рис. 1. Зависимость ширины запрещенной зоны для соединений со структурой цинковой обманки от энергии атомизации

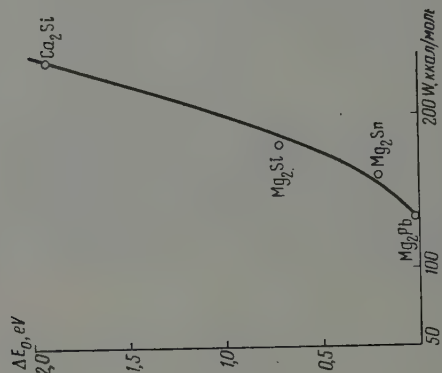


Рис. 2. Ширина запрещенной зоны для соединений со структурой антиферромагнетита, координационное число аниона — 8, в зависимости от энергии атомизации

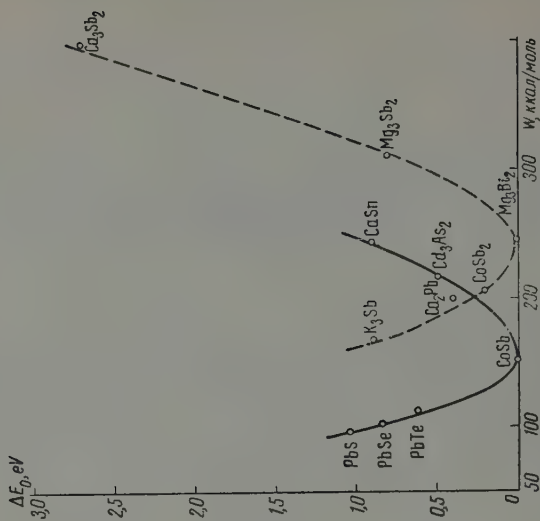


Рис. 3. Зависимость ширины запрещенной зоны для соединений, характеризующихся координационным числом аниона — 6 и 7, от энергии атомизации

основе данных Коттрела [8] и Кубашевского [9, 10] атомарными энергиями образования этих соединений, сгруппировав их по признаку равенства координационных чисел, т. е. по признаку ближнего порядка расположения атомов.

Литературные данные о величине ΔE_0 сильно различаются у различных авторов. Для единообразия мы воспользовались данными в основном одного литературного источника [3].

Среди интерметаллических соединений, удовлетворяющих правилам лентности, в первую очередь выделяются группы со структурой цинковой обманки и антифлюорита. В соединениях типа ZnS каждый атом окружен четырьмя атомами другого сорта. На рис. 1 показана эмпирическая зависимость ширины запрещенной зоны энергии атомизации. Наблюдается такая оптимальная кривая, у которой имеются две ветви. Казалось бы, что ширина запрещенной зоны зависит от энергии, приходящейся на одну связь элементарной ячейки кристалла. В этом случае величина энергии атомизации Ge , Si и C (алмаза) должна быть умножена на два для сравнения с соединениями АВ, и точки для простых веществ не укладываются на кривую рис. 1. Но если эмпирически устанавливать зависимость между шириной запрещенной зоны и энергией атомизации, рассчитанной на один моль или молекулу, то и германий, кремний, и алмаз подчиняются найденной закономерности. Этот факт служит дальнейшему изучению и истолкованию.

На рис. 2 изображена кривая для соединений, имеющих структуру антифлюорита, причем эти соединения почти все укладываются на правую ветвь кривой V-типа.

На рис. 3 изображена зависимость ширины запрещенной зоны от энергии атомизации для соединений со структурой, характеризуемой координационным числом аниона, равным 6 и 7.

Считая возможным на основе найденной эмпирической закономерности предсказывать энергетические характеристики интерметаллических полупроводниковых соединений, мы определили ширину запрещенной зоны для соединений Ca_3Sb_2 . Теплота атомизации этого соединения составляет 395 ккал/моль, а по структуре это соединение, вероятно, изоморфно с Mg_3Sb_2 . Таким образом, ожидаемая ширина запрещенной зоны должна составлять величину порядка 2,6—2,8 eV. Нами был измерен коэффициент поглощения видимого света для Ca_3Sb_2 , полученного путем напыления тонкого слоя на стекло в вакууме (10^{-4} мм рт. ст.).

Измерения производились на спектрографе ИСП-51 с фотометрической приставкой. Коэффициент поглощения, как видно на рис. 4, резко возрастает в области длин волн 400 мμ. Экстраполяцией возрастающей ветви α к нулю ширина запрещенной зоны оценена в 2,75 eV. Полупроводниковые свойства соединения Ca_3Sb_2 , как это видно из рис. 3, также отвечают найденной закономерности. Таким образом энергетические характеристики полупроводника в первую очередь зависят от ближнего порядка в расположении атомов и непосредственно связаны с типом химической связи, которая может быть охарактеризована энергией атомизации.

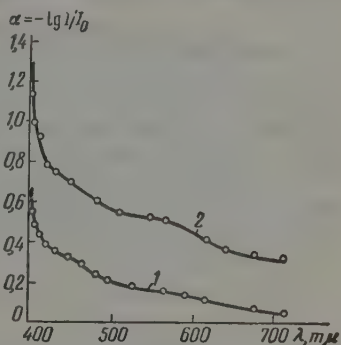


Рис. 4. Коэффициент поглощения для соединения Ca_3Sb_2 : 1 — l_1 ; 2 — l_2

Выводы

1. Найдена эмпирическая закономерность в изменении ширины запрещенной зоны в зависимости от энергии атомизации для интерметаллических полупроводниковых соединений. Эта зависимость имеет оптимальный характер.

Московский государственный
университет им. М. В. Ломоносова

Поступила
30.VI.1958

ЛИТЕРАТУРА

1. А. Р. Регель, Вопросы теории и исследования полупроводников и процессов полупроводниковой металлургии, Изд-во АН СССР, Москва, 1955, стр. 12.
2. Н. А. Горюнова, Вопросы теории и исследования полупроводников и процессов полупроводниковой металлургии, Изд-во АН СССР, Москва, 1955, стр. 2.
3. L. Pincherle, J. Radcliff, *Advances Phys.*, 5, 271, 1956.
4. Б. Ф. Ормонт, *Ж. неорганической химии*, 3, 1281, 1958.
5. Н. А. Горюнова, *Изв. АН СССР, Сер. физ.*, 21, 120, 1957.
6. Б. Ф. Ормонт, Н. А. Горюнова, И. Н. Агеева, Н. Н. Федорова, *Изв. АН СССР, сер. физ.*, 21, 133, 1957.
7. А. Ф. Иоффе, *Физика полупроводников*, Изд-во АН СССР, М.—Л., 1956.
8. Т. Коттрел, *Прочность химической связи*, ИИЛ, Москва, 1956.
9. O. Kubaschewski and J. A. Catterall, *Thermochemical data of alloys*, London, New York, 1956.
10. О. Кубашевский и Эванс, *Термохимия в металлургии*, ИИЛ, Москва, 1956.

THE HEAT OF FORMATION AND PHYSICAL PROPERTIES
OF INTERMETALLIC SEMICONDUCTORS

P. P. Otopkov and A. M. Evseev (Moscow)

Summary

The atomization energy of intermetallic semiconductors has an optimum in its dependence upon the width of the forbidden semiconductor region within the limits of a single structural group characterized by near order.

ТЕПЛОЕМКОСТЬ ВОЛЬФРАМАТОВ КАЛЬЦИЯ, МАРГАНЦА И КОБАЛЬТА ПРИ ВЫСОКИХ ТЕМПЕРАТУРАХ

Р. А. Яковлева и Т. Н. Резухина

Настоящая работа является продолжением исследований термодинамических свойств вольфраматов и молибдатов двувалентных металлов, заключающим измерение равновесий восстановления их водородом, теплоемкостей при высоких температурах и теплот образования.

Обзор данных, полученных на основании измерения равновесий, приведен в [1]; данные по теплоемкостям даны в [2,3].

Экспериментальная часть

Вольфрамат кальция готовился прокаливанием в платиновой чашечке тщательно перемешанной смеси эквивалентных количеств CaCO_3 и WO_3 . Вольфрамовый ангидрид получался прокаливанием до постоянного веса при $700\text{--}750^\circ$ вольфрамовоокислого аммония (препарат марки «ч. д. а.» был перекристаллизован). CaCO_3 готовился из $\text{a}(\text{NO}_3)_2$ и $(\text{NH}_4)_2\text{CO}_3$ (оба препарата были марки «х.ч.»), сушился и прокаливался при температуре до 400° .

Прокаливание эквивалентной смеси CaCO_3 и WO_3 велось сначала при температуре ниже 800° во избежание улетучивания WO_3 . Когда реакция в основном заканчивалась (проба на WO_3 в аммиачной и на CaO в уксуснокислой вытяжках), температура прокалывания поднималась до $1000\text{--}1100^\circ\text{C}$. Химического анализа CaWO_4 не делалось, так как критерием соответствия химического состава соли формуле служило отсутствие WO_3 в аммиачной и CaO в уксуснокислой вытяжках.

Вольфраматы марганца и кобальта готовились осаждением растворов MnSO_4 и $\text{Co}(\text{NO}_3)_2$ эквивалентным количеством раствора K_2WO_4 . Все исходные соли были марки «ч.д.а.» и, кроме того, перекристаллизовывались.

Осадки полученных вольфраматов тщательно промывались сначала декантацией, затем на фильтре, сушились и прокалывались в вакууме. Проведенный с точностью $\pm 0,2\text{--}0,3\%$ химический анализ (анализ на марганец, кобальт и вольфрам проводился по [4]) показал, что полученным соединениям отвечают формулы нормальных вольфраматов.

Средняя удельная теплоемкость измерялась в температурном интервале $573\text{--}1073^\circ\text{K}$ (нижняя температура всегда была около 294°K) методом смешения в массивном калориметре. Подробное описание методики работы калориметрической установки дано в [2] и [5].

Исследуемое вещество помещалось в платиновую ампулу и нагревалось в электрической вертикальной трубчатой печи, расположенной над калориметром. Калориметром служил медный блок, температура которого измерялась платиновым термометром сопротивления при помощи термометрического моста с точностью $\pm 0,0001\ \Omega$ или $0,001^\circ$.

Тепловое значение калориметра определялось электрическим методом с точностью $\pm 0,1\%$ и было равно $2849\text{ кал/}\Omega$. Теплоемкость соли определялась по разности между количеством тепла, внесенным в калориметр нагретой ампулой с солью и нагретой пустой ампулой, причем опыты пустой и наполненной ампулами делались в одинаковых условиях. Воспроизводимость параллельных опытов была $0,05\text{--}0,2\%$. Перед началом работы установка была проверена по KCl (эталон при измерении теплоемкостей). С точностью $\pm 0,1\%$ наши данные по KCl совпадают наиболее надежными литературными данными [6].

В таблице приведены усредненные для каждого исследованного интервала температур результаты измерения теплоемкости CaWO_4 , MnWO_4 и CoWO_4 .

Навеска * соли, г	Температурный интервал, в кото- ром измерялась теплоемкость, °К	Подъем темпера- туры калоримет- ра, выраженный величиной сопро- тивления плати- нового термомет- ра**, Ω	Количество тепла, внесен- ного солью в калориметр, кал 15°	\bar{C}_p оп	\bar{C}_p расч
CaWO_4					
8,0670	673,4—294,0	0,1186	337,9	0,1104	0,1104
	773,1—294,2	0,1523	433,9	0,1123	0,1123
	873,4—294,6	0,1870	532,8	0,1141	0,1142
	974,0—294,7	0,2232	635,9	0,1160	0,1161
	1073,5—294,8	0,2604	741,9	0,1181	0,1180
MnWO_4					
10,6200	574,4—293,3	0,1077	306,8	0,1031	0,1034
	673,3—293,8	0,1493	425,4	0,10555	0,1055
	729,5—294,0	0,1730	492,9	0,1066	0,1066
	773,4—294,2	0,1927	549,0	0,1079	0,1075
	823,8—294,5	0,2143	610,5	0,1086	0,1085
	873,4—294,8	0,2363	673,2	0,10955	0,1095
	923,5—294,7	0,2594	739,0	0,1107	0,1105
	973,8—295,1	0,2819	803,1	0,1114	0,1115
	1073,7—295,6	0,3288	936,8	0,1133	0,1136
CoWO_4					
10,5065	673,8—294,2	0,15215	432,6	0,1085	0,1083
10,5172	773,4—293,7	0,1956	557,3	0,1104	0,1101
10,5065	873,8—294,8	0,2388	679,0	0,1116	0,1120
10,5065	923,7—294,6	0,2630	747,8	0,1131	0,1130
10,5172	974,3—294,8	0,2852	812,5	0,1137	0,1139
10,5065	999,0—294,8	0,3085	861,1	0,1165	0,1165
10,5065	1025,2—294,6	0,3154	896,8	0,1169	0,1169
10,5065	1074,1—294,8	0,3390	963,9	0,1177	0,1177

* Поправка на взвешивание в пустоте не вводилась, так как плотности и чистоты вольфрамов близки к плотности латуни.

** В приведенную величину введены поправки на теплообмен калориметра-бл с окружающей средой и на тепловое значение пустой ампулы.

Из рис. 1 видно, что у CaWO_4 и у MnWO_4 во всем изученном интервале температур теплоемкость меняется линейно с температурой. У CoWO_4 до 973° К C_p также является линейной функцией T , но в температурном интервале 973—999° К имеется фазовое превращение, после чего теплоемкость, став больше по абсолютной величине, опять меняется линейно, причем наклон обеих прямых приблизительно одинаков. Это дало возможность, построив по нашим опытным данным графически зависимость $\Delta H_T - \Delta H_{294}$ (для одного моля CoWO_4) как функцию T и экстраполировав прямые для 1-й и 2-й модификаций к середине неизученного интервала, т. е. к 986°, найти разницу в молярных энтальпиях модификаций, а, следовательно, теплоту перехода, равной 445 кал/моль.

Ниже приводятся полученные методом наименьших квадратов уравнения, связывающие среднюю удельную \bar{c}_p и среднюю молярную \bar{C}_p теплоемкость вольфрамов с температурой:

$$\text{CaWO}_4 \begin{cases} \bar{c}_p = 0,09756 + 1,9005 \cdot 10^{-5} T \\ \bar{C}_p = 28,09 + 5,472 \cdot 10^{-3} T \end{cases}$$

$$\text{MnWO}_4 \begin{cases} \bar{c}_p = 0,09183 + 2,0245 \cdot 10^{-5} T \\ \bar{C}_p = 27,805 + 6,130 \cdot 10^{-3} T \end{cases}$$

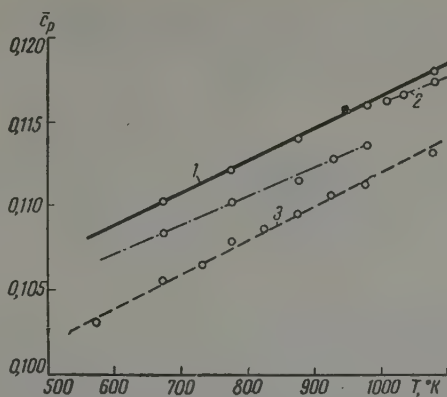


Рис. 1. Средняя удельная теплоемкость:
1 — CaWO_4 , 2 — CoWO_4 , 3 — MnWO_4

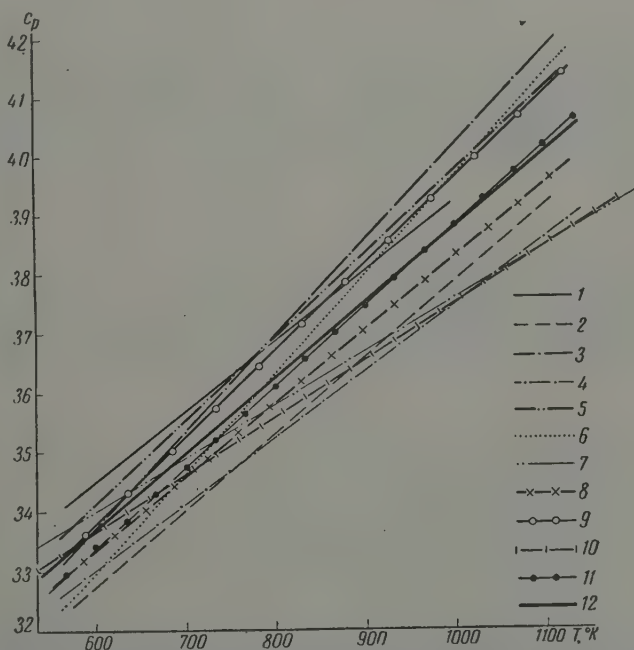


Рис. 2. Зависимость истинной молярной теплоемкости некоторых молибдатов и вольфраматов от температуры: 1 — CoWO_4 , 2 — MgMoO_4 , 3 — NiWO_4 , 4 — CaWO_4 , 5 — CdWO_4 , 6 — ZnWO_4 , 7 — SrWO_4 , 8 — MnWO_4 , 9 — SrMoO_4 , 10 — PbWO_4 , 11 — BaMoO_4 , 12 — $C_{p\text{MeII}XO_4}$ (где $X = \text{Mo}, \text{W}$) $= 26,10 + 0,0126 T$

$$\text{CoWO}_4 \left\{ \begin{array}{l} \text{1-я модификация} \\ \quad \begin{array}{l} c_p = 0,09553 + 1,889 \cdot 10^{-5} T \\ \bar{C}_p = 29,31 + 5,797 \cdot 10^{-3} T \end{array} \\ \text{2-я модификация} \\ \quad \begin{array}{l} \bar{c}_p = 0,10015 + 1,6335 \cdot 10^{-5} T \\ \bar{C}_p = 30,73 + 5,012 \cdot 10^{-3} T \end{array} \end{array} \right.$$

Истинные удельные c_p и молярные C_p теплоемкости вольфрамов и молибдатов найдены из средних по уравнению $C_p(T - T_1) = \int_{T_1}^T C_p dT$.

Ниже приведены полученные для них уравнения:

$$\begin{array}{l} \text{CaWO}_4 \left\{ \begin{array}{l} c_p = 0,09197 + 3,8010 \cdot 10^{-5} T \\ C_p = 26,48 + 10,945 \cdot 10^{-3} T \end{array} \right. \\ \text{MnWO}_4 \left\{ \begin{array}{l} c_p = 0,08587 + 4,0490 \cdot 10^{-5} T \\ C_p = 26,00 + 12,28 \cdot 10^{-3} T \end{array} \right. \\ \text{CoWO}_4 \left\{ \begin{array}{l} \text{1-я модификация} \quad \begin{array}{l} c_p = 0,08997 + 3,7788 \cdot 10^{-5} T \\ C_p = 27,60 + 11,59 \cdot 10^{-3} T \end{array} \\ \text{2-я модификация} \quad \begin{array}{l} c_p = 0,09534 + 3,267 \cdot 10^{-5} T \\ C_p = 29,25 + 10,02 \cdot 10^{-3} T \end{array} \end{array} \right. \end{array}$$

На рис. 2 изображена в изученном интервале температур истинная молярная теплоемкость ряда исследованных нами вольфрамов и молибдатов (CaWO_4 , MnWO_4 , CoWO_4 , BaMoO_4 , NiWO_4 , ZnWO_4 , SrWO_4 , SrMoO_4 , CdWO_4 , PbWO_4 , MgMoO_4). Как видно, молярные теплоемкости соединений общей формулы MeMoO_4 и MeWO_4 довольно близки; с точностью $\pm 3-5\%$ в температурном интервале $300-1100^\circ \text{K}$ они охватываются уравнением

$$C_p = 26,10 + 0,0126T.$$

По-видимому, это уравнение является достаточно пригодным для расчета теплоемкостей вольфрамов (VI) и молибдатов (VI) двувалентных металлов и может быть использовано в соответствующих расчетах.

Авторы выражают благодарность проф. С. М. Скуратову за ряд ценных указаний, использованных при выполнении настоящей работы.

Выводы

1. Измерены средние удельные теплоемкости вольфрамов кальция, марганца и кобальта в интервале $294-1073^\circ \text{K}$.

2. Даны уравнения для средней и истинной теплоемкости этих веществ.

3. Найдено, что CoWO_4 в температурном интервале $973-1000^\circ$ претерпевает полиморфное превращение и определена теплота этого превращения.

4. Дано уравнение для истинной молярной теплоемкости, которое может быть использовано для оценки теплоемкости при температурах $294-1073^\circ \text{K}$ неизученных вольфрамов и молибдатов общей формулы MeMoO_4 и MeWO_4 при условии, если у них нет полиморфных превращений.

Поступила
30.VI.1958

ЛИТЕРАТУРА

1. Я. И. Герасимов, Т. Н. Резухина, Ю. П. Симанов, И. А. Васильева, Р. Д. Куршакова, Вестн. МГУ, серия математики, механики, химии и физики, № 4, 1957.
2. Л. А. Жаркова, Т. Н. Резухина, Ж. физ. химии, 31, 2278, 1957.
3. Л. А. Жаркова, Т. Н. Резухина, Ж. физ. химии, 32, 2233, 1958.

- В. Ф. Гиллебранд, Г. Э. Лендель, Г. А. Брайт, Д. И. Гофман, Практическое руководство по неорганическому анализу, Госхимиздат, Москва, 1957.
- М. М. Попов, Термометрия и калориметрия, Изд-во МГУ, 1954.
- С. М. Скуратов и С. А. Лапушкин, Ж. общ. химии, 21, 2217, 1951.

THE HEAT CAPACITIES OF CALCIUM, MANGANESE AND COBALT TUNGSTATES (VI)

R. A. Yakovleva and T. N. Rezhukhina (Moscow)

S u m m a r y

The mean heat capacities of calcium, manganese and cobalt tungstates have been determined over the temperature range 294—1063° K. Equations have been presented for the mean and true heat capacities of the compounds. CoWO_4 has been found to undergo polymorphous transformation over the temperature range 973—1000° and the heat of the transformation has been determined.

An equation has been presented for the true molar heat capacity, that may be used to calculate the heat capacities of unknown tungstates and molybdates of the general formula MeWO_4 and MeMoO_4 at temperatures from 294—1073°, provided no polymorphous transformations take place.

ВЛИЯНИЕ ХИМИЧЕСКОГО СТРОЕНИЯ АЛКИЛБЕНЗОЛОВ
НА ИХ СПОСОБНОСТЬ АДсорБИРОВАТЬСЯ НА СИЛИКАГЕЛЕ

*Е. А. Михайлова, Э. Н. Смирнова, В. А. Петухова
и Б. А. Казанский*

При адсорбционном разделении бензинов и лигроинов методом вытеснительной хроматографии на силикагеле мы наблюдали изменение показателя преломления ароматической части при ее десорбции, что указывает на различную способность отдельных ароматических углеводородов адсорбироваться в этих условиях.

В литературе по этому поводу приводятся неоднозначные указания. Известно правило Гурвича [1], согласно которому тенденция разных веществ к адсорбции из раствора растет с увеличением их молекулярного веса. С другой стороны, Финк, Лис и Вейс [2] нашли, что алкилбензолы разного молекулярного веса и строения одинаково адсорбируются на силикагеле из 20%-ных по объему растворов их в изооктаноле. Они установили также, что толуол в одинаковой степени адсорбируется из его растворов в разных парафиновых углеводородах и слабее — из его раствора в метилциклопентане. Наконец, Мэйр [3—6] с соавторами нашли, что адсорбция разных алкилбензолов на силикагеле уменьшается с удлинением *n*-алкильной боковой цепи или при переходе от полиалкилбензола к изомерному моноалкилбензолу.

В настоящей работе изучалась относительная способность бензола, толуола и различных алкилбензолов адсорбироваться из растворов на мелкопористом силикагеле. Исследование проводилось методом адсорбционной хроматографии двумя способами: фронтальным анализом 10% (в молярных долях) растворов различных ароматических углеводородов в *n*-гексане в присутствии одного и того же количества силикагеля одной и той же марки и способом вытеснительной хроматографии равнообъемных бинарных смесей различных ароматических углеводородов; в последнем случае можно было судить непосредственно об относительной адсорбируемости каждого из компонентов смеси и приблизительно о возможности их отделения друг от друга.

Кроме того, были поставлены опыты для определения способности толуола адсорбироваться на силикагеле из 10 мол.% растворов его в различных парафиновых и полиметиленовых углеводородах; было установлено, что природа растворителя влияет на адсорбцию ароматических углеводородов.

Экспериментальная часть

Исходные углеводороды синтезировались; если брались продажные, то они подвергались тщательной очистке. Каждый из углеводородов перегонялся на высокоэффективной колонке и затем хроматографировался на силикагеле, причем фильтраты первой до последней капли имели одинаковый показатель преломления, что свидетельствовало об их полной однородности. Физические свойства углеводородов, приведенные в табл. 1, близки к опубликованным в литературе для наиболее чистых образцов [7].

Все опыты проведены на мелкопористом силикагеле одной партии марки КСМ Б скресенского химкомбината им. Куйбышева. Силикагель измельчался в фарфоровой шаровой мельнице, просеивался через сита сортово-саржевого типа с отбором зерномера между 100—200 меш, промывался горячей дистиллированной водой, сушился сначала при 60°, а затем при 152—155° в сушильном шкафу в течение 6 час. При такой обработке поверхность силикагеля оставалась гидратированной и проявляла максимальную адсорбционную активность по отношению к бензолу; в случае понижения активности она восстанавливалась описанным ранее способом [8]. Структурная характеристика

ликагеля, измеренная И. Е. Неймарком с сотрудниками, которым мы выражаем здесь нашу признательность, такова: кажущийся уд. вес $\approx 1,21 \text{ г/см}^3$; истинный уд. вес $\approx 2,15 \text{ г/см}^3$; суммарный объем пор $\approx 0,36 \text{ см}^3$; объем микропор $\approx 0,21 \text{ см}^3$; объем переходных пор $\approx 0,12 \text{ см}^3$; удельная поверхность $\approx 450 \text{ м}^2/\text{г}$.

Опыты проводились в адсорбционной колонке (ср. [8]) из двух секций: верхней $0 \text{ мм} \times 22 \text{ мм}$ и нижней $730 \text{ мм} \times 10 \text{ мм}$. Высота столба силикагеля составляла 0 мм . Температура воды в охлаждающей рубашке $10-12^\circ$. Вытеснение адсорбированных углеводов проводилось этиловым спиртом при атмосферном давлении. Скорость фильтрации была $5-15 \text{ мл/час}$ в зависимости от вязкости вытекающей жидкости. Наблюдение за хроматографическим разделением осуществлялось путем измерения показателя преломления капли фильтрата на рефрактометре Аббе через каждые $0,5 \text{ мл}$ бъем капли $0,02 \text{ мл}$.

Таблица 1

Углеводороды	Т. кип., $^\circ\text{C}$, 760 мм	n_D^{20}	d_4^{20}	Потенциал ионизации	Дипольн. момент $\mu \cdot 10^{18}$
Бензол	80,1	1,5011	0,8788	9,24	0
Толуол	110,6	1,4968	0,8669	8,92	0,37
Ксилол	144,5	1,5052	0,8801	8,3	0,52
Ксилол	139,1	1,4972	0,8641	8,3	0,37
Ксилол	138,5	1,4958	0,8612	8,3	0
Илбензол	136,3	1,4958	0,8671	8,75	0,58
Сектилбен	164,7	1,4994	0,8652	8,1[15]	0
Изопропилбензол	152,5	1,4912	0,8619	8,6	0,75
Пропилбензол	159,2	1,4920	0,8620	—	0,65
Горичнобутилбензол	—	1,4902	0,8624	—	—
Этил-м-ксл-лол	183,7	1,4981	0,8642	—	—
Бутилбензол	183,2	1,4897	0,8603	—	—
Гексилбензол	126,8—9/39 мм	1,4866	0,8574	—	—
3,5-Триэтилбензол	216,0	1,4958	0,8621	—	0,1
Пента	36,1	1,3573	0,6263	10,55	0,6
Изопента	28,1	1,3535	0,6199	10,1	—
Иклопента	49,3	1,4062	0,7454	—	0,6
Гексан	68,8	1,3749	0,6595	10,43	0
Гептан	98,4	1,3878	0,6838	10,35	0
Октан	125,6	1,3974	0,7027	10,24	0
Изоктан	99,2	1,3913	0,6918	—	0
Нонан	150,4	1,40545	0,71765	10,21	0
Иклогексан	80,7	1,4262	0,7784	—	0,0
Этилциклогексан	100,9	1,4231	0,7692	—	0

Результаты опытов по определению адсорбции различных алкилбензолов из растворов в *n*-гептане, приведенные в табл. 2, являются средними из двух и большего числа опытов для каждого раствора. В опыт бралось

Таблица 2

	$a \cdot 10^2$, мол		$a \cdot 10^2$, мол
Бензол	14,1	<i>n</i> -Ксилол	12,7
Толуол	13,7	Изопропилбензол	11,4
Этилбензол	13,0	<i>n</i> -Бутилбензол	10,4
<i>o</i> -Ксилол	12,7		

0 г силикагеля и 25 мл 10 мол. % раствора ароматического углеводорода в *n*-гептане. Адсорбционная способность углеводорода a выражалась молях на 100 г силикагеля и вычислялась по формуле:

$$a = \frac{10mnd}{(100-n)M},$$

где m — количество выделившегося чистого n -гептана в миллилитрах; n — содержание ароматического углеводорода в растворе в объемн.%; d — уд. вес ароматического углеводорода (d_4^{20}); M — его молекулярный вес.

Точность определения a составляет около 1%.

Из данных табл. 2 видно, что адсорбируемость алкилбензолов различна.

Этим же способом определялась адсорбируемость толуола из его растворов в разных углеводородах. Результаты этих опытов приведены в табл. 3. Количества силикагеля и растворов те же; концентрация толуола также была равна 10 мол. %.

Таблица 3

Растворитель	$a \cdot 10^2$, мол	Растворитель	$a \cdot 10^2$, мол
<i>n</i> -Пентан	12,8	Изооктан	13,5
Изопентан	13,7	<i>n</i> -Нонан	14,4
<i>n</i> -Гексан	13,3	Циклопентан	11,4
<i>n</i> -Гептан	13,7	Циклогексан	13,0
<i>n</i> -Октан	13,6	Метилциклогексан	12,9

Из данных табл. 3 следует, что адсорбция толуола зависит от природы растворителя: она немного увеличивается с удлинением и, по-видимому, с разветвлением цепи парафинового углеводорода-растворителя и уменьшается при замене парафина на циклопарафин с тем же числом атомов углерода. Такое влияние природы растворителя связано с тем, что сами растворители по-разному адсорбируются на силикагеле: циклопарафин сильнее парафинов, циклопентан сильнее циклогексана, а адсорбция парафинов уменьшается с удлинением и разветвлением цепи; последний вывод согласуется с данными Хиршлера и Эмона [9].

Наибольшее число опытов было проведено с равнообъемными бинарными смесями различных ароматических углеводородов методом вытеснительной хроматографии. Результаты этих опытов приведены в табл. 4. Некоторые хроматограммы — на рисунке. В этой таблице концентрации c_1 и c_2 сильнее адсорбирующегося углеводорода A в первой и последней каплях фильтрата, определены по формуле:

$$c = \frac{n - n_2}{n_1 - n_2},$$

где c — содержание углеводорода A в объемн.%, n_1 , n_2 и n — показатели преломления соответственно исходных углеводородов A и B и капли фильтрата.

Опыт с каждой бинарной смесью углеводородов проводился по несколько раз. Воспроизводимость определений иллюстрируется данными табл.

Разность концентраций сильнее адсорбирующегося углеводорода ($c_2 - c_1$), приведенная в столбце 6, очень условно может характеризовать степень обогащения фильтрата углеводородом A . В некоторых случаях можно было констатировать выделение с поверхности силикагеля исходных углеводородов A и B в чистом виде; их выходы, приведенные в столбцах 7 и 8, вычислены по графикам соответствующих хроматограмм.

Результаты, полученные в настоящей работе, безусловно указывают на существование различия в адсорбции на силикагеле изученных алкилбензолов. При этом их адсорбция уменьшается с увеличением молекулярного веса.

На основании полученных данных ароматические углеводороды в уменьшении их адсорбции на силикагеле можно расположить в так

Таблица 4

№ пыта	Углеводороды		Концентр. А, объемн. %		$c_2 - c_1$	Выход чистых компонентов	
	адсорбир. сильнее (А)	адсорбир. слабее (Б)	в 1-й кап- ле (с ₁)	в послед- ней кап- ле (с ₂)		объемн. % (А)	объемн. % (Б)
1	Бензол	Толуол	5	51	46	—	—
03	»	о-Ксилол	22	100	78	1	—
02	»	м-Ксилол	0	59	59	—	56**
38	»	п-Ксилол	0	72	72	—	7
9	»	Этилбензол	0	91	91	—	18
27	»	н-Бутилбензол	0	100	100	1	37
12	Толуол	о-Ксилол	35	77	42	—	—
11	»	Этилбензол	0	100	100	15	21
85a	»	Мезитилен	0	92	92	—	10
16	»	Кумол	0	100	100	6	18
84	о-Ксилол	м-Ксилол	51	56	5	—	—
13	»	п-Ксилол	45	52	7	—	—
10	»	Этилбензол	32	64	32	—	—
82	»	Мезитилен	0	90	90	—	1
14	»	Кумол	2	86	84	—	—
01	м-Ксилол	п-Ксилол	43	71	28	—	—
86	»	Этилбензол	0	57	57	—	1
83	»	Мезитилен	18	73	55	—	—
98a	п-Ксилол	Мезитилен	17	94	77	—	—
15	»	Кумол	0	83	83	—	1
00	Этилбензол	Мезитилен	44	92	48	—	—
36	»	н-Бутилбензол	2	95	93	—	—
90	Мезитилен	Кумол	37	42	5	—	—
93	»	н-Пропилбензол	37	47	10	—	—
48	»	1,3,5-Триэтилбензол	0	92	92	—	36
14	Кумол	н-Пропилбензол	50	50	0	—	—
19	»	Втор-бутилбензол	60	100	40	2	—
18	»	н-Бутилбензол	7	100	93	19	—
97	н-Пропилбензол	Втор-бутилбензол	11	100	89	2	—
39	»	н-Бутилбензол	0	100	100	2	1
—	1,2,3,4-Тетраметил- бензол	н-Бутилбензол [3]	0	77*	77	—	—
99	Втор-бутилбензол	н-Бутилбензол	20	100	80	1	—
29	1,3-Диметил-5-этил- бензол	н-Бутилбензол	34	58	24	—	—
99a	н-Бутилбензол	н-Гексилбензол	0	100	100	1	37
95	»	1,3,5-Триэтилбензол	3	93	90	—	—
98	н-Гексилбензол	1,3,5-Триэтилбензол	35	55	20	—	—

* Эта цифра является заниженной, так как авторы [3] определяли содержание не в последней капле, как это делали мы, а в более широкой фракции.

** Выделенная фракция м-ксилола имела n_D^{20} 1,4970, т. е. ниже показателя преломления исходного м-ксилола.

последовательности: бензол > толуол > о-ксилол > м-ксилол > п-ксилол > этилбензол > мезитилен > изопропилбензол > н-пропилбензол > 1,2,3,4-тетраметилбензол > вторичнобутилбензол > 1,3-диметил-5-этилбензол > н-бутилбензол > н-гексилбензол > 1,3,5-триэтилбензол.

В этот ряд мы включили 1,2,3,4-тетраметилбензол (пренитол), используя данные Мэйра, Габорио и Россини [3], показавших, что пренитол сорбируется настолько сильнее н-бутилбензола, что первые порции десорбата состоят из чистого н-бутилбензола. Положение изо- и н-пропилбензолов в ряду углеводородов было определено не на основании хроматограммы смеси обоих углеводородов, которая не была достаточно четкой, а по величине обогащения десорбата при хроматографировании смесей каждого из этих углеводородов с мезитиленом. Десорбат смеси

Таблица 5

Смесь бензола с толуолом (1:1), n_D^{20} 1,4985; n_D^{20} бензола 1,5011; n_D^{20} толуола 1,4968

1-й опыт	n_D^{20}	2-й опыт	n_D^{20}
суммарный объем фильтрата, мл		суммарный объем фильтрата, мл	
0,02	1,4970	0,02	1,4971
0,54	1,4978	0,54	1,4978
1,06	1,4980	1,06	1,4980
1,68	1,4980	1,68	1,4981
2,10	1,4981	2,10	1,4981
2,62	1,4983	2,62	1,4982
3,14	1,4983	3,14	1,4983
3,76	1,4987	3,66	1,4984
4,18	1,4987	4,18	1,4988
4,70	1,4988	4,70	1,4988
5,22	1,4988	5,22	1,4990
5,69	1,4990	5,64	1,4991

с изопропилбензолом (опыт 90, табл. 4) обогатился мезитиленом менее, чем десорбат смеси с *n*-пропилбензолом (опыт 93); следовательно, изопропилбензол адсорбируется сильнее *n*-пропилбензола. Положение 1,4-диметил-5-этилбензола также установлено по величине обогащения смеси этого углеводорода с *n*-бутиленбензолом (опыт 129) и смеси последней с вторичнобутилбензолом (опыт 99). Первый углеводород отделился от *n*-бутилбензола хуже, чем второй; следовательно, вторичнобутилбензол адсорбируется сильнее 5-этил-*m*-ксилола.

Из расположения углеводородов в вышеприведенный ряд, кроме уменьшения адсорбции с возрастанием молекулярного веса, выявляются еще следующие закономерности, зависящие от химического строения углеводорода:

1. Адсорбционная способность моноалкилбензолов с нормальной боковой цепью уменьшается с удлинением этой цепи.

2. Адсорбционная способность полиалкилбензолов с одинаковыми алкильными группами уменьшается с увеличением числа этих групп.

3. Моноалкилбензолы с разветвленной цепью адсорбируются сильнее изомерных углеводородов с нормальной цепью.

4. Относительная адсорбционная способность полиалкилбензолов с одинаковыми алкильными группами по сравнению с изомерными моноалкилбензолами с прямой или разветвленной цепью зависит от строения радикалов полиалкилбензола. Так, полиметилбензолы адсорбируются сильнее изомерных моноалкилбензолов, а именно: ксилолы адсорбируются сильнее этилбензола, мезитилен — сильнее пропилбензолов, пренитол — сильнее *n*- и вторичнобутилбензолов. В то же время, симметричный триэтилбензол адсорбируется слабее *n*-гексилбензола.

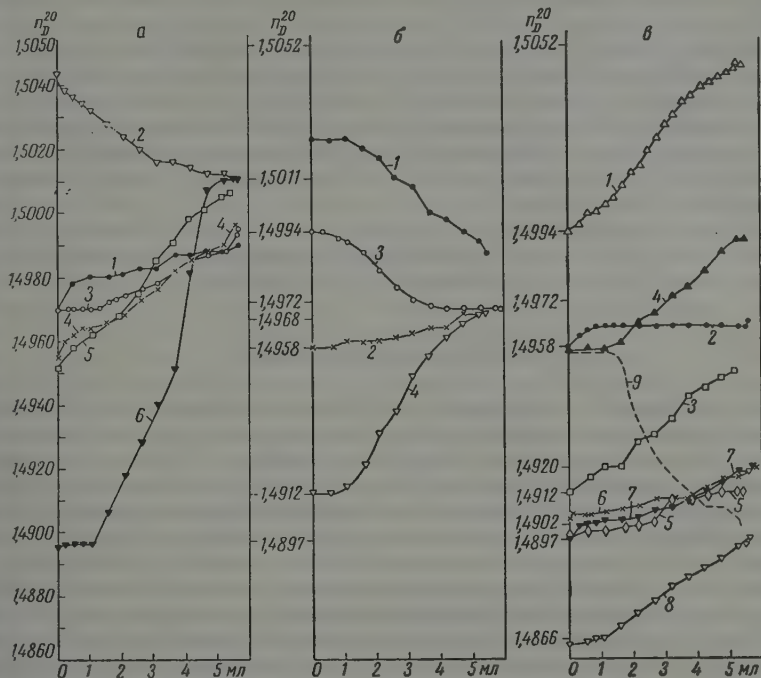
5. Замена двух метильных групп в полиалкилбензоле на этильную группу уменьшает адсорбционную способность углеводорода. Это видно из того, что 5-этил-*m*-ксилол адсорбируется слабее пренитола. Это уменьшение настолько значительно, что такого строения углеводород адсорбируется слабее изомерного моноалкилбензола с разветвленной цепью. Тот же 5-этил-*m*-ксилол адсорбируется слабее вторичнобутилбензола.

6. Среди ксилолов орто-изомер адсорбируется сильнее мета-, а мета- — сильнее пара-изомеров.

Из рассмотрения данных, приведенных в столбцах 6, 7 и 8 табл. 5, которые характеризуют степень адсорбционного разделения бинарных

месей углеводородов, а также из хроматограмм на рисунке (а, б) видно, что степень разделения зависит от положения компонентов в вышеприведенном ряду. Оказалось, что чем дальше друг от друга углеводороды данной смеси расположены в этом ряду, тем, как правило, они разделяются лучше.

Действительно, от бензола, например, отделились этилбензол и *n*-бутилбензол лучше, чем ксилолы, а среди последних *para*-изомер —



Хроматограммы бинарных смесей ароматических углеводородов различного строения

— смеси бензола с алкилбензолами: 1 — с толуолом (n_D^{20} смеси 1,4985), 2 — с *o*-ксиолом (n_D^{20} 1,5022), 3 — с *m*-ксиолом (n_D^{20} 1,4977), 4 — с *n*-ксиолом (n_D^{20} 1,4976), 5 — с этилбензолом (n_D^{20} 1,4975), 6 — с *n*-бутилбензолом (n_D^{20} 1,4944); б — смеси толуола с алкилбензолами: 1 — с *o*-ксиолом (n_D^{20} 1,5010), 2 — с этилбензолом (n_D^{20} 1,4964), 3 — с мезитиленом (n_D^{20} 1,4974), 4 — с изопропилбензолом (n_D^{20} 1,4940); в — смеси: 1 — *o*-ксиолола с мезитиленом (n_D^{20} 1,5023), 2 — *m*-ксиолола с этилбензолом (n_D^{20} 1,4964), 3 — *n*-ксиолола с изопропилбензолом (n_D^{20} 1,4932), 4 — мезитилена с 1, 3, 5-триэтилбензолом (n_D^{20} 1,4972), 5 — изопропилбензола с *n*-бутилбензолом (n_D^{20} 1,4905), 6 — *n*-пропилбензола с вторичнобутилбензолом (n_D^{20} 1,4910), 7 — *n*-пропилбензола с *n*-бутилбензолом (n_D^{20} 1,4908), 8 — *n*-бутилбензола с *n*-гексилбензолом (n_D^{20} 1,4381), 9 — *n*-бутилбензола с 1, 3, 5-триэтилбензолом (n_D^{20} 1,4930), n_D^{20} 1, 5052 — *o*-ксиолола, 1, 5011 — бензола, 1, 4994 — мезитилена, 1,4972 — *m*-ксиолола, 1,4968 — толуола, 1,4958 — *n*-ксиолола, этилбензола и 1,3,5-триэтилбензола, 1,4920 — *n*-пропилбензола, 1,4912 — изопропилбензола, 1,4902 — вторичнобутилбензола, 1,4897 — *n*-бутилбензола, 1,4866 — *n*-гексилбензола

лучше, чем орто-. От толуола и ксилолов отделились лучше мезитилен и кумол, чем ксилол от толуола или ксилолы друг от друга; при этом мезитилен и кумол отделились лучше от толуола, чем от ксилолов. Такой

же характер разделения наблюдается и для других изученных смесей углеводородов.

Однако для некоторых смесей степень их разделения зависит, кроме положения в вышеприведенном ряду, еще и от сходства химического строения компонентов смеси. Менее разветвленные или более симметрично построенные углеводороды отделяются лучше друг от друга. Так, от толуола отделился лучше этилбензол, чем мезитилен и кумол, хотя последние углеводороды стоят в ряду дальше от толуола. Точно так же этилбензол отделился лучше, чем мезитилен, от *m*-ксилола, а от *o*-ксилола мезитилен — лучше, чем кумол; *n*-пропилбензол лучше, чем кумол, отделился от вторичнобутилбензола, а от *n*-бутилбензола отделился *n*-гексилбензол лучше, чем триэтилбензол. Лучше всех разделились смеси моноалкилбензолов с нормальными боковыми цепями и смеси симметрично построенных полиалкилбензолов. Так, *n*-бутилбензол хорошо отделился от *n*-пропил- и *n*-гексилбензолов, а симметричный триэтилбензол от мезитилена (рисунок, в).

Из полученных данных (см. столбцы 7 и 8 табл. 4) обращает на себя внимание то, что из смесей углеводородов выделяется в чистом виде чаще всего более слабо адсорбирующийся углеводород.

Обсуждение результатов

Наблюдаемые в настоящей работе закономерности при адсорбции алкилбензолов на гидратированном мелкопористом силикагеле, по-видимому, можно объяснить следующим образом. Согласно представлениям, развитым А. В. Киселевым [10, 11], адсорбция ароматических углеводородов на поверхности гидратированного силикагеля связана с образованием молекулярного соединения (типа π -комплекса) между ароматическим углеводородом, как основанием, и силикагелем, как кислотой протонного типа. Однако одни эти представления не могут объяснить найденную последовательность уменьшения адсорбции алкилбензолов. Действительно, увеличение основности бензольного ядра при его метилировании [12, 13], объясняемое усилением его электронодонорных свойств, которое подтверждается уменьшением потенциалов ионизации этих углеводородов [14, 15] (см. табл. 1), привело бы как раз к обратному порядку расположения углеводородов по их способности адсорбироваться на силикагеле. Наблюдаемое на самом деле уменьшение адсорбционной способности можно объяснить уменьшением общего адсорбционного потенциала молекулы вследствие увеличения общей площади, занимаемой адсорбированной молекулой, ориентирующейся плоскостью ароматического ядра параллельно поверхности адсорбента.

Действительно, как показал А. В. Киселев [11], молекула толуола занимает на силикагеле большую площадь (67 \AA^2), чем молекула бензола (40 \AA^2). Вследствие этого адсорбция толуола меньше бензола, хотя толуол является более основным, чем бензол. Еще раньше Ван дер Ваарден [1] на основании уменьшения адсорбции на окисленной саже алкилбензолов по мере удлинения алкильной боковой цепи подсчитал, что число молекул, которые могут адсорбироваться на единице поверхности адсорбента, уменьшается с увеличением общей площади, приходящейся на одну молекулу. Данные подсчета привели его, кроме того, к представлению о подвижности алкильных заместителей, осуществляющих взаимный отталкивающий эффект в пределах определенных расстояний, при плоской ориентации ароматического ядра, параллельной поверхности адсорбента.

Однако для некоторых изомерных углеводородов, молекулы которых в адсорбированном состоянии, по-видимому, занимают близкие по величине участки адсорбента, различия в адсорбционной способности могут быть объяснены разной основностью ароматических молекул. Так, адсор-

онная способность ксилолов больше этилбензола, по-видимому, потому, что ксилолы более основны и их потенциал ионизации меньше, чем этилбензола. Точно так же мезитилен с меньшим потенциалом ионизации является более основным, чем изопропилбензол, и адсорбируется сильнее последнего. К сожалению, в настоящее время мы не располагаем данными потенциалов ионизации для других изученных углеводородов.

Наблюдаемое в настоящей работе уменьшение адсорбционной способности углеводородов при введении в молекулу этильного радикала может быть объяснено меньшим эффектом этильного радикала в создании основных свойств ароматического ядра по сравнению с метильным и, возможно, другими радикалами. Такому влиянию этильного радикала обязано уменьшение адсорбционной способности 5-этил-*m*-ксилола по сравнению с претолом и с вторичнобутилбензолом, а также триэтилбензола по сравнению с *n*-гексилбензолом. Аналогичное действие этильного радикала допустили Мак-Коли и Лин [17] при изучении относительной основности метилзамещенных бензолов; эти авторы наблюдали, что гексаэтилбензол менее основен, чем гексаметилбензол.

Уменьшение адсорбционной способности ксилолов от *орто*- к *пара*-номеру, которые, вероятно, при адсорбции занимают близкие по величине участки адсорбента и обладают одинаковыми потенциалом ионизации, можно объяснить уменьшением дипольного момента (см. табл. 1). Точно так же большей величиной дипольного момента можно объяснить меньшую адсорбционную способность изопропилбензола по сравнению с *n*-пропилбензолом, для которого, к сожалению, неизвестен потенциал ионизации.

Наряду с величиной общего адсорбционного потенциала на степень разделения смесей алкилбензолов, по-видимому, влияют большее или меньшее проявление их основности, а также величины дипольных моментов.

Уменьшение адсорбции изученных в качестве растворителей *n*-парафиновых углеводородов при удлинении их углеродной цепи и более слабую адсорбцию по сравнению с нафтеновыми углеводородами с одинаковым числом атомов углерода можно также объяснить уменьшением общего адсорбционного потенциала при увеличении площади, занимаемой адсорбированной молекулой на поверхности мелкопористого силикагеля. По той же причине, по-видимому, циклопентан адсорбируется сильнее клогексана.

Авторы сердечно благодарят проф. А. Ф. Платэ, А. А. Либермана, А. Прияшникову и О. В. Брагина за предоставленные препараты некоторых углеводородов.

Авторы выражают глубокую благодарность проф. А. В. Киселеву за живой интерес к настоящей работе.

Выводы

1. Установлено, что адсорбция изученных алкилбензолов на гидратированном мелкопористом силикагеле в условиях адсорбционной хроматографии зависит от химического строения углеводородов и природы растворителя.

2. Найдено, что изученные алкилбензолы по уменьшению их адсорбционной способности на силикагеле располагаются в определенный ряд, причем степень хроматографического разделения бинарных равновесных смесей алкилбензолов тем больше, чем дальше друг от друга расположены компоненты смеси в этом ряду.

3. Сделано предположение, что найденная адсорбционная последовательность алкилбензолов обусловлена в первую очередь величиной общего адсорбционного потенциала, связанного с величиной участков,

занятых адсорбированными молекулами на поверхности адсорбента, затем донорно-акцепторной природой адсорбции, обусловленной основностью ароматических углеводородов и кислотными свойствами адсорбента, а также величиной дипольного момента адсорбирующейся молекулы.

Поступила
30.VI.1958

ЛИТЕРАТУРА

1. L. Gurwitsch, *Kolloid. Z.* **32**, 80, 1923.
2. D. E. Fink, R. W. Lewis, F. T. Weiss, *Analyt. Chem.*, **22**, 850, 1950.
3. B. J. Mair, A. L. Gaboriault, F. D. Rossini, *Industr. Eng. Chem.* **39**, 1072, 1947.
4. B. J. Mair, J. W. Westhaver, F. D. Rossini, *Industr. Eng. Chem.*, **42**, 1279, 1950.
5. B. J. Mair, *Industr. and Eng. Chem.*, **42**, 1355, 1950.
6. Ф. Д. Россини, Б. Дж. Мэйр, А. Дж. Стрейф, Углеводороды нефти. Разделение, анализ, выделение, очистка и свойства нефтяных углеводородов. Госоптехиздат, Л., 1957, стр. 121.
7. F. D. Rossini, K. S. Pitzer, R. L. Arnett, R. M. Braun, G. Pimentel, *Selected Values of Physical and Thermodynamic Properties of Hydrocarbons and Related Compounds*, Carnegie Press, Pittsburgh, 1953.
8. Е. А. Михайлова, Б. А. Казанский, Исследования в области хроматографии, Тр. Всес. совещания по хроматографии 1950 г., Изд-во АН СССР, М., 1952, стр. 155.
9. A. E. Hirschler, S. Amon, *Industr. and Eng. Chem.*, **39**, 1585, 1947.
10. А. В. Киселев, Докл. АН СССР, **106**, 1046, 1956.
11. А. В. Киселев, Успехи химии, **25**, 705, 1956.
12. H. C. Brown, J. D. Brady, *J. Amer. Chem. Soc.*, **74**, 3570, 1952.
13. А. И. Шатенштейн, Успехи химии, **24**, 377, 1955.
14. Landolt-Börnstein, *Zahlenwerte und Funktionen*, 6-е изд. 1951, т. ч. 3-я, стр. 363, 366, 393.
15. H. Mc Connell, J. S. Ham, J. R. Platt, *J. Chem. Phys.*, **21**, 66, 1953.
16. M. Van der Waarden, *J. Colloid Sci.*, **6**, 443, 1951.
17. D. A. McCaulay, A. P. Lien, *J. Amer. Chem. Soc.* **73**, 2013, 1951.

THE EFFECT OF CHEMICAL STRUCTURE OF ALKYL BENZENES ON THEIR ADSORBABILITY ON SILICA GEL

*E. A. Mikhailova, E. N. Smirnova, V. A. Petukhova
and B. A. Kazanskiĭ (Moscow)*

Summary

Under the conditions of adsorption chromatography the adsorption of the alkylbenzenes investigated has been found to depend upon the chemical structure of the hydrocarbons and upon the nature of the solvent. Alkylbenzenes arrange themselves in a definite order with respect to diminishing adsorption capacities on silica gel, the chromatographic separation of binary mixtures of equal volumes of these compounds being the better the farther in the series the components of the mixture are from each other.

It has been suggested that the order of adsorbabilities found for the alkylbenzenes is determined primarily by the adsorption potentials, associated with the area of sites occupied by the adsorbed molecules, then by the donor - acceptor character of the adsorption process due to the basicity of the aromatic hydrocarbons and acidity of the adsorbent and furthermore by the dipole moments of the sorbate molecules.

ЭЛЕКТРОХИМИЧЕСКОЕ И КОРРОЗИОННОЕ ПОВЕДЕНИЕ ПОЛУПРОВОДНИКОВ В РАСТВОРАХ ЭЛЕКТРОЛИТОВ

1. ЭЛЕКТРОДНЫЕ ПРОЦЕССЫ НА ГЕРМАНИИ В РАСТВОРАХ СЕРНОЙ КИСЛОТЫ В ПРИСУТСТВИИ ПЕРЕКИСИ ВОДОРОДА

Н. Д. Томашов, Е. Н. Палеолог и А. З. Федотова

Изучение электрохимического поведения полупроводников в растворах электролитов представляет интерес в связи с широким использованием этих материалов для создания различных полупроводниковых приборов. Из группы электронных полупроводников наиболее широкое применение имеет в настоящее время германий, а поэтому этот материал первую очередь, и явился объектом нашего исследования.

Основное отличие электрохимического поведения полупроводников металлов сводится к следующему.

Во-первых, небольшая концентрация свободных носителей зарядов вызывает влияние на строение двойного электрического слоя, возникающего на границе полупроводник — раствор. В этом случае, так как и при контакте полупроводника с некоторыми металлами или при сорбции на его поверхности полярных молекул или атомов газа, возникает слой объемного заряда. Глубина этого слоя для данного полупроводника зависит от величины заряда и может достигать 10^{-5} — 10^{-4} см, тогда как в металлах электрический заряд сосредотачивается лишь в поверхностном слое глубиной 10^{-8} см. При образовании двойного электрического слоя на поверхности полупроводника в растворе электролита — диффузия обкладка этого слоя может, таким образом, возникать не только со стороны раствора (для случая большого разбавления), но также и со стороны полупроводника. Наличие объемного заряда в полупроводнике на границе с раствором недавно было экспериментально подтверждено [1] и измерении емкости на границе германий — раствор в зависимости потенциала германиевого электрода.

Вторым основным отличием электрохимического поведения полупроводников, по сравнению с обычными металлами, является возможность участия в электрохимических реакциях на полупроводниках носителей зарядов разных знаков, т. е. свободных электронов и дырок. В соответствии с данными [2—5] в анодной реакции растворения германия, помимо электронов, одновременно участвуют также и дырки*.

Указывается также, что катодная реакция разряда ионов водорода германий происходит с участием электронов из свободной зоны, в то время как при восстановлении на катоде некоторых окислителей Fe^{3+} ; $[Fe(CN)_6]^{3-}$), необходимые для этой реакции электроны могут поступать и непосредственно из валентной зоны [6].

Участие в электродных реакциях на полупроводниках носителей зарядов разных знаков и обуславливает различия в электрохимическом поведении электродов из материала с электронной и дырочной проводимостью. Действительно, так как для перехода ионов германия в раствор требуются дырки, то анодный процесс на германии *p*-типа, в котором дырки являются основными носителями зарядов, происходит без допол-

* Участие дырок в процессе анодного растворения германия обусловлено наличием ковалентных связей в его кристаллической решетке.

нительного торможения, и анодное поведение такого электрода мало отличается от металла. Для германия *n*-типа дырки являются неосновными носителями зарядов, концентрация их в объеме полупроводника очень мала, и доставка дырок к границе германий — раствор может контролировать скорость анодного растворения германия. На анодной поляризационной кривой при этом появляется участок, соответствующий току насыщения, т. е. анод сильно поляризуется. В ряде работ [2, 4] экспериментально показано, что величина анодного тока насыщения действительно определяется концентрацией дырок на поверхности электрода, все факторы, увеличивающие эту концентрацию (повышение температуры электрода, инжекция дырок при помощи *p-n* переходов) одновременно увеличивают также и плотность тока насыщения, т. е. скорость анодного растворения германия при этом возрастает.

Экспериментальная часть

Исследование кинетики электродных процессов на германии с электронной и дырочной проводимостью (*n*- и *p*-типа) проводилось в растворе серной кислоты с различным содержанием перекиси водорода. Измерения проводились на монокристаллах германия. Образцы вырезались из середины монокристалла и имели следующие характеристики:

	Уд. сопротивление, Ω см	Объемное время жизни τ , μ сек.
Германий <i>n</i> -типа	13,0	360
» <i>p</i> -типа	21,0	350

Кристаллическая ориентация исследуемой поверхности монокристалла германия нами не определялась. Однако во всех опытах эта плоскость была перпендикулярной к направлению роста кристалла. Получение электрического контакта осуществлялось при помощи оловянно-свинцового сплава. Толщина образца во всех случаях была не менее 4—5 мм. Поверхность германия перед измерением шлифовалась на корундовых порошках № 14 и 7 и промывалась в теплой дважды дистиллированной воде. В случае необходимости травление поверхности производилось в растворе СР-4* при комнатной температуре в течение 2 мин. Для электрохимических измерений образцы германия запрессовывались в полистирол (при нагревании не выше 150°). Все опыты проводились в условиях термостатирования при $25 \pm 0,1^\circ \text{C}$ без специального затемнения, так как предварительно было установлено, что отличия в электрохимическом поведении германия в темноте и в наших условиях измерения (т. е. в работе в непрозрачном термостате) очень незначительны.

На рис. 1 приводятся кривые катодной поляризации германия *n*-типа в растворах серной кислоты ($\text{pH} = 1,0$) в присутствии различной концентрации перекиси водорода (0,015; 0,075; 0,105 *M*). Все растворы за исключением чистой перекиси водорода (8,8 *M*), имели одинаковое значение pH , равное единице. Измерения проводились в перемешиваемом растворе, в атмосфере воздуха. Отдельные опыты проводились также в атмосфере водорода или кислорода. При снятии поляризационных кривых значение потенциала фиксировалось через 2 мин. после изменения плотности тока. Для измерения потенциала использовался катодный вольтметр.

На всех кривых значения потенциала приводятся по отношению к нормальному водородному электроду.

Приведенные кривые показывают, что катодное поведение германия *n*-типа принципиально не отличается от поведения металлического э.

* Стандартный раствор для травления германия, имеющий состав: 15 CH_3COOH , 25 cm^3 HNO_3 , 15 cm^3 HF и 0,06 cm^3 Br_2 .

рода. В отношении реакции разряда ионов водорода германий является мало эффективным катодом, величина перенапряжения водорода на нем в растворе серной кислоты ($\text{pH} = 1,0$) в атмосфере водорода при плотности катодного тока $\sim 10 \text{ mA/cm}^2$ составляет 1200–1300 мВ, при этом коэффициент наклона b кривой перенапряжения в полулогарифмических координатах равен 0,20. В атмосфере кислорода на поляризационной кривой появляется участок, соответствующий ионизации кислорода. В присутствии перекиси водорода происходит ее восстановление на катоде, величина предельного диффузионного тока оказывается пропорциональной концентрации последней в растворе. При плотности тока, выше предельного диффузионного (I'_d), на катоде начинает одновременно выделять-

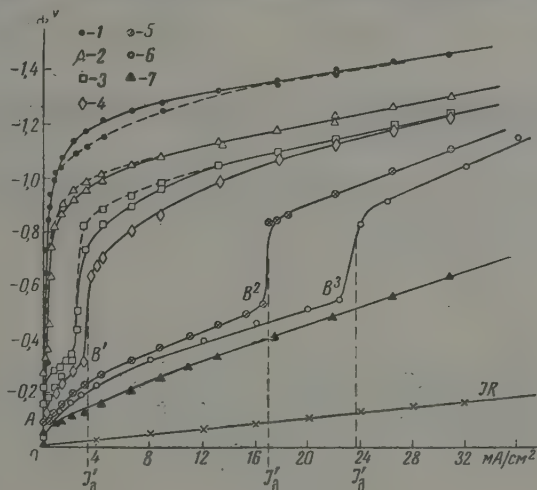
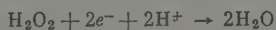


Рис. 1. Кривые катодной поляризации германия n -типа (поверхность без травления), 25° : 1 — H_2SO_4 ($\text{pH}=1,0$); атмосфера водорода; 2 — H_2SO_4 ($\text{pH}=1,0$); атмосфера воздуха; 3 — H_2SO_4 ($\text{pH}=1,0$); атмосфера кислорода; 4 — H_2SO_4 ($\text{pH}=1,0$) + $0,015 \text{ M H}_2\text{O}_2$; атмосфера воздуха; 5 — H_2SO_4 ($\text{pH}=1,0$) + $0,075 \text{ M H}_2\text{O}_2$; атмосфера воздуха; 6 — H_2SO_4 ($\text{pH}=1,0$) + $0,105 \text{ M H}_2\text{O}_2$; атмосфера воздуха; 7 — $8,8 \text{ M H}_2\text{O}_2$; атмосфера воздуха. Пунктир — обратный ход кривых, IR — омическое падение потенциала в объеме германия

также и водород. То, что в данном случае на участках поляризационных кривых AB^2 и AB^3 действительно происходит восстановление H_2O_2 , а не ионизация молекулярного кислорода, образующегося вблизи поверхности катода вследствие химического разложения перекиси водорода, было установлено в специальных опытах. В табл. 1 приводятся данные, показывающие, что уменьшение концентрации перекиси водорода в растворе при поляризации токами 6, 8 и $9,4 \text{ mA/cm}^2$ (т.е. меньшими, чем предельный диффузионный ток в данном растворе) соответствует количеству электричества, пропущенного через раствор.

При плотности тока, большей чем I'_d , количество электричества, затрачиваемое на восстановление перекиси водорода, получается меньшим ($< Q$) и по плотности тока соответствует значениям I'_d . Расчет проведен, исходя из восстановления перекиси водорода по уравнению:



(равновесное значение потенциала этого процесса равно 1,77 В). Химическое разложение перекиси водорода на поверхности германия в данных

Таблица 1

Изменение концентрации перекиси водорода в растворе
 H_2SO_4 (рН = 0,1) + 0,11 М H_2O_2 в атмосфере воздуха при катодной поляризации германия *n*-типа; 25 °С

I , мА/см ²	Время поляризации, часы	Кол-во пропущ. эл-на (Q), мА·час	Изменение концентр. H_2O_2 , <i>з-якв.</i>	
			По расчету	Из опыта
6,78	2,76	5,0	$0,019 \cdot 10^{-2}$	$0,022 \cdot 10^{-2}$
9,42	2,00	5,0	$0,019 \cdot 10^{-2}$	$0,019 \cdot 10^{-2}$
32,0	1,25	10,0	$0,027 \cdot 10^{-2} *$	$0,027 \cdot 10^{-2}$
40,0	1,0	10,0	$0,022 \cdot 10^{-2} *$	$0,024 \cdot 10^{-2}$

* Изменение концентрации перекиси водорода в растворе рассчитано, исходя из величины предельного диффузионного тока, равного 23,6 мА/см²

условиях ничтожно мало. Таким образом в атмосфере воздуха до плотности тока I'_0 восстановление перекиси водорода является основной катодной реакцией на германиевом электроде.

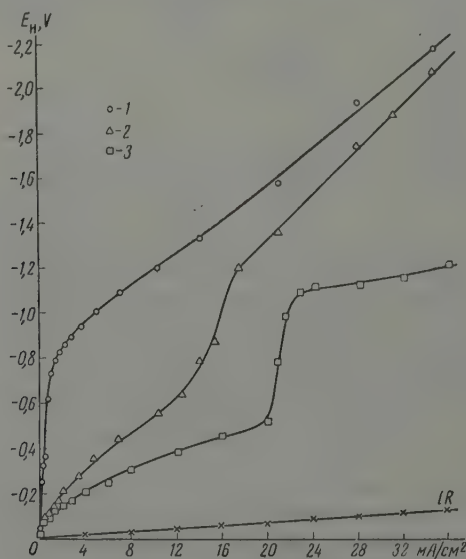


Рис. 2. Кривые катодной поляризации германия *p*-типа (поверхность после травления) в атмосфере воздуха, 25°: 1 — H_2SO_4 (рН = 1,0); 2 — H_2SO_4 (рН = 1,0) + 0,11 М H_2O_2 ; 3 — H_2SO_4 (рН = 1,0) + 0,11 М H_2O_2 ; *n*-тип; *IR* — омическое падение потенциала в объеме германия

На рис. 2 приводятся катодные поляризационные кривые для германия *p*-типа в растворах H_2SO_4 (рН = 1,0) и H_2SO_4 (рН = 1,0) + 0,11 М H_2O_2 , снятые в атмосфере воздуха. Поверхность германия была предварительно протравлена. Полученные результаты показывают, что в этом случае по сравнению с германием *n*-типа происходит дополнительное торможение как процесса восстановления перекиси водорода, так и разряд

дородных ионов, что выражается в значительном увеличении наклона соответствующих участков поляризационной кривой. Торможение катодного процесса в данном случае не связано с изменением состояния поверхности германия после травления, а, по-видимому, объясняется недостатком свободных электронов, являющихся в германии *p*-типа основными носителями или дополнительным омическим падением потенциала в приповерхностном слое *p*-германия, обедненного дырками*. Этим последним случае основное участие в восстановительных реакциях *p*-германия принадлежит электронам из валентной зоны.

Если производить длительную катодную поляризацию *p*-германия области выделения водорода, то во времени происходит изменение по-

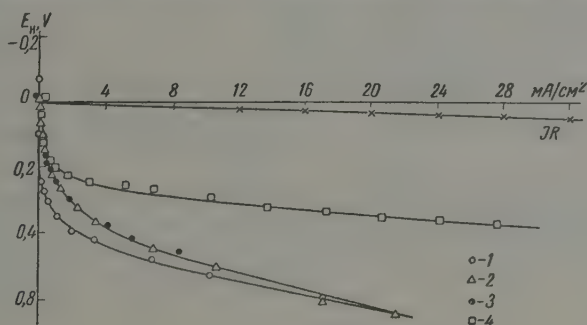


Рис. 3. Кривые анодной поляризации германия *p*-типа (поверхность без травления) в атмосфере воздуха при 25°: 1 — H_2SO_4 ($\text{pH} = 1,0$); 2 — H_2SO_4 ($\text{pH} = 1,0$) + 0,095 M H_2O_2 ; 3 — H_2SO_4 ($\text{pH} = 1,0$) + 0,12 M H_2O_2 (поверхность после травления); 4 — 8,8 M H_2O_2 ; jR — омическое падение потенциала в объеме германия

тициала в положительную сторону, пределом которого является значение потенциала для германия *n*-типа. Указанный эффект может быть связан как с дополнительной генерацией носителей зарядов при длительной поляризации, так и с увеличением скорости рекомбинации под влиянием продиффундировавшего в решетку германия водорода (7).

Переходим к рассмотрению анодного процесса на германии. На рис. 3 приведены кривые анодной поляризации германия *p*-типа в растворах серной кислоты с добавкой перекиси водорода. Мы видим, что во всех растворах, несмотря на присутствие перекиси водорода, германий, вплоть до высоких плотностей тока (30 mA/cm^2), остается в активном состоянии. Такое поведение германиевого анода, по-видимому, связано с относительно легкой растворимостью GeO_2 в воде.

Для выяснения природы анодной реакции на германиевом электроде в разных условиях мы проводили анализ раствора (на содержание Ge^{4+}) после поляризации в нем германия при постоянной плотности тока **. Данные этих опытов, приведенные в табл. 2, показывают, что в растворе H_2SO_4 ($\text{pH} = 1,0$) во всем исследованном диапазоне плотностей тока при расчете на ионы четырехвалентного германия наблюдается довольно близкое соответствие между фактическим содержанием германия в растворе и тем его количеством, которое должно образоваться в соответствии с пропущенным количеством электричества. Так как никакой другой процесс в этих условиях на электроде не протекает, полученные резуль-

* Наши последние опыты показывают, что второе предположение является более вероятным.

** Определение германия производилось колориметрическим методом при образовании молибденовой сини.

таты позволяют считать, что единственной анодной реакцией является в данном случае растворение германия в виде ионов Ge^{4+} . В присутствии перекиси водорода, по-видимому, имеет место то же самое. Однако количественное соответствие наблюдается в этом случае лишь при более высоких плотностях тока, так как при плотности тока до 16 mA/cm^2 сказывается влияние саморастворения.

Анодное поведение германия *n*-типа, как и следовало ожидать, резко отличается от германия *p*-типа. Из кривых, приведенных на рис. 4, видно, что начальные участки анодных поляризационных кривых совпадают, однако при плотности тока $0,9\text{--}1,0 \text{ mA/cm}^2$ для германия *n*-типа наблюдается резкое изменение потенциала в положительную сторону, вплоть до значений $\sim 7,0 \text{ V}$ и выше, т. е. электрод становится очень сильно поляризуемым. Поверхность анода при этом сохраняется совершенно блестя-

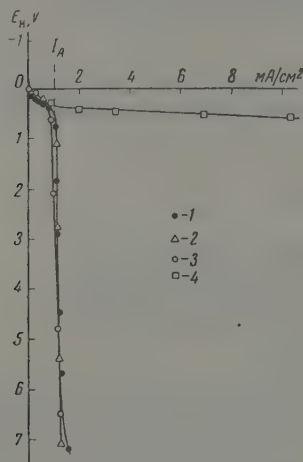


Рис. 4

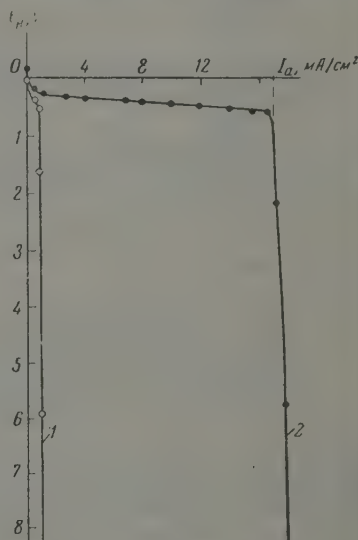


Рис. 5

Рис. 4. Кривые анодной поляризации германия *n*-типа (поверхность после травления в атмосфере воздуха при 25°): 1 — H_2SO_4 ($\text{pH}=1,0$); 2 — H_2SO_4 ($\text{pH}=1,0$) + $0,12 \text{ M H}_2\text{O}_2$; 3 — $8,8 \text{ M H}_2\text{O}_2$; 4 — H_2SO_4 ($\text{pH}=1,0$) *p*-тип

Рис. 5. Влияние освещения на анодную поляризацию германия *n*-типа в атмосфере воздуха при 25° . Раствор H_2SO_4 ($\text{pH}=1,0$): 1 — в темноте; 2 — при освещении

щей. Значение плотности тока (I_A), при которой потенциал анода начинает резко изменяться в положительную сторону, а также получающийся при этом наклон кривой не зависят от состава раствора и определяются в основном свойствами германия.

Величина I_A как для травленной, так и нетравленной поверхности германия оказывается очень близкой, что можно объяснить растворением деформированного внешнего слоя образца в процессе анодной поляризации.

Малое отличие по химическому составу германия с электронной и прямой проводимостью позволяет считать, что резкое изменение потенциала *n*-германия в положительную сторону в данном случае не может быть связано с возникновением пассивности, а является результатом недостатка в поверхностном слое Ge дырок. Скорость подвода последних к границе германий — раствор становится, таким образом, определяющей для процесса анодного растворения германия. На рис. 5 показано, что интенсивное освещение поверхности анода увеличивает I_A , т. е. всл-

Таблица 2

Изменение концентрации Ge^{4+} в растворе, в атмосфере воздуха, при анодной поляризации p -германия; 25 °C

Раствор	I , мА/см ²	Кол-во про- пущенного эл-ва, мА/час	Содержание Ge^{4+} в растворе, г		Выход про- цесса, %
			по расчету	из опыта	
H_2SO_4 (pH = 1,0)	1,0	1,62	$1,09 \cdot 10^{-3}$	$1,07 \cdot 10^{-3}$	97,8
	10,0	1,62	$1,09 \cdot 10^{-3}$	$1,06 \cdot 10^{-3}$	97,0
H_2SO_4 (pH = 1,0) + +0,11 M H_2O_2	1,0	1,055	$0,71 \cdot 10^{-3}$	$2,91 \cdot 10^{-3}$	406,0
	10,0	1,62	$1,09 \cdot 10^{-3}$	$1,28 \cdot 10^{-3}$	117,5
	16,0	1,62	$1,09 \cdot 10^{-3}$	$1,02 \cdot 10^{-3}$	93,8
0,8 M H_2O_2	1,0	0,15	$0,10 \cdot 10^{-3}$	$0,76 \cdot 10^{-3}$	750,0
	10,0	2,68	$1,81 \cdot 10^{-3}$	$2,83 \cdot 10^{-3}$	155,0
	23,6	6,00	$4,07 \cdot 10^{-3}$	$4,82 \cdot 10^{-3}$	118,0

При повышении концентрации дырок — предельная скорость растворения германия возрастает. Ток I_A соответствует по своей природе току насыщения в диодах. Величина его, а также степень наклона поляризационной кривой характеризуют выпрямляющие свойства на границе германий — раствор.

Выводы

1. Поведение германия n -типа в процессе катодной поляризации принципиально не отличается от поведения обычного металлического электрода. В отношении реакции разряда ионов водорода n -германий является малоэффективным катодом, имеющим высокое перенапряжение водорода. В присутствии перекиси водорода на катоде идет процесс ее восстановления, и катодная поляризуемость германия значительно уменьшается. На германии p -типа скорость разряда ионов водорода и восстановления перекиси водорода уменьшается.

2. Процесс анодного растворения протекает различно для германия n - и p -типа. На p -германии он протекает так же, как и на обычном металле. В диапазоне плотностей тока до 30 мА/см² во всех растворах германий n -типа остается активным и переходит в раствор в виде четырехвалентных ионов. Анодное растворение германия n -типа ограничивается скоростью доставки дырок к поверхности. Последнее приводит к сильной поляризуемости электрода и появлению анодного тока насыщения, величина которого не зависит от состава раствора и увеличивается при освещении электрода.

Академия наук СССР
Институт физической химии

Поступила
4.VII.1958

ЛИТЕРАТУРА

1. K. Bohnenkamp u. H. Engell, Z. Electrochem., 61, № 9, 1957.
2. W. Brattain a. C. Garret, Bell System Techn. J., 34, № 1, 1955.
3. D. Turner, J. Electrochem. Soc., 103, 252, 1956.
4. A. Uhlig, Bell System Techn. J., 35, № 2, 1956.
5. Е. А. Ефимов и И. Г. Ерусалимчик, Ж. физ. химии, 32, 413, 1958.
6. H. Gerischer u. F. Beck, Z. Phys. Chem. (Neue Folge), 13, 389, 1957.
7. I. B. Flynn, J. Electrochem. Soc., 105, 715, 1958.

THE ELECTROCHEMICAL AND CORROSION BEHAVIOR OF SEMICONDUCTORS
IN ELECTROLYTE SOLUTIONSI. ELECTRODE PROCESSES ON GERMANIUM IN SULFURIC ACID SOLUTIONS
IN THE PRESENCE OF HYDROGEN PEROXIDE*N. D. Tomashov, E. N. Paleolog and A. Z. Fedotova (Moscow)*

Summary

The kinetics of cathodic and anodic processes on germanium monocrystals with electron and hole conductivity have been investigated in sulfuric acid solution in the presence of hydrogen peroxide. The results obtained led to the following conclusions:

The behavior of the *n*-type of germanium during cathodic polarization does not differ essentially from that of a metallic electrode. *n*-Germanium is of low hydrogen ion discharge efficiency, possessing a high hydrogen overvoltage. Hydrogen peroxide is reduced at the cathode and in the presence of the former the cathodic polarizability of germanium is considerably diminished. On the *p*-type of germanium the rate of hydrogen ion discharge and of hydrogen peroxide reduction decreases.

The anodic process is different for the *n*- and *p*-types of germanium. For the *p*-type it is similar to that of a metal. At current densities ranging up to 30 ma/cm² the *p*-type of germanium remains active in all solutions, dissolving in the form of tetravalent ions. The anodic dissolution of *n*-germanium is limited by the delivery of holes to the surface. This circumstance leads to high polarizability of the electrode and to the appearance of an anodic saturation current the magnitude of which is independent of the composition of the solution and increases on illuminating the electrode.

ИЗМЕРЕНИЕ ДАВЛЕНИЯ НАСЫЩЕННОГО ПАРА
ТВЕРДОЙ ОКИСИ ЛИТИЯ

Ан. Н. Несмеянов и Л. П. Белых

В литературе нет точных данных по давлению пара твердой окиси лития; опубликованные работы содержат весьма противоречивые сведения относительно летучести этого вещества. По данным некоторых авторов [1—3] окись лития заметно испаряется при температурах 700—800° С. Однако более поздние измерения [4, 5], проведенные эффузионным методом методом Лэнгмюра показали, что при температурах ниже 1500° С давление пара над твердой окисью лития очень мало. В этих работах в основном была сделана лишь качественная оценка летучести окиси лития, причем большой разброс полученных величин авторы этих работ объясняли влиянием на результаты измерений влаги и углекислого газа, содержащихся в остаточном газе.

Нами были проведены измерения давления пара окиси лития эффузионным методом Кнудсена. Для исключения влияния на результаты измерений паров воды и углекислого газа был сконструирован новый прибор (рис. 1), позволяющий проводить целую серию опытов без нарушения вакуума в той его части, где находилась эффузионная камера с веществом. В работе было использовано два препарата окиси лития. Первый препарат, приготовленный прокаливанием перекиси лития при 1000—1100° в вакууме, содержал 99,2% окиси лития (по данным титрования соляной кислотой). Спектральным анализом в нем были обнаружены следы кремния, магния и алюминия. Второй препарат был получен прокаливанием обопата лития при 1100° и содержал не менее 98,3% окиси лития. В данном спектральном анализе в нем были примеси алюминия, магния, теллура и кремния.

Для предотвращения поглощения веществом паров воды и углекислого газа из воздуха все операции по загрузке эффузионной камеры и анализу вещества проводились в сухой камере, в атмосфере осушенного и очищенного от углекислого газа аргона.

Прибор (рис. 1), с которым проводились опыты, был изготовлен в виде верхней насадки на диффузионный насос ЦВЛ-100, разделенной вакуумной заслонкой на две части, и верхнего фланца с вакуумным грибовидным уплотнением. Верхний съемный фланец служил для закрепления стеклянного приемника пара, выполненного в виде сосуда Дьюара (рис. 2), защитного цилиндра, позволяющего точно определять время опыта. В верхней части насадки помещались отвод на форвакуумный насос, ребенок манометров и вакуумная заслонка, которая давала возможность перекрывать нижнюю часть насадки и поддерживать там вакуум порядка $1 \cdot 10^{-5}$ — $1 \cdot 10^{-6}$ мм рт. ст. при выпуске воздуха в верхнюю ее часть.

В нижнем отсеке насадки находился механизм подъемника эффузионной камеры. Это устройство состояло из системы концентрических латунных и фарфоровых трубок, жестко скрепленных металлическими тросами таким образом, что перемещение одной из них вызывало аналогичное перемещение других. Первая из этих трубок вытягивалась из латунного корпуса тросом, наматывающимся на катушку, рукоятка вала которой

через вильсоновское уплотнение выводится из прибора. Такая система позволяет перемещать камеру в вертикальном направлении без нарушения вакуума.

При откачке форвакуумным насосом верхнего отсека насадки до давления $8 \cdot 10^{-4}$ мм рт. ст. путем смещения к стенке насадки эксцентрика открывалась заслонка, после чего камера поднималась вверх в зону нагрева на 1–2 см ниже крышки защитного цилиндра. При достижении заданной температуры камера поднималась выше и открывала крышку

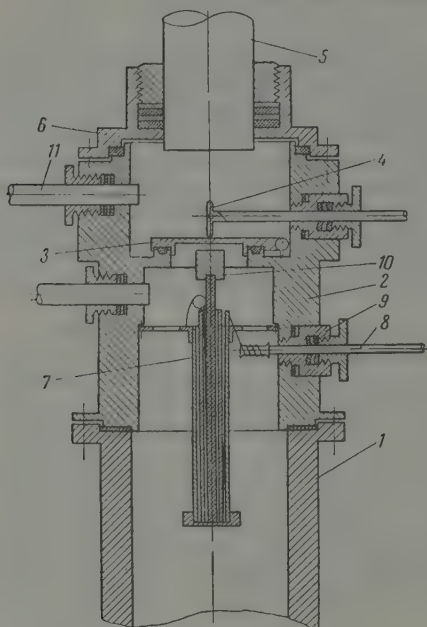


Рис. 1. Прибор для измерения давления пара: 1 — насос ЦВЛ-100; 2 — латунный корпус насадки; 3 — вакуумная заслонка; 4 — эксцентрик; 5 — приемник паров; 6 — верхний съемный фланец; 7 — подъемник; 8 — вал и катушка для намотки троса подъемника; 9 — вакуумный ввод вала катушки; 10 — эффузионная камера; 11 — отвод на форвакуумный насос и манометры

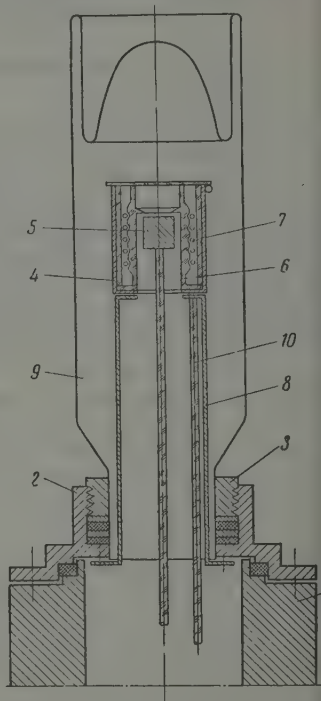


Рис. 2. Съемный фланец и приемник паров: 1 — корпус латунной насадки; 2 — верхний съемный фланец; 3 — зажимная гайка; 4 — стальная кожух защитного стакана; 5 — эффузионная камера или обойма с ободами; 6 — внутренний кварцевый цилиндр; 7 — молибденовая спираль; 8 — стальная стойка печи; 9 — клинный приемник паров; 10 — нагреватель

цилиндра — этот момент соответствовал началу экспозиции. После окончания опыта камера спускалась в нижнюю часть насадки, которая закрывалась заслонкой. В верхнем отсеке после пуска в него воздух производилась смена приемника пара, и затем опыт повторялся снова.

Такая конструкция прибора позволяла производить неограниченное число опытов без нарушения вакуума в области эффузионной камеры. Кроме того, была возможность сократить продолжительность опыта, как можно было менять приемники, не дожидаясь охлаждения камеры, причем это не было связано с затруднениями в работе, как при замкнутой интегральной методики эффузионных измерений на дифференциаль-

Нагрев эффузионных камер производился токами высокой частоты. Частота регулировки температуры $\pm 1,5^\circ$. Температура измерялась с помощью PtRh термопарой, прокалиброванной непосредственно в приборе по точкам плавления серебра, золота и меди. Эффузионные камеры (рис. 3) изготавливались из никеля с никелевыми и платиновыми вкладышами и диафрагмами. Площадь эффузионного отверстия была порядка $4 \cdot 10^{-3} \text{ см}^2$.

Количество испарившегося и сконденсировавшегося на приемнике вещества определялось после его смывания с коллектора бидистиллятом или слабым раствором соляной кислоты весовым методом (взвешивание в виде сульфата лития).

Данные весового метода сверялись с результатами микрообъемного титрования йода, образовавшегося после осаждения и разложения парарейодата лития, калия, железа. Для проверки отсутствия диссоциации окиси лития при спарении производились опыты, описанные ранее [6]. По количеству испарившегося вещества рассчитывались скорость испарения и давление насыщенного пара. Полученные данные приведены в табл. 1. Методом наименьших квадратов из этих величин получено уравнение:

$$\lg P_{\text{ат}} = 7,4809 - 1,8397 / T.$$

Из наклона прямой, соответствующей этому уравнению рассчитано

$$\Delta H_0^0 = 90,46 \text{ ккал / моль}.$$

Из экспериментальных данных по давлению пара твердой окиси лития и термодинамических потенциалов, рассчитанных в ИГи АН СССР, вычислены теплоты сублимации окиси лития (табл. 2).

Полученные величины не имеют заметного хода с температурой, разрос их не превышает $\pm 0,5 \text{ ккал/моль}$. Расхождение этих величин с данными [4, 7] объясняется тем, что давление окиси лития определялось этими авторами в условиях, не исключавших взаимодействия окиси лития парами воды и углекислым газом из остаточного газа. Заметно отличаются от значения ΔH_0^0 , полученного в настоящей работе, результаты исследования [5]. Данные работы [5] не многочисленны и получены для интервала температур в 100° . Они имеют заметную зависимость от температуры: кроме того, здесь также не была исключена возможность искажения результатов за счет испарения более летучих соединений в присутствии паров воды и углекислого газа. Значения теплот сублимации окиси лития

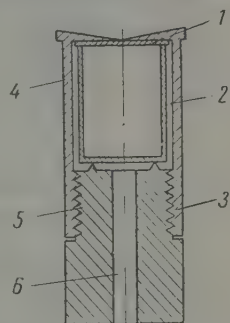


Рис. 3. Эффузионная камера: 1 — диафрагма; 2 — вкладыш; 3 — верхний корпус камеры; 4 — верхний конусный торец; 5 — пробка; 6 — отверстие для ввода термопары и подставки

Таблица 1

Скорость испарения и давление насыщенного пара твердой окиси лития

Исходные вещества	T, °K	Продолжительность, секунды	Вес конденсата, г	Скорость испарения, г/см ² сек	p, атм
Li ₂ O ₂ · H ₂ O ₂ · 2H ₂ O	1383	6060	$2,23 \cdot 10^{-4}$	$9,858 \cdot 10^{-6}$	$1,5145 \cdot 10^{-6}$
Li ₂ CO ₃	1400	5230	$2,81 \cdot 10^{-4}$	$1,394 \cdot 10^{-5}$	$2,1500 \cdot 10^{-6}$
Li ₂ CO ₃	1412	5228	$3,99 \cdot 10^{-4}$	$1,978 \cdot 10^{-5}$	$3,0645 \cdot 10^{-6}$
Li ₂ O ₂ · H ₂ O ₂ · 2H ₂ O	1432	3570	$3,26 \cdot 10^{-4}$	$2,446 \cdot 10^{-5}$	$3,8171 \cdot 10^{-6}$
То же	1437	5430	$6,84 \cdot 10^{-4}$	$3,374 \cdot 10^{-5}$	$5,2737 \cdot 10^{-6}$
»	1457	3600	$5,25 \cdot 10^{-4}$	$3,906 \cdot 10^{-5}$	$6,1487 \cdot 10^{-6}$
»	1473	2900	$7,46 \cdot 10^{-4}$	$6,890 \cdot 10^{-5}$	$1,0909 \cdot 10^{-5}$
»	1475	3600	$8,70 \cdot 10^{-4}$	$6,474 \cdot 10^{-5}$	$1,0263 \cdot 10^{-5}$
Li ₂ CO ₃	1506	1385	$6,189 \cdot 10^{-4}$	$1,160 \cdot 10^{-4}$	$1,8552 \cdot 10^{-5}$

Таблица 2

Теплоты испарения твердой окиси лития при 0 °K

$T, ^\circ K$	$p, \text{ атм}$	ΔF	$\Delta H_0^\circ / T$	$\Delta H_0^\circ, \text{ ккал/моль}$	$\Delta \bar{H}_0^\circ - \Delta H_0^\circ, \text{ ккал/моль}$
1383	$1,515 \cdot 10^{-6}$	42,118	68,749	95,080	0,200
1400	$2,150 \cdot 10^{-6}$	42,006	67,941	95,608	0,327
1412	$3,065 \cdot 10^{-6}$	42,030	67,260	94,997	0,283
1432	$3,817 \cdot 10^{-6}$	41,971	66,765	95,786	0,506
1437	$5,274 \cdot 10^{-6}$	41,956	66,108	95,089	0,191
1457	$6,149 \cdot 10^{-6}$	41,896	65,742	95,391	0,111
1473	$1,091 \cdot 10^{-5}$	41,848	64,555	95,117	0,163
1475	$1,027 \cdot 10^{-5}$	41,840	64,672	94,971	0,309
1506	$1,855 \cdot 10^{-5}$	41,750	63,402	95,483	0,203
				Среднее	$95,280 \pm 0,255$

Таблица 3

Теплоты сублимации окиси лития по данным различных авторов

Интервал измерений, °K	ΔH_0° из наклона прямой, ккал/моль	ΔH_0° из спектроскопических данных, ккал/моль	Разница, ккал/моль	Ссылка
1541—1669	159,540	98,018	38,478	[5]
1383—1506	90,459	95,283	4,836	

тия, рассчитанные нами из экспериментальных результатов указанных авторов, даны в табл. 3.

Полученная нами величина теплоты сублимации была подтверждена в работе А. М. Еисеева и Г. В. Пакарской, которые эффузионным методом получили $\Delta H_0^\circ = 95,845$ ккал/моль.

Выводы

1. Сконструирован новый прибор, позволяющий измерять давление пара веществ интегральным методом Кнудсена без нарушения вакуума в зоне исследуемых образцов.

2. Измерено давление пара твердой окиси лития в интервале температур 1388—1506° K и найдена зависимость $\lg p$ от температуры.

3. Из экспериментальных данных рассчитаны теплоты сублимации.

ЛИТЕРАТУРА

1. P. Lebeau, C. R., 136, 1256, 1903.
2. R. Forcrand, C. R., 144, 1409, 1907.
3. F. Jaeger, Acad. Amster. Verse, 22, 90, 1913.
4. A. Van-Arkel, U. Spitsbergen, Canad. J. Chem., 33, 446, 1955.
5. L. Brewer, J. Margrave, J. Phys. Chem., 59, 421, 1955.
6. Ан. Н. Несмеянов, Л. П. Белых, Изв. АН СССР, Металлургия и технологии, 1, 150, 1959.
7. H. Hartman, W. Linke, F. J. A. T. Review of german Science. Inorganic Chemistry, IV.

MEASUREMENT OF THE SATURATED VAPOR PRESSURE OF SOLID LITHIUM OXIDE

An. N. Nesmeyanov and L. P. Belykh (Moscow)

Summary

A new apparatus has been designed allowing the vapor pressure of substances to be measured by Knudsen's integral method without disturbing the vacuum in the zone of the substance undergoing investigation.

The vapor pressure of solid lithium oxide has been measured over the temperature range 1388—1506° K and the temperature relation of $\lg p$ has been found. The heat of sublimation has been calculated from the experimental data.

ДИЭЛЕКТРИЧЕСКАЯ ПРОНИЦАЕМОСТЬ НЕКОТОРЫХ ОРГАНИЧЕСКИХ СОЕДИНЕНИЙ В ШИРОКОМ ИНТЕРВАЛЕ ТЕМПЕРАТУР

А. В. Командин и А. К. Бонецкая

Настоящая работа является продолжением работ [1, 2] по изучению связи между диэлектрическими свойствами и химическим строением молекул органических соединений в жидком и переохлажденно-жидком состояниях.

В этой работе приводятся результаты измерений диэлектрической проницаемости метилового эфира *о*-метоксибензойной кислоты, *о*-ацетоксибензойной кислоты, салипирина и бензофенона.

Способы получения, очистки, а также физические константы изученных соединений приведены в наших работах [3, 4].

Экспериментальная часть

Измерение диэлектрической проницаемости производилось методом биений при частоте $1,72 \cdot 10^6$ гц на установке такого же типа, как описана в нашей работе [3]. Жидкотной конденсатор для измерения диэлектрической проницаемости в жидком и переохлажденно-жидком состоянии описан в работе [1]. Для калибровки жидкостного конденсатора в качестве калибровочных жидкостей применялись бензол, диэтиловый эфир, хлорбензол и дихлорэтан. Способы их очистки, физические константы и принятые значения диэлектрических проницаемостей приведены в работах [1, 3].

Абсолютная точность измерений диэлектрической проницаемости составляла $\pm 0,1\%$, относительная точность $\pm 0,1\%$.

Температура измерялась медно-константовой термопарой, прокалиброванной по стандартным веществам в соответствии с требуемой температурой. В качестве реперных точек использованы температуры плавления: хлороформа, металлической ртути, треххлористого углерода, льда, тройная точка сульфата натрия, температура кипения воды; проводилось также сравнение с нормальным термометром. Точность измерения температуры $\pm 0,2^\circ$. Приведенные в табл. 1—4 плотности измерены нами ранее для промежуточных температур они интерполированы по приведенным там уравнениям прямых.

В табл. 1—4 приведены результаты измерений диэлектрической проницаемости и плотности метилового эфира *о*-метоксибензойной кислоты, *о*-ацетоксибензойной кислоты, салипирина (молекулярного соединения *о*-хлорбензойной кислоты и антипирина) и бензофенона, а также вычисленные значения общей и ориентационной поляризации для жидкого и переохлажденно-жидкого состояния и коэффициентов межмолекулярного взаимодействия g Кирквуда.

Общая поляризация вычислялась по известному уравнению Дебая. Ориентационная поляризация P_d для жидкого и переохлажденно-жидкого состояния принята равной молярной рефракции и вычислялась по известному уравнению Лоренца — Лорентца. Коэффициент g Кирквуда [5] вычислялся по уравнению:

$$g = \frac{[(\epsilon - 1)(2\epsilon + 1)V_m - 9\epsilon P_d] kT}{4\pi N \mu^2 \epsilon}, \quad (1)$$

μ — дипольный момент; ϵ — диэлектрическая проницаемость; V_m — молярный объем; k — постоянная Больцмана; N — число Авогадро; T — температура в $^\circ\text{K}$.

Таблица 1

Метилловый эфир *о*-метоксibenзойной кислоты

Т. кип. 245—246° (760 мм), 127—128° (11 мм); d_4^{20} 1,1571; n_D^{20} 1,5340; $P_D = 44,33$;
 $\mu = 2,68 \cdot 10^{-18}$; $P_\mu = 146,7$; $M = 166,17$

$t, ^\circ\text{C}$	ε	d_4^t	V_m	$P_{\text{общ.}}$	$P_{\text{ор}}$	g
100,0	6,10	1,0769	154,30	97,51	53,18	1,24
87,0	6,60	1,1002	150,91	98,27	53,94	
67,5	7,20	1,1204	148,22	99,88	55,55	
58,0	7,50	1,1281	147,30	100,69	56,36	
47,0	7,80	1,1382	145,86	101,22	56,89	1,39
29,5	8,40	1,1564	143,60	102,12	57,85	
20,0	8,90	1,1651	142,62	103,27	58,94	
—3,0	9,60	1,1836	140,43	104,31	59,98	1,47
—13,2	9,90	1,1972	138,68	103,72	59,39	1,45
—21,5	10,20	1,2056	187,76	103,88	59,55	1,44
—26,5	10,40	1,2055	137,19	104,00	59,67	
—37,0	10,80	1,2181	136,18	104,26	59,93	1,44
—39,5	10,90	1,2234	135,73	104,17	59,84	
—43,0	11,00	1,2263	135,40	104,15	59,82	
—46,0	11,05	1,2292	135,18	104,02	59,75	1,41
—49,5	11,00	1,2329	134,82	103,71	59,38	
—51,5	10,90	1,2340	134,52	103,35	59,02	
—53,0	10,60	1,2361	134,30	102,32	58,00	
—55,0	9,90	1,2380	134,09	100,28	55,95	
—56,0	9,30	1,2380	134,09	98,41	54,08	1,07
—58,5	8,00	1,2415	133,76	93,64	49,31	
—60,0	6,80	1,2426	133,65	88,09	43,76	
—63,0	5,30	1,2450	133,33	78,54	34,21	0,46
—65,5	4,50	1,2486	133,02	70,66	26,33	
—67,0	4,10	1,2492	132,91	67,54	23,21	
—68,0	4,00	1,2500	132,80	66,40	22,07	
—77,5	3,60	1,2570	132,06	61,31	16,98	
—78,0	3,50	1,2580	131,96	59,98	15,65	0,18

Таблица 2

о-Ацетоксibenзойная кислота (аспирин)

Т. пл. = 135°; d_4^{20} 1,2914; n_D^{20} 1,5623; $P_D = 45,22$; $\mu = 4,36 \cdot 10^{-18}$; $P_\mu = 387,7$; $M = 180$

$t, ^\circ\text{C}$	ε	d_4^t	V_m	$P_{\text{общ.}}$	$P_{\text{ор}}$	g
143,0	6,40	1,1967	150,8	96,77	51,55	0,538
120,0	6,43	1,2134	148,5	95,63	50,41	
98,0	6,45	1,2313	146,2	94,36	49,14	0,467
85,0	6,47	1,2414	145,1	93,72	48,50	
65,0	6,48	1,2565	143,6	92,65	47,43	0,418
60,0	6,55	1,2603	143,0	92,78	47,56	
55,0	6,50	1,2645	142,5	92,18	46,96	
50,0	6,48	1,2683	142,2	91,79	46,57	0,394
45,0	6,30	1,2720	141,8	90,44	45,22	
37,5	5,65	1,2778	141,2	85,69	40,47	0,305
34,0	5,35	1,2803	140,8	83,28	38,06	
24,8	4,40	1,2876	140,0	74,33	29,11	0,187
15,0	3,90	1,2951	139,0	68,37	23,15	
+5,0	3,65	1,3026	138,2	64,87	19,65	
—5,0	3,42	1,3102	137,8	61,39	16,17	0,092
—15,0	3,25	1,3181	137,0	58,57	13,35	0,075
—25,0	3,25	1,3258	136,0	58,23	13,01	0,075
—34,0	3,25	1,3328	135,1	57,93	12,71	

Таблица 3

Салипирин

пл. = 92,0°; d_4^{20} 1,2041; n_D^{20} 1,5920; P_D = 91,71; μ = $7,26 \cdot 10^{-18}$; P_μ = 1076,7;
 M = 326,34

$t, ^\circ\text{C}$	ϵ	d_4^t	V_m	$P_{\text{общ}}$	$P_{\text{ор}}$	g
20,0	5,90	1,2042	271,0	169,14	77,43	0,23
15,0	5,00	1,2055	270,7	154,78	63,07	0,17
11,5	4,50	1,2066	270,4	145,65	53,93	
5,0	3,90	1,2084	270,1	132,74	41,03	
0,0	3,70	1,2100	269,8	127,80	36,09	0,09
-8,0	3,50	1,2130	269,0	122,27	30,56	
-18,0	3,50	1,2150	268,6	122,71	31,00	
-23,0	3,45	1,2166	268,2	120,60	28,89	0,06
-28,0	3,36	1,2180	268,0	117,97	26,26	
-33,5	3,33	1,2196	267,6	116,98	25,27	
-37,0	3,30	1,2207	267,4	116,02	24,31	
-38,5	3,30	1,2211	267,3	115,98	24,27	
-39,5	3,30	1,2212	267,2	115,97	24,26	0,05

Выше 20°, вследствие появления заметной электропроводности расплавленного салипирин, измерить диэлектрическую проницаемость методом бисний не удалось.

Таблица 4

Бензофенон

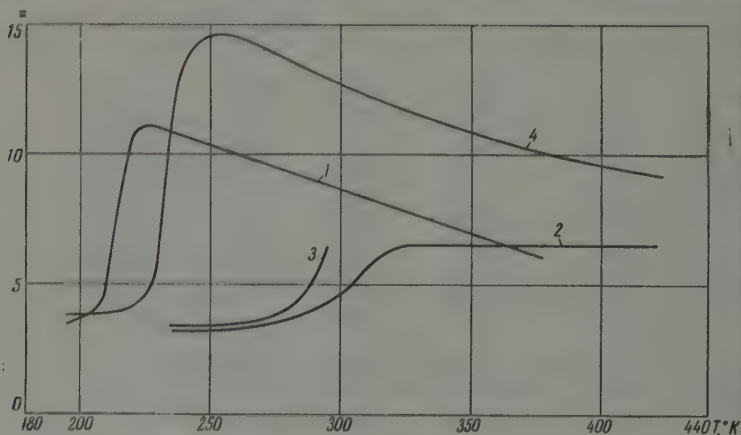
Т. пл. = 48,1°; d_4^{20} 1,1128; n_D^{20} 1,6014; P_D = 56,12; μ = $2,95 \cdot 10^{-18}$; P_μ = 177,6;
 M = 182,21

$t, ^\circ\text{C}$	ϵ	d_4^t	V_m	$P_{\text{общ}}$	$P_{\text{ор}}$	g
147,0	9,20	1,0150	179,5	131,4	75,3	2,29
127,0	9,55	1,0304	176,8	130,9	74,8	
107,0	10,00	1,0458	174,2	130,7	74,6	2,20
87,0	10,55	1,0612	171,7	130,7	74,6	
67,0	11,15	1,0765	169,3	130,7	74,6	2,20
47,0	11,83	1,0921	166,8	130,6	74,5	
27,0	12,62	1,1073	164,6	130,8	74,7	
20,0	12,92	1,1127	163,8	130,9	74,8	2,18
7,0	13,50	1,1226	162,3	130,9	74,8	
-3,0	14,00	1,1300	161,2	131,0	74,9	2,18
-13,0	14,55	1,1378	160,1	131,1	75,0	
-18,0	14,60	1,1417	159,6	130,8	74,7	2,13
-23,0	14,70	1,1454	159,1	130,5	74,4	
-28,0	14,35	1,1493	158,5	129,4	73,3	2,00
-33,0	13,63	1,1530	128,7	127,7	71,6	
-35,0	13,10	1,1548	157,8	126,5	70,4	1,73
-38,0	12,10	1,1570	157,5	124,0	67,9	
-39,0	10,90	1,1581	157,3	120,7	64,6	
-41,0	9,00	1,1596	157,1	114,3	58,2	
-43,0	7,20	1,1608	157,0	105,8	49,7	0,76
-48,0	4,58	1,1650	156,4	85,1	29,0	
-53,0	4,05	1,1688	155,9	78,6	22,5	
-58,0	3,95	1,1727	155,4	77,0	20,9	0,24
-63,0	3,88	1,1763	154,9	75,9	19,80	
-73,0	3,80	1,1838	153,9	74,3	18,2	0,20

Для твердого бензофенона в интервале от -23 до 17° С ϵ = 3,30.

Приведенные в табл. 1—4 диэлектрические проницаемости для каждого вещества являются средними значениями из серии опытов. Каждая серия для данного вещества состояла из 3—5 опытов. Полученные данные графически изображены на рис. 1.

Приведенные перед каждой таблицей температуры плавления, плотности, показатели преломления, дипольные моменты и ориентационные



Зависимость диэлектрической проницаемости от температуры: 1—метилового эфира *o*-метоксибензойной кислоты, 2—*o*-ацетоксибензойной кислоты, 3—салицирина, 4—бензофенона

поляризации измерены нами ранее и взяты из нашей работы [3], для бензофенона из [4, 6]. Деформационные поляризации вычислены из показателя преломления и плотности при 20°, приведенных перед каждой таблицей.

Обсуждение результатов

Ход кривых зависимости диэлектрической проницаемости от температуры для изученных соединений сохраняет те же общие закономерности, которые наблюдались нами в изученных ранее соединениях [1, 2], а именно: с понижением температуры диэлектрическая проницаемость увеличивается, достигает максимума и затем, в узком интервале температур, быстро падает до малых значений, близких к квадрату показателя преломления и характеризующих электронную и атомную поляризации. В каждом гомологическом ряду кривые $\epsilon - T$ располагаются в соответствии с величиной молекулярного веса: низшие члены имеют более высокие значения диэлектрической проницаемости по сравнению с высшими при всех измеренных температурах.

Из сравнения кривых, полученных в данной работе, с кривыми предыдущих работ [1, 2] видно, что кривая температурной зависимости для метилового эфира *o*-гидроксибензойной кислоты лежит выше кривой метилового эфира *o*-метоксибензойной кислоты, последняя почти совпадает с кривой этилового эфира *o*-гидроксибензойной кислоты. Молекулярный вес первого эфира равен 152,14, а два последних эфира имеют один и тот же молекулярный вес $M = 166,17$. Следовательно, кривые располагаются в соответствии с величиной молекулярного веса, как наблюдалось нами ранее в гомологическом ряду сложных эфиров *o*-гидроксибензойной кислоты. Все три кривые идут почти параллельно, что указывает на близки

температурный коэффициент $\Delta\epsilon/\Delta T$ для всех трех эфиров. Температуры, соответствующие точкам перегиба на кривых $\epsilon = f(T)$, для изученных соединений имеют следующие значения: для метилового эфира *o*-метоксибензойной кислоты $T_g = 214^\circ \text{K}$, бензофенона $T_g = 232^\circ \text{K}$, салицирина $T_g = 291^\circ \text{K}$ и *o*-антранилбензойной кислоты $T_g = 305^\circ \text{K}$.

Кривая *o*-антранилбензойной кислоты в интервале температур $240-300^\circ \text{K}$ идет значительно выше кривой метилового эфира *o*-метоксибензойной кислоты, и температурный коэффициент ее больше в 4 раза. В точке T_g выше на 91° , что, по-видимому, обусловлено наличием внутримолекулярной водородной связи в *o*-антранилбензойной кислоте.

Полную кривую температурной зависимости диэлектрической проницаемости для салицирина получить не удалось, ввиду низкого значения собственной проводимости салицирина, начиная с 230°K . Исключая из полноты измерения диэлектрической проницаемости методом Биссинг, кривая температурной зависимости бензофенона имеет вид остальных не изученных соединений, что, по-видимому, обусловлено образованием точечной группы с двумя неподеленными парами электронов.

Выводы

1. Измерены диэлектрические проницаемости при частоте $1.72 \cdot 10^8$ в интервале температур $200-400^\circ \text{K}$ следующих органических соединений нахвачном и переориентированно-нахвачном состоянии: метилового эфира *o*-метоксибензойной кислоты, *o*-антранилбензойной кислоты, салицирина и бензофенона.

2. Вычислены общая и ориентационная поляризации и коэффициент α кривуда в том же интервале температур.

3. Обсуждается ход температурных кривых в связи с химическим строением изученных соединений.

Поступила
5.VII. 1956

ЛИТЕРАТУРА

- A. B. Командин и А. К. Бонетская. Изв. физ. химии, 33, 366, 1956.
A. B. Командин и В. Я. Росоловский. Изв. физ. химии, 33, 1283, 1956.
A. B. Командин и А. К. Бонетская. Изв. физ. химии, 2, 1113, 1955, 1954.
A. B. Командин и А. К. Бонетская. Изв. физ. химии, 33, 366, 1956.
J. G. Kirkwood, J. Chem. Phys., 7, 911, 1939.
Granier, C. R., 223, 893, 1946.

THE DIELECTRIC CONSTANT OF SOME ORGANIC COMPOUNDS OVER A BROAD TEMPERATURE RANGE

A. V. Komandin and A. K. Bonetskaya (Moscow)

Summary

The dielectric constants of methyl *o*-methoxybenzoate, *o*-antitranybenzoic acid, pyridine and benzophenone have been measured in the liquid and supercooled states over a temperature range $200-400^\circ \text{K}$ at external field frequencies $1.72 \cdot 10^8 \text{ Hz}$. The overall and orientation polarizations as well as Kirkwood's coefficient have been calculated over the same temperature range.

The shape of the $\epsilon-T$ curves has been discussed from the standpoint of the molecular structure of the compounds.

ИНФРАКРАСНЫЕ СПЕКТРЫ ПОГЛОЩЕНИЯ ДВОЙНЫХ ДИАЗОНИЕВЫХ СОЛЕЙ

Л. А. Казизына, О. А. Реутов и З. Ф. Бучковский

Продолжая начатые ранее [1] работы по изучению строения и свойств двойных diaзониевых солей, мы исследовали инфракрасные спектры ряд соединений. В нашу задачу входило исследовать изменения, которые происходят в инфракрасных спектрах поглощения в зависимости от характера заместителя в пара-положении арильного радикала и металла входящих в состав двойной diaзониевой соли. Для этой цели мы выбрали поглощение тройной связи $N \equiv N$, что удовлетворяло как химической структуре задачи, так и спектроскопической простоте ее решения.

Следовало ожидать, что положение, интенсивность и характер полос тройной связи будут реагировать на указанные изменения строения двойных diaзониевых соединений. Известно, что спектроскопически эта полоса легко идентифицируется, так как в области $2100-2350\text{ см}^{-1}$, где она расположена, данные соединения иных полос поглощения не имеют.

Впервые инфракрасные спектры двойных diaзониевых солей изучались в работах [2, 3]. Они установили, что поглощение тройной связи является наиболее характерным в спектре diaзониевых соединений.

В качестве объекта исследования мы выбрали двойные diaзониевые соли состава $n\text{-XC}_6\text{H}_4\text{N}_2\text{Cl} \cdot \text{MeCl}_n$, где $X = \text{H}, \text{CH}_3, \text{Cl}, \text{CH}_3\text{O}, \text{NO}, \text{C}_2\text{H}_5\text{OOC}$, а $\text{Me} = \text{Fe}^{3+}, \text{Cd}^{2+}, \text{Hg}^{2+}, \text{Sb}^{3+}, \text{Zn}^{2+}$. Кроме того, в этой области мы сняли спектры для соответствующих арилдiazонийхлоридов и их борфторидов.

Экспериментальная часть

Все вещества снимались на однолучевом спектрофотометре ИКС-11 с призмой фтористого лития. Образцы готовились или в виде густой суспензии мелко растертого вещества в вазелинового масла, или в виде раствора в абсолютных ацетоне и метаноле.

Градуировка прибора производилась по эталонным спектрам (нормалам) атмосферной влаги с CO_2 и паров хлористого водорода.

Хлориды diaзосоединений, соответствующие анилину, *n*-толуину, *n*-хлороанилину, *n*-нитроанилину, *n*-анизидину и *n*-карбэтоксанилину, получались по Кневенегелю.

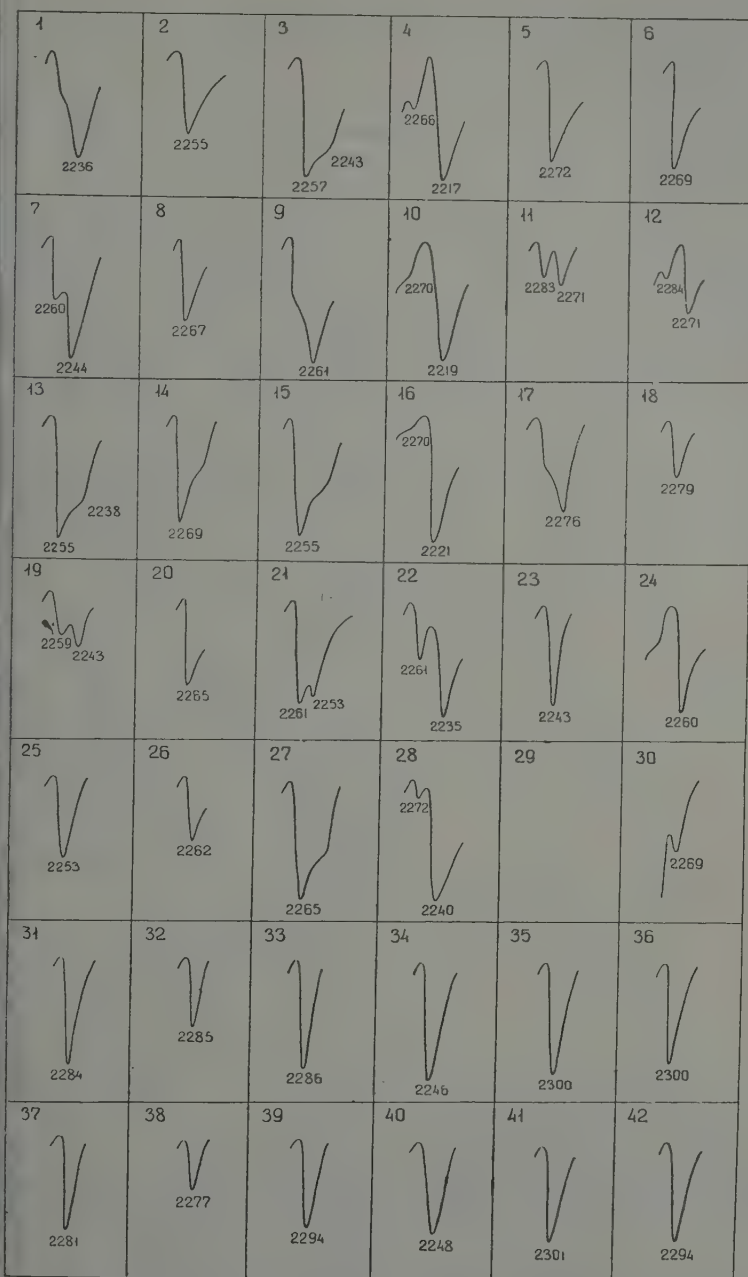
Борфториды diaзосоединений, соответствующие выше перечисленным аминам, синтезировались по методу Старки [4]; борфторид *n*-этоксифенилдiazония получен по Роз [5].

Двойные соли хлоридов diaзосоединений с хлоридами металлов получались приливанием водного, солянокислого раствора хлорида металла к охлажденному раствору хлорида diaзосоединения. Двойные соли с треххлористой сурьмой получались по Мэю [6], с треххлористым железом, хлористым кадмием и хлористым цинком по методике К. А. Кочешкова и А. Н. Несмеянова [7], с HgCl_2 по методике А. Н. Несмеянова [8]. Раствор хлорида *n*-карбэтоксифенилдiazония готовился по Данну [9].

Все вещества перед измерениями тщательно очищались путем многократного осадения эфиром из раствора в метиловом спирте с последующим высушиванием в вакуумном эксикаторе.

Результаты. Экспериментальные данные по спектрам двойных diaзониевых солей в твердом состоянии (паста в вазелиновом масле) в области валентных колебаний $N \equiv N$ приведены в табл. 1 и на рис.

В табл. 1 в последних строке и столбце приведены разности частот ($\Delta\nu, \text{см}^{-1}$), которые отвечают изменению частоты максимума поглощения.



1. Спектры поглощения двойных диазониевых солей состава $n\text{-X C}_6\text{H}_4\text{N}_2\text{Cl} \cdot \text{I}_n$ в области $2100\text{--}2400\text{ см}^{-1}$ (нумерация спектров отвечает нумерации соединений (в табл. 1))

Таблица 1

Значения частот максимумов поглощения двойных диазониевых солей состава $n \cdot X \cdot C_6H_4N_2ClMeCl_n$ (в $см^{-1}$)

X ⁻	CH ₃	Cl	H	CH ₃ O	NO ₂	C ₂ H ₅ OOC	Δν, с.м. ⁻¹
Fe ³⁺	¹ — ² 2236 ³ 2255	⁴ 2257 (2243)	⁵ 2217 2266	⁶ 2272	⁷ 2269	55	
cd ²⁺	⁸ 2244 2260	⁹ 2267 —	¹⁰ 2261 (2270)	¹¹ 2219 (2270)	¹² 2283 2271 2284	64	
Ig ²⁺	¹³ 2255 (2238)	¹⁴ 2269 —	¹⁵ 2255 —	¹⁶ 2224 (2270)	¹⁷ 2276 —	58	
Sb ³⁺	¹⁹ 2243 2259	²⁰ 2265	²¹ 2261 2253	²² 2235 2261	²³ 2243	30	
Zn ²⁺	²⁵ 2253	²⁶ 2262	²⁷ 2265 —	²⁸ 2240 2272	²⁹ 2269	29	
BF ₄ ⁻	³¹ 2284	³² 2285	³³ 2286	³⁴ 2246	³⁵ 2300	54	
Cl ⁻	³⁷ 2281	³⁸ 2277	³⁹ 2294	⁴⁰ 2248	⁴¹ 2301	53	
ν, с.м. ⁻¹	48	30	39	31	58	40	

Таблица 2

Значение частот в см⁻¹ максимумов поглощения двойных диазониевых солей в растворе

X Me	CH ₃	Cl	H	Состав
Fe ³⁺	¹ 2265	² 2281	³ 2281	$n \cdot XC_6H_4N_2ClFeCl_3$
Sb ³⁺	⁴ 2263	⁵ 2279*	⁶ 2284	$m \cdot XC_6H_4N_2ClSbCl_3$
Zn ²⁺	⁷ 2260*	⁸ 2279*	⁹ 2281	$[n \cdot XC_6H_4N_2Cl]_2ZnCl_2$
BF ₄ ⁻	¹⁰ 2271	¹¹ 2280	¹² 2288	$n \cdot XC_6H_4N_2BF_4$
Cl ⁻	¹³ 2267	¹⁴ 2278	¹⁵ 2281	$n \cdot XC_6H_4N_2Cl$

* Снято в спиртовом растворе, остальные в ацетоновом.

Из табл. 1 видно, что поглощение хлоридов арилдiazония близко по характеру и положению полос к поглощению борфторидов.

Для выяснения причин сложной природы поглощения в области валентных колебаний $N \equiv N$ двойных солей с металлами мы сняли в этой области спектры растворов соответствующих арилдiazонийхлоридов и двойных диазониевых солей (ограниченное число примеров определяется плохой растворимостью некоторых соединений).

Результаты, полученные по поглощению растворов двойных диазониевых солей, сведены на рис. 2 и в табл. 2.

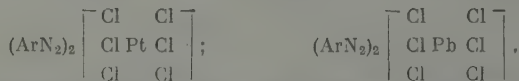
Все исследованные соединения имеют в растворе только одну интенсивную симметричную полосу. Частоты максимумов поглощения двойных диазониевых солей для данного заместителя близки между собой и практически равны частотам максимума поглощения хлорида diaзония. Это

является общим, независимо от того, имел ли спектр данной двойной соли в твердом состоянии один или два максимума. Следовательно, в органическая соль, входящая в состав двойной соли, не оказывает влияния на положение максимума в растворе, а определяется оно только заместителем в бензольном ядре.

Интересно, что частоты максимумов хлоридов арилдiazония и двойных diaзониевых солей с BF_4^- почти одинаковы как в твердом состоянии так и в растворе.

Обсуждение результатов

Двойные diaзониевые соли принято считать ионными соединениями в которых роль катиона играет арилдiazоний ArN_2^+ , роль аниона — комплекс металла с галогенами. Чатауэй с сотрудниками [10] предложили строение для двойных diaзониевых солей хлоридов арилдiazония с хлоридом свинца и платины. Они представили эти соединения в следующем виде:



При таком полном представлении характер инфракрасного спектра двойных diaзониевых солей в интересующей нас области определяется в основном строением катиона ArN_2^+ и лишь в незначительной степени может оказывать влияние анионная часть. Также не следует ожидать больших различий в частотах максимумов в спектрах двойных diaзониевых солей в растворе и в твердом состоянии.

Указанную зависимость обнаружил Уотсел [3], в нашей работе она подтверждена на примере хлоридов и борфторидов арилдiazония: в данных, представленных в табл. 1 и 2 для хлоридов и борфторидов арилдiazония, видно, что частоты характерных максимумов связи $\text{N} \equiv \text{N}$ ионно построенных diaзониевых солей в растворе и в твердом состоянии близки.

То же можно сказать о спектрах двойных diaзониевых солей в растворе: частоты их максимумов близки к частотам максимумов хлоридов и борфторидов diaзония, что говорит о ионном строении этих солей. Отсюда ясно незначительное влияние анионной части на спектр двойных diaзониевых солей в растворе. Спектры двойных diaзониевых солей в твердом состоянии трудно объяснить, если считать строение этих солей ионным. Неожиданным является расщепление максимумов и влияние на положение максимумов хлорида металла. Мы считаем маловероятным расщепление максимумов за счет влияния кристаллической решетки, так как было бы удивительным расщепление максимумов только у некоторых двойных diaзониевых солей и полное отсутствие его у всех борфторидов.

Нам представляется более вероятным, что между строением борфторидов арилдiazония, с одной стороны, и изученных нами твердых двойных diaзониевых солей хлоридов металлов, с другой стороны, имеется определенное различие.

Трудно представить себе, что в молекулах рассматриваемых двойных diaзониевых солей катион арилдiazония может находиться во внутренней сфере комплекса. Однако можно было бы предположить, что катион diaзония не вполне независим от центрального атома металла, и что между ними имеется некоторое (пусть даже очень слабое) взаимодействие, осуществляемое за счет свободной электронной пары концевых азота.

Особое положение борфторидов арилдiazония в таком случае было бы понятным, так как в их молекулах какое-либо взаимодействие атома бора с катионом diaзония (кроме чисто электростатического) принципиально невозможно.

Мы считаем в настоящее время еще целесообразным высказыва

кончателные суждения о строении тех или иных твердых двойных диазониевых солей. Мы хотим лишь обратить внимание на то обстоятельство, что влияние металла на положение максимума и на его расщепление становится более понятным, если допустить возможность дополнительного взаимодействия между катионом арильдиазония и атомом металла. Вопрос тот требует дальнейшего изучения.

Выводы

1. Сняты инфракрасные спектры поглощения в области 2100—2350 cm^{-1} 30 двойных диазониевых солей состава $p\text{-XC}_6\text{H}_4\text{N}_2\text{Cl} \cdot \text{MeCl}_n$, где X = H, CH_3 , Cl, CH_3O , NO_2 , $\text{C}_2\text{H}_5\text{OOC}$, а $\text{Me} = \text{Fe}^{3+}$, Cd^{2+} , Hg^{2+} , Sb^{3+} , Zn^{2+} ; а также соответствующих арильдиазонийхлоридов и арильдиазонийборфторидов. Для 15 соединений, кроме спектров в твердом состоянии, сняты спектры растворов.

2. Обнаружено, что положение полосы поглощения связи $\text{N} \equiv \text{N}$ для соединений в твердом состоянии определяется как заместителем в ароматическом кольце, так и неорганической частью молекулы.

3. Наблюдено, что для исследованных двойных диазониевых солей в твердом состоянии (за исключением борфторидов) появляется сложная структура спектра в области $\text{N} \equiv \text{N}$ валентных колебаний, которая в растворе исчезает, и положение максимума поглощения становится близким положению максимума поглощения связи $\text{N} \equiv \text{N}$ соответствующих арильдиазонийхлоридов и борфторидов.

Поступила
8.VII.1958

ЛИТЕРАТУРА

1. О. А. Реутов, Докл. АН СССР, 87, 73, 1952; О. А. Реутов, В. В. Кондратьева, Ж. общ. химии, 24, 1259, 1954; О. А. Реутов, А. Марковская, Докл. АН СССР, 98, 979, 1954; О. А. Реутов, А. Марковская и А. И. Ловцова, Докл. АН СССР, 99, 269, 1954; О. А. Реутов, О. А. Птицына, Докл. АН СССР, 102, 291, 1955; О. А. Реутов, А. Марковская, Р. Е. Мардалейшвили, Докл. АН СССР, 104, 253, 1956; Ж. физ. химии, 30, 2533, 1956; О. А. Реутов, Изв. АН СССР, Отд. хим. н. 943, 1956; О. А. Реутов, О. А. Птицына и Н. Д. Патрина, Ж. общ. химии, 28, 588, 1958.
2. M. Aroney, R. J. W. LeFèvre, R. L. Werner, J. Chem. Soc., 276, 1955.
3. K. B. Whetsel, G. F. Hawkins, F. E. Johnson, J. Amer. Chem. Soc., 78, 3360, 1956.
4. E. B. Starkey, J. Amer. Chem. Soc., 59, 1479, 1937.
5. А. Роз, «Органические реакции», сб. 5, стр. 167.
6. Р. Мау, J. Chem. Soc., 101, 1037, 1912.
7. К. А. Кочешков, А. Н. Несмеянов, Ж. общ. химии, 6, 144, 1936.
8. А. Н. Несмеянов, Ber., 62, 1010, 1929.
9. O. Dann, Ber., 82, 72, 1949.
10. F. D. Chattaway, F. L. Garton, G. D. Parkes, J. Chem. Soc., 125, 1980, 1924.

INFRARED ABSORPTION SPECTRA OF DOUBLE DIAZONIUM SALTS

L. A. Kazitsyna, O. A. Reutow and Z. F. Bychkovskii (Moscow)

Summary

The infrared absorption spectra of 30 double diazonium salts of the composition $p\text{-XC}_6\text{H}_4\text{N}_2\text{Cl} \cdot \text{MeCl}_n$, where X = H, CH_3 , Cl, CH_3O , NO_2 , $\text{C}_2\text{H}_5\text{OOC}$ and $\text{Me} = \text{Fe}^{3+}$, Cd^{2+} , Hg^{2+} , Sb^{3+} , Zn^{2+} , and of the corresponding aryldiazonium chlorides and boronfluorides have been measured over the range 2100—2350 cm^{-1} . For 15 compounds besides the spectra of the solids, those of the solutions were also determined. For compounds in the solid state the position of the $\text{N} \equiv \text{N}$ absorption bands is determined both by the substituents of the aromatic ring as well as by the inorganic part of the molecule. In the case of the solid double diazonium salts (excepting the boron fluorides) a complex structure of the spectra has been observed in the region of the $\text{N} \equiv \text{N}$ frequencies disappearing in solution, the position of the $\text{N} \equiv \text{N}$ absorption maximum (in solution) approaching that for maximum absorption of the bond in the corresponding aryldiazonium chlorides and boronfluorides.

ВЛИЯНИЕ МУРАВЬИНОЙ КИСЛОТЫ НА ПОГЛОЩЕНИЕ
И ФЛУОРЕСЦЕНЦИЮ ТРИПАФЛАВИНА

В. Ф. Фокин

Влияние растворителя на поглощательную и излучательную способность молекул изучалось неоднократно многими авторами. Было показано, что в ряде случаев растворитель существенно влияет на время жизни возбужденного состояния, на форму и положение спектров поглощения и излучения.

Нами исследовалось влияние муравьиной кислоты на спектры поглощения и излучения трипафлавина. Для исследований бралась 85%-ная продажная муравьиная кислота, марки «ч. д. а». Спектры поглощения проецировались на установку, состоящей из двойного монохроматора, фотоумножителя с гальванометром и источников питания. Аналогичная установка была собрана и для измерения спектров флуоресценции, в которой вместо двойного монохроматора был взят одиночный.

Спектру поглощения трипафлавина в воде, лежащему в видимой области, соответствует максимум поглощения при длине волны $\lambda = 446 \text{ м}\mu$. При добавлении в раствор муравьиной кислоты происходит понижение указанного максимума поглощения и появление второго максимума в фиолетовой области. Как видно из рис. 1, спектр поглощения трипафлавина в муравьиной кислоте имеет хорошо выраженный максимум при $\lambda = 406 \text{ м}\mu$ и неярко выраженный максимум при $\lambda = 446 \text{ м}\mu$, соответствующий максимуму поглощения трипафлавина в воде. Если идти в обратном направлении, т. е. в кислый раствор добавлять воду, то и изменения будут происходить соответственно в обратном порядке (уменьшение максимума в фиолетовой области и рост максимума при $\lambda = 446 \text{ м}\mu$).

Изменение спектров поглощения красителей и, в частности, акридина и его производных в зависимости от влияния среды изучалось рядом авторов [1—3]. У 3,6-диаминоакридина, который родствен по строению трипафлавино и имеет максимум поглощения в воде при $\lambda = 446 \text{ м}\mu$ при переходе к кислым средам также происходит изменение спектров поглощения. Эти изменения ведут к сдвигу спектров поглощения в длинноволновую часть, а спектров излучения — в коротковолновую [2].

Изменения как спектров поглощения, так и спектров излучения трипафлавина в муравьиной кислоте в зависимости от содержания кислоты в растворе коренным образом отличаются от изменений у производных акридина при уменьшении pH раствора.

Для того чтобы показать, что изменения, происходящие с трипафлавином в муравьиной кислоте, не являются следствием изменения pH раствора, в качестве растворителей были взяты другие кислоты водного раствора щавелевой кислоты, уксусная, соляная, серная кислота. Максимумы поглощения для этих растворов, как и в случае 3,6-диаминоакридина, сдвигаются в длинноволновую сторону (табл. 1). Естественно предположить, что в этих случаях имеет место влияние среды pH на спектры поглощения. Для трипафлавина в муравьиной кислоте изменения спектров в корне отличны от изменений их в других кислотах.

Известно, что муравьиная кислота проявляет альдегидные свойства. С целью установления связи ее альдегидных свойств с характером изме-

ия спектров поглощения в муравьиной кислоте был снят спектр поглощения триафлавина в формалине. Максимум поглощения в формалине оказался сдвинутым по отношению к максимуму триафлавина в воде в сторону длинных волн (табл. 1).

Таблица 1

Положение максимума поглощения триафлавина в различных средах (m μ)

Вода	Соляная кислота	10% серная кислота	Этиловый спирт	Формалин	Уксусная кислота	Щавелевая кислота $5 \cdot 10^{-2}$ г/см 2
446	462	459	461	450,5	452,5	450,5

Наличие двух максимумов поглощения и их зависимость от содержания кислоты в растворе наводит на мысль о существовании двух форм триафлавина в муравьиной кислоте. Если растворить в воде остаток после испарения

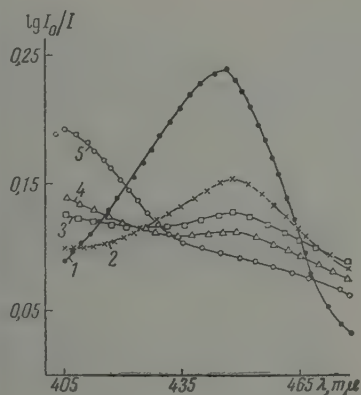


Рис. 1

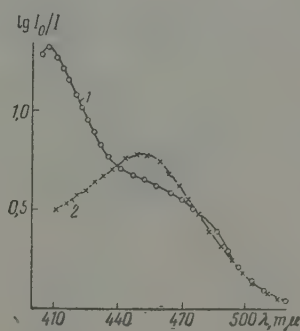


Рис. 2

1. Зависимость спектров поглощения триафлавина $c=10^{-5}$ моль/л от содержания муравьиной кислоты в растворе: 1 — водный раствор триафлавина; 2 — триафлавин в 1%-ном растворе HCOOH; 3 — триафлавин в 35,5%-ном растворе HCOOH; 4 — триафлавин в 68%-ном растворе HCOOH; 5 — триафлавин в 85%-ном растворе HCOOH

2. 1 — спектр поглощения триафлавина $c=10^{-4}$ моль/л в 85%-ном растворе муравьиной кислоты; 2 — спектр поглощения триафлавина $c=10^{-4}$ моль/л в воде после испарения муравьиной кислоты

муравьиной кислоты (испарение происходило при комнатной температуре), то его максимум поглощения будет соответствовать максимуму поглощения триафлавина в воде, но поглощение будет меньше, чем для той же концентрации свежеприготовленного раствора, и оно приблизительно соответствует поглощению триафлавина в 85%-ной муравьиной кислоте в области 440—520 m μ (рис. 2). Очевидно, в данном случае мы имеем спектр первой формы, соответствующей триафлавиону в воде.

Муравьиная кислота оказывает также и тормозящее действие на ход свечения триафлавина под действием видимого света. Облучение производилось киловаттной лампой в течение часа. Если триафлавин в воде сильно обесцвечивается под действием видимого света, то в му-

равьиной кислоте после часа облучения никаких изменений в спектре поглощения не наблюдалось. Отношения коэффициентов поглощения при длинах волн $\lambda = 405 \text{ мк}$ и $\lambda = 445 \text{ мк}$ до и после облучения в зависимости от содержания кислоты в растворе даны в табл. 2.

Таблица 2

Отношения коэффициентов поглощения триафлавина до и после часа облучения при различных концентрациях муравьиной кислоты в растворе

	с, %	0	8,5	17	25,5	34	42,5	51	59,5	68	76,5	85
405 мк	$\frac{k}{k'}$	1,01	1,00	1,05	1,06	0,99	1,00	1,00	1,04	1,01	1,02	1,01
445 мк	$\frac{k}{k'}$	1,72	1,41	1,36	1,26	1,19	1,15	1,09	1,05	1,01	1,02	1,01

k — коэффициент поглощения раствора до облучения; k' — коэффициент поглощения раствора после облучения.

Подтверждением существования двух форм триафлавина в муравьиной кислоте является зависимость спектров излучения от области возбуждения. Для возбуждения применялась лампа накаливания в комбинации с двумя фильтрами СС-8 и ЖС-12, выделяющими область с максимумом на $\lambda = 459 \text{ мк}$, а также в комбинации с фильтром ФС-7. При переходе от фиолетового света к синему максимум излучения несколько

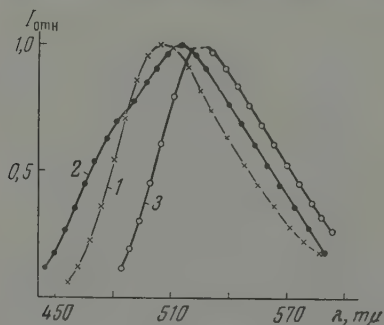


Рис. 3. Зависимость спектров флуоресценции триафлавина $c=10^{-5}$ моль/л 85%-ном растворе муравьиной кислоты от спектральной области возбуждающего света: 1 — спектр флуоресценции триафлавина в воде при возбуждении через фильтр ФС-7; 2 — спектр флуоресценции триафлавина в 85%-ном растворе муравьиной кислоты при возбуждении через фильтр ФС-7; 3 — спектр флуоресценции триафлавина в 85%-ном растворе муравьиной кислоты при возбуждении через фильтры СС-8 и ЖС-12 $\lambda_{\text{макс.}}=459 \text{ мк}$.

смещается в сторону длинных волн, и уменьшается излучение в коротковолновой части спектра (рис. 3). Спектр флуоресценции триафлавина в муравьиной кислоте сдвинут по отношению к спектру водного раствора в длинноволновую сторону. Для водного раствора спектр флуоресценции не зависит от области возбуждения.

Выводы

1. Спектр поглощения триафлавина в муравьиной кислоте сдвигается в коротковолновую сторону и имеет два максимума, а спектр излучения — в длинноволновую.
2. Эти изменения спектров нельзя объяснить изменением рН раствора.
3. Триафлавин в 85%-ном растворе муравьиной кислоты имеет две формы, причем вторая форма, возможно, образуется замещением водородного атома при кольцах некоторыми группами, что и приводит к отчетливому гипсохромному эффекту [4].

4. Соотношение между формами зависит от соотношения концентраций воды и муравьиной кислоты в растворе.
5. Муравьиная кислота оказывает тормозящее действие на фотообесцветивание трипафлавина.

Крымский педагогический
институт им. М. В. Фрунзе

Поступила
9.VII.1958

ЛИТЕРАТУРА

- М. А. Константинова-Шлезингер, Ж. физ. химии, **11**, 772, 1938.
Л. В. Левшин, А. П. Хованский, Оптика и спектроскопия, **2**, 747, 1957.
P. Graig and L. N. Short., J. Chem. Soc., 419, 1945.
А. Н. Теренин, Фотохимия красителей, Изд-во АН СССР, Москва—Ленинград, 1947.

THE EFFECT OF FORMIC ACID ON THE ABSORPTION AND FLUORESCENCE OF TRYPAFLAVINE

V. F. Fokin (Simferopol)

Summary

The absorption spectrum of trypanflavine in formic acid shifts to the shorter wave length region and exhibits two maxima, whereas the emission shifts in the direction of longer waves.

The change in the spectra can not be explained by changes in pH. In 85% formic acid trypanflavine is present in two forms, the second possibly due to substitution of hydrogen on the rings by bulky groups, leading to a distinct hypsochromic effect (4). The ratio of the two forms depends upon the water-formic acid ratio of the solution. Formic acid has a retarding effect on the photo-decolorization of trypanflavine.

МЕХАНИЗМ ПЕРВИЧНОГО АКТА ТЕРМИЧЕСКОГО РАСПАДА ХЛОРМЕТАНОВ

II. РАСПАД ХЛОРОФОРМА

А. Е. Шилов и Р. Д. Сабирова

В нашей первой статье [1] были приведены результаты изучения термического распада четыреххлористого углерода и хлористого метила. Эти результаты приводят к выводу, что молекулы этих соединений распадаются с разрывом связи $C - Cl$ и отщеплением атома хлора.

В случае хлороформа, по мнению Самелюка и Бернштейна [2], недавние исследования его распада, также первично происходит отщепление атома Cl .

Как будет видно дальше, наши данные, однако, противоречат представлению о радикальном механизме распада для хлороформа и хлористого метилена и заставляют придти к выводу, что распад этих соединений происходит по принципиально отличному пути.

Экспериментальная часть

Распад хлороформа изучался на струевой вакуумной установке (см. [1]). Подача хлороформа в струю осуществлялась так же, как в случае CCl_4 .

Анализ продуктов производился в основном так же, как в случаях CCl_4 и CH_3Cl . Для определения дейтеросостава хлористого водорода в опытах с тяжелым хлороформом $CDCl_3$ смесь DCl и HCl , образовавшаяся в реакции, взаимодействием CH_3MgI переводилась соответственно в CH_3D и CH_4 .

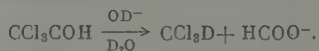
Содержание CH_3D в смеси определялось масс-спектрометрически.

Специально поставленные опыты показали, что состав заранее приготовленной смеси HCl и DCl с точностью до 1% совпадает с составом полученной смеси CH_4 и CH_3D . Толуол и непрореагировавший хлороформ не мешают этому определению.

Реактивы. Толуол получался гидролизом чистой n -толуолсульфокислоты при перегонке с перегретым водяным паром и очищался перегонкой на колонке (т. кип. 110° , n_D^{20} 14968).

Хлороформ («чистый») очищался перегонкой на колонке (т. кип. $61,3^\circ$, n_D^{20} 1,446).

Дейтерохлороформ синтезировался реакцией хлораля с K_2CO_3 в среде D_2O .



Масс-спектроскопический анализ показал, что полученный дейтерохлороформ содержит 95% CCl_3D . В опытах по изучению изотопного эффекта по такой же схеме синтезировался обычный хлороформ.

Кинетика распада. Продуктами распада хлороформа являются в основном HCl и C_2Cl_4 , а также C_2Cl_6 , $CHCl_3$ и другие [2]. В нашей работе количественно определялись HCl и C_2Cl_4 .

Распад $CHCl_3$ изучался в струе толуола и без газа-носителя при 483 – 599° . Первые же опыты по измерению скорости распада $CHCl_3$ (скорость определялась по HCl) привели к неожиданным результатам. Оказалось, что хлороформ распадается с заметно большей скоростью, чем CCl_4 (почти в 15 раз при 559°). Между тем радикальный распад $CHCl_3$ должен был идти медленнее, чем распад CCl_4 (энергия связи $C - Cl$ в хлороформе выше, чем в CCl_4).

Опыты в струе толуола показали почти полное отсутствие дибензиловых продуктов реакции.

Таблица 1

t°, C	P_{CHCl_3} , мм рт. ст.	$P_{толуола}$, мм рт. ст.	τ_k , сек-1	k_1 , сек	$\frac{[C_2Cl_2]}{[HCl]}$
510	20,5	—	1,05	0,0170	7,8
510	20,7	—	1,05	0,0172	8,7
510	22,1	—	0,339	0,0210	6,9
510	22,6	—	0,463	0,0229	—
510	29,2	—	1,60	0,0184	9,4
532*	3,36	13,10	0,800	0,094	—
532	3,3	13,8	0,752	0,070	—
574*	1,32	16,9	0,726	0,304	—
574*	3,38	11,5	0,824	0,269	—
574	3,89	20,8	0,687	0,258	—
574	4,17	18,5	0,687	0,234	—
584	1,18	15,2	0,366	0,282	—
584	1,84	13,8	0,416	0,272	—
584	2,03	11	0,294	0,250	—
584	6,40	—	1,24	0,143	8,35
584	7,66	10,1	0,288	0,266	—
584	9,6	—	1,01	0,203	—
584	10,6	—	0,78	0,182	8,52
584	17,3	—	0,426	0,281	9,85
584	19,0	—	0,456	0,249	12,1
584	23,1	—	0,390	0,300	—
584	29,0	—	0,354	0,266	11,8
584	29,3	—	0,354	0,279	14,3
584	35,9	—	0,324	0,294	17,2

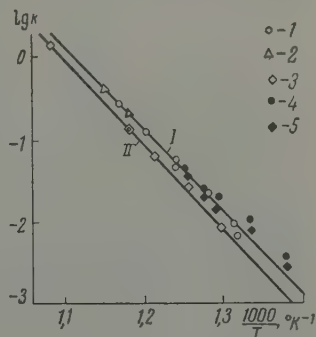
В табл. 1 приведены результаты кинетических опытов при нескольких температурах. Можно видеть, что реакция следует 1-му порядку при общем давлении в струе выше 15 мм рт. ст. Константа скорости уменьшается при более низких давлениях. Важно отметить, что константы скорости реакции в толуоле и без газа-осителя одинаковы: толуол не ингибирует реакцию.

Звездочкой в табл. 1 отмечены опыты, проводившиеся в сосуде, набитом стеклянной ватой с изменением отношения поверхности к объему в ~ 20 раз. Можно делать вывод, что реакция идет практически полностью гомогенно.

Зависимость k от температуры в координатах $\lg k$, $1/T$ приведена на рисунке (прямая I). Эта зависимость выражается формулой $k = 2,61 \cdot 10^{11} e^{-47000/RT}$ сек $^{-1}$.

Как энергия активации, так и предэкспоненциальный множитель значительно отличаются от величин, приводимых Самельюком и Бернштейном [26] ($k = 6,3 \cdot 10^8 e^{-37500/RT}$ сек $^{-1}$). Однако константы скорости отличаются очень мало, что видно на рисунке, где для сравнения приведены величины из работы американских авторов. Можно думать, что различия в температурном ходе связаны с значительно большими временами контакта в работе [26], что создает некоторую неопределенность в определении начальной скорости.

Для проверки возможности цепного механизма реакции распад хлороформа изучался в присутствии CCl_4 . Четыреххлористый углерод, для которого установлен радикальный механизм распада [1] должен был бы



Температурная зависимость распада $CHCl_3$ (I) и $C2Cl_2$ (II): 1 — $CHCl_3$ без добавок; 2 — $CHCl_3$ в толуоле; 3 — $C2Cl_2$ в толуоле; 4 и 5 — $CHCl_3$ и $C2Cl_2$ по данным Самельюка и Бернштейна [2].

дать сильное ускорение цепного распада хлороформа, так как первичный распад с обрывом атома Cl у CCl_4 должен проходить легче, чем у CHCl_3 . Однако, как показывают данные табл. 2, заметного ускорения не наблюдается: CHCl_3 и CCl_4 в толуоле распадаются по независимым механизмам.

Таблица 2

P_{CCl_4} , мм рт. ст.	P_{CHCl_3} , мм рт. ст.	$P_{\text{толуол}}$, мм рт. ст.	τ_k , сек	k_1 , сек ⁻¹
—	2,15	18,8	0,947	0,112
1,22	1,32	21,0	0,900	0,149
—	1,97	20,0	0,945	0,141
1,28	1,36	20,5	0,936	0,143
—	1,93	20,1	1,02	0,129

Можно отметить еще одно отличие распада хлороформа и четыреххлористого углерода: относительный выход гексахлорэтана в случае хлороформа возрастает с повышением давления CHCl_3 , но не зависит от времени контакта (табл. 1). Это означает, что C_2Cl_6 не является в этом случае промежуточным продуктом.

Распад дейтерохлороформа. Для получения более определенных данных о механизме распада хлороформа был синтезирован дейтерохлороформ и изучен его распад в струе легкого толуола и без газа-носителя.

Дейтеросостав хлористого водорода, образующегося в этой реакции, приведен в табл. 3.

Таблица 3

t , °C	P_{CDCl_3} , мм рт. ст.	$P_{\text{толуол}}$, мм рт. ст.	τ_k , сек	DCI, %	$\frac{[\text{C}_6\text{H}_5\text{CDCl}_2]}{[\text{CDCl}_3]}$
587	7,01	—	1,48	84	—
582	3,36	15,9	0,490	36	4,78
622	0,764	14	0,216	33,4	18,3
652	0,286	16,8	0,178	39	58,5
652	1,88	16,9	0,362	35	8,9
652	0,507	18,9	0,107	30	35,4
652	0,570	15,9	0,338	38	27,8

В струе толуола содержание DCI уменьшается по сравнению с расходом CDCl_3 без газа-носителя (больше чем вдвое), но остается значительным.

Замечательно, что при этом общем уменьшении отношение DCI/H не изменяется при изменении в широких пределах температуры, времени контакта и состава струи (при изменении отношения $\text{CDCl}_3/\text{C}_6\text{H}_5\text{Cl}$ в 12 раз).

Скорость распада тяжелого хлороформа заметно меньше, чем легкого (табл. 4). Отношение констант скоростей $k_H/k_D = 1,65$ при 574° . Изотопный эффект в работе [2] оказался значительно меньшим k_H/k_D ($k_H/k_D \sim 1,2$), что, по-видимому, вновь связано с большими временами контакта, примененными в этой работе*.

Температурная зависимость константы скорости распада CDCl_3 отличается заметно от этой зависимости в случае легкого хлороформа (рисунок, прямая II). Точность эксперимента, однако, недостаточна

* В работе [2a] приводятся данные, указывающие, что в их условиях идет полный обмен дейтерием CDCl_3 с HCl . Если это объясняется наличием некоторой обратной реакции $\text{HCl}(\text{CCl}_3 + \text{HCl} \rightarrow \text{CCl}_3\text{H} + \text{Cl})$, как полагают авторы), то становится понятным низкий изотопный эффект брутто-реакции.

Таблица 4

P_{CHCl_3} , мм рт. ст.	P_{CDCl_3} , мм рт. ст.	$P_{\text{толуола}}$, мм рт. ст.	τ_k , сек	$k_1\text{CHCl}_3$, сек ⁻¹	$k_1\text{CDCl}_3$, сек ⁻¹
0,758	—	18,7	0,681	0,222	—
0,856	—	18,3	0,656	0,233	—
—	1,295	16,2	0,700	—	0,135
—	2,51	14,5	0,706	—	0,145
—	2,69	17,0	0,672	—	0,143
—	2,85	16,3	0,709	—	1,138
3,89	—	19,7	0,687	0,258	—
4,16	—	18,2	0,720	0,209	—
4,17	—	18,6	0,687	0,234	—
			k_1 Среднее	$0,231 \pm 0,008$	$0,140 \pm 0,003$

бы определить вклад изотопного эффекта отдельно в энергию активации и предэкспонент константы скорости.

Механизм распада. Как уже отмечалось нами ранее [3], кинетические данные находятся в резком противоречии с радикальным механизмом распада хлороформа, предложенном в работе [2а]. Прежде всего скорость реакции несравненно больше, чем должна быть скорость распада по C — Cl связи, которую можно приблизительно вычислить. Если для энергии связи C — Cl принять величину 70 ккал, а для предэкспонента 10^{13} сек.⁻¹, то рассчитанная из этих величин скорость в 10^5 раз выше наблюдаемой. Отсутствие дибензила в продуктах реакции в толуоле также противоречит радикальному механизму.

В работе [2б] Самелюк и Бернштейн принимают радикально-цепной механизм:

- 1) $\text{CHCl}_3 \rightarrow \text{CCl}_2\text{H} + \text{Cl}\cdot$
- 2) $\cdot\text{Cl} + \text{CHCl}_3 \rightleftharpoons \text{HCl} + \text{CCl}_3\cdot$
- 3) $\text{CCl}_3\cdot + \text{Cl}\cdot \rightarrow \text{CCl}_4$
- 4) $\text{CCl}_3\cdot \rightarrow \text{CCl}_2 + \text{Cl}\cdot$
- 5) $\text{CCl}_2 + \text{CHCl}_3 \rightarrow \text{C}_2\text{Cl}_4 + \text{HCl}$

Отметим, что для такого механизма, включающего в качестве одной из стадий развития цепи распад радикала $\text{CCl}_3\cdot$, является маловероятной стадия на цепи, которая, как это видно из предыдущих соображений, должна быть порядка 10^5 звеньев.

Цепному механизму противоречит отсутствие иницирующего действия атома Cl при добавлении CCl_4 и отсутствие ингибирующего действия толуола при проведении реакции в толуоле. Результаты опытов с CDCl_3 также противоречат как радикальному, так и радикально-цепному механизму. Образование значительных количеств DCl в присутствии толуола может быть объяснено реакцией атомов хлора, которые реагировали с толуолом, находящимся в избытке, с образованием легкого хлористого водорода. Для доказательства этого были проведены опыты, в которых струе CDCl_3 в толуоле добавлялся молекулярный хлор. Образовавшийся хлористый водород оказался легким. Кроме того, если бы изотопный состав хлористого водорода был следствием конкуренции реакции атомов Cl с легким толуолом и тяжелым хлороформом, то отношение DCl и HCl в продуктах зависело бы от отношения хлороформа и толуола в струе. Действительности этого не наблюдается.

Кинетические данные Самелюка и Бернштейна также не соответствуют принятому ими механизму.

В частности, из схемы авторов [2б] следует, что энергия активации реакции E_1 равна $66,4 - E_4 + E_3$. Они считают, что это подтверждает принятую схему, так как если принять $E_3 = 6$ ккал, то «верхний предел»

энергии активации E_1 равен 72 ккал, что близко к величине D (CHCl_2Cl). В действительности, энергия активации реакции $\text{CCl}_3 + \text{Cl} \rightarrow \text{C}$ должна быть меньше 6 ккал, вероятно, близка к нулю, а E_4 (энергия активации реакции $\text{CCl}_3 \rightarrow \text{CCl}_2 + \text{Cl}$), наоборот, не равна нулю, а по последним данным близка к 50 ккал [4]. Это приводит к абсурдному выводу, что E_1 должна быть меньше 20 ккал, что отвергает схему работы [26].

Каков же в действительности механизм распада хлороформа? Первый порядок реакции показывает, что в переходном комплексе участвует одна молекула CHCl_3 . Заметный изотопный эффект свидетельствует, что в определяющей скорости стадии участвует атом Н. Эти данные, как и образование DCl при реакции CDCl_3 в толуоле, приводят к выводу, что такой стадией является непосредственное отщепление хлористого водорода



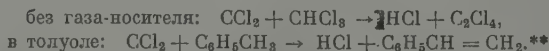
Первично образуется производное двухвалентного углерода — дихлорметилен. Для отличия такого рода превращений от молекулярных реакций, где первичными продуктами являются устойчивые молекулы, и радикальных, где первично образуются свободные радикалы, мы называем их бирадикальными.

Учитывая наблюдавшийся в ходе реакции распада хлороформа обмен дейтерием между CDCl_3 и HCl [2а], а также тормозящее влияние HCl [2а] как и отмеченное нами некоторое уменьшение константы скорости с увеличением времени контакта, реакцию (1'), по-видимому, нужно считать обратимой.

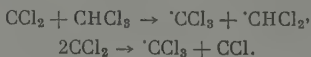
Первичное образование дихлорметилена и хлористого водорода является энергетически значительно более выгодным процессом, чем распад по связи $\text{C} - \text{Cl}$. Это является следствием энергетической устойчивости дихлорметилена*.

Судьба образовавшегося в первой стадии CCl_2 не является полностью ясной. Хотя C_2Cl_4 является одним из основных продуктов реакции, димеризацию CCl_2 нельзя считать вероятным путем их реакции. На это указывает образование значительных количеств легкого HCl при реакции CDCl_3 в толуоле, приводящее к выводу, что часть HCl образуется за счет какой-то реакции с толуолом. Это не может быть обменной реакцией CCl_2 с $\text{C}_6\text{H}_5\text{CH}_3$. Специальные опыты показали, что DCl не обменивается дейтерием с толуолом при температуре опытов. Кроме того, если бы имел место обмен первично образовавшегося DCl , то изотопный состав хлористого водорода зависел бы от времени контакта. Учитывая равенство скоростей реакции в толуоле и без газа-носителя, мы предполагаем, что в обоих случаях имеет место вторичная реакция CCl_2 с толуолом или с хлороформом с образованием HCl .

Можно предположить следующие реакции:

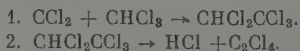


Образование C_2Cl_6 является, видимо, следствием димеризации радикалов CCl_2 , образовавшихся, возможно, в реакциях:



* В последнее время появляется все больше указаний на то, что галоидированные метилена CX_2 являются промежуточными продуктами различных химических реакций. В частности, щелочной гидролиз хлороформа [5] и реакция Раймера-Тимана [6] включают промежуточное образование CCl_2 .

** Эти реакции возможно происходят не в один акт, например,



от механизм вторичных реакций является чисто предположительным, по нашему мнению, это не затрагивает основного вывода о бирадикальном механизме распада CHCl_3 как первой и определяющей скорости реакции. Представляет интерес выяснить, насколько полученный изотопный эффект соответствует бирадикальному механизму распада. Теория абсолютных скоростей дает для отношения констант скоростей реакции

$$k_{\text{H}}/k_{\text{D}} = \frac{kT}{h} \frac{Q_{\text{H}}^{\ddagger}}{Q_{\text{H}}} e^{-\frac{\Delta E_{\text{H}}}{RT}} \left/ \frac{kT}{h} \frac{Q_{\text{D}}^{\ddagger}}{Q_{\text{D}}} e^{-\frac{\Delta E_{\text{D}}}{RT}} \right. = \frac{Q_{\text{H}}^{\ddagger} Q_{\text{D}}}{Q_{\text{D}}^{\ddagger} Q_{\text{H}}} e^{\Delta E_{\text{D}} - \Delta E_{\text{H}} / RT}$$

если Q^{\ddagger} и Q — суммы состояний, ΔE — разность нулевых уровней энергии переходного комплекса и исходного состояния).

В случае CHCl_3 и CDCl_3 значительный вклад в изотопный эффект вносят лишь суммы состояний колебательного движения атомов H и D. Поэтому можно приближенно считать, что

$$\frac{k_{\text{CHCl}_3}}{k_{\text{CDCl}_3}} = \frac{\prod \left(1 - e^{-\frac{h\nu_{\text{H}}}{kT}} \right)}{\prod \left(1 - e^{-\frac{h\nu_{\text{D}}}{kT}} \right)} e^{\frac{h\Delta\nu}{2kT}}$$

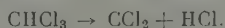
Принимая, что разность в энергиях активации определяется разностью нулевых энергий исходных молекул (максимальный изотопный эффект) используя известные значения ν_{H} и ν_{D} [7], находим для 574°

$$\left(\frac{k_{\text{CHCl}_3}}{k_{\text{CDCl}_3}} \right)_{\text{макс}} = 2,8$$

Экспериментально найденная величина 1,65 меньше этого максимального значения, что указывает на то, что нулевые энергии переходного комплекса в случае CHCl_3 и CDCl_3 неодинаковы.

Выводы

1. Изучена кинетика термического распада CHCl_3 и CDCl_3 в струевых условиях.
2. Показано, что первичным атомом распада хлороформа является бирадикальный распад:



Поступила
9.VII.1958

ЛИТЕРАТУРА

- А. Е. Шилов и Р. Д. Сабирова, Ж. физ. химии, 33, 1365, 1959.
 а) G. P. Sameluk, H. B. Bernstein, J. Amer. Chem. Soc., 75, 3793, 1954; б) G. P. Sameluk, H. B. Bernstein, J. Amer. Chem. Soc., 79, 46, 1957.
 А. Е. Шилов и Р. Д. Сабирова, Докл. АН СССР, 114, 1058, 1957.
 R. I. Reed, W. Suedden, Trans. Faraday, Soc., 54, 301, 1958.
 J. Hine, A. M. Dowell, J. Amer. Chem., 76, 2629, 1954; J. Hine, J. Amer. Chem., 72, 2438, 1950.
 H. Wjoberg, J. Amer. Chem., 76, 4998, 1954.
 Г. Герцберг. Колебательные и вращательные спектры многоатомных молекул, ИИИ, Москва, 1949, стр. 341.

MECHANISM OF THE PRIMARY ACT OF THE THERMAL DECOMPOSITION OF CHLOROMETHANES

II. DECOMPOSITION OF CHLOROFORM

A. E. Shilov and R. D. Saburova (Moscow)

Summary

A kinetic study has been made of the thermal decomposition of CHCl_3 and CDCl_3 in flow conditions. The primary act of the reaction has been shown to be the biradical decomposition:



ЭЛЕКТРОДИФфуЗИЯ В РАЗБАВЛЕННЫХ РАСТВОРАХ СВИНЦА И РТУТИ В МЕТАЛЛИЧЕСКОМ КАЛИИ

С. Н. Дракин, Ю. К. Голубкова и Э. П. Ушакова

После появления работы Хэфнера [1], в которой впервые удалось разделить изотопы при помощи электродиффузии, интерес к изучению электродиффузии сильно возрос, и за последние годы было опубликовано значительное число экспериментальных и теоретических исследований в этой области [2—5].

Одним из нас было обнаружено [6], что в разбавленных растворах в системе калий — натрий коэффициенты электродиффузии имеют весьма значительную величину. Представлялось интересным установить, наблюдается ли аналогичный факт для растворов в щелочном металле прмесеи, сильно отличающихся по свойствам от металла-растворителя.

В качестве объектов исследования были выбраны растворы свинца и ртути в металлическом калии, содержащие соответственно 3 вес. % и 2 вес. % Hg . Изучение электродиффузии проводилось при 100° по методике, разработанной ранее [6]. Небольшие изменения, введенные в методику, описаны ниже.

В данной работе применялись зигзагообразные трубки, изготовленные из песек стекла, с внутренним диаметром 1,5 мм и толщиной стенок 0,7 мм (рис. 1). В трубку одинаковым расстоянии 15 мм друг от друга впаивалось 10 платиновых проволок диаметром 0,16 мм. Две крайние проволоочки служили подводящими ток электродами, а восемь других предназначались для измерения падения напряжения в различных участках сплава. Таким образом для семи следующих друг за другом отрезков сплава измерялось падение напряжения и рассчитывалось удельное сопротивление.

Перед наполнением сплавом трубки выдерживались 1,5—2 часа при 300° в то воздуха, осушенного пятиокисью фосфора; в результате удалялись адсорбированные на поверхности стекла пары воды. Благодаря этому удалось полностью избавиться от появления в сплаве пузырьков водорода, наличие которых является главным источником ошибок при определении удельного сопротивления.

Измерение падения напряжения производилось потенциометром Р 375 с точностью до 0,001 mV.

Стационарное состояние электродиффузии, которое достигается при пропускании через сплав электрического тока в течение достаточно длительного времени, в случае разбавленных растворов описывается уравнением [7]:

$$\ln \frac{c_1}{c_2} = K \frac{\Delta E_{1-2}}{T},$$

где c_1 и c_2 — концентрации сплава в точках 1 и 2; ΔE_{1-2} — падение напряжения между точками 1 и 2; T — температура в $^\circ\text{K}$; K — постоянная для данного сплава величина, которую в работе [6] было предложено называть коэффициентом электродиффузии.

В разбавленных металлических растворах изменение удельного сопротивления можно считать пропорциональным концентрации растворенного металла, поэтому отношение концентраций в приведенном уравнении можно заменить отношением разностей между удельным сопротивлением сплава ρ и удельным сопротивлением чистого металла.

растворителя ρ_0 :

$$\ln \frac{(\rho - \rho_0)_1}{(\rho - \rho_0)_2} = K \frac{\Delta E_{1-2}}{T} \quad (2)$$

Согласно этому уравнению, в стационарном состоянии должна иметь место линейная зависимость между логарифмом $\rho - \rho_0$ и падением напряжения в сплаве.

Предварительными опытами, проведенными со сплавом К - Рб, была обнаружена диффузия свинца к аноду; было также установлено, что для данного сплава при работе с трубками описанной конструкции

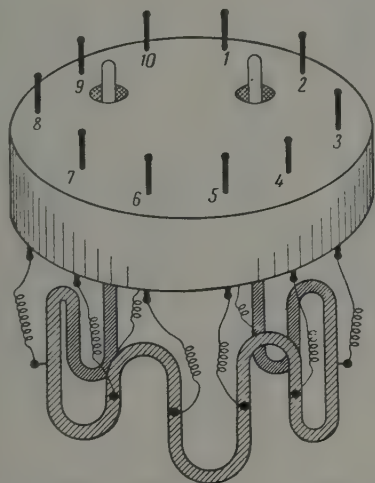


Рис. 1

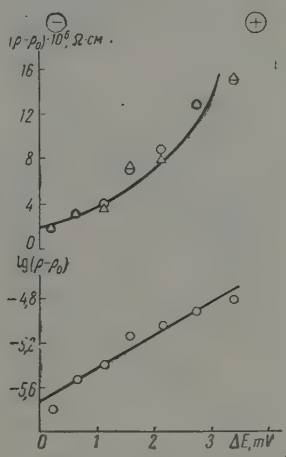


Рис. 2

Рис. 1. Трубка для изучения электродиффузии

с. 2. Стационарное распределение свинца в сплаве К - Рб по данным измерений электропроводности; Δ — в начале пропускания тока, $I = 0,25$ А; \circ — через 230 час. после начала пропускания тока, $I = 0,25$ А

удается достигнуть стационарного состояния при длительности пропускания тока ~ 200 час. Поэтому для сокращения времени достижения стационарного состояния был применен следующий прием. Вначале через сплав пропускался ток определенной силы, в результате чего происходила электродиффузия, и в трубке создавался определенный градиент концентраций. Затем сила тока уменьшалась и было подобрано ее значение ($0,25$ А), при котором в сплаве в течение длительного времени не происходило никаких изменений, т. е. имело место стационарное состояние.

В табл. 1 приведены данные измерений удельного сопротивления в пале пропускания тока силой $0,25$ А и после пропускания его в течение 0 час. Как видно, удельное сопротивление участков сплава за это время менялось незначительно. Представленная на рис. 2 зависимость $(\rho - \rho_0)$ от падения напряжения в сплаве близка к линейной; при помощи метода наименьших квадратов коэффициент электродиффузии был найден равным $2,5 \cdot 10^5$ град./V.

Для того чтобы удостовериться в надежности данных, полученных и помощи измерений электропроводности, по окончании опыта был проведен химический анализ сплава в тех же отрезках трубки, для которых измерялось удельное сопротивление. Содержание калия определялось титрованием щелочи, полученной при осторожном растворении сплава

Таблица 1

Удельное сопротивление сплавов в различных участках трубки в стационарном состоянии

№ участков трубки	Сплав К-Rb				Сплав К-Hg			
	ΔE , мВ	$(\rho - \rho_0) \cdot 10^4 \Omega \text{ см}^2$ в направлении пропускания тока, $I = 0,25 \text{ А}$	$(\rho - \rho_0) \cdot 10^4 \Omega \text{ см}^2$ через 23 час. после начала пропускания тока, $I = 0,25 \text{ А}$	Концентрация Rb по данным химического анализа, вес. %	После пропускания тока в течение 170 час.		После пропускания тока в обратном направлении в течение 270 час.	
					ΔE , мВ	$(\rho - \rho_0) \cdot 10^4 \Omega \text{ см}^2$	ΔE , мВ	$(\rho - \rho_0) \cdot 10^4 \Omega \text{ см}^2$
	Катод				Анод		Катод	
1-2	0,400			0,69				
2-3	0,416	1,68	1,63	0,73	1,853	2,30	1,740	(0,54)
3-4	0,412	3,09	2,96	0,60	1,277	1,57	1,240	0,40
4-5	0,549	3,25	3,82	1,41	1,338	0,90	1,337	0,40
5-6	0,536	7,10	7,02	1,87	1,368	0,82	1,420	0,95
6-7	0,547	7,90	8,80	3,19	1,372	0,42	1,475	1,10
7-8	0,640	12,78	12,80	5,19	1,142	0,32	1,297	1,90
8-9	0,612	15,40	15,12	6,06	1,028	0,10	1,200	2,10
9-10	0,630			8,83				
	Анод				Катод		Анод	
$K \cdot 10^{-6}$ град./V			2,5	2,6		1,33		1,02

* Удельное сопротивление калия при 100° (ρ_0) было принято равным $15,40 \cdot 10^{-6} \Omega \text{ см}$ [9].

Таблица 2

Коэффициенты электродиффузии в разбавленных металлических растворах

Система	Растворенный элемент, его концентрация (ат. %) и направление диффузии	T, °C	$K \cdot 10^{-4}$ град./V
Hg — Li	Li; 1,2%; к катоду	75	0,005
Hg — Na	Na; 4,6%; » аноду	25—75	0,032
Hg — K	K; 1,0%; » »	26	1,66
Hg — Ca	Ca; 1,3%; » катоду	75	0,008
Hg — Cd	Cd; 1,8—3,6%; к катоду	26	2,0
Hg — Ag	Ag; 0,05%; к катоду	26	1,95
Hg — Au	Au; 0,1%; » »	26	1,58
Pd — H	H; » »	10—72	0,48
Fe — C	C; 2,3%; » »	900—1100	5,2
K — Hg	Hg; 0,4%; » аноду	100	12
K — Pb	Pb; 0,6%; » »	100	26
K — Na	Na; 5,5%; » »	100	0,54
Na — K	K; 1,6%; » »	100	0,97

в воде, содержание свинца — хроматным методом [8]. Результаты химического анализа даны в табл. 1, на рис. 3 представлена зависимость $\lg \sigma_{\text{Rb}}$ от ΔE .

Как видно из рис. 3, эта зависимость хорошо удовлетворяет уравнению (1); обработка результатов по методу наименьших квадратов при

к величине коэффициента электродиффузии $K = 2,6 \cdot 10^5$ град./V. Таким образом коэффициент электродиффузии, полученный из данных химического анализа, практически совпадает с вычисленным на основании измерений электросопротивления.

Для сплава К-Нг, так же как и для сплава К-Рб, была обнаружена диффузия растворенного металла к аноду. В случае сплава К-Нг время достижения стационарного состояния оказалось меньшим, чем для сплава К-Рб, и равным 140—160 час.

Для получения более надежных данных стационарное состояние сплава К-Нг достигалось дважды: сперва ток пропускался в течение

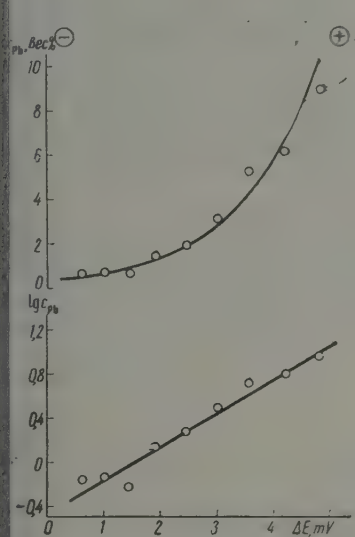


Рис. 3

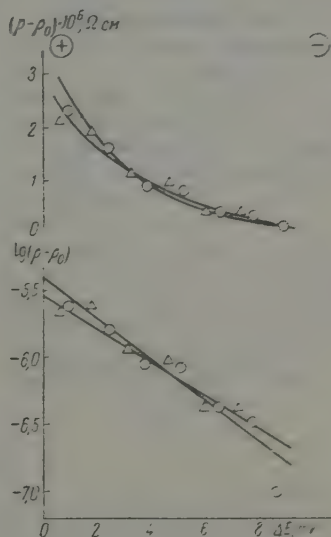


Рис. 4

Рис. 3. Стационарное распределение свинца в сплаве К — Рб по данным химического анализа

Рис. 4. Стационарное распределение ртути в сплаве К — Нг по данным измерений электросопротивления. Кружками и треугольниками обозначены результаты полученные при пропускании тока через трубку со сплавом в различных направлениях. Кривые проведены по методу наименьших квадратов

70 час. в одном направлении, затем в течение 270 час. — в противоположном направлении. Результаты этих опытов представлены в табл. 1; как видно из рис. 4, имеет место близкое соответствие данных, полученных при пропускании тока в различных направлениях; в указанных двух опытах коэффициенты электродиффузии были найдены равными $1,33 \cdot 10^5$ и $1,02 \cdot 10^5$ град./V; учитывая трудности, возникающие при исследовании электродиффузии в сплавах щелочных металлов, такое совпадение можно считать удовлетворительным и можно принять для сплава К-Нг величину $K = 1,2 \cdot 10^5$ град./V.

В соответствии с целью данного исследования необходимо сопоставить найденные величины K с коэффициентами электродиффузии для других систем. Это сопоставление произведено в табл. 2, где приведены рассчитанные нами коэффициенты электродиффузии в сплавах, для которых уда-

лось найти в литературе надежные данные по стационарному распределению или числам переноса*.

Как видно из табл. 2, коэффициенты электродиффузии для сплавов К-Pb и К-Hg значительно превышают аналогичные величины найденные для других систем. Таким образом в сплавах щелочных металлов электродиффузия происходит весьма интенсивно; наглядное представление об этом дает рис. 3, показывающий, что при разности потенциалов всего в 4 мВ в сплаве К-Pb может быть достигнуто более чем десятикратное изменение концентрации растворенного металла.

Выводы

1. При помощи разработанной ранее методики изучена электродиффузия в разбавленных (0,4—0,6 ат. %) растворах свинца и ртути в металлическом калии.

2. Установлено, что стационарное распределение растворенного металла, возникающее в результате электродиффузии, удовлетворяет уравнению (1). Для сплавов К-Pb и К-Hg величины коэффициентов электродиффузии (константа K данного уравнения) найдены равным $2,6 \cdot 10^5$ и $1,2 \cdot 10^5$ град./V.

3. Сопоставление полученных величин с коэффициентами электродиффузии, рассчитанными для других систем, показывает, что при одинаковой разности потенциалов максимальное изменение концентрации растворенного металла в сплавах К-Pb и К-Hg будет значительно больше, чем во всех изученных до сих пор металлических растворах.

Химико-технологический
институт им. Д. И. Менделеева
Москва

Поступила
9.III.1958

ЛИТЕРАТУРА

1. E. Haefliger, Nature, **172**, 775, 1953.
2. G. Nief, E. Roth, C. R., **239**, 162, 1954; M. Goldman, G. Nief, E. Roth, C. R., **243**, 1414, 1956.
3. A. Klemm, Z. Naturforsch., **9a**, 1081, 1954; A. Lunden, C. Renterswård, A. Lodding, Z. Naturforsch., **10a**, 924, 1955; A. Lindhe, Z. Naturforsch., **11a**, 71, 1956; A. Lunden, A. Lodding, W. Fischer, Z. Naturforsch., **12a**, 268, 1957.
4. B. Baranowski, Roczn. chem., **29**, 129, 1955; **30**, 841, 1956; Бюлл. Польск. АН, **3**, 117, 1955; **4**, 457, 1956; Prace Konferencji Elektrochemicznej, PWN, Warszawa, 1957, стр. 795—818, 851—874.
5. Ю. Н. Бабикова, И. А. Грузин, Физика металлов и металловедение, **5**, 255, 1957.
6. С. И. Дракин, А. К. Мальцев, Ж. физ. химии, **31**, 2036, 1957.
7. С. И. Дракин, Ж. физ. химии, **27**, 1586, 1953.
8. В. Ф. Гиллебранд, Г. А. Лендель, Г. А. Брайт, Д. И. Гофман, Практическое руководство по неорганическому анализу, Госхимиздат, М., 1957, стр. 241.
9. Internat. Crit. Tables, т. VI, стр. 136.

* Величины K в системе К—Na взяты из [6]. Для других систем K рассчитаны по данным, использованным ранее в работе [7] для вычисления разностей эффективных зарядов ионов металлов ($v' - v''$). Следует отметить, что в указанной работе при расчетах ($v' - v''$) из чисел переноса допущена ошибка, обусловленная тем, что при вычислении применялись концентрации, выраженные в г/см³, тогда как их следовало выразить в г-ат/см³. Для исправления этой ошибки приведенные в работе [7] значения ($v' - v''$) для систем Hg—K, Hg—Au, Hg—Cd, Hg—Ag и Fe—C нужно умножить на атомный вес растворенного элемента.

ELECTRODIFFUSION IN DILUTE METALLIC POTASSIUM SOLUTIONS
OF LEAD AND MERCURY*S. I. Drakin, Yu. K. Golubkova and E. P. Ushakova (Moscow)*

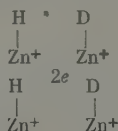
S u m m a r y

Electrodiffusion in dilute (0.4—0.6 at.%) solutions of lead and mercury in metallic potassium has been investigated with the aid of a previously developed method [6]. The stationary distribution of dissolved metal due to this process has been found to obey equation (1). The electrodiffusion coefficients (K in the equation) for the alloys K—Pb and K—Hg have been found to equal $2.6 \cdot 10^5$ and $1.2 \cdot 10^5$ deg/volt respectively. A comparison of the data obtained with those for other systems showed that maximum change in concentration of dissolved metal will be considerably greater at the same potential difference in the case of the K — Pb and K — Hg alloys than of all other systems studied up to the present time.

ОПРЕДЕЛЕНИЕ ЭНЕРГИЙ СВЯЗИ Н, D, С, О и N с ОКИСЬЮ ЦИНКА КИНЕТИЧЕСКИМ МЕТОДОМ

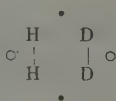
А. А. Баландин и И. Д. Рождественская

Окисью цинка как катализатором много занимались с точки зрения электронной теории катализа, изучая связь ее каталитической активности с электропроводностью и другими электронными свойствами. Недавно была предложена схема [1], объединяющая элементы электронной и мультиплетной теорий катализа, которую для реакции дейтероводородного обмена можно изобразить так:



Здесь представлен дефект типа F -центра, в котором два электрона заменяют ион O^{2-} , а соседние с ними однозарядные ионы цинка способны притягивать атомы Н и D (или, в общем случае, различные другие радикалы). В отличие от схемы, данной в работе [1], при цинке изображены только один положительный заряд, имея в виду наличие ковалентной связи между цинком и водородом. При восстановлении окиси цинка удаляется часть ионов O^{2-} , что ведет к увеличению числа дефектов типа F -центров, сопровождаемому увеличением как каталитической активности так и электропроводности.

Согласно схеме (1) четыре однозарядных иона цинка с прикрепленными к нему атомами Н и D отвечают дублетной схеме мультиплетной теории [2]:



где точки и кружки обозначают центры атомов цинка, которые в решетке окиси цинка, безусловно, частично имеют ионный характер. Для схемы (2) имеются уравнения, передающие зависимость энергии активации от энергии связи водорода и дейтерия с поверхностью катализатора позволяющие найти последние из опыта [2, 3].

Целью настоящей работы являлось определение энергии связи Q атомов Н, D, С, О и N с окисью цинка. Для этого был применен кинетический метод. Существуют два варианта кинетического метода, оба основанные на мультиплетной теории. Первым из них, предложенным А. А. Баландиным [4] и разработанным им и А. А. Толстопятовой [5—7], определены энергии связи различных атомов с целым рядом окисных катализаторов. Второй вариант, позднее предложенный С. Л. Киперманом и А. А. Баландиным [8], был применен для определения энергий связи с металлами VIII группы. Интересно отметить, что значения энергий связи, найденные кинетическим методом, оказались близкими к энергиям связи, полученным ранее совсем другим путем — из термохимических данных и из сра-

последовательности реакций [9]. В настоящей работе был применен второй вариант кинетического метода.

Для определения указанных выше энергий связи с окисью цинка нами экспериментально исследовалась кинетика следующих реакций: дегидрогенизации изопропилового спирта, дегидрогенизации бутилена и дегидрогенизации пиперидина; кроме того, мы воспользовались данными других авторов для энергий активации реакций пара-орто-превращения водородо-изотопного обмена водорода с дейтерием и дейтерообмена с аммиаком. Вследствие возможных различий в активностях катализаторов в работах разных авторов полученные величины энергий связи не могут претендовать на большую точность; тем не менее они вполне пригодны для применения их в сравнительных целях и для вычисления последовательности протекания различных реакций на окиси цинка.

Экспериментальная часть

Опыты проводились на установке проточного типа. Исходное вещество (изопропиловый спирт, пиперидин) подавалось на катализатор с постоянной объемной скоростью при помощи автоматического датчика [10]. Жидкие продукты реакции отделялись приемником с обратным холодильником, а газообразные продукты собирались в газоре с постоянным нижним уровнем над насыщенным раствором поваренной соли. Газ лиризовался на приборе ВТИ. Жидкие катализаты вергались разгонке. Для каждого опыта бралось м катализатора. Скорость подачи реагирующего вещества составляла 0,167 мл/мин. Объем выделяющегося а приводился к нормальным условиям (V_0 мл/мин). Катализатор перед каждым опытом регенерировался 500° в течение 2 час. в токе водорода.

При работе с бутиленом * скорость прохождения а измерялась по реометру и контролировалась по реометру. Во всех опытах объемная скорость была постоянной и составляла 42,4 мл/мин. В собранном газе еделялось содержание бутадиена по малиновому ириду, полный анализ газа производился на газо-лизаторе ВТИ. Поглощение бутилена и бутадиена ществлялось 84%-ной серной кислотой, этилена — твором брома. Количества водорода и предельных еводородов определялись посредством сжигания над

К а т а л и з а т о р. Катализатором служила окись ка, полученная из азотнокислого цинка осаждением роокиси цинка аммиаком с последующим термическим ожением ее. Для этого к 1 N раствору азотнокис-о цинка приливался по каплям 10%-ный раствор ам-ка при механическом перемешивании, при комнатной пературе до слабо-щелочной реакции. Осадок отмы-ся дистиллированной водой от NO_3^- (проба с дифе-амином), фильтровался, сушился при 110° и прессо-ся в таблетки. Разложение гидроокиси до окиси зводилось в токе молекулярного водорода при 500° С.

И с х о д н ы е в е щ е с т в а. Водород, полученный электролизом, очищался примеси кислорода пропусканием над палладированным асбестом. β -Бутилен имел ав: бутилена 98%, бутана 2%. Сушка подаваемых газов производилась последова-ным пропусканием их через склянки с концентрированной серной кислотой, плав-ым едким кали и прокаленной активированной окисью алюминия.

И з о п р о п и л о в ы й с п и р т — абсолютный: т. кип. 82°, $n_D^{21.5}$ 1,3770. Пиперидин полу-ся гидрированием пиридина над скелетным никелем в автоклаве при 100 атм и —160°. Гидрированный продукт подвергался фракционировке на колонке. Отбира-ь фракция с т. кип. 106,0° С.]

Д е г и д р о г е н и з а ц и я б у т и л е н а. Опыты проводились при —582°, количество образующегося бутадиена составляло 1,9—4,2%; кущаяся энергия активации дегидрогенизации найдена равной = 28,1 ккал/моль (рис. 1).

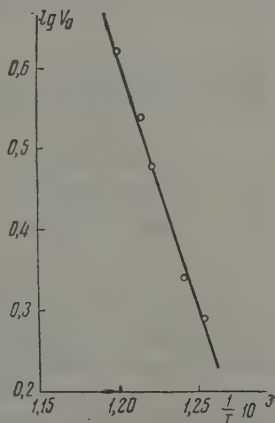


Рис. 1. Дегидрогенизация бутилена на ZnO ; $\varepsilon = 28,1$ ккал/моль; $k_0 = 7,95 \cdot 10^6$; $\varepsilon/\lg k_0 = 4,07$

* Работа производилась совместно с О. К. Богдановой и А. П. Щегловой.

Известно, что на окиси хрома в этих условиях β -бутилен перед дегидрогенизацией быстро изомеризуется в α -бутилен. Таким образом найденное значение ϵ относится к дегидрогенизации α -бутилена.

Была сделана также попытка определить Q_{C-ZnO} из реакции дегидрирования циклогексана. Как указывалось в работе [11], над окисью цинка обработанной водородом при 540° , циклогексан дегидрируется при этой же температуре с образованием до 9% бензола. Другие авторы отмечают [12], что ZnO неактивна в этой реакции. Нами установлено, что окись цинка, обработанная водородом при 500° , при температурах $450-500^\circ$ дегидрирования циклогексана не проводит.

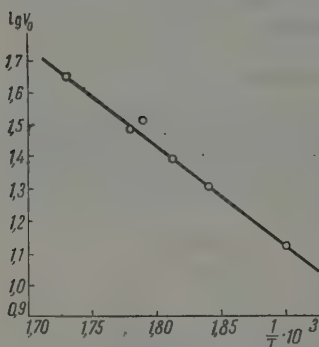


Рис. 2

Рис. 2. Дегидрогенизация изопропилового спирта на ZnO ; $\epsilon = 14,3$ ккал/моль; $k_0 = 7,53 \cdot 10^5$; $\epsilon/lg k_0 = 2,43$

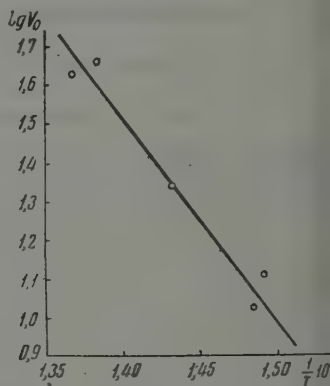


Рис. 3

Рис. 3. Дегидрогенизация пиперидина на ZnO ; $\epsilon = 24,5$ ккал/моль; $k_0 = 7,05 \cdot 10^5$; $\epsilon/lg k_0 = 3,12$

Разложение изопропилового спирта. Опыты проводились при $253-305^\circ$ и протекали на 97—99% в сторону дегидрогенизации. Кроме водорода газообразные продукты реакции содержали до 1% непредельных углеводородов, небольшие количества CO и CO_2 . Предельные углеводороды ни в одном опыте обнаружены не были. Жидкие катализаты состояли из ацетона, непрореагировавшего спирта и небольшого количества воды. Кажущаяся энергия активации найдена равной $\epsilon = 14,3$ ккал/моль (рис. 2).

Другие авторы приводят значения энергии активации дегидрогенизации изопропилового спирта над ZnO , равные $\epsilon = 12-26$ ккал/моль [13—15].

Дегидрогенизация пиперидина. Реакция проводилась при температурах $397-457^\circ$ и протекала на 99,0—99,8% в направлении дегидрогенизации. Количество непредельных углеводородов не превышало 1%. Предельные углеводороды ни в одном опыте обнаружены не были. Кажущаяся энергия активации найдена равной $\epsilon = 24,5$ ккал/моль (рис. 3).

Обсуждение результатов

Энергия связи с водородом. Для расчета энергии связи водорода с окисью цинка можно воспользоваться реакцией пара-орт-превращения водорода. Значение энергии активации ниже взято из литературных данных (табл. 1). Именно, принимается, что $\epsilon = 10,4$ ккал/моль, так как эта величина получена для катализатора в условиях проведения реакции, наиболее близких к условиям наших опытов.

Применяя дублетную схему и предполагая, что скорость реакции лимитируется стадией адсорбции реагирующих молекул на поверхности катализатора, получим следующее выражение для высоты энергетического барьера:

$$E' = -2Q_{\text{H-H}}^{\text{пара}} + 4Q_{\text{H-ZnO}},$$

$$Q_{\text{H-H}} = 104,2 \text{ ккал [21].}$$

Отсюда, имея в виду, что $E = -\frac{4}{3}\varepsilon_1$, находим, что энергия связи водорода с катализатором равна

$$Q_{\text{H-ZnO}} = \frac{1}{2} Q_{\text{H-H}}^{\text{пара}} - \frac{1}{3} \varepsilon.$$

Подставляя указанные выше значения $Q_{\text{H-H}}^{\text{пара}}$ и ε , получаем

$$Q_{\text{H-Zn}} = 48,6 \text{ ккал.}$$

Энергия связи с дейтерием. Для расчета энергии связи терпия с окисью цинка воспользуемся реакцией изотопного обмена водорода с дейтерием. Значения энергий активации, полученные разными авторами, представлены в табл. 1.

Таблица 1

Энергии активации пара-орто-превращения и дейтерообмена водорода по литературным данным

Предварительная обработка окиси цинка	Температура проведения реакции, °C	ε , ккал/моль	$Q_{\text{H-ZnO}}$
---------------------------------------	------------------------------------	---------------------------	--------------------

Пара-орто-превращение водорода

Откачка при 127—167° и обработка водородом при 27°	$\begin{cases} 0-84 \\ 127-150 \end{cases}$	$\begin{cases} 13,1 \\ 10,0 \end{cases}$ [16]	$\begin{cases} 47,7 \\ 48,8 \end{cases}$
Откачка при 127—184°	107—182	10,4	48,6

Изотопный обмен водорода с дейтерием

Обработка водородом при 400°	25—200	8,1 [17]	51,1
То же » 305°	25—230	7,2 [18]	51,7
» » » 400°	—10—320	6,5 [19]	52,2
в течение 16 час.	—10—100	7,8 [20]	
Обработка в вакууме при 400°	—100—132	11—12	
	132—157	0	
	157—218	7—13	

Данные по энергиям активации, приведенные в работе Смита и Тейлора [20], недостаточно точны, так как авторами не учитывалось отравление катализатора, которое имело место при низких температурах. Тем и Блю [17], приготовив этот катализатор методом Тейлора, показали, что катализатор теряет свою активность после 3—4-часового опыта. Вводя опыты с регенерацией катализатора в водороде при 400°, они получили следующие величины энергии активации: $\varepsilon = 8,1 \text{ ккал/моль}$ при 25—200° и $\varepsilon = 8,4 \text{ ккал/моль}$ при 132—157°, вместо $\varepsilon = 0$ в этом же температурном интервале, найденной в работе Смита и Тейлора [20]. В расчета энергии связи с дейтерием принимаем энергию активации этой реакции $\varepsilon = 8,1 \text{ ккал/моль}$ [15].

Применяя дублетную схему и предполагая, что скорость указанной реакции лимитируется стадией адсорбции реагирующих молекул на по-

поверхности катализатора, получим следующее выражение для высот энергетического барьера:

$$E' = -Q_{H-H} - Q_{D-D} + 2Q_{H-ZnO} + 2Q_{D-ZnO},$$

где $Q_{H-H} = 104,2$ ккал [21] и $Q_{D-D} = 106,0$ ккал [22]. Отсюда

$$Q_{D-ZnO} = \frac{1}{2} (Q_{H-H} + Q_{D-D}) - \frac{2}{3} \varepsilon - Q_{H-ZnO},$$

и, после подстановки опытных данных,

$$Q_{D-ZnO} = 51,4 \text{ ккал.}$$

Таким образом, полученные значения Q_{H-ZnO} и Q_{D-ZnO} близки между собой. То, что имеется расхождение между этими величинами (2,5 ккал), большее, чем следует ожидать из учета различия нулевых энергий, объясняется, по-видимому, тем, что реакции пара-орто-превращения водорода и дейтериевого обмена проводились на разных образцах катализатора и при разных температурах.

Энергия связи с углеродом. Величину энергии связи углерода с окисью цинка получаем из реакции дегидрогенизации бутылена. Энергия активации определена в настоящей работе $\varepsilon = 28,1$ ккал/моль.

Предполагая и в этом случае, что лимитирующей стадией является стадия адсорбции, получаем следующее выражение для высот энергетического барьера:

$$E' = -2Q_{C-H} + 2Q_{H-ZnO} + 2Q_{C-ZnO},$$

где $\varepsilon = 28,1$ ккал/моль, $Q_{H-ZnO} = 48,6$ ккал и $Q_{C-H} = 90,5$ ккал [21].

Решая уравнение относительно Q_{C-ZnO} и подставляя соответствующие численные значения, определяем энергию связи углеводорода с катализатором $Q_{C-ZnO} = 23,1$ ккал.

Здесь С есть π -С предыдущих работ [9, 23] (так как при дегидрогенизации бутылена в промежуточном активном комплексе связь между адсорбированными атомами углерода близка к двойной связи) с поправкой на энергию сопряжения, равную приблизительно 0,5 ккал. Действительно для дегидрогенизации бутылена в бутадиев $\Delta H = 26$ ккал, а бутана в бутилена 28 ккал, разность в основном равна энергии сопряжения $\sigma = 2$ ккал. Теплота предкаталитической хемисорбции бутылена связью С—С сдержит [23] около $1/2\sigma = 1$ ккал, т. е. 0,5 ккал на 1 г-атом С.

Интересно отметить, что величина энергии связи углерода с металлическим цинком, найденная термодимическим путем при сжигании $(C_2H_5)_2Zn$, составляет 27 ккал [21], т. е. близка к Q_{C-ZnO} . Этот факт позволяет думать, что связь углерода в мультиплетном комплексе осуществляется с атомом цинка, а не с атомом кислорода катализатора.

Энергия связи с кислородом. Величину энергии связи кислорода с окисью цинка получаем из реакции дегидрогенизации изопропилового спирта. Величина энергии активации, найденная в данной работе, $\varepsilon = 14,3$ ккал/моль.

Найдем высоту энергетического барьера дегидрирования изопропилового спирта для случая, когда лимитирующей стадией является адсорбция:

$$E' = -Q_{C-H} - Q_{O-H} - Q_{C-ZnO} + Q_{O-ZnO} + 2Q_{H-ZnO},$$

где $Q_{C-H} = 90,5$ ккал [21], $Q_{O-H} = 110,6$ ккал [24], $Q_{C-ZnO} = 23,1$ ккал, $Q_{H-ZnO} = 48,6$ ккал, $\varepsilon = 14,3$ ккал/моль. Отсюда $Q_{O-ZnO} = 61,7$ ккал

Полученное большое значение Q_{O-ZnO} говорит о том, что кислород молекулы связан с цинком окиси цинка. Если бы кислород молекулы связывался с кислородом катализатора, то получалась бы перекисная соль, для которой Q значительно меньше ($Q_{O-O} = 47$ ккал [21]). Термодинамическое значение Q_{O-ZnO} , рассчитанное из ΔH образования окиси цинка, равно 71 ккал.

Энергия связи с азотом. Нахождение энергии связи азотом из реакции обмена между дейтерием и аммиаком.

Данные по энергии активации этой реакции имеются в работе Кем-а [24], в которой катализатором служил образец окиси цинка, протравленный в вакууме при 480° в течение 2 час. В связи с тем, что энергия активации значительно изменялась с температурой, принимаем среднее значение $\epsilon = 10$ ккал/моль при $70-150^\circ$. Высота энергетического барьера адсорбционной стадии реакции составит

$$E' = -Q_{N-H} - Q_{D-D} + Q_{N-ZnO} + Q_{H-ZnO} + 2Q_{D-ZnO},$$

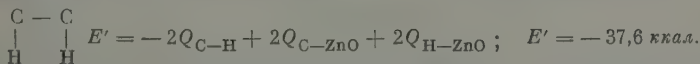
$Q_{H-H} = 84,3$ ккал [21], $Q_{D-D} = 106,0$ ккал [22], $Q_{H-ZnO} = 48,6$ ккал, $Q_{D-ZnO} = 51,1$ ккал. Отсюда $Q_{N-ZnO} = 26$ ккал.

Нахождение энергии связи с азотом из реакции дегидрогенизации пиперидина. Для определения энергии связи азота с катализатором в этом случае необходимо иметь уверенность, что реакция протекает по реберному механизму, и знать, какой именно связью адсорбируется молекула на поверхности катализатора. Известно, что Pt- и Pd-катализаторы легко проводят дегидрогенизацию пиперидина и его гомологов [25-28]. Гем-замещенные гомологи пиперидина не дегидрируются [29]. Следовательно, как и в случае цикло-сановых углеводородов, дегидрогенизация пиперидина над платиной и палладием протекает по секстетному механизму.

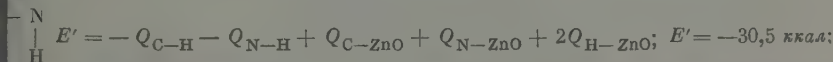
В работе [30] показано, что алюмосиликатный катализатор и катализатор окись хрома на окиси алюминия при температурах $450-500^\circ$ дегидрогенизацию пиперидина не проводят. Дегидрирование тетрагидропиперидина в этих условиях протекает легко. При 400° тетрагидропиперидин превращается в необратимый катализ.

Таким образом, дегидрогенизация пиперидина протекает по реберному механизму, причем лимитирующей стадией катализа, определяющей скорость реакции, является образование первой двойной связи, т. е. тетрагидропиперидина. О том, какова ориентация молекулы пиперидина на поверхности катализатора (по связи C — C или по связи C — N), позволяет судить вычисление высоты энергетического барьера для каждого случая.

Первый случай. Ориентация молекулы связью C — C. Индекс реакции и выражение для высоты энергетического барьера адсорбционной стадии имеет вид:



Второй случай. Ориентация молекулы связью C — N:



В этом энергия связи Q_{N-ZnO} взята из реакции дейтерообмена аммиака (см. выше).

Из сопоставления высот энергетических барьеров ($-E'$) следует, что дегидрогенизация пиперидина в первой стадии должна протекать по связи C — N, так как во втором случае барьер ниже (а E' больше).

Предполагая, как и ранее, первостадийный механизм протекания реакции, будем иметь

$$E' = -Q_{C-H} - Q_{N-H} + Q_{C-ZnO} + Q_{N-ZnO} + 2Q_{H-ZnO},$$

где $\varepsilon = 24,5$ ккал/моль.

Решая уравнение относительно Q_{N-ZnO} и подставляя соответствующие числовые значения, находим $Q_{N-ZnO} = 21,8$ ккал.

Таким образом получены следующие величины энергии связи азота с окисью цинка:

$$Q_{N-ZnO} = 21,8 \text{ ккал из реакции дегидрирования пиперидина;}$$

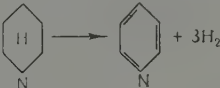
$$Q_{N-ZnO} = 26 \text{ ккал из реакции дейтерообмена с аммиаком.}$$

Принимаем $Q_{N-ZnO} = 21,8$ ккал, учитывая, что второе значение (26 ккал) получено на основании данных других авторов, на другом образце окиси цинка.

На основании определенных в настоящей работе энергий связи с окисью цинка оказалось возможным рассчитать адсорбционные потенциалы и высоты энергетических барьеров ряда реакций (табл. 2).

Таблица 2

Адсорбционные потенциалы и энергетические барьеры — E на ZnO в ккал

Реакция	$u/2$	$s/2$	q	$-E$
$n-H_2 \rightarrow n-C-H_2$	0	208,4	194,4	14,0
$H_2 + D_2 \rightarrow 2HD$	0	210,2	201,4	8,8
$CH_3-CH=CH-CH_3 \rightarrow CH_2=CH-CH=CH_2 + H_2$	-15,1	165,9	143,4	37,0
$i-C_3H_7OH \rightarrow CH_3-CO-CH_3 + H_2$	-6,8	194,4	182,0	19,6
$NH_3 + D_2 \rightarrow NH_2D + HD$	0	190,3	174,6	13,7
	-7,1	167,7	142,1	32,6

Выводы

1. Экспериментально определены энергии активации дегидрогенизации изопропилового спирта, бутилена и пиперидина на окиси цинка.

2. На основании найденных и известных из литературы энергий активации при помощи кинетического метода определены энергии связи D, C, O и N с окисью цинка.

Академия наук СССР
Институт органической химии
им. Н. Д. Зелинского

Поступила
9.VII.1958

ЛИТЕРАТУРА

1. D. A. Dowden, N. Mackenzie, B. M. Trapnell, Proc. Roy. Soc. A237, 245 (1956).
2. А. А. Баландин, Уч. зап. МГУ, вып. 175, 97, 1956.
3. А. А. Баландин, Ж. физ. химии, 31, 745, 1957.
4. А. А. Баландин, Ж. общ. химии, 16, 793, 1946.
5. А. А. Баландин, А. А. Толстомятова, Ж. физ. химии, 30, 1367, 1956.
6. А. А. Баландин, А. А. Толстомятова, В. А. Ферапонтов, Докл. АН СССР, 103, 611, 1955.
7. А. А. Баландин, Изв. АН СССР, Отд. хим. н., 634, 1955.
8. С. Л. Киперман, А. А. Баландин, Докл. АН СССР, 113, 335, 1957.
9. А. А. Баландин, Докл. АН СССР, 107, 85, 1956.
10. А. М. Левит, Л. Х. Флейдлин, Заводск. лаборатория, 16, 244, 1950.

- Б. Л. Молдавский, Г. Камушер, М. Кобыльская, Ж. общ. химии, 7, 1835, 1937.
V. Lazier, J. V. Vaughan, J. Amer. Chem. Soc., 54, 3080, 1932.
А. Е. Агрономов, Вестн. МГУ, № 2, 109, 1951.
Г. М. Жаброва, Л. Н. Куцева, С. З. Рогинский, Докл. АН СССР, 92, 569, 1953.
О. В. Крылов, С. З. Рогинский, Е. А. Фокина, Изв. АН СССР, Отд. хим. н., 421, 1957.
L. G. Harrison, C. A. McDowell, Proc. Roy. Soc., A228, 66, 1955.
V. C. F. Holm, R. W. Blue, Industr. and Engng Chem., 44, 1952.
E. Molinari, G. Pargavano, J. Amer. Chem. Soc., 75, 5233, 1953.
L. F. Heckelsberg, A. Clark, G. C. Bailey, J. Phys. Chem., 50, 559, 1956.
E. Smith, H. S. Taylor, J. Amer. Chem. Soc., 60, 362, 1938.
П. Коттрелл, Прочность хим. связей, IIII, 1956.
Nat. Bur. Standards, Circ. 500, Washe, 1952.
А. А. Баландин, А. А. Пономарев, Ж. общ. химии, 26, 1146, 1956.
C. Kemball, Proc. Roy. Soc., A214, 413, 1952.
Н. Д. Зелинский, Г. С. Павлов, 57, 669, 1924; Собр. труд. Изд-во АН СССР, М., 1955, т. III, стр. 76.
Н. Д. Зелинский, П. П. Борисов, Бер., 57, 150, 1924; Собр. труд. акад. Н. Д. Зелинского Изд-во АН СССР, М., 1955, т. III, стр. 267.
M. Ehrenstein, Ber., 64, 1137, 1931.
Ю. К. Юрьев, Г. Н. Мироненко, Уч. зап. МГУ, 6, 277, 1936.
А. П. Терентьев, С. М. Гурвич, Сборник статей по общей химии, т. 2, 1105, 1953.
Ю. К. Юрьев, Е. Г. Вендельштейн, Уч. зап. МГУ, 151, 221, 1951.

DETERMINATION OF THE BOND ENERGIES OF H, D, C, O AND N WITH ZINC OXIDE BY MEANS OF THE KINETIC METHOD

A. A. Balandin and I. D. Rozhdestvenskaya (Moscow)

Summary

The activation energies of the dehydrogenation of isopropyl alcohol, butylene and pyridine on zinc oxide have been determined. With the aid of the activation energies found in the present investigation and those known from the literature the bond energies of I, D, C, O and N with zinc oxide have been determined by means of the kinetic method.

РАДИАЦИОННОЕ ОКИСЛЕНИЕ АЗОТА

V. КИНЕТИКА ОКИСЛЕНИЯ АЗОТА ПОД ДЕЙСТВИЕМ γ -ИЗЛУЧЕНИЯ
И РОЛЬ ПРОЦЕССОВ РЕКОМБИНАЦИИ ИОНОВ

М. Т. Дмитриев и С. Я. Пшежецкий

В работах [1, 2] была изучена кинетика и механизм реакции окисления азота под действием электронных ударов. Измерения проводились в интервале давлений 10^{-2} — 10^3 мм рт. ст. и при энергиях электронов от нескольких eV до 200 keV. Были установлены основные закономерности кинетики второй порядков реакции, энергии активации в пределах 2—7 ккал/моль. Была установлена роль образования ионов азота, а также процессы рекомбинации противоположно заряженных ионов, и дано выражение константы скорости реакции как функции констант реагирующих молекул, величин, характеризующих ионизацию и рекомбинацию ионов и параметров действующего излучения.

Как показали предыдущие исследования, уже при давлении, меньшем 1 атм, на кинетику реакции, по-видимому, существенно влияют процессы рекомбинации противоположно заряженных ионов, в результате чего константа скорости реакции сильно уменьшается. Так как эти процессы зависят от давления, для изучения их роли в реакции окисления азота было существенно исследовать кинетику окисления азота в достаточно широком интервале давлений.

В этой статье излагаются результаты исследования кинетики этой реакции под действием γ -излучения в интервале давлений от 1 мм рт. ст. до 150 атм.

Экспериментальная часть

Методика. В качестве источника γ -излучения служил изотоп Co^{60} активности 1,4 и 20 кюри. Облучение производилось в ампулах из молибденового стекла и периферической стали объемом от 10 до 500 см³. Перед заполнением ампулы тщательно промывались и сушились. О чистоте ампул судили по электропроводности растворов, полученных при их промывке.

Азот и кислород очищались и сушились в стандартных системах. Дозировка излучения осуществлялась по давлению, которое измерялось ртутными и мембранными манометрами. Температура в ампуле при облучении регулировалась электронным терморегулятором и измерялась термопарой.

После облучения в ампулу выпускали дважды дистиллированную воду. Затем ампула выдерживалась для поглощения окислов азота в течение нескольких суток.

Азотная и азотистая кислоты определялись колориметрически. Азотная кислота определялась по реакции с дисульфогеноловой кислотой и аммиаком, азотистая кислота — по реакции с γ -нафтиламином и сульфаниловой кислотой.

Оптическая плотность окрашенных растворов составляла для HNO_3 0,42 при длине волны света 4130 Å и для HNO_2 0,33 при 5080 Å при концентрациях 1 мг/л. Минимальные количества кислоты, которые можно было определить этим методом, составляли $\sim 10^{-3}$ мг. Закис азота определялась разгонкой сконденсированных окислов азота под вакуумом.

Количество поглощенной энергии γ -излучения определялось по дозиметрической реакции окисления двухвалентного железа в трехвалентное в растворах 0,8 N серной кислоты. В каждом опыте одновременно облучались в одинаковых условиях от 2 до 25 ампул, из которых 1—2 являлись дозиметрическими. В качестве дозиметрической была использована

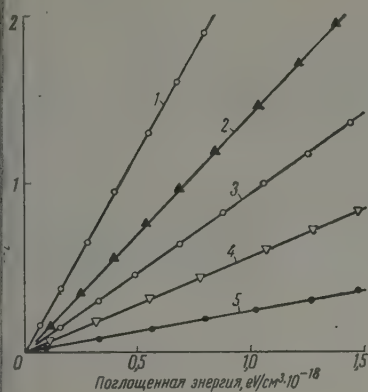


Рис. 1

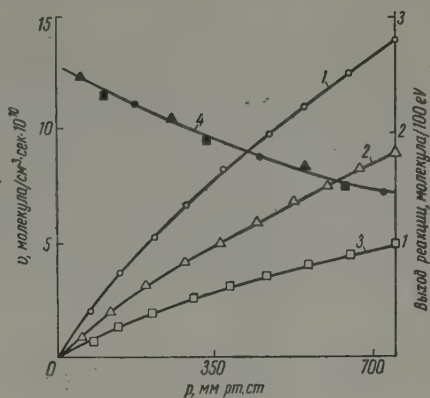


Рис. 2

1. Зависимость концентрации NO_2 от количества поглощенной энергии E . Экспозиция 73,5 часа, температура 20° , объем ампулы $31,5 \text{ см}^3$. Давление и состав: 1 — 100 мм рт. ст., 50% $\text{N}_2 + 50\% \text{O}_2$; 2 — 200 мм рт. ст., 80% $\text{N}_2 + 20\% \text{O}_2$; 3 — 400 мм рт. ст., 85% $\text{N}_2 + 15\% \text{O}_2$; 4 — 600 мм рт. ст., 90% $\text{N}_2 + 10\% \text{O}_2$; 5 — 730 мм рт. ст., 100% N_2 над поверхностью воды

2. Зависимость скорости реакции dc/dt и энергетического выхода G от давления. Экспозиция 93,6 часа, объем ампулы 31 см^3 , температура 15° . Максимальная интенсивность облучения и состав смеси: 1 — $5,9 \cdot 10^{14} \text{ eV/мин} \cdot \text{см}^3$, 20% $\text{O}_2 + 80\% \text{N}_2$; 2 — $10^{14} \text{ eV/мин} \cdot \text{см}^3$, 20% $\text{O}_2 + 80\% \text{N}_2$; 3 — $2,1 \cdot 10^{14} \text{ eV/мин} \cdot \text{см}^3$, 80% $\text{O}_2 + 20\% \text{N}_2$; энергетический выход реакции для зависимостей (1) — (3) (зачерненные точки соответствуют светлым)

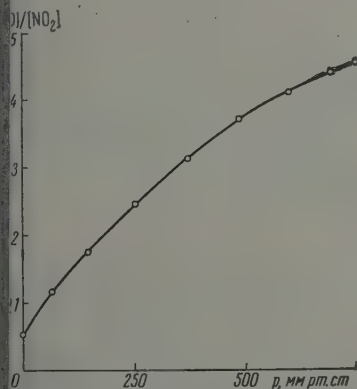


Рис. 3

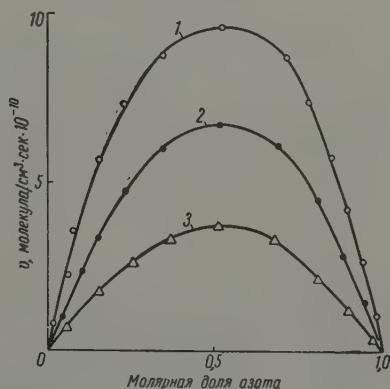


Рис. 4

3. Относительный выход закиси азота. Температура 20° , объем ампулы 31 см^3 , состав 80% $\text{N}_2 + 20\% \text{O}_2$, экспозиция 36 час., поглощенная энергия $1,2 \cdot 10^{16} \div \div 1,5 \cdot 10^{18} \text{ eV/см}^3$

4. Зависимость скорости реакции от молярной доли азота в газовой смеси. Экспозиция 28 час., объем ампулы $30,5 \text{ см}^3$, температура 22° . Интенсивность облучения и давление: 1 — $4,02 \cdot 10^{14} \text{ eV/мин} \cdot \text{см}^3$, 750 мм рт. ст.; 2 — $2,33 \cdot 10^{14} \text{ eV/мин} \cdot \text{см}^3$, 500 мм рт. ст.; 3 — $0,98 \cdot 10^{14} \text{ eV/мин} \cdot \text{см}^3$, 200 мм рт. ст.

зована также реакция окисления азота в газе при давлении 1 атм. Энергетические выходы этой реакции приведены в статье [3].

Результаты измерений. На рис. 1 приведена зависимость концентрации NO_2 от количества поглощенной энергии излучения. Как видно из рисунка, концентрация прямо пропорциональна поглощенной энергии. Максимальная концентрация NO_2 в этих опытах не превышает 0,1%.

На рис. 2 приведены зависимости скорости реакции и энергетического выхода от давления в пределах 0—750 мм рт. ст. при 15°. Как видно из рисунка, абсолютная скорость реакции увеличивается с давлением, однако гораздо слабее, чем это должно быть для реакции второго порядка.

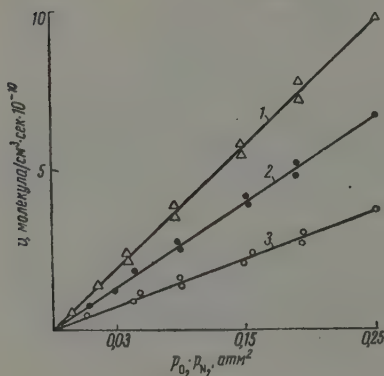


Рис. 5

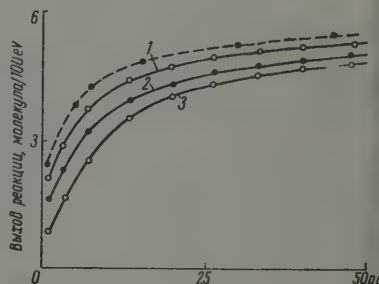


Рис. 6

Рис. 5. Выполняемость уравнения второго порядка — зависимость скорости реакции от произведения парциальных давлений. Экспозиция 28 час., поглощенная энергия: 1— $6,70 \cdot 10^{17}$; 2— $3,9 \cdot 10^{17}$; 3— $1,65 \text{ еВ/см}^3$

Рис. 6. Зависимость энергетического выхода реакции от давления. Температура 150°, объем ампулы 300 см^3 , экспозиция 20—80 час. Состав смеси: 1—50% N_2 + 50% O_2 ; 2—80% N_2 + 20% O_2 ; 3—90% N_2 + 10% O_2 . Пунктирная кривая: состав смеси 80% N_2 + 20% O_2 , температура 150°

Энергетический выход реакции несколько снижается с увеличением давления. Следовательно, скорость реакции, отнесенная к единице энергии, также уменьшается.

На рис. 3 приведена зависимость относительного выхода закиси азота N_2O от давления. Отношение выхода N_2O к выходу NO_2 растет с давлением.

На рис. 4 приведена зависимость скорости реакции от состава смеси при давлениях до 1 атм. Скорость реакции, как и в опытах с электронным пучком, имеет максимум при составе смеси 1:1, что соответствует второму порядку реакции. Выполняемость уравнения второго порядка для опытов с варьированием состава при давлениях до 1 атм иллюстрируется рис. 5.

На рис. 6 приведена зависимость выхода реакции от давления, которые величины приведены в табл. 1. Выход N_2O в 2—3 раза меньше, чем NO_2 . Эти результаты могут быть объяснены следующим образом: образование N_2O , по-видимому, происходит в основном в тримолекулярном процессе взаимодействия атома кислорода с молекулой азота при наличии третьего тела. В то же время образование NO_2 , как нами было установлено [1—6], идет при двойных соударениях. Поэтому относительный выход N_2O с ростом давления должен увеличиваться.

Таблица 1

Энергетический выход реакции окисления под действием γ -излучения Co^{60}

p , атм	t , °C	Состав смеси, азот : кислород	Выход N_2O , молекул/100 эВ	Выход N_2O_2 , молекул/100 эВ
0,00135	18	1 : 1	0,15	3,53
0,067	22	1 : 4	0,25	2,46
0,134	20	4 : 1	0,35	2,31
0,677	22	4 : 1	0,58	1,72
1	17,5	1 : 4	0,62	1,41
1	20	1 : 10	—	0,72
1	20	1 : 1	—	2,16
1	150	4 : 1	—	2,45
3	20	1 : 1	1,02	2,82
5	150	4 : 1	—	3,31
10	20	1 : 1	—	4,12
15	150	4 : 1	—	4,83
20	20	4 : 1	—	4,31
25	20	4 : 1	—	4,50
30	150	4 : 1	—	5,15
45	150	4 : 1	3,20	5,45
50	20	10 : 1	2,87	4,80
100	20	1 : 1	—	5,32
150	20	1 : 1	—	5,60

Обсуждение результатов

В то время как зависимость скорости реакции от состава смеси удовлетворяет уравнению второго порядка, зависимость ее от общего давления заметно отклоняется от этого закона уже при давлениях, меньших 1 атм. Это же относится к энергетическому выходу реакции, который при небольшой концентрации продуктов реакции пропорционален ее скорости [7].

Если бы удовлетворялось уравнение второго порядка в отношении скорости от общего давления, то энергетический выход был бы пропорционален общему давлению. Действительно: $G \sim v/E$, где v — скорость реакции, E — поглощенная энергия. Так как при действии γ -излучения $E \sim p$, а $v \sim p^2$, то $G \sim p$. В действительности, как это видно на рис. 6, только небольшой начальный участок кривых $G - p$ удовлетворяет линейной зависимости. Вся же кривая соответствует зависимости, более слабой, чем $G \sim \sqrt{p}$.

При давлениях же, меньших 1 атм, выход реакции вообще не растет, а падает с ростом давления, как это видно из рис. 2.

В работе [4] было показано, что наблюдавшиеся различия в значениях константы скорости при низких и атмосферном давлениях могут быть объяснены, если учесть, что с повышением давления начинают заметно проявляться процессы рекомбинации противоположно заряженных ионов, которые приводят к уничтожению ионов N_2^+ и, следовательно, к уменьшению скорости реакции и энергетического выхода.

Причина отклонений от второго порядка, наблюдающихся в этой области, также, по-видимому, обусловлена этими процессами.

В статье [4] было показано, что если учесть процессы рекомбинации ионов, то константа скорости второго порядка начинает зависеть от давления. Имеет место следующая приближенная зависимость:

$$k \approx a \sqrt{T/\alpha p}, \quad (1)$$

где k — константа скорости реакции; T — температура, α — коэффициент рекомбинации ионов; p — давление; a — коэффициент, зависящий от свойств газов и параметров излучения.

Величина коэффициента рекомбинации ионов α зависит от давления. По данным [8—11] для воздуха α растет с увеличением давления приблизительно до 1—2 атм, затем, пройдя через максимум, падает с повышением давления. Такая зависимость α от давления качественно согласуется с зависимостями энергетического выхода реакции от давления, приведенными на рис. 2 и 6.

Сопоставим количественные зависимости $\alpha = f(p)$, соответствующие этим результатам и определенные непосредственными измерениями. Для этого, используя соотношение (1) и уравнение скорости реакции $v = k p_{O_2} \cdot p_{N_2}$ и учитывая, что энергетический выход реакции $G \sim v$, получим

$$\alpha = [bN(1 - N)]^2 \frac{pT}{G^2},$$

где N — молярная доля одного из газов, например кислорода, коэффициент b включает константу скорости и зависит от свойств излучения облучаемой среды.

Уравнение (2) позволяет, таким образом, проверить зависимость коэффициента рекомбинации ионов от давления, пользуясь экспериментальными данными для энергетического выхода реакции при различных давлениях.

В табл. 2 приведены результаты расчета по уравнению (2) из данных по окислению азота в смеси, соответствующей по составу воздуху. Там же приведены значения этой величины по определениям Ланжевена [9] и Тиркилля [10].

Таблица 2

Зависимость коэффициента рекомбинации от давления
в воздухе

p, мм рт. ст.	Энергетич. выход реакции окислен. азота молекула/100 eV	Коэффициент рекомбинации ионов см ³ /сек·10 ⁶	
		по данн. окисл. азота	по данн. работ [8—10]
500	1,72	0,84	1,33
600	1,60	1,16	1,46
700	1,50	1,54	1,52
760	1,55	1,57	1,56
1520	1,75	2,46	1,74
2280	2,22	2,27	1,56
3040	2,82	1,88	1,24

Как видно из таблицы, в обоих случаях коэффициент рекомбинации имеет максимум при давлении 1—2 атм. Значения α соответствуют друг другу и по порядку величины. Точного совпадения, естественно, ожидать нельзя, так как при выводе уравнения (1) в работе [4] была принята упрощенная схема механизма реакции, и сделан ряд приближений. Кроме того, конечно, имеют значение неточности в измерениях.

Тот факт, что рассчитанные, исходя из уравнения второго порядка реакции, величины правильно передают зависимость коэффициента рекомбинации от давления, указывают на то, что отклонения от второго порядка при повышении давления действительно связаны с изменением коэффициента рекомбинации ионов.

Рассмотрим особенности этих процессов при высоких давлениях. В этом случае схема механизма реакции должна учитывать также процессы, которые не рассматривались для малых давлений в работе [4], в которой была выведена формула (1). Это процессы 2), 3), 5), 7) и 9), вероятность которых становится достаточно большой при высоких давлениях:

Процесс	Константа скорости
1) $N_2 \xrightarrow{\gamma} N_2^+ + e$	k_1
2) $N_2 \xrightarrow{\gamma} N_2^* \rightarrow 2N$	k_2
3) $O_2 \xrightarrow{\gamma} O_2^* \rightarrow 2O$	k_3
4) $N_2^+ + O_2 \rightarrow NO^+ + NO$	k_4
5) $N + O_2 + M \rightarrow NO_2 + M$	k_5
6) $N_2^+ + O_2^- \rightarrow 2N + O_2$	k_6
7) $N + O + M \rightarrow NO + M$	k_7
8) $N_2^+ + O_2^- \rightarrow N_2 + O_2$	k_8
9) $N_2^+ + O_2 \rightarrow N_2 + O_2^+$	k_9
$N_2 + OE_2 \xrightarrow{\gamma} 2NO$	k

Рассматривая процесс как стационарный, получим для промежуточных частиц:

$$\frac{d[N_2^+]}{dt} = k_1 [N_2] - (k_4 + k_9) [N_2^+] [O_2] - (k_6 + k_8) [N_2^+] [O_2^-] = 0; \quad (3)$$

$$\frac{d[N]}{dt} = k_2 [N_2] + 2k_6 [N_2^+] [O_2^-] - (k_5 [O_2] + k_7 [O]) [N] [M] = 0; \quad (4)$$

$$\frac{d[O]}{dt} = k_3 [O_2] - k_7 [N] [O] [M] = 0. \quad (5)$$

К условиям стационарности (3) — (5) следует добавить условие электронейтральности газа:

$$[O_2^-] \approx [N_2^+] + [O_2^+], \quad (6)$$

условие равновероятности ионизации:

$$(1 - N) [O_2^+] \approx N [N_2^+]. \quad (7)$$

Обоснование этих приближений приведено в статье [1].

Из уравнений (3) — (7) получаем выражения для стационарных концентраций промежуточных частиц:

$$[N_2^+] = \sqrt{r^2 p^2 - s p} - r p; \quad (8)$$

$$[N] = \frac{k_2 (1 - N) - k_3 k_7}{N k_5} \frac{1}{P} + \frac{2k_6}{1 - N} (2r^2 p - s - 2r \sqrt{r^2 p^2 - s p}) P; \quad (9)$$

$$[O_2^-] = \frac{1}{1 - N} \sqrt{r^2 p^2 - s p} - \frac{r}{1 - N} P; \quad (10)$$

$$[O] = \frac{k_1 N}{\frac{t}{P} + \frac{2k_6}{1 - N} (2r^2 p - s - 2r \sqrt{r^2 p^2 - s p}) P}, \quad (11)$$

постоянные r, s, t равны

$$r = \frac{N (1 - N) (k_4 + k_9)}{2 (k_6 + k_8)}; \quad (12)$$

$$s = \frac{k_1 (1 - N)^2}{k_6 + k_8}; \quad (13)$$

$$t = \frac{k_2 (1 - N) - k_3 k_7}{N k_5}. \quad (14)$$

Подставляя значения концентраций промежуточных частиц в уравнение для скорости образования NO по реакциям (4), (5) и (7), получаем:

$$v = \left(c - \frac{d}{\alpha p} \right) p^2, \quad (15)$$

где

$$c = \frac{4k_6 r^2}{1-N} - k_4 N r - \left(\frac{4k_6 r}{1-N} - k_4 N \right) \sqrt{r^2 - \frac{s}{p}};$$

$$d = (2k_1 k_6 - k_2 k_8)(1-N).$$

Пренебрегая зависимостью (16) от давления, можно записать для эффективной «константы второго порядка» выражение:

$$k \approx c - \frac{d}{\alpha p}.$$

Аналогично предыдущему, используя уравнения (15) и (18), выражая коэффициент рекомбинации через энергетический выход реакции

$$\alpha = \frac{e}{fp - G},$$

где e, f — постоянные.

В табл. 3 сопоставлены результаты расчета зависимости α от давления по формуле (19), исходя из данных о зависимости энергетического выхода от давления, приведенных в табл. 1 и на рис. 6.

Ввиду того что коэффициент α имеет сложную природу, расчет проведен в относительных единицах. Данные сопоставлены с величинами коэффициента рекомбинации ионов в воздухе для соответствующих давлений, рассчитанных по данным Мехлера [11]. Как показывает сопоставление, обе зависимости хорошо согласуются.

Таким образом наблюдаемые отклонения от уравнения второго порядка должны быть отнесены в основном за счет зависимости коэффициента рекомбинации ионов от давления.

Таблица 3
Зависимость коэффициента рекомбинации от давления при
высоких давлениях

p, атм	Энергетический выход реакции, молекула/100 eV	Коэффициент рекомбинации ионов, отн. ед.	
		расч. по (19)	опыт
10	3,60	1,00	1,00
15	4,02	0,65	0,69
20	4,27	0,48	0,50
25	4,50	0,38	0,40

Выражаем благодарность Е. И. Золотареву, Е. В. Большун, З. И. Ветвикиной и Ф. М. Раппопорт за помощь при проведении измерений.

Выводы

1. Исследован процесс окисления азота под действием γ -излучения при давлениях от 1 мм рт. ст. до 150 атм и температурах 15—25° и 150°.
2. Количество образовавшейся NO_2 пропорционально продолжительности и интенсивности облучения. Отношение N_2O к NO_2 увеличивается с повышением давления.
3. При увеличении давления до 1 атм энергетический выход падает. Выше 1 атм выход растет и достигает 5—6 молекул NO_2 на 100 eV при 150 атм.
3. Зависимость скорости реакции от состава смеси соответствует уравнению второго порядка. Зависимость скорости реакции и энергетическо

кода от давления отклоняется от второго порядка. Основная причина, способствующая это отклонение, заключается в рекомбинации ионов.

4. Даны зависимости между константой скорости реакции и коэффициентом рекомбинации ионов.

Физико-химический институт
им. Л. Я. Карпова
Москва

Поступила
9.VII.1958

ЛИТЕРАТУРА

- М. Т. Дмитриев, С. Я. Пшежецкий, Сб. «Действие ионизирующих излучений на неорганические и органические системы», Изд-во АН СССР, Москва, 1958, стр. 145, 171.
- М. Т. Дмитриев, С. Я. Пшежецкий, Ж. физ. химии, **33**, 463, 1959.
- С. Я. Пшежецкий, М. Т. Дмитриев, Атомная энергия, **3**, 350, 1957.
- М. Т. Дмитриев, С. Я. Пшежецкий. Тр. 1-го Всесоюзного совещания по радиационной химии, Изд-во АН СССР, Москва, 1958, стр. 26.
- М. Т. Дмитриев, Ж. физ. химии, **32**, 2418, 1958.
- С. Я. Пшежецкий, М. Т. Дмитриев, Докл. АН СССР, **103**, 647, 1955.
- С. Я. Пшежецкий, М. Т. Дмитриев, Ж. физ. химии, **32**, 2686, 1958.
- P. Langevin, Ann. chim. phys., **28**, 433, 1903.
- L. L. Hendren, Phys. Rev., **21**, 314, 1905.
- H. Thirkill, Proc. Roy. Soc., **88A**, 490, 1913.
- W. Mächler, Z. Phys., **104**, 1, 1937.

RADIATION OXIDATION OF NITROGEN

V. THE KINETICS OF NITROGEN OXIDATION INDUCED BY γ -RADIATION AND THE PART PLAYED BY ION REKOMBINATION

M. T. Dmitriev and S. Ya. Pshezhetskiĭ (Moscow)

S u m m a r y

The oxidation of nitrogen induced by γ -radiation has been investigated at pressures ranging from 1 mm Hg to 150 atm. The amount of NO_2 formed is proportional to the duration and intensity of the irradiation. The ratio of N_2O to NO_2 grows with the pressure. With increase in pressure from 1 mm. to 1 atm. the energy yield decreases. Above 1 atm. the yield grows, attaining a value of 5—6 molecules NO_2 at 150 atm. The N_2O yield at 150 atm. and 150° is 2.5—3.5 molecules per 100 eV.

Up to 1 atm. the dependence of the reaction rate upon the gas composition is in line with second order kinetics. The dependence of the rate upon the pressure deviates from second order. This is mainly due to the increasing importance of the recombination of negative and positive ions, causing a fall in the reaction rate. This result is in agreement with the previously elucidated part played by the formation of nitrogen ions in the reaction. Quantitative correlations between the rate constant of the reactions and the coefficient of recombination of the ions have been presented.

ИССЛЕДОВАНИЕ СТРОЕНИЯ РАДИКАЛОВ У ВЕЩЕСТВ, ПОЛУЧЕННЫХ ПРИ АЛКИЛИРОВАНИИ АРОМАТИЧЕСКИХ УГЛЕВОДОРОДОВ СПИРТАМИ В ПРИСУТСТВИИ ТРЕХФТОРИСТОГО БОРА

Ю. П. Егоров, И. А. Ромадан, В. А. Шляпочников
и Н. И. Шуйкин

В ряде ранее опубликованных работ [4—6] одним из нас описан метод алкилирования ароматических углеводородов молекулярными соединениями спиртов с трехфтористым бором в две стадии. В первой стадии готовились молекулярные соединения насыщенным сухих спиртов E при охлаждении льдом. Затем полученные соединения, отвечающие формуле $2\text{ROH} \cdot \text{BF}_3$, употреблялись без предварительной перегонки для реакции алкилирования ароматических углеводородов. Реакция проводилась при температурах $165\text{—}170^\circ$ при атмосферном давлении и при тех же температурах под давлением паров реагирующих веществ в автоклаве. Бензол и толуол этим методом алкилируются только в автоклаве при $180\text{—}230^\circ$ и давлении $50\text{—}110$ атм в зависимости от природного спирта.

В литературе имеются многочисленные работы, относящиеся к алкилированию ароматических соединений олефинами и спиртами в присутствии трехфтористого бора или его соединений с промоторами. Наиболее часто в качестве активаторов употребляются вода, фосфорный ангидрид, серная, фтористоводородная и фосфорная кислоты. Как правило, реакции алкилирования в присутствии BF_3 проводятся при довольно низких температурах с применением растворителя. Некоторыми исследователями было показано, что комплексы, приготовленные с участием BF_3 , в процессе реакции вызывают изомеризацию нормальных радикалов во вторичные, а изо-радикалов в третичные. Так, в работе [7], при алкилировании бензола пропиленом в присутствии комплекса $\text{BF}_3 \cdot \text{H}_2\text{SO}_4$ был получен изопропил- и 1,4-диизопропилбензолы. Изомеризация наблюдалась также в работе [8] при алкилировании моноалкилбензолов спиртами в присутствии BF_3 и P_2O_5 в качестве промотора. Например, при алкилировании толуола *n*-бутиловым спиртом получен пара-вторичный бутилтолуол с выходом 90%. В работе [9] было найдено, что бензол с *n*-бутиловым спиртом образует вторичный бутилбензол с выходом 73%, если в качестве катализатора берется BF_3 , а промоторами являются P_2O_5 , H_2SO_4 , $\text{C}_6\text{H}_5\text{—SO}_3\text{H}$. В работе [10] авторы нашли, что нормальный пропиловый и изопропиловый спирты дают с бензолом в присутствии BF_3 идентичный продукт — изопропилбензол. Было проведено изопропилирование бензола, толуола, изопропилбензола пропиленом в присутствии эфирата трехфтористого бора [11]. А. В. Топчиев, Я. М. Наушкин и М. В. Курашев [12] установили факт изомеризации радикалов, проведя алкилирование нафталина пропиленом и бутеном-1 в присутствии комплекса $\text{BF}_3 \cdot \text{H}_3\text{PO}_4$. При этом были получены изопропилнафталин и вторичнобутилнафталин.

Наши данные, полученные при алкилировании нафталина и дифенила молекулярными соединениями типа $2\text{ROH} \cdot \text{BF}_3$, не согласуются с выводами ряда авторов. Видимому, реакции, проводимые в отсутствие активаторов, идущие в сравнительно жестких условиях (температура $165\text{—}170^\circ$), осуществляются через иной механизм. Так, в предыдущих наших работах [1—3] было найдено, что в реакциях алкилирования нафталина и дифенила нормальными спиртами, проводимых при атмосферном давлении, получают алкилнафталины и алкилдифенилы с нормальными радикалами. Например, при алкилировании нафталина *n*-бутиловым, *n*-амиловым и *n*-пропиловым спиртами получались алкилнафталины с нормальными радикалами. Строение *n*-бутилнафталина подтверждено методом спектроскопии [13] и специальным методом дейт-обмена в физико-химическом институте им. Л. Я. Карпова в лаборатории А. П. Котенштейна. При алкилировании изобутиловым и изоамиловым спиртами и при атмосферном давлении образуются бутил- и амилнафталины и дифенилы, содержащие вторичные радикалы. Если же реакция проводилась под давлением $25\text{—}30$ атм, а в ка-

алкилирующих агентов брались соединения типа $2 \text{ROH} \cdot \text{BF}_3$, либо спирты и катализатор $\text{BF}_3 \cdot \text{H}_3\text{PO}_4$, то во всех опытах наблюдались превращения нормальных радикалов во вторичные, а радикалов изостроения — в третичные. При алкилировании нафта- и дифенила нормальными пропиловым, бутиловым и гексиловым спиртами были получены соответствующие алкилпроизводные с вторичными радикалами. С изобутилом и изоамиловым спиртами образовались кристаллические вещества: 1,4-ди-*m*-бутилнафталин, 1,4-ди-*m*-амилнафталин, *n*-трет.-бутилдифенил и *n*-трет.-бутилдифенил. Из них первый и четвертый известны в литературе [14, 15]. Отсюда можно сделать вывод, что при указанных условиях реакция проходит через образование промежуточных олефинов, как и в цитированных выше работах.

Весьма интересное наблюдение сделано при проведении реакции алкилирования бензола различными спиртами. Реакция с бензолом осуществлялась при 200—230° и давлении 90—110 атм [6]. Было найдено, что при алкилировании бензола нормальным пропиловым спиртом получался изопропилбензол с выходом 60—70%. Вместе с ним получался диизопропилбензол с выходом 20—32%. Нормальный бутиловый спирт при вторичный бутилбензол, выход которого составлял 66—70% и ди-вторичнобутилбензолы с выходом 20—22%. По аналогии с предыдущими опытами следовало ожидать, что изоспирты дадут алкилбензолы с третичными радикалами. Однако вопреки ожиданиям в реакциях алкилирования изобутиловым и изоамиловым спиртами были получены алкилбензолы с теми же самыми радикалами, что и у исходных спиртов. Интересно отметить и еще один экспериментальный факт: при алкилировании бензола нормальными спиртами получают алкилбензолы с вторичными радикалами и одновременно с ними образуются побочные продукты: простые эфиры с нормальными радикалами. При проведении реакций с *n*-пропиловым и *n*-бутиловым спиртами в некоторых случаях были получены ди-*n*-пропиловый и ди-*n*-бутиловый эфиры с выходами 25—40% по расчете на исходный спирт.

На основании полученных данных пока трудно объяснить механизм реакции алкилирования изоспиртами. Можно лишь только предполагать, что здесь также реакции проходят через промежуточное образование олефинов. Однако возможен и иной механизм реакции с выделением воды за счет гидроксильной группы спирта и водорода бензольного кольца.

Строение соединений, полученных указанными выше способами, подтверждено методом инфракрасной спектроскопии. Главная цель спектрального исследования заключалась в определении структуры боковой цепи, для чего была использована область коротких валентных СН-колебаний (2800—3000 см^{-1}).

На основании нашего экспериментального материала [13, 16] мы были вправе ожидать, что для моноалкилзамещенных бензолов, нафталинов и дифенилов влияние ароматических ядер на валентные СН-колебания цепочки будет достаточно малым. Самым важным, с данной точки зрения, в известной мере подобен парафиновому углеводороду. Как показал опыт, это утверждение справедливо при $n \geq 3$. Известно, что в ин-

Константы веществ, исследованных инфракрасной спектроскопией

Название веществ	Т. кип./давл.		Т. застывания, °C	d_4^{20}	n_D^{20}
	°C	мм			
пропилбензол	152/758	—	—	0,8614	1,4907
изопропилбензол	206—207/754	—	—	0,8550	1,4865
вторичный бутилбензол	173/757	—	—73	0,8619	1,4898
вторично-бутилбензол	257/752	—	—	0,8528	1,4854
н-бутилбензол	172,5/752	—	—49	0,8537	1,4878
изобутилбензол	239/754	—	—	0,8461	1,4847
амилбензол	191,7/751	—	—	0,8738	1,4900
изопропилнафталин	82,4/0,7	—	—	0,9783	1,5860
Ди-изопропилнафталин	293/760	—	130	—	—
вторично-бутилнафталин	87,7/0,2	—	—7,7	0,9657	1,5778
Ди-вторично-бутилнафталин	324/756	—	—	0,9497	1,5557
рет.-бутилнафталин	70/0,1; 271/756	—	—5,2	0,9677	1,5783
Ди- <i>m</i> -рет.-бутилнафталин	107/0,7	—	132	—	—
рет.-амилнафталин	85/0,3; 284/760	—	—	0,9660	1,5763
Ди- <i>m</i> -рет.-амилнафталин	312/760	—	119	—	—
изопропилдифенил	98,3/0,6	—	—	0,9798	1,5698
н-Ди-изопропилдифенил	108/0,4	—	—	0,9907	1,5562
вторичный бутилдифенил	300/758	—	+13	0,9681	1,5698
н-Ди-вторично-бутилдифенил	—	—	—	—	—
рет.-бутилдифенил	103/0,15	—	52	0,9680	1,5718
н-Ди- <i>m</i> -рет.-бутилдифенил	114/0,1	—	126	0,9691	1,5548
рет.-амилдифенил	107/0,1	—	46	—	—

фракрасных спектрах поглощения и спектрах комбинационного рассеяния алканов иются полосы, положение которых характеризует колебания в CH , CH_2 и CH_3 -группах, а интенсивность количественно связана с числом соответствующих групп. Отделение числа метильных и метиленовых групп в молекуле дает некоторую возможность установления ее структуры. В литературе имеется ряд работ [16—21], где с известным успехом использована область валентных CH -колебаний для решения этой задачи и в которых показано, что пиковая интенсивность полос поглощения $2930 \pm 5 \text{ см}^{-1}$ и $2965 \pm 5 \text{ см}^{-1}$, относящихся к CH_2 - и CH_3 -группам соответственно, линейно

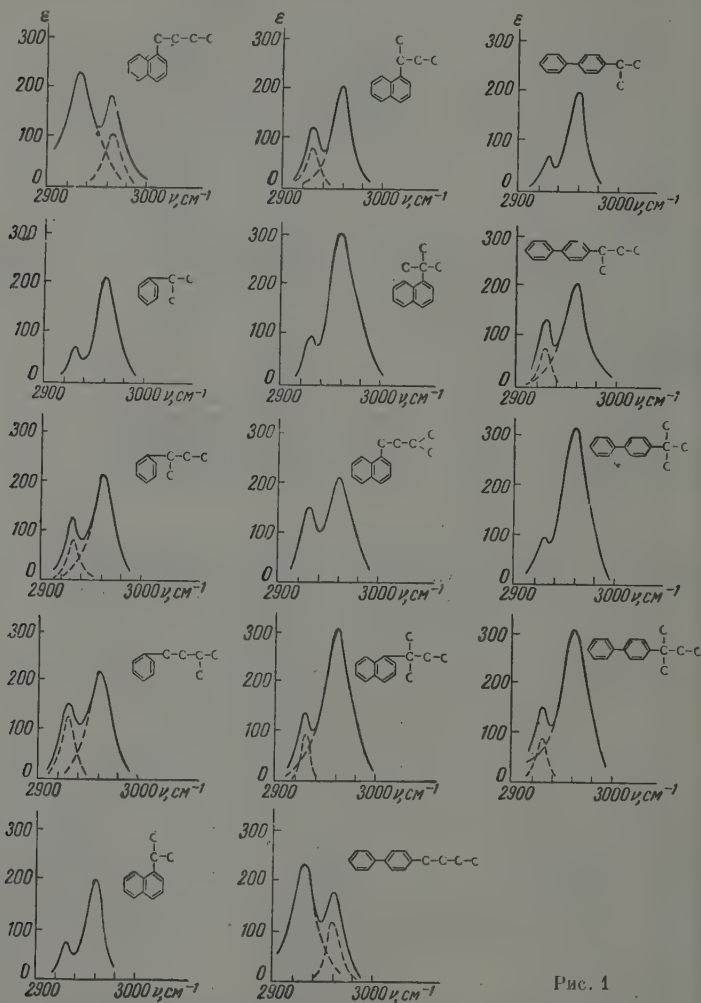


Рис. 1

зависит от числа этих групп. Особенно четко это показано для полосы 2930 см^{-1} . Имеются также данные, позволяющие предполагать, что для полосы 2965 см^{-1} сохраняется та же закономерность, которая в пределах практической точности не зависит от степени разветвленности алкана [20, 22]. Основываясь на вышеизложенном, мы и провели настоящее исследование.

Экспериментальная часть

Спектры алкилнафталинов и дифенилов, константы которых приведены в таблице, получены на инфракрасном спектрометре ИКС 1 с призмой LiF , с постоянной шириной входной и выходной щели, равно

3 мм. Источник типа глобар питался переменным током силой 10А; напряжение, подаваемое на усилитель ФЭУ-15, составляло 1,8 В. Использовалась кювета постоянной толщины 0,05 мм. Вещества исследовались в растворе CCl_4 ; концентрация подбиралась такой величины, чтобы оптическая плотность $D = 0,45-0,65$. Оценка интенсивности проводилась измерением отклонений гальванометра на полосе поглощения (I) и фоне (I_0) — в эталонном CCl_4 в этой же области.

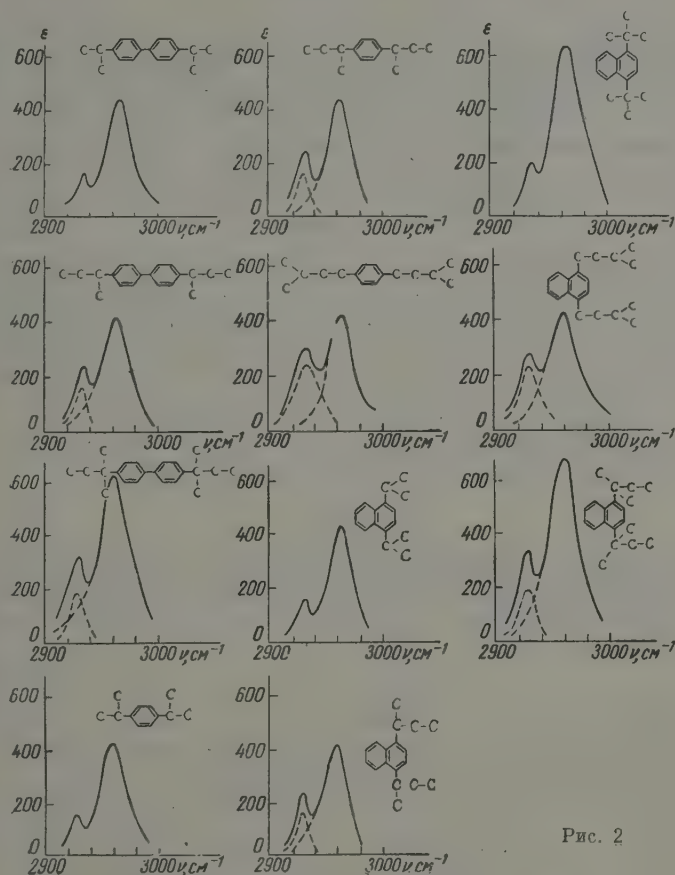


Рис. 2

Метод оценки разветвленности. Результаты измерений для всех исследованных соединений приведены на рис. 1, 2; $E = f(\nu)$, коэффициент молярного поглощения определяется уравнениями:

$$E = \frac{D}{cd}; \quad (1)$$

$$D = \lg \frac{I_0}{I}, \quad (2)$$

c — концентрация в г-моль/л; d — толщина слоя в сантиметрах, ν — волновое число в см^{-1} .

Сравнивая ряды спектров моно-алкилзамещенных бензолов, дифенилов и нафталинов (рис. 1), можно заметить, что спектральная картина области $2900-3000 \text{ см}^{-1}$ определяется только характером радикала.

Для одинаковых радикалов спектры повторяются как качественно, так и количественно. Таким образом предположение о слабом взаимном влиянии алкильных радикалов и ароматических ядер действительно подтверждается.

Интенсивность полосы 2965 см^{-1} пропорциональна числу метильных групп, например: для нормального радикала с одной СН_3 -группы $E = 100$ единицам, а для *трет.*-амильного $E = 300$ единицам. То же наблюдается для полосы 2930 см^{-1} , интенсивность которой прямо пропорциональна числу СН_2 -групп: для *трет.*-амильного радикала $E = 700$ единицам, а для *n*-бутильного $E = 220$ единицам. Для получения этих количественных данных необходимо было учитывать взаимное перекрывание полос поглощения, которое было выполнено в предположении симметричности полос, аналогично [24]. На рис. 1 и 2 в ряде случаев пунктиром показано разделение пиков. Вводимые обычно в расчеты интенсивностей поправки на конечную ширину щели нами не использовались, так как при данных условиях (область $2900\text{--}3000\text{ см}^{-1}$, щель $0,13\text{ мм}$) величина поправки незначительна; интенсивность изменяется примерно $1,5\text{--}2\%$.

Для радикалов, относительно строения которых имелись некоторые сомнения, были проведены более детальные исследования по обычным спектральным методикам [18, 22]. Так, например, для изоамилбензола проводилось изучение спектра в области скелетных СС -колебаний. Отсутствие поглощения около 1250 см^{-1} показало, что четвертичного атома углерода в молекуле не имеется.

У пара-дизамещенных ароматических соединений (рис. 2) указанная закономерности полностью сохраняются и интенсивность полос поглощения оказывается соответственно увеличенной в два раза.

Выводы

На основании исследования инфракрасных спектров в области валентных СН -колебаний показана возможность определения структуры радикала в соединениях типа $\text{Ar} - \text{R}$, где Ar — фенил, дифенил и нафтил, а R — алкильные группы от C_3 до C_6 .

Поступила
17.IX.1958

ЛИТЕРАТУРА

1. И. А. Ромадан, Т. И. Рандель, Ж. общ. химии, **26**, 202, 1956.
2. И. А. Ромадан, Ж. общ. хим., **27**, 1838, 1957.
3. И. А. Ромадан, Ж. физ. химии, **27**, 1939, 1957.
4. И. А. Ромадан, Ю. Э. Пелчер, О. А. Витол, Изв. АН Латв. ССР, **143**, 1957.
5. И. А. Ромадан, Э. Я. Грикитс, Н. И. Шуйкин, Изв. АН СССР, **705**, 1959.
6. И. А. Ромадан, Ю. Э. Пелчер, Ж. общ. химии, **29**, 203, 1959.
7. S. J. Slanina, F. Y. Sowa, J. A. Nieuwland, J. Amer. Chem. Soc., **57**, 1548, 1935.
8. Ch. E. Welsh, G. F. Hennion, J. Amer. Chem. Soc., **63**, 2603, 1941.
9. N. E. Taussaint, C. E. Hennion, J. Amer. Chem. Soc., **62**, 1145, 1940.
10. J. F. McKenna, F. J. Sowa, J. Amer. Chem. Soc., **59**, 470, 1937.
11. F. E. Condon, J. Amer. Chem. Soc., **71**, 3544, 1949.
12. А. В. Топчиев, Я. М. Паушкин, М. В. Курашов, Докл. АН СССР, **108**, 95, 1956.
13. И. А. Ромадан, Н. И. Шуйкин, Ю. П. Егоров, Изв. АН СССР, **648**, 1957.
14. И. П. Цукерваник, И. В. Терентьева, Ж. общ. химии, **7**, 637, 1938; A. E. Tschitschibabin, S. Elgesin, V. Lengold, Bull. Soc. chim. France, **43**, 238, 1928.
15. E. Schreiner, J. prakt. Chem., **81**, 423, 1910.
16. Ю. П. Егоров, В. А. Шляпочников, О. М. Нефедов, Химия и технология топлив и масел, № 9, 59, 1959.
17. S. H. Nasting, A. T. Watson, R. B. Williams, Analyt. Chem., **24**, 612, 1952.

R. N. Jones, Spectrochim. acta, 9, 235, 1957.

Ю. П. Егоров, Ал. А. Петров, Ж. аналит. химии, 11, 483, 1956.

Ю. П. Егоров, Диссертация, МГУ, 1957.

Е. И. Покровский, Ж. физ. химии, 32, 1410, 1958.

G. B. Sutherland, J. Chem. Phys., 15, 153, 1947.

INVESTIGATION OF THE RADICAL STRUCTURE OF SUBSTANCES PRODUCED
IN THE ALKYLATION OF AROMATIC HYDROCARBONS BY ALCOHOLS
IN THE PRESENCE OF BORON TRIFLUORIDE

*Yu. P. Egorov, I. A. Romadan, Y. A. Shlyapochnikov and
N. I. Shuikin (Moscow)*

S u m m a r y

On the basis of an investigation of the infrared absorption spectra in the CH frequency region it has been shown possible to determine the radical structure of compounds of type $\text{Ar} - \text{R}$, where Ar is phenyl, diphenyl and naphthyl and R an alkyl group from C_3 to C_5 .

ИЗУЧЕНИЕ АДсорбЦИИ АНИОНОВ СУЛЬФОКИСЛОТ ЖИРНОГО РЯДА НА РТУТНОМ ЭЛЕКТРОДЕ И ВЛИЯНИЕ ЭТИХ АНИОНОВ НА КИНЕТИКУ ЭЛЕКТРОДНЫХ ПРОЦЕССОВ

*Б. Б. Дамаскин, Н. В. Николаева-Федорович
и Р. В. Иванова*

Многие органические соединения адсорбируются на границе между металлом и раствором электролита. Как было показано еще Гуи [1] адсорбция органических веществ снижает пограничное натяжение на границе ртуть/раствор. Величина адсорбции нейтральных органических веществ зависит от величины скачка потенциала между адсорбирующей поверхностью и раствором, и при больших зарядах поверхности происходит десорбция органических молекул с поверхности ртути. В этом случае на электрокапиллярных кривых, снятых в присутствии добавок органических веществ, наблюдаются более или менее резкие изломы, которым на кривых зависимости дифференциальной емкости от потенциалов должны соответствовать пики емкости, связанные с резким изменением емкости двойного слоя в узком интервале потенциалов.

Теория десорбции органических молекул с поверхности электродов при больших зарядах поверхности была изложена в работах А. Н. Фрумкина [2]. Экспериментально десорбционные пики емкости впервые были обнаружены М. А. Проскуриным и А. Н. Фрумкиным [3].

В области потенциалов адсорбции поверхностно-активных веществ имеет место резкое снижение емкости двойного слоя до значений порядка $4-5 \text{ мФ/см}^2$ и ниже, а при больших как положительных, так и отрицательных зарядах поверхности кривые дифференциальной емкости сближаются с кривыми, снятыми в растворе без добавки поверхностно-активных веществ.

В настоящее время имеется уже большое число работ по изучению методом дифференциальной емкости строения адсорбционного слоя, а также кинетики процесса адсорбции органических веществ на поверхности электрода [4—12]. Наиболее подробно этот вопрос был разобран в работе А. Н. Фрумкина и В. И. Мелик-Гайказяна [6]. Изучая частотную зависимость величин дифференциальной емкости в области десорбционных пиков в растворах, содержащих нормальные спирты предельного ряда В. И. Мелик-Гайказян на основе развитой А. Н. Фрумкиным теории показал, что замедленной стадией в процессе адсорбции этих спиртов является стадия диффузии молекул спирта к поверхности ртути. В. И. Мелик-Гайказян наблюдал образование полимолекулярных слоев на поверхности ртутного электрода в случае растворов *n*-октилового и *n*-гексилового спиртов [7]. Образование полимолекулярных слоев сопровождается еще более значительным понижением емкости (до $0,9 \text{ мФ/см}^2$), причем минимум углубляется с уменьшением концентрации электролита и, наоборот, становится менее выраженным при добавлении в раствор поливалентных катионов.

Большие органические катионы, как, например, $[(C_4H_9)_4N]^+$, ведут себя аналогично нейтральным молекулам, хотя десорбция катионов с отрицательно заряженной поверхности происходит при более отрицательных потенциалах, чем десорбция нейтральных молекул [13].

Пики наблюдаются на кривой зависимости дифференциальной емкости потенциала в присутствии органических веществ и в случае твердых электродов. Однако, согласно данным В. Л. Хейфеца и Б. С. Красико- [8], десорбция органических веществ с твердой поверхности является столь полной, как в случае ртути, так как часть адсорбированных молекул остается на поверхности.

Экспериментальная часть

Методика. В настоящей работе методом измерения зависимости дифференциальной емкости от потенциала изучалась адсорбция на ртутном электроде анионов сульфокислот жирного ряда с числом углеродных атомов, равным 6, 9, 12, 14, 16 и 18 *. Другие соли, использовавшиеся в работе, были дважды перекристаллизованы из бидистиллата и прока- чаны.

Измерение дифференциальной емкости проводилось на установке, принципиальная схема которой существенно не отличалась от схем, опи- санных в работах [5, 6]. Исследуемым электродом служила височая ртутная капля, окруженная для равномерной поляризации платиновым цилиндром. По данным зависимости дифференциальной емкости от вре- мени нами было показано, что время образования адсорбционного слоя достаточно мало при небольшой длине углеродной цепи. Таким образом измерения емкости производились нами через 30 сек. после образования новой ртутной поверхности. В случае добавок $C_{16}H_{33}OSO_3Na$ емкость пе- рестаёт изменяться спустя 60 сек., а в случае $C_{18}H_{37}OSO_3Na$ спустя 90 сек. после образования новой ртутной капли. Приведенные в работе значения дифференциальной емкости в присутствии этих сульфосолей были измерены соответственно через $1\frac{1}{2}$ и 5 мин. после образования чистой поверхности ртути.

Электродом сравнения в наших измерениях служил нормальный ка- мельный электрод; все значения потенциалов приведены в работе вольтах против н. к. э. Опыты проводились при $25^\circ \pm 0,1^\circ$. Одна серия опытов для повышения растворимости солей сульфокислот проводилась при $30^\circ \pm 0,1^\circ$.

Результаты измерений дифференциальной емкости.** На рис. 1 приведены кривые дифференциальной емкости, измеренные в чистом 0,01 N сульфате натрия (пунктирная кривая), а так- же миллинормальными добавками гексилсульфокислого, нонилсульфо- кислого и додецилсульфокислого натрия. Как видно из рисунка, при положительном заряде ртутного электрода уже в случае гексилсульфата натрия наблюдается заметная адсорбция аниона $C_6H_{13}OSO_3^-$, приводящая к исчезновению минимума, связанного с диффузностью двойного слоя. Из точки нулевого заряда, а также к снижению дифференциальной емкости при $\varphi = -0,2$ от $39,2 \mu F/cm^2$ в случае 0,01 N раствора Na_2SO_4 до $20,2 \mu F/cm^2$ в случае добавки к этому раствору 10^{-3} N $C_6H_{13}OSO_3Na$. В более положительных потенциалах кривая емкости круто поднимает- ся вверх, что указывает на анионный характер адсорбции частицы $H_{13}OSO_3^-$. При $\varphi = -0,45$ на кривой дифференциальной емкости в при- сутствии гексилсульфата натрия имеет место максимум, связанный, оче- видно, с десорбцией аниона $C_6H_{13}OSO_3^-$ при переходе к отрицательным зарядам поверхности ртути. Аналогичные максимумы десорбции на кри-

* Натриевые соли указанных сульфокислот были любезно предоставлены в наше распоряжение директором Института органической химии при Берлинской Академии наук профессором Берчем (Н. Bertsch).

** После сдачи в печать настоящей статьи в Журнале Химического общества Япо- нии были опубликованы работы Еда (K. E d a, J. Chem. Soc., Japan, 80, 343, 347, 349, 1959), в которых приведены данные по дифференциальной емкости в растворах, содержащих натрийалкилсульфаты состава $C_8H_{17}OSO_3Na$; $C_{10}H_{21}OSO_3Na$; $C_{12}H_{25}OSO_3-$ и $C_{14}H_{29}OSO_3Na$.

вых дифференциальной емкости вблизи точки нулевого заряда наблюдал Миллер и Грэм [9] в случае анионов поликислоты, структурной единицей для которой служила молекула $\text{NHCH}(\text{CH}_2\text{CH}_2\text{COOH})\text{CO}$, т. е. с относительно малым числом углеродных атомов (равным 5) на единицу отрицательного заряда. В случае добавки нонилсульфата натрия (кривая адсорбции аниона $\text{C}_9\text{H}_{19}\text{OSO}_3^-$ наблюдается в более широком интервале потенциалов. Так, максимум емкости, связанный с десорбцией аниона нонилсульфокислоты с поверхности ртути, находится при $\varphi = -0$

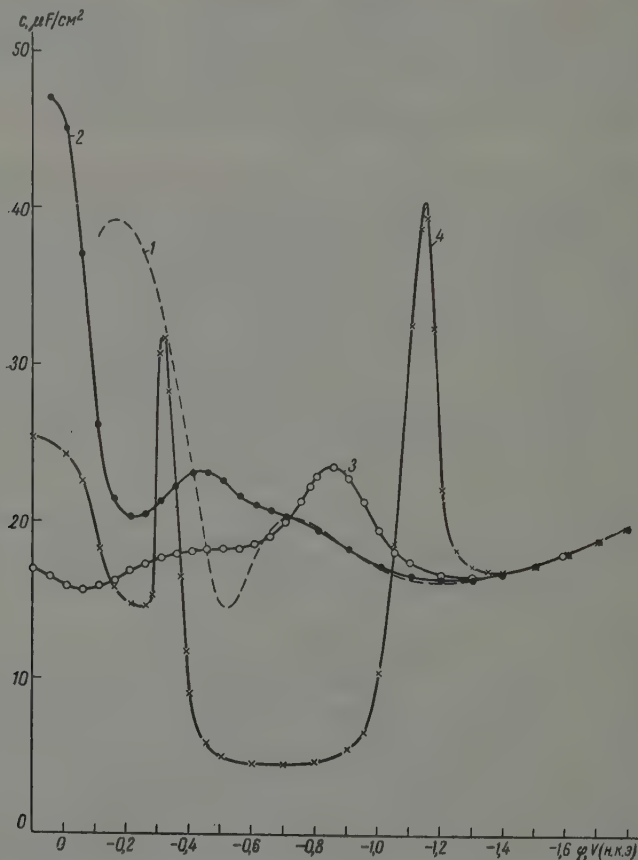


Рис. 1. Кривые дифференциальной емкости в растворах при 400 гц и 25°: 1—0,01 N Na_2SO_4 , 2—0,01 N $\text{Na}_2\text{SO}_4 + 10^{-3}$ N $\text{C}_6\text{H}_{13}\text{OSO}_3\text{Na}$; 3 — 0,01 N $\text{Na}_2\text{SO}_4 + 10^{-3}$ N $\text{C}_9\text{H}_{19}\text{OSO}_3\text{Na}$; 4 — 0,01 N $\text{Na}_2\text{SO}_4 + 10^{-3}$ N $\text{C}_{12}\text{H}_{25}\text{OSO}_3\text{Na}$

Характерно также уменьшение емкости при адсорбции аниона $\text{C}_9\text{H}_{19}\text{OSO}_3^-$ до величины $15,5 \mu\text{F}/\text{cm}^2$, что связано с увеличением числа углеродных атомов в адсорбирующемся анионе. При переходе к 10^{-3} N добавке $\text{C}_{12}\text{H}_{25}\text{OSO}_3\text{Na}$ характер адсорбции аниона сульфокислоты на поверхности ртути резко меняется. Как видно из рис. 1 (кривая 4), в этом случае кривой дифференциальной емкости имеются два отчетливо выраженных пика, из которых катодный пик при $\varphi = -1,14$ несомненно является пиком десорбции поверхностно-активного аниона, так как при более отрицательных потенциалах кривая емкости сливается с кривой, снятой в чистом 0,01 N растворе сульфата натрия. Что касается анодного пи-

кривой дифференциальной емкости при $\varphi = -0,31$, то его нельзя связать с процессом адсорбции аниона $C_{12}H_{25}OSO_3^-$, поскольку при более положительных потенциалах кривая емкости лежит гораздо ниже кривой, снятой в растворе $0,01\text{ N Na}_2\text{SO}_4$ без добавки поверхностно-активного агента. Это обстоятельство указывает на наличие адсорбции аниона додецилсульфокислоты уже при $\varphi = 0,1$, что вполне естественно при учете отрицательного заряда адсорбирующейся частицы. Таким образом, наблюдаемый на кривой дифференциальной емкости пик при $\varphi = -0,31$ связан изменением характера адсорбции аниона $C_{12}H_{25}OSO_3^-$ на поверхности платинового электрода.

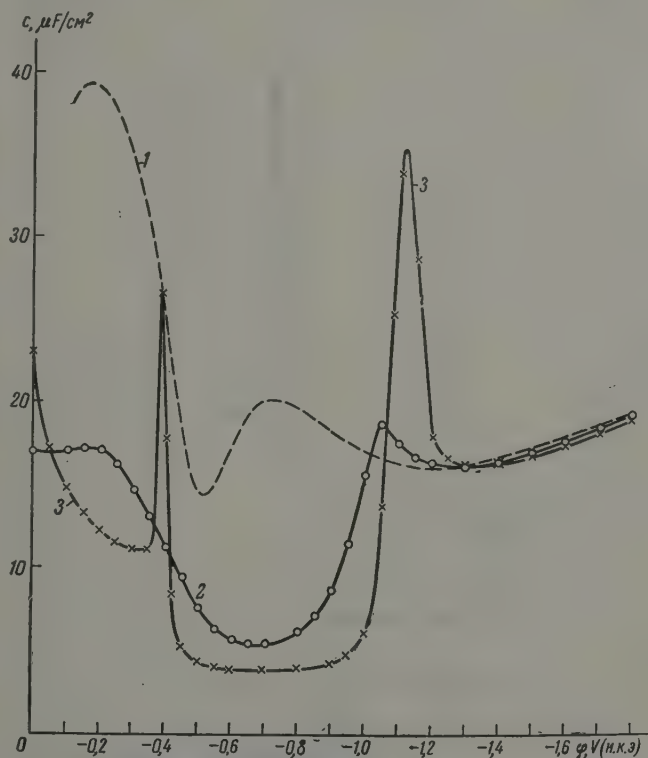


Рис. 2. Кривые дифференциальной емкости в растворах при 400 гц и 25°:
 1 — $0,01\text{ N Na}_2\text{SO}_4$; 2 — $0,01\text{ N Na}_2\text{SO}_4 + 10^{-4}\text{ N C}_{12}\text{H}_{25}\text{OSO}_3\text{Na}$;
 3 — $0,01\text{ N Na}_2\text{SO}_4 + 10^{-4}\text{ N C}_{14}\text{H}_{29}\text{OSO}_3\text{Na}$

Как видно из рис. 2 (кривая 2), изменение характера адсорбции аниона $H_{25}OSO_3^-$ при переходе к более отрицательным зарядам поверхности и более низкой концентрации сульфосоли не сопровождается пиком емкости, а имеет место плавное изменение дифференциальной емкости 17,1 до 5,3 $\mu\text{F}/\text{cm}^2$ в интервале потенциалов от $-0,2$ до $-0,65$. На рис. 2 приведена также кривая дифференциальной емкости, измеренная в $0,01\text{ N}$ растворе Na_2SO_4 с добавкой тетрадецилсульфата натрия в концентрации 10^{-4} N (кривая 3). Увеличение числа углеродных атомов в анионе сульфокислоты приводит к заметному увеличению адсорбируемости аниона $H_{25}OSO_3^-$ по сравнению с анионом $C_{12}H_{25}OSO_3^-$. Таким образом кривая дифференциальной емкости, снятая в растворе $0,01\text{ N Na}_2\text{SO}_4 + 10^{-4}\text{ N C}_{14}\text{H}_{29}\text{OSO}_3\text{Na}$ (рис. 2), во многом аналогична кривой емкости в растворе $0,01\text{ N Na}_2\text{SO}_4 + 10^{-3}\text{ N C}_{12}\text{H}_{25}\text{OSO}_3\text{Na}$ (рис. 1). Изменение

характера адсорбции аниона $C_{14}H_{29}OSO_3^-$ также сопровождается ярким выраженным пиком емкости при $\varphi = -0,38$.

Аналогичного вида кривые дифференциальной емкости были получены также в случае насыщенных растворов гексадецилсульфата и октадецилсульфата натрия. Измерения проводились на фоне $0,01 N$ сернокислого натрия. Полученные результаты приведены на рис. 3. Уменьшение интервала потенциалов, в котором наблюдается адсорбция анионов сульфокислоты, сопровождаемая резким снижением емкости, при переходе

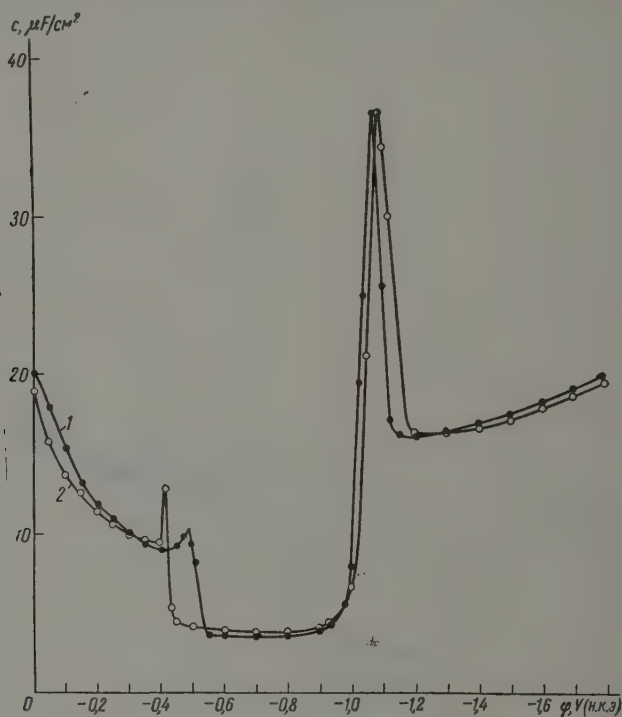


Рис. 3. Кривые дифференциальной емкости в растворах при 400 гц и 25° : 1 — $0,01 N Na_2SO_4 + \text{насыщ. } C_{18}H_{37}OSO_3Na$; 2 — $0,01 N Na_2SO_4 + \text{насыщ. } C_{16}H_{33}OSO_3Na$;

от аниона $C_{14}H_{29}OSO_3^-$ к аниону $C_{18}H_{37}OSO_3^-$, по-видимому, связано с тем, что при увеличении длины углеродной цепи. В то же время значения минимальной емкости уменьшаются при переходе к сульфосолям с большей углеродной цепью и в случае октадецилсульфата натрия достигают значения $3,5 \mu F/cm^2$ (рис. 4).

На рис. 4 приведены кривые дифференциальной емкости, снятые в миллинормальных растворах додецилсульфокислого натрия при концентрациях Na_2SO_4 , равных $0,1$; $0,25$ и $1 N$. Как видно из рисунка, в $0,1 N$ сульфате натрия катодный пик десорбции аниона $C_{12}H_{25}O_2^-$ заметно расширяется (ср. с рис. 1) и на нем отчетливо виден перегиб при $\varphi = -1,08$. В более концентрированных растворах фона катодный пик емкости полностью распадается на два пика, из которых правый с увеличением концентрации фона растет и сдвигается в отрицательную сторону, а левый снижается и сдвигается в сторону положительных

диалов. В 1 *N* растворе Na_2SO_4 разница между потенциалами пиков достигает величины 290 мВ. Наоборот, в случае 0,01 *N* раствора Na_2SO_4 , это видно из рис. 1, пики емкости сливаются в один пик, имеющий, видно, сложную природу. Как видно из рис. 4, увеличение концентрации фона приводит также к заметному снижению анодного пика и к сдвигу в сторону отрицательных потенциалов. Таким образом при увеличе-

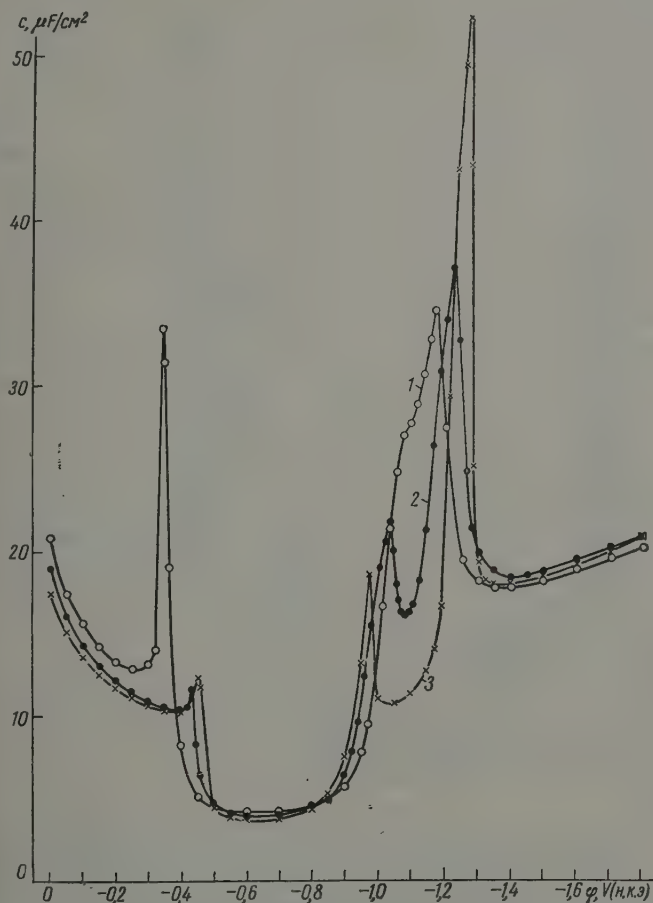


Рис. 4. Кривые дифференциальной емкости в растворах при 400 гц и 25°: 1—0,1 *N* Na_2SO_4 + 10^{-3} *N* $\text{C}_{12}\text{H}_{25}\text{OSO}_3\text{Na}$; 2—0,25 *N* Na_2SO_4 + 10^{-3} *N* $\text{C}_{12}\text{H}_{25}\text{OSO}_3\text{Na}$; 3—1 *N* Na_2SO_4 + 10^{-3} *N* $\text{C}_{12}\text{H}_{25}\text{OSO}_3\text{Na}$

концентрации фона увеличивается общий интервал потенциалов, в котором наблюдается адсорбция на ртути аниона $\text{C}_{12}\text{H}_{25}\text{OSO}_3^-$, и уменьшается интервал потенциалов, где адсорбция этого аниона вызывает уменьшение емкости двойного электрического слоя до величин порядка $4 \mu\text{F}/\text{cm}^2$. Необходимо также отметить понижение минимальной емкости при одной и той же концентрации сульфосоли (10^{-3} *N*) с ростом концентрации фона. При переходе от 0,01 к 1 *N* раствору Na_2SO_4 минимальная емкость уменьшается от 4,4 до 3,6 $\mu\text{F}/\text{cm}^2$.

Нами были также измерены величины дифференциальной емкости в $10^{-3} N$ $C_{12}H_{25}OSO_3Na$ на фоне $0,5 N$ $LiCl$, $NaCl$ и $CsCl$ *. Полученные данные приведены на рис. 5. Из рисунка видно, что радиус катиона фонов очень сильно сказывается на форме кривых дифференциальной емкости в присутствии иона $C_{12}H_{25}OSO_3^-$. Общий характер изменения кривых емк

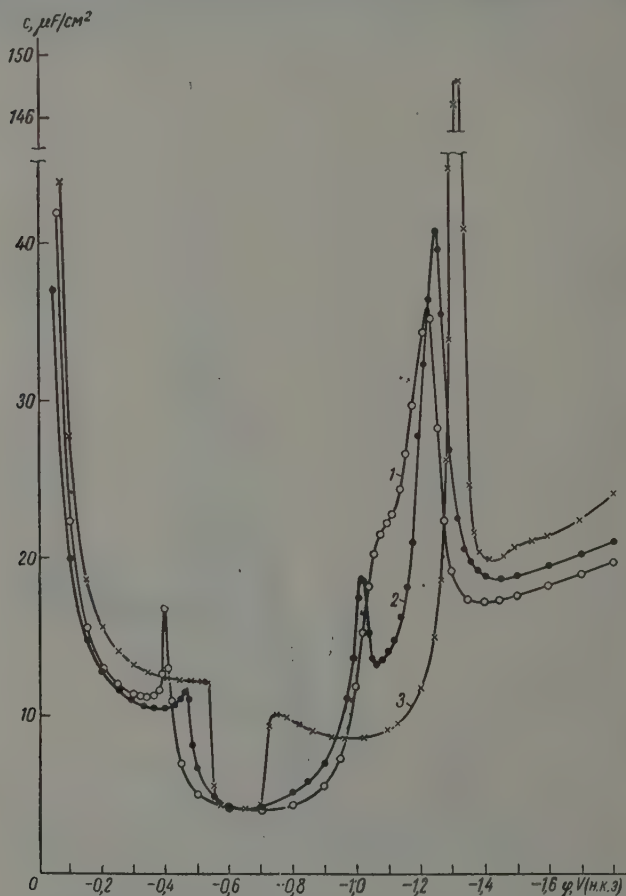


Рис. 5. Кривые дифференциальной емкости в растворах при 400 гц и 30° : 1— $0,5 N$ $LiCl + 10^{-3} N$ $C_{12}H_{25}OSO_3Na$; 2— $0,5 N$ $NaCl + 10^{-3} N$ $C_{12}H_{25}OSO_3Na$; 3— $0,5 N$ $CsCl + 10^{-3} N$ $C_{12}H_{25}OSO_3Na$]

сти двойного слоя при переходе от $LiCl$ к $CsCl$ аналогичен случаю увеличения концентрации фона. Действительно, с увеличением радиуса катиона фонов катодный пик десорбции распадается на два пика, из которых первый растет, достигая в случае $0,5 N$ $CsCl$ величины $148 \mu F/cm^2$, и сдвигается в сторону отрицательных потенциалов. Таким образом общий интер

* Интересно отметить, что калиевая соль додецилсульфокислоты растворима в воде в значительно меньших количествах, чем соответствующие соли лития, натрия и цезия. В связи с этим мы не смогли снять кривую дифференциальной емкости для $10^{-3} N$ раствора $C_{12}H_{25}OSO_3Na$ на фоне $0,5 N$ KCl .

енциалов адсорбции аниона $C_{12}H_{25}OSO_3^-$ расширяется при переходе $Li^+ \rightarrow Cs^+$, а интеграл потенциалов, где адсорбция анионов сульфокислот сопровождается минимальной емкостью, резко уменьшается.

Обсуждение результатов

Интересным результатом проведенных измерений являются обнаруженные нами на кривых дифференциальной емкости в определенных областях пики, не связанные с десорбцией анионов сульфокислот с поверхности ртути. Особенно отчетливо такой пик наблюдается на кривой емкости в растворе $10^{-3} N C_{12}H_{25}OSO_3Na + 10^{-2} N Na_2SO_4$ при потенциале $\varphi = -0,31$ (рис. 1). Изменение характера адсорбции анионов сульфокислот, сопровождаемое пиком емкости (для аниона $C_{12}H_{25}OSO_3^-$ при переходе через $\varphi = -0,31$), может быть связано либо с полимолекулярной адсорбцией этих анионов, либо с переориентацией адсорбированных частиц в двойном электрическом слое, либо, наконец, с образованием на поверхности ртути мицеллярной пленки, аналогичной пленкам, возникающим на поверхности растворов мыл [14].

Образование мицелл на поверхности водных растворов натриевых солей сульфокислот жирного ряда установлено экспериментально и описано в литературе [15]. В работе [15] образование мицелл наблюдалось на границе водных растворов натрийалкилсульфатов с *n*-гептаном. Однако, как указывается в работе, согласно неопубликованным данным одного из авторов [15], аналогичные результаты были получены на границе водных растворов с воздухом. Критическая концентрация c_k , начиная с которой имеет место мицеллообразование, для случая чистого раствора $H_{25}OSO_3Na$, определенная различными методами при 25° , равна $8,1 \cdot 10^{-3} N$ [16]. Однако в присутствии индифферентного электролита, благодаря эффекту высаливания, величина c_k заметно уменьшается. Так, согласно данным Бетса и Петика [17] c_k для $C_{12}H_{25}OSO_3Na$ в присутствии $1 N NaCl$ составляет при 22° $1,36 \cdot 10^{-3} N$. Наконец, по данным ряда исследователей [18], ассоциация ионов или мицеллообразование может иметь место также при концентрациях поверхностно-активного вещества, меньших c_k . Все эти данные делают весьма вероятным предположение об образовании в определенных условиях мицеллярной пленки на границе ртутного электрода с водными растворами натрийалкилсульфатов. Данные о значительном влиянии радиуса катиона фона (рис. 5) на адсорбцию анионов сульфокислоты, по-видимому, подтверждают это предположение, поскольку, согласно литературным данным, мыла, содержащие одни и те же анионы жирных кислот, но разные катионы, могут существенно различаться по своим свойствам [14].

Другой причиной пиков емкости, не связанных с полной десорбцией поверхностно-активных анионов с поверхности ртути, может быть полимолекулярная адсорбция анионов сульфокислоты. К этому предположению приводят данные, полученные в растворах $10^{-3} N$ додецилсульфата натрия при больших концентрациях индифферентного электролита (5 и $1 N$). В этом случае на кривых дифференциальной емкости (рис. 4) имеется область минимальных значений емкости, ограниченная с обеих сторон пиками, ни один из которых не может быть связан с полной десорбцией поверхностно-активного вещества с поверхности электрода. Более вероятно, что эти пики емкости связаны с десорбцией полислоев при увеличении заряда поверхности, а правый катодный пик связан с десорбцией оставшегося на поверхности монослоя. При уменьшении концентрации фона заряд поверхности уменьшается, и область полислоевой адсорбции расширяется. Таким образом происходит сближение двух катодных пиков, которые в растворе $0,01 N Na_2SO_4 + 10^{-3} N C_{12}H_{25}OSO_3Na$, наконец, сливаются в один пик полной десорбции. Однако величины минимальной емкости в наших измерениях (порядка $4 \mu F/cm^2$) очень близки

к значениям емкости, полученным В. И. Мелик-Гайказяном в случае мономолекулярной адсорбции *n*-гексилового и *n*-октилового спиртов в то же время в случае полимолекулярных слоев, образованных этими спиртами, емкость снижалась до значений от 2 до 0,9 $\mu\text{F}/\text{cm}^2$ [7]. Кроме того, наблюдаемая нами зависимость величины минимальной емкости от концентрации фона, а именно, уменьшение емкости с ростом концентрации

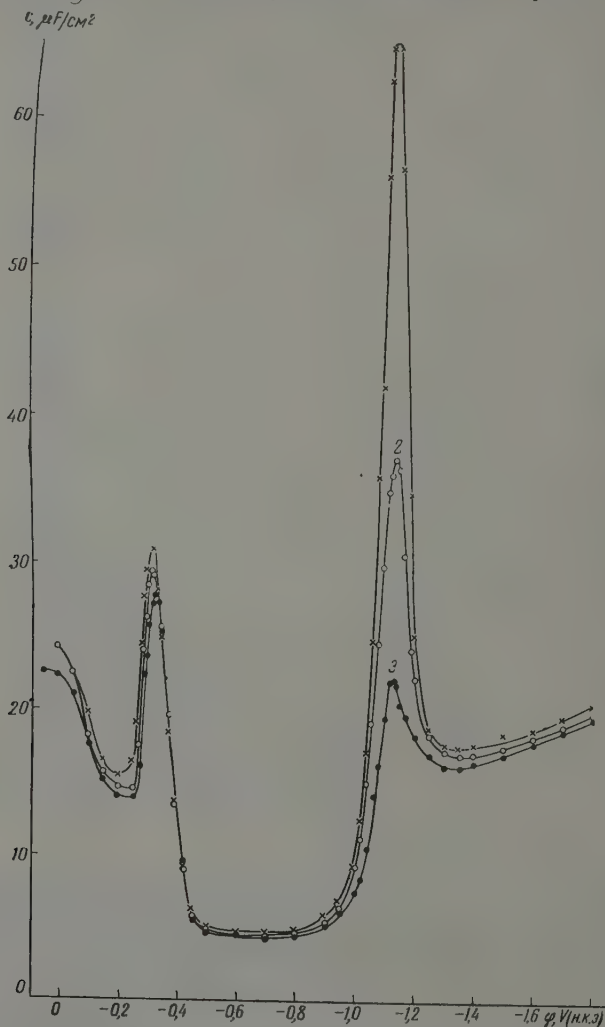


Рис. 6. Кривые дифференциальной емкости в растворе 0,01 N $\text{Na}_2\text{SO}_4 + 10^{-3} N$ $\text{C}_{12}\text{H}_{25}\text{OSO}_3\text{Na}$ при 25° и частотах: 1 — 20 гц; 2 — 400 гц, 3 — 10 000 гц

ции фона, также противоречит предположению об образовании полислоев, поскольку в случае полислоевой адсорбции алифатических спиртов [7] как уже указывалось выше, наблюдается обратная зависимость минимальной емкости от концентрации фона.

С целью выяснения природы пиков на кривых дифференциальной емкости в присутствии анионов сульфокислот нами были измерены вел

емкости в растворе $0,01 N Na_2SO_4 + 10^{-3} N C_{12}H_{25}OSO_3Na$ при следующих частотах переменного тока: 20, 100, 400, 1000, 5000 и 10 000 $гц$. Другие, полученные при частотах 20, 400 и 10 000 $гц$, приведены на рис. 6. Как видно из рисунка, частотная зависимость катодного пика десорбции аниона $C_{12}H_{25}OSO_3^-$ во много раз больше, чем зависимость от частоты анодного пика. Действительно, при переходе от частоты в 20 $гц$ к частоте 10 000 $гц$ емкость в катодном пике уменьшается от величины $64,7 \mu F/cm^2$ до значения $21,9 \mu F/cm^2$, в то время как изменение анодного пика составляет всего $3,1 \mu F/cm^2$ (от 30,8 до 27,7 $\mu F/cm^2$). Такое значительное различие зависимости пиков емкости от частоты переменного тока говорит о том, что пики на кривой дифференциальной емкости в растворе $0,01 N Na_2SO_4 + 10^{-3} N C_{12}H_{25}OSO_3Na$ связаны с различными процессами, протекающими на поверхности ртутного электрода.

Как было показано в работах Н. Фрумкина и В. И. Мелик-Гайканова [6], экспериментальные значения дополнительной емкости C_i в пиках в зависимости от частоты переменного тока хорошо укладываются на теоретическую кривую, рассчитанную в предположении, что замедленной стадией в процессе адсорбции органического вещества на поверхности ртути является стадия диффузии. В настоящей работе нами были проведены аналогичные расчеты. Согласно теории [6], величина дополнительной емкости C_i может быть вычислена по уравнению:

$$C_i = C_0 \frac{a\sqrt{\nu} + 2}{(a\sqrt{\nu} + 1)^2 + 1}, \quad (1)$$

где C_0 — дополнительная емкость при нулевой частоте ($\nu = 0$), а

$$a = 2 \cdot \sqrt{\frac{\pi}{D}} \left(\frac{\partial \Gamma}{\partial c} \right)_\varphi;$$

— коэффициент диффузии.

Если замедленной стадией в процессе адсорбции поверхностно-активного вещества является диффузия, то величины $(\partial \Gamma / \partial c)_\varphi$, а следовательно, и a не должны зависеть от частоты переменного тока ν . Значение C_0 определялось нами экстраполяцией экспериментальных данных на нулевую частоту, а величина a определялась из уравнения (1) для невысоких частот, где величины C_i достаточно велики, и ошибки в их определении минимальны.

На рис. 7 сплошной кривой показаны результаты расчета зависимости дополнительной емкости C_i от частоты по уравнению (1) для катодного пика десорбции в растворе $0,01 N Na_2SO_4 + 10^{-3} N C_{12}H_{25}OSO_3Na$, а также экспериментально найденные значения C_i . Как видно из рисунка, при частотах до 1000 $гц$ экспериментальные точки хорошо укладываются на теоретически рассчитанную кривую; однако при более высоких частотах наблюдаемая на опыте частотная зависимость заметно меньше той, которую предсказывает теория. В случае анодного пика опытная частотная зависимость

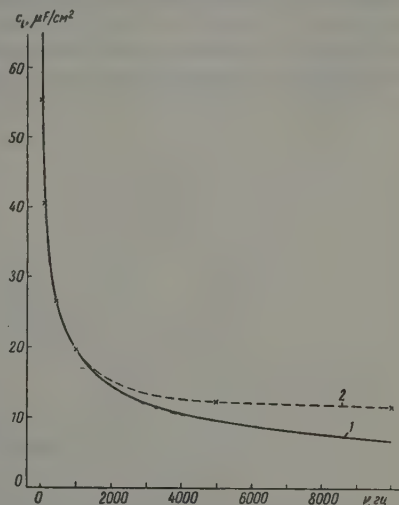


Рис. 7. Кривая зависимости дополнительной емкости от частоты для катодного пика в растворе $0,01 N Na_2SO_4 + 10^{-3} N C_{12}H_{25}OSO_3Na$; 1 — рассчитана по теории замедленной диффузии; 2 — экспериментальные данные

емкости не может быть объяснена ни медленностью стадии диффузии, ни медленностью адсорбционного процесса. Этот результат говорит о том, что анодный пик на кривых дифференциальной емкости в случае адсорбции анионов сульфокислот вызван не полислойной адсорбцией и связанной с ней диффузией анионов сульфокислоты к поверхности ртути, а каким-то другим более быстрым процессом, протекающим на ртутном электроде.

Таким процессом может быть переориентация адсорбированных анионов $C_{12}H_{25}OSO_3^-$ в двойном электрическом слое, возможно, с образованием

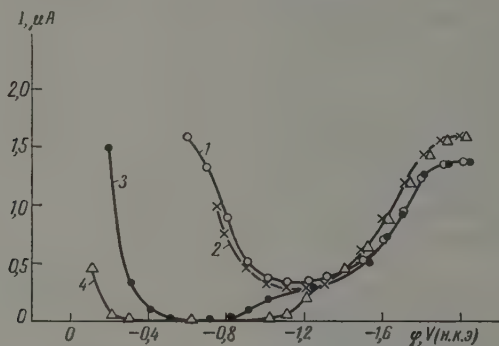


Рис. 8. Поляризационные кривые в растворах: 1 — $10^{-3} N K_2S_2O_8$; 2 — $10^{-3} N K_2S_2O_8 + 10^{-3} N Na_2SO_4$; 3 — $10^{-3} N K_2S_2O_8 + 10^{-4} N C_{12}H_{25}OSO_3Na$; 4 — $10^{-3} N K_2S_2O_8 + 10^{-3} N C_{12}H_{25}OSO_3Na$

мицеллярной пленки, при условии, что этот процесс происходит в узком интервале потенциалов. В этом случае области минимальной емкости будет соответствовать адсорбция аниона сульфокислоты, при которой углеводородная цепь направлена в сторону поверхности ртути. Уменьшение этой области при увеличении концентрации фона (рис. 4), а также при переходе от $LiCl$ к $CsCl$ (рис. 5), легко может быть объяснено выжиманием органической цепи из двойного слоя, которое будет тем больше, чем выше заряд поверхности ртутного электрода. С другой стороны, отклонение экспериментальных данных от рассчитанной кривой при частотах выше 1000 Гц говорит о более сложной природе катодного пика десорбции аниона $C_{12}H_{25}OSO_3^-$ по сравнению с аналогичными десорбционными пиками емкости в случае алифатических спиртов [6]. Этот вывод подтверждается раздвоением катодного пика при увеличении концентрации индифферентного электролита (рис. 4).

Если отказаться от представления о полислойной адсорбции, то левый катодный пик на кривых дифференциальной емкости в этом случае может быть объяснен разрушением поверхностной мицеллярной пленки, вероятность образования которой при высоких концентрациях фона достаточно велика. В заключение обсуждения экспериментальных результатов следует отметить, что хотя наиболее вероятной причиной изменения характера адсорбции анионов алкилсульфокислот на поверхности ртутного электрода является образование в определенных условиях мицеллярной пленки, тем не менее сложный механизм адсорбции этих анионов требует дальнейшего исследования.

Влияние добавок натрийалкилсульфатов и электровосстановление анионов. Как известно, адсорбция органических соединений может оказывать большое влияние на течение электрохимических процессов. В настоящей работе методом снятия

полярографических кривых нами было исследовано влияние натриевых солей указанных выше сульфокислот жирного ряда на кинетику восстановления аниона персульфата на ртутном капельном электроде. Все исследованные соли тормозят реакцию восстановления аниона $S_2O_8^{2-}$. На рис. 8 и 9 представлены поляризационные кривые восстановления персульфата калия в чистых растворах, а также в растворах с добавками децилсульфокислого натрия. Как видно из рисунков, при увеличении отрицательной поляризации торможение реакции снимается, и кривые с добавками сульфосоли сливаются с соответствующими кривыми для

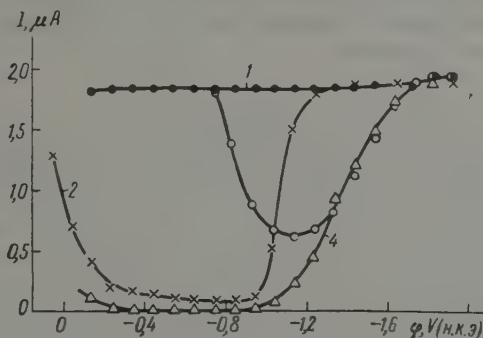


Рис. 9. Поляризационные кривые в растворах: 1— 10^{-3} N $K_2S_2O_8$ + 1 N Na_2SO_4 ; 2— 10^{-3} N $K_2S_2O_8$ + 1 N Na_2SO_4 + 10^{-3} N $C_{12}H_{25}OSO_3Na$; 3— 10^{-3} N $K_2S_2O_8$ + 0,01 N Na_2SO_4 ; 4— 10^{-3} N $K_2S_2O_8$ + 0,01 N Na_2SO_4 + 10^{-3} N $C_{12}H_{25}OSO_3Na$

чистых растворов. Потенциал, при котором прекращается действие добавок на реакцию электровосстановления аниона персульфата, в общем случае соответствует потенциалу десорбции, определенному из кривых дифференциальной емкости. Однако следует отметить, что полного совпадения потенциалов десорбции, определенных по кривым емкости, с потенциалами прекращения действия органических добавок на электровосстановление аниона $S_2O_8^{2-}$ ожидать нельзя, так как в последнем случае время образования адсорбционного слоя значительно меньше (5—6 сек. вместо 30 сек.). Более тонкие изменения в строении двойного слоя в присутствии добавок сульфосолей, на которые указывают наблюдаемые нами пики емкости, связанные с изменением характера адсорбции анионов сульфокислот на поверхности ртути, не сказываются на кинетике электровосстановления аниона персульфата. Эффективность действия добавок сульфосолей растет с увеличением их концентрации (рис. 8 и 9), а также с увеличением длины перодной цепи.

Торможение реакции при введении в раствор натрийалкилсульфатов наблюдается и в случае электровосстановления аниона $PtCl_4^{2-}$. В заключение считаем своим приятным долгом выразить благодарность акад. А. Н. Румкину за постоянное руководство и исключительное внимание к работе.

Выражаем благодарность директору Института органической химии и Берлинской Академии наук проф. Берчу за любезное предоставление нам использованных в работе натрийалкилсульфатов высокой степени чистоты.

Выводы

1. Изучена адсорбция на ртутном электроде анионов сульфокислот жирного ряда с числом углеродных атомов, равным 6, 9, 12, 14, 16 и 18. Показано, что при отрицательных потенциалах анионы сульфокислот де-

сорбируются с поверхности ртути. Потенциалы десорбции определяют по пикам на кривых дифференциальной емкости.

2. В определенных условиях на кривых дифференциальной емкости в растворах сульфосоей наблюдаются пики емкости, связанные не с десорбцией поверхностно-активных анионов, а с изменением характера адсорбции на поверхности ртутного электрода. Высказаны предположения о возможных механизмах перестройки двойного электрического слоя при изменении характера адсорбции анионов сульфокислот.

3. Все изученные анионы сульфокислот тормозят реакцию электровосстановления аниона $S_2O_8^{2-}$ во всей области потенциалов их адсорбции. Более тонкие изменения в строении двойного слоя в присутствии анионов сульфокислот не сказываются на кинетике электровосстановления аниона персульфата.

Поступила
2.X.1958

ЛИТЕРАТУРА

1. G. Gouy, Ann. chim. phys. [8], 8, 291, 1906; [8], 9, 75, 1906.
2. А. Н. Фрумкин, Тр. физ.-хим. ин-та им. Л. Я. Карпова, вып. 4, 56, 1956; вып. 5, 3, 1926.
3. М. А. Проскурнин, А. Н. Фрумкин, Trans. Far. Soc., 31, 110, 1935.
4. А. Ксенофонтов, М. Проскурнин, А. Городецкая, Ж. физ. химии, 12, 408, 1938.
5. D. C. Grahame, J. Amer. Chem. Soc., 68, 301, 1946.
6. А. Н. Фрумкин, В. И. Мелик-Гайказян, Докл. АН СССР, 77, 8, 1951; В. И. Мелик-Гайказян, Ж. физ. химии, 26, 560, 1952.
7. В. И. Мелик-Гайказян, Ж. физ. химии, 26, 1184, 1952.
8. В. Л. Хейфец, Б. С. Красиков, В. В. Сысоева и И. В. Гусев, Вестн. ЛГУ, сер. физ. и хим., 1956, № 22, 128; 1957, № 4, 127; 1957, № 4, 1957.
9. I. R. Miller, D. C. Grahame, J. Amer. Chem. Soc., 78, 3577, 1956; 3006, 1957.
10. R. S. Hansen, R. E. Minturn, D. A. Hickson, J. Phys. Chem., 60, 1185, 1956.
11. W. Lorenz, F. Möckel, Naturwissenschaften, 43, 197, 1956.
12. W. Lorenz, F. Möckel, Z. Elektrochem., 60, 507, 1956.
13. Н. В. Николаева-Федорович, Б. Б. Дамаскин, Тр. Совещ. по воздействию пов.-акт. веществ на электроосаждение металлов, Вильнюс, 1957, стр. 10.
14. Г. В. Виноградов, Успехи химии, 20, 533, 1951.
15. W. Klingu, H. Lange. The Second Intern. Congress. of surface activity, London, 1957, стр. 262.
16. R. J. Williams, J. N. Phillips, K. J. Mysels, Trans. Faraday Soc., 51, 728, 1955.
17. J. J. Betts, A. B. A. Pethica, The Second Intern. Congress of surface activity. London, 1957, p. 393.
18. G. Nilsson, ibid p. 341; Дж. Диксон, С. Джедсон, Д. Салливан, Мономолекулярные слои, ИИЛ, М., 1956, стр. 82.

A STUDY OF THE ADSORPTION OF ALIPHATIC SULFONATE ANIONS OF THE MERCURY ELECTRODE AND THE EFFECT OF THE ANIONS ON THE KINETICS OF THE ELECTRODE PROCESSES

B. V. Damaskin, N. V. Nikolaeva-Fedorovich and R. V. Ivanova (Moscow)

Summary

The adsorption of alkylsulfonate anions on the mercury electrode has been studied by the differential capacity method. It has been shown that the anions desorb from mercury surface at negative potentials, the process being accompanied by characteristic peaks on the differential capacity curves. Under certain conditions capacity peaks may be observed in sodium alkylsulfonates, not associated with desorption of the surface active anions, but with change in the character of their adsorption on the mercury surface. Assumptions have been advanced as to the possible mechanisms of change of the double layer with change in the character of the sulfonate ion adsorption, of which the most probable is the formation of a micellar film on the mercury surface. All alkylsulfonate anions retard the electroreduction of the $S_2O_8^{2-}$ and $PtCl_4^{2-}$ anions over the entire range of potentials of their adsorption.

ПРИМЕНЕНИЕ МЕТОДА ПОДОБИЯ ПРИ ИССЛЕДОВАНИИ ПРОЦЕССОВ ПЕРЕНОСА МАССЫ

А. Г. Усманов и А. Н. Бережной

Диффузионный и термодиффузионный перенос массы часто является основным содержанием процесса (испарение жидкости, смешение и разделение газов). В случае химических процессов, протекающих в промежуточной или диффузионной областях, кинетика диффузионного переноса массы частично или полностью определяет скорость процесса. Изучение термической диффузии в газах является одним из путей исследования взаимодействия между молекулами. В технике эффект термической диффузии используется для разделения газовых смесей. Поэтому изучение диффузионного и термодиффузионного переноса массы посвящено большому числу экспериментальных и теоретических исследований.

В настоящей работе эти вопросы рассматриваются с точки зрения подобия молекулярных процессов.

Подобие процессов молекулярного переноса. Условия подобия процессов макроскопического переноса изучены в такой степени, что методы подобия прочно вошли в практику повседневных исследований. В отношении процессов молекулярного переноса этого сказать нельзя. Дело в том, что уравнения Фурье, Пьютона и Фика, которыми мы пользуемся для расчетов, не могут быть положены в основу анализа условий подобия молекулярного переноса. Это объясняется тем, что коэффициенты переноса не являются постоянными величинами. Они зависят от температуры и давления, причем вид этой функциональной зависимости в общем случае неизвестен. Поэтому обычный путь анализа условий подобия, заключающийся в выяснении предположений инвариантности уравнений, описывающих процесс, в данном случае оказывается неприменимым. Указанное обстоятельство послужило причиной, заставившей искать другие пути анализа условий подобия молекулярных процессов. Такая попытка была сделана А. Г. Усмановым [1]. В настоящем разделе дается краткое изложение этой работы.

Процессы переноса относятся к категории необратимых. Для того чтобы описать состояние системы, в которой протекают эти процессы, разобьем ее на ряд элементарных макроскопических подсистем. Когда градиенты параметров не слишком велики, состояние каждой такой подсистемы в любой момент времени можно характеризовать определенными значениями параметров состояния. Воспользуемся для описания состояния любой из таких подсистем понятием о фазовом пространстве, которое характеризуется некоторым распределением плотности вероятности, являющейся функцией координат и импульсов молекул

$$\rho = \rho(q_i, p_i), \quad i = 1, 2, \dots, n. \quad (1)$$

В дальнейшем для упрощения записи индекса i будем опускать. Среднее значение любой функции координат и импульсов молекул подсистемы определяется уравнением

$$\overline{f(q, p)} = \int f(q, p) \rho(q, p) dq dp, \quad (2)$$

где $f(q, p)$ — значение некоторой функции координат и импульсов молекул подсистемы, соответствующей определенному микросостоянию $f(q, p)$ — значение этой же функции, усредненной по всем возможным микросостояниям подсистемы.

Рассмотрим две геометрически подобные подсистемы, содержащие одинаковое число молекул с равным числом степеней свободы. Последние условия необходимы для того, чтобы соответствующие фазовые пространства имели одинаковое число измерений. Условимся называть состояния подсистем подобными в том случае, если

$$\frac{f'(q, p)}{f''(q, p)} = C_f, \quad \frac{\overline{f'(q, p)}}{\overline{f''(q, p)}} = C_f. \quad (2)$$

Наличие подобия предполагает также, что

$$\frac{p'(q, p)}{p''(q, p)} = C_p, \quad \frac{\overline{p'(q, p)}}{\overline{p''(q, p)}} = C_p, \quad (3)$$

так как плотность распределения вероятностей является функцией координат и импульсов молекул и поэтому может рассматриваться как некоторый частный вид произвольной функции $f(q, p)$.

Имея в виду уравнение (2), условие (3) для усредненных значений функций $f(q, p)$ можно записать так:

$$\frac{\overline{f'(q, p)}}{\overline{f''(q, p)}} = \frac{\int f'(q, p) p'(q, p) dq' dp'}{\int f''(q, p) p''(q, p) dq'' dp''} = C_f. \quad (4)$$

В последнем уравнении, на основании (3) и (4), функции первой подсистемы можно заменить через аналогичные функции второй подсистемы. Тогда, имея в виду равенства элементов фазовых объемов этих подсистем, получим

$$\frac{\overline{f'(q, p)}}{\overline{f''(q, p)}} = C_f C_p \frac{\int f''(q, p) p''(q, p) dq'' dp''}{\int f''(q, p) p''(q, p) dq'' dp''} = C_f, \quad (5)$$

откуда следует, что константа подобия для функций распределения плотности вероятности может иметь единственное значение $C_p = 1$, что равнозначно требованию $p(q, p) = \text{idem}$ или в связи с уравнением (3) $\overline{p(q, p)} = \text{idem}$.

Полученное условие подобия является необходимым, но недостаточным. Оно не включает каких-либо требований к условиям однозначности, которые, по нашему мнению, должны учитывать свойства молекул и могут быть установлены в результате обобщения опытных данных.

Когда рассматриваемая подсистема изменяется, то фазовая точка перемещается, описывая какую-то траекторию. Если подсистема составляет часть системы, находящейся в равновесии, траектория фазовой точки лежит в тонком слое вблизи поверхности постоянной энергии. Если подсистема составляет часть неравновесной системы, тогда фазовая траектория не остается в пределах этого слоя. Поскольку движение фазовой точки происходит в некотором изменяющемся поле плотностей распределения вероятностей и поскольку плотность вероятности является величиной, определяющей подобие молекулярных процессов, естественно, что относительная скорость перемещения фазовой точки определяется изменением \overline{p} . Будем предполагать, что эта зависимость имеет вид

$$U_{\text{отн}} = \varphi(\text{grad } \overline{p}). \quad (6)$$

Средняя относительная скорость движения фазовой точки или, что равнозначно, средняя относительная скорость молекулярного процесса

дет

$$\bar{U}_{\text{отн}} = \Phi\left(\frac{\Delta \bar{p}}{l}\right) = \Phi\left[\frac{\bar{p}_1}{l}\left(\frac{\bar{p}_2}{\bar{p}_1} - 1\right)\right]. \quad (8)$$

В уравнениях (7) и (8) \bar{p} — значение плотности распределения вероятностей, соответствующее энергии подсистемы, усредненной по каноническому ансамблю; $\bar{U}_{\text{отн}} = \bar{U}_{\bar{p}_2 - \bar{p}_1} / \bar{U}_{\Delta \bar{p}}$ — отношение средних скоростей ионизации фазовой точки на участках фазовой траектории, соответствующих данному изменению плотности распределения вероятностей $\bar{p}_2 - \bar{p}_1$ масштабному изменению $\Delta \bar{p}$, отсчитанному от \bar{p}_1 ; l — относительный линейный размер, который в дальнейшем при рассмотрении стационарных процессов переноса принят равным единице, так как потоки рассчитываются только через единицу толщины газового слоя.

Уравнения (7) и (8) являются уравнениями подобия, так как под аком функции стоят только критерии подобия. Поэтому для подобных молекулярных процессов вид функций φ и Φ должен быть одинаковым. Разумеется, что при переходе от одной группы подобных процессов к другой вид этих функций будет изменяться.

Отметим, что изложенные представления были связаны с развитием процесса изменения состояния подсистемы во времени, и поэтому параметры \bar{p}_1 и \bar{p}_2 относились к различным моментам времени. Если рассматриваемый процесс развивается в пространстве (стационарный процесс), то сказанное выше остается в силе, только в этом случае \bar{p}_1 и \bar{p}_2 следует относить к различным макроскопическим элементам, между которыми рассматривается молекулярный обмен.

Используем приведенные представления для получения уравнений переноса в газах. В качестве плотности распределения вероятностей примем известное каноническое распределение Гиббса и запишем его в случае, соответствующего средней энергии подсистемы

$$\bar{p} = e^{(F - \bar{E})/kT} = e^{-S/k}. \quad (9)$$

Теперь уравнение (8) можно записать в виде:

$$\bar{U}_{\text{отн}} = \Phi[e^{S_1/R}(e^{(S_1 - S_2)/R} - 1)]. \quad (10)$$

Если все отсчеты производить от определенного значения \bar{p}_1 , что в данном случае соответствует S_1 , то при обобщении опытных данных первый множитель, стоящий под знаком функции в уравнении (10), каждой серии будет сохранять постоянное значение.

Поэтому (10) примет вид

$$\bar{U}_{\text{отн}} = \Phi\left(\frac{S_1 - S_2}{R}\right). \quad (11)$$

Последнее и следует принимать за основу при обобщении опытных данных по молекулярному переносу. В этом уравнении средняя относительная скорость сохраняет свой прежний смысл и применительно к различным частным проявлениям эффекта переноса должна приниматься как отношение потоков тепла $q/q_{\Delta S}$, потоков количества движения $\Delta t/\eta_{\Delta S}$ и диффузионных потоков $I/I_{\Delta S}$.

$\eta_{\Delta S}$, $\Delta t_{\Delta S}$, $q_{\Delta S}$, $I_{\Delta S}$ — масштабные потоки, т. е. потоки через единицу толщины газового слоя при изменении энтропии на границах, равном $S = S'_1 - S_1$; $\eta_{\Delta t}$, q , I — потоки через единицу толщины газового слоя при изменении энтропии на границах, равном $S_2 - S_1$.

Уравнение (11) определяет среднюю относительную скорость переноса, причем, независимо от формы проявления, эта скорость выражается через функцию от одних и тех же параметров.

Обобщения опытных данных по вязкости и теплопроводности ряда газов, водяного пара, проведенные на основе высказанных соображений дали удовлетворительный результат [2, 3].

Ниже приводятся результаты обобщений и примеры их использования для получения коэффициентов переноса массы.

Д и ф ф у з и я. Кинетика процесса диффузии характеризуется коэффициентом диффузии. Как известно, величина его зависит от температуры и концентрации смеси. Однако уравнения, отражающие эту зависимость несут или чисто эмпирический характер, или плохо согласуются с опытом. Самые надежные значения коэффициентов диффузии получаются экспериментальным путем. Тем не менее в настоящее время имеются только единичные данные по коэффициентам диффузии в газовой фазе. Последнее обстоятельство объясняется тем, что определение этих величин принадлежит к тонким и трудоемким экспериментам.

Расширение наших знаний на область, не охваченную экспериментом, может быть произведено путем интерполяции на основе методов подобия изложенных в первом разделе.

В основу обобщения опытных данных по диффузии паров было положено уравнение (11), которое применительно к процессам изотермической диффузии может быть записано в виде:

$$\frac{D}{D_{\Delta S}} = \varphi\left(\frac{S_1 - S_2}{R}\right), \quad (12)$$

где D и $D_{\Delta S}$ — средние коэффициенты диффузии соответственно в интервалах изменения энтропий S_2 — S_1 и ΔS .

При обобщении использовались опытные значения коэффициентов диффузии паров различных веществ в газах [4—12]. Большинство из них получено по методу стационарного процесса испарения в открытом цилиндре. Условия постановки опыта по этому методу позволяют легко рассчитать значения энтропий на концах диффузионного прибора, так как составы смеси непосредственно над испаряющейся жидкостью и у открытого конца цилиндра можно считать известными и постоянными в течение опыта.

Имеющиеся опытные данные относятся к довольно узкому интервалу температур, поэтому при обработке не удалось выполнить требование постоянства начала отсчета энтропий S_1 , вследствие чего обобщение было разбито на три серии. В каждой серии S_1 колеблется в относительно небольших пределах. Во всех случаях в качестве начала отсчета принято значение энтропий в слое парогazовой смеси над поверхностью испаряющейся жидкости.

Масштабные коэффициенты диффузии $D_{\Delta S}$ определялись следующим образом. Для пар: бензол — воздух, метилциклогексан — воздух, циклогексан — воздух, толуол — воздух были взяты опытные значения $D_{\Delta S}$. В остальных случаях приняты расчетные.

Результаты обобщения в координатах $D/D_{\Delta S}$ и $(S_1 - S_2)/R$ представлены на рис. 1 и 2. Отклонение опытных точек от кривых, отражающих функциональную зависимость (12), не превышает 2%.

В табл. 1 приведены значения коэффициентов диффузии, полученные из обобщенных зависимостей, в таком интервале температур, в котором отсутствуют опытные данные. Имеющиеся единичные экспериментальные значения коэффициентов диффузии хорошо согласуются с найденными из обобщенных зависимостей как для бинарных, так и для некоторых трехкомпонентных смесей.

Т е р м о д и ф ф у з и я. Эффект термической диффузии характеризуется величиной разделения или связанными с ним значениями термодиффузионной постоянной α и термодиффузионного отношения k_T . Эти величины обычно определяются опытным путем, поскольку теория не дает надежных методов расчета.

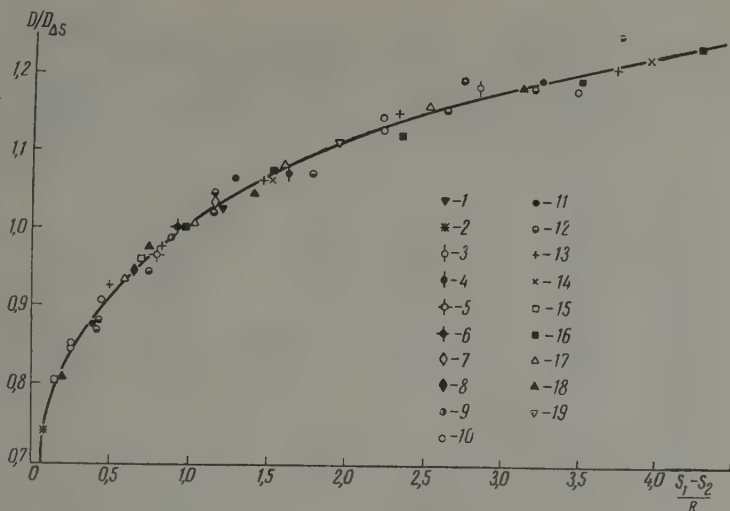


Рис. 1. Обобщенная зависимость по диффузии паров. $S_1 = 47,37 \div 51,12$ ккал/моль·град. $\Delta S = 2,00$ ккал/моль·град; диффузия в воздухе: 1 — сероуглерода, 2 — уксусной кислоты, 10 — этилового спирта, 11 — метилового спирта, 12 — бензола, 13 — гептана, 14 — гексана, 15 — октана, 16 — циклогексана, 17 — метилциклогексана, 18 — толуола, 19 — четыреххлористого углерода; диффузия в азоте: 3 — гексана, 4 — циклогексана, 5 — метилциклогексана, 6 — октана; диффузия в кислороде: 7 — циклогексана, 8 — метилциклогексана, 9 — октана

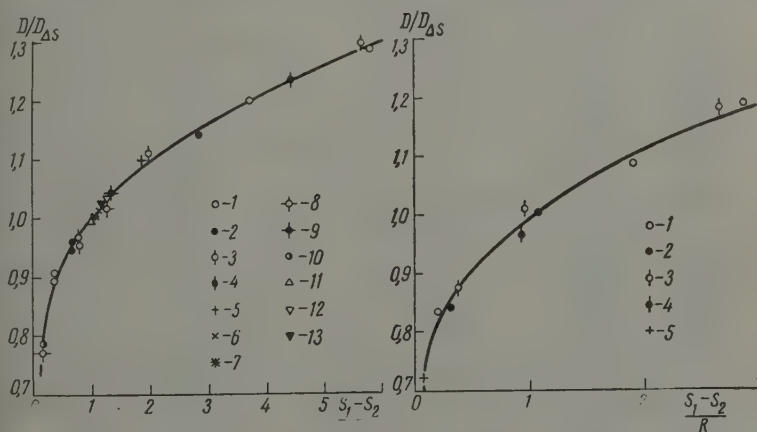


Рис. 2. Обобщенная зависимость по диффузии паров; левый график $S_1 = 52,31 \div 53,74$ ккал/моль·град. $\Delta S = 2,00$ ккал/моль·град; диффузия в водороде: 1 — этилового спирта, 2 — метилового спирта, 3 — бензола, 4 — гексана, 5 — циклогексана, 6 — метилциклогексана, 7 — октана, 8 — воды, 9 — толуола, 10 — уксусной кислоты; диффузия толуола в смесях: 11 — 31,0% Ag + 69,0% H_2 ; 12 — 51,4% Ag + 48,6% H_2 ; 13 — 16,5% Ag + 83,5% H_2 ; правый график — $S_1 = 31,87 \div 39,01$ ккал/моль·град, $\Delta S = 2,00$ ккал/моль·град; диффузия в углекислом газе: 1 — этилового спирта, 2 — метилового спирта, 3 — бензола, 4 — сероуглерода, 5 — уксусной кислоты.

В результате термической диффузии система приходит в такое состояние, когда эффекты разделения и перемешивания взаимно уравновешиваются. Эффект разделения вызывается разностью температур, эффект перемешивания, возникший при этом, — разностью концентраций.

Таблица 1

Коэффициент диффузии паров $D \cdot 10^2$ см²/сек

$t, ^\circ\text{C}$	Из обобщен. зависимости	Имеющиеся опытные данные	$t, ^\circ\text{C}$	Из обобщен. зависимости	Имеющиеся опытные данные
Этиловый спирт — воздух			Гексан — азот		
—10,0	9,17	10,16	—10,0	6,30	
0,0	10,05	10,16	0,0	6,84	
	10,05	10,20	10,0	7,34	
10,0	10,82		15,5	7,46	7,56
20,0	11,62		20,0	7,84	
30,0	12,58				
40,4	13,59	13,57	Циклогексан — азот		
	13,59	13,72	0,0	6,64	
49,4	14,38	14,13	10,0	7,13	
50,0	14,40		15,5	7,43	
			20,0	7,64	
			30,0	8,13	
			40,0	8,56	
Метиловый спирт — воздух			Метилциклогексан — азот		
—10,0	12,49		—10,0	6,49	
0,0	13,42	13,25	0,0	6,97	
10,0	14,24		10,0	7,47	
20,0	15,33		12,8	7,63	7,58
25,6	15,88	16,20	20,0	8,02	
30,0	16,27		30,0	8,61	
40,0	17,25		40,0	9,18	
49,6	18,07	18,09	50,0	9,68	
50,0	18,08				
Октан — воздух			Октан — азот		
0,0	4,97	5,05	0,0	5,67	
10,0	5,34		10,0	6,09	
20,0	5,76		20,0	6,58	
25,0	5,98	6,02	30,0	7,10	7,10
30,0	6,22		40,0	7,68	
40,0	6,71		50,0	8,21	
50,0	7,18		60,0	8,73	
Четыреххлористый углерод — воздух			Октан — водород		
—20,0	10,66		0,0	20,60	
—10,0	11,31		10,0	23,70	
0,0	12,28		20,0	25,33	
10,0	13,20		29,7	27,12	27,10
20,0	14,13	14,13	30,0	27,18	
30,0	14,97		40,0	29,08	
			50,0	31,00	
			60,0	33,30	
Сероуглерод — воздух			Циклогексан — кислород		
—20,0	7,85		—20,0	5,74	
—10,0	8,36		—10,0	6,15	
0,0	8,87	8,92	0,0	6,63	
10,0	9,39		10,0	7,18	
20,0	9,83		15,5	7,40	7,74
30,0	10,22		20,0	7,61	
			30,0	8,10	
Уксусная кислота — воздух			Метилциклогексан — кислород		
0,0	10,64	10,64	—10,0	6,25	
10,0	11,41		0,0	6,73	
20,0	12,15		10,0	7,21	
30,0	12,97		14,0	7,42	7,42
40,0	13,79				
50,0	14,77				
60,0	15,74				
70,0	16,15				

Таблица 1 (продолжение)

$t, ^\circ\text{C}$	Из обобщен. зависимости	Имеющиеся опытные данные	$t, ^\circ\text{C}$	Из обобщен. зависимости	Имеющиеся опытные данные
20,0	7,74		60,0	107,03	
30,0	8,31		70,0	112,72	
40,0	8,86		80,0	118,80	
Октан — кислород			Толуол — водород		
-10,0	4,86		0,0	46,32	
0,0	5,66		10,0	50,00	
10,0	6,06		20,0	53,27	
20,0	6,54		28,0	56,94	57,10
30,0	7,05	7,05	30,0	57,65	
40,0	7,61		40,0	60,44	
50,0	8,16		50,0	64,28	
			60,0	68,44	
Гексан — водород			Уксусная кислота — водород		
-20,0	22,25		0,0	40,96	41,63
-10,0	24,15		10,0	44,41	
0,0	25,97		20,0	48,51	
10,0	27,95		30,0	51,42	
15,6	29,14	29,00	40,0	54,55	
20,0	30,08		50,0	58,27	
			60,0	61,61	
			70,0	65,54	
Циклогексан — водород			Толуол — 31% Ag + 69% H ₂		
-20,0	24,59		0,0	16,88	
-10,0	26,71		10,0	18,27	
0,0	28,61		20,0	19,40	
10,0	30,70		28,0	20,46	20,40
15,4	31,86	31,90	30,0	20,72	
20,0	32,65		40,0	22,03	
30,0	34,77		50,0	23,33	
40,0	37,31		60,0	24,86	
Метилциклогексан — водород			Уксусная кислота — углекислота		
-10,0	26,72		0,0	7,16	7,16
0,0	28,89		10,0	7,67	
10,0	30,77		20,0	8,31	
15,0	31,93	31,80	30,0	8,79	
20,0	32,94		40,0	9,38	
30,0	35,01		50,0	10,01	
40,0	37,33		60,0	10,66	
50,0	39,94		70,0	11,35	
Толуол — 51,4% Ag + 48,6% H ₂			Сероуглерод — углекислота		
0,0	12,11		-20,0	5,64	
10,0	13,21		-10,0	6,01	
20,0	14,07		0,0	6,29	6,30
28,1	14,83	14,80	10,0	6,65	
30,0	15,03		20,0	6,98	
40,0	15,96		30,0	7,27	
50,0	16,91		40,0	7,52	
60,0	18,02				
Вода — водород			Толуол — 16,5% Ag + 83,5% H ₂		
0,0		75,16	-10,0	21,36	
10,0	75,24		0,0	23,60	
20,0	84,37		10,0	25,63	
30,0	90,25		20,0	27,23	
40,0	95,26		28,0	28,72	28,60
49,5	100,74	100,00	30,0	29,06	
50,0	101,04		40,0	30,88	
			50,0	32,74	
			60,0	34,98	

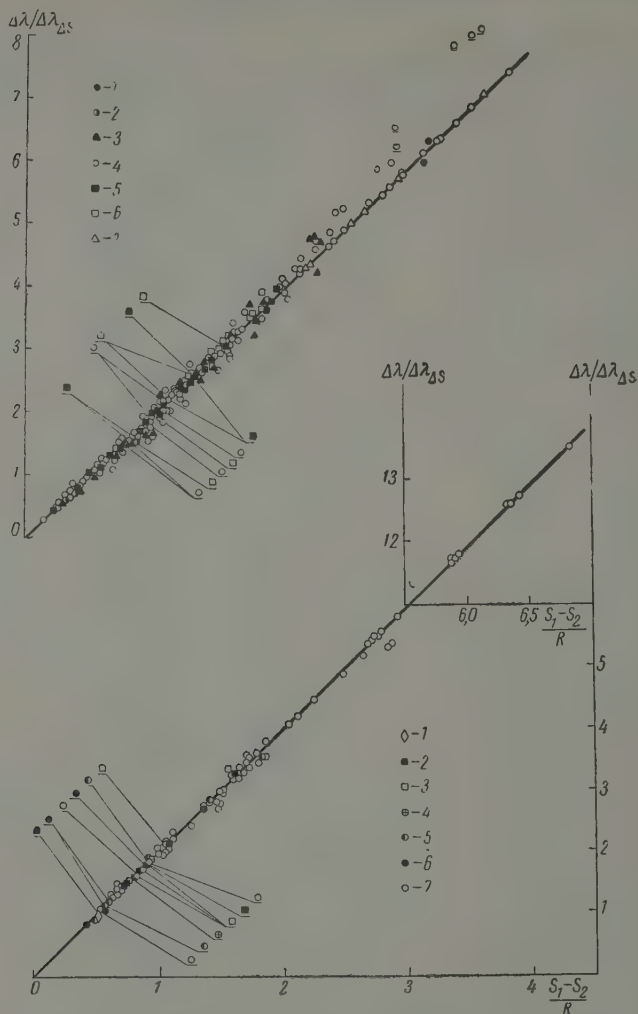


Рис. 3. Обобщенная зависимость по термической диффузии газов; $\Delta S = 1,00$ ккал/моль·град.; верхний график: 1 — $\text{H}_2\text{—N}_2$, 2 — $\text{N}_2\text{—N}_2\text{O}$, 3 — $\text{N}_2\text{—CO}_2$, 4 — $\text{H}_2\text{—CO}_2$, 5 — $\text{H}_2\text{—N}_2\text{O}$, 6 — $\text{H}_2\text{—C}_2\text{H}_4$, 7 — He—CO_2 ; нижний график: 1 — Kr—Xe , 2 — Ne—Kr , 3 — Ne—Xe , 4 — He—Rn , 5 — He—Kr , 6 — He—Xe , 7 — He—Ne

Суммарный результат двух стационарных процессов перемешивания и разделения можно представить в виде

$$\frac{\Delta\lambda}{\Delta\lambda_{\Delta S}} = \varphi\left(\frac{S_1 - S_2}{R}\right),$$

где $\Delta\lambda$ — величина термодиффузионного разделения смеси при изменении энтропии на границах $S_1\text{—}S_2$, $\Delta\lambda_{\Delta S}$ — масштабное разделение смеси при изменении энтропии ΔS , отсчитанной от постоянного начала S_1

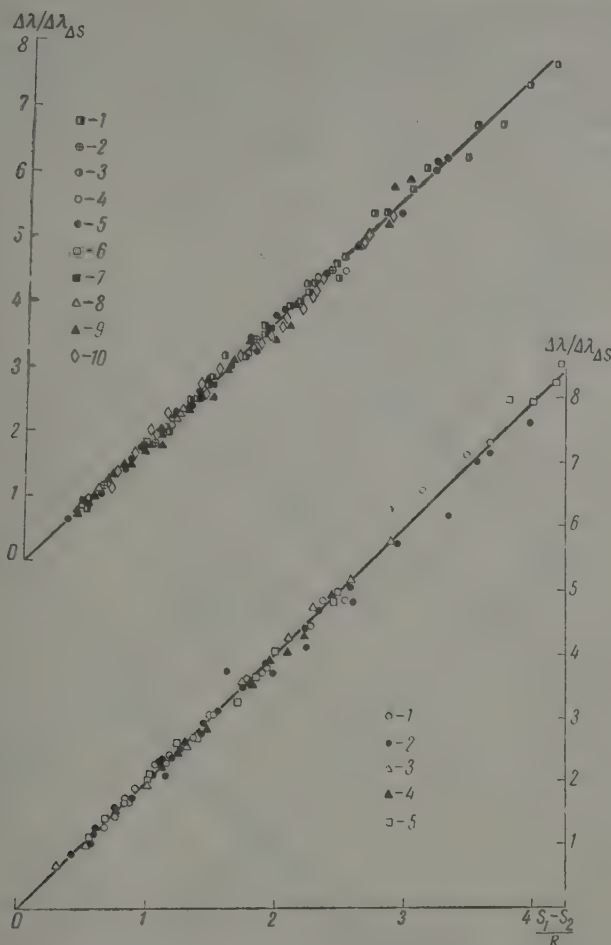


Рис. 4. Обобщенная зависимость по термической диффузии газов; $\Delta S = 1,00$ ккал/моль·град.; верхний график: 1 — $\text{H}_2 - \text{N}_2$, 2 — $\text{Ar} - \text{Kr}$, 3 — $\text{Ne} - \text{Xe}$, 4 — $\text{Ne} - \text{Kr}$, 5 — $\text{Ne} - \text{Ar}$, 6 — $\text{He} - \text{Xe}$, 7 — $\text{He} - \text{Kr}$, 8 — $\text{Ar} - \text{Xe}$, 9 — $\text{He} - \text{Ar}$, 10 — $\text{H}_2 - \text{Ar}$; нижний график: 1 — $\text{N}_2 - \text{Ar}$, 2 — $\text{H}_2 - \text{N}_2$, 3 — $\text{Ne} - \text{Ar}$, 4 — $\text{Ar} - \text{Kr}$, 5 — $\text{D}_2 - \text{N}_2$.

— значения энтропии горячей и холодной частей смеси в стационарном состоянии.

Согласно уравнению (13) было обобщено большинство из имеющихся в литературе опытных данных по термической диффузии в газовой фазе [22].

Обобщение охватывает больше ста бинарных смесей одно-, двух- и многоатомных газов в различных комбинациях. Полученные результаты в системе координат $\Delta\lambda/\Delta\lambda_{\Delta S}$ и $(S_1 - S_2)/R$ приведены на рис. 3—6. Как из рисунков, все опытные данные удовлетворительно описываются уравнением прямой:

$$\frac{\Delta\lambda}{\Delta\lambda_{\Delta S}} = 1,986 \frac{S_1 - S_2}{R}. \quad (14)$$

Отклонение опытных точек в преобладающем большинстве случаев не превышает 3—4%. Можно предполагать, что повышенное отклонение не-

которых точек, например, для пары H_2-CO_2 объясняется неточность экспериментальных данных. Результаты опытов различных авторов этой паре газов дают значительные расхождения между собой.

Рассмотрим некоторые детали расчета. Разделение $\Delta\lambda$ берется непосредственно из опыта. Энтропии горячей и холодной частей смеси S_1 и S_2 рассчитывались на основании известных температур и составов. Одно

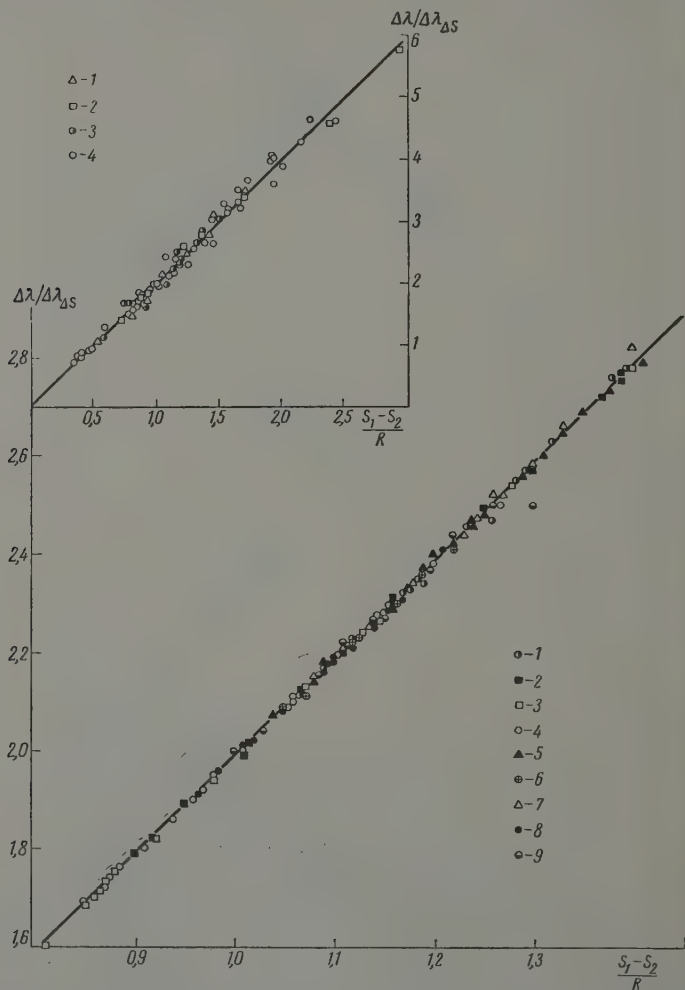


Рис. 5. Обобщенная зависимость по термической диффузии газов; $\Delta S = 1,00$ ккал/моль·град.; верхний график: 1 — H_2-O_2 , 2 — H_2-D_2 , 3 — H_2-CO , 4 — H_2-N_2 ; нижний график: 1 — $\text{N}_2-\text{N}_2\text{O}$, 2 — $\text{H}_2-\text{N}_2\text{O}$, 3 — $\text{H}_2-\text{C}_2\text{H}_4$, 4 — H_2-CO_2 , 5 — $\text{O}_2-\text{N}_2\text{O}$, 6 — $\text{CO}-\text{CO}_2$, 7 — $\text{CO}-\text{N}_2\text{O}$, 8 — O_2-CO_2 , 9 — N_2-CO_2

следует отметить, что имеющиеся опытные данные не позволяют выбрать при обобщении постоянное начало отсчета S_1 для всех смесей, так как в постановке экспериментов это требование и не выдвигалось. Вследствие чего начало отсчета энтропий при переходе от одной смеси к другой колеблется в определенном диапазоне.

Для определения масштабного разделения $\Delta\lambda_{\Delta S}$ необходимо распорядиться для каждой смеси опытами, в которых энтропии S_1 и S_2 имели одну и ту же величину. Ввиду отсутствия таковых значение $\Delta\lambda_{\Delta S}$ в идеальных случаях определялось из соотношения

$$\Delta\lambda_{\Delta S} = \frac{\Delta\lambda}{S_1 - S_2}, \quad (15)$$

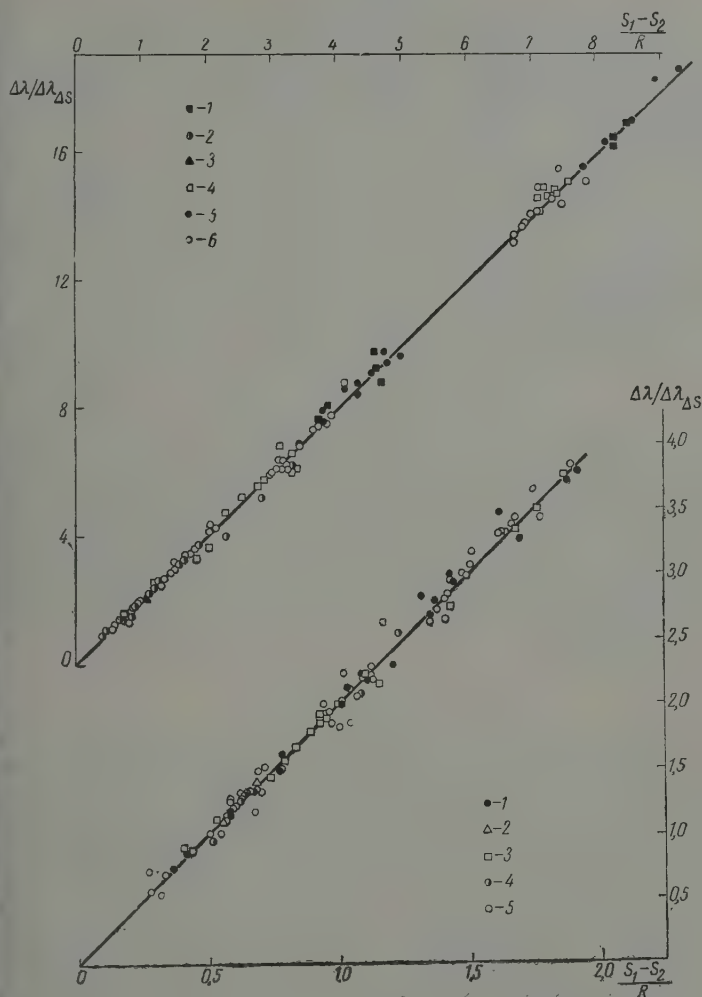


Рис. 6. Обобщенная зависимость по термической диффузии газов; $\Delta S = 1,00$ ккал/моль град.; верхний график: 1 — $\text{H}_2 - \text{D}_2$, 2 — $\text{He} - \text{N}_2$, 3 — $\text{Rn} - \text{H}_2$, 4 — $\text{H}_2 - \text{He}$, 5 — $\text{D}_2 - \text{N}_2$, 6 — $\text{H}_2 - \text{Ne}$; нижний график: 1 — $\text{H}_2 - \text{Ar}$, 2 — $\text{Ar} - \text{Kr}$, 3 — $\text{Ne} - \text{Ar}$, 4 — $\text{Ar} - \text{Kr}$, 5 — $\text{He} - \text{Ar}$

тому в расчетах следует учесть зависимость $\Delta\lambda_{\Delta S}$ от пределов изменения S_1 и S_2 . С этой целью для каждой смеси были построены графики в координатах: масштабное разделение $\Delta\lambda_{\Delta S}$ — относительное изменение температуры $(T_1 - T_2)/T$ (T — постоянная температура горячей или холодной частей прибора в зависимости от условий постановки опыта). Оказалось, что в большинстве рассмотренных случаев величина $\Delta\lambda_{\Delta S}$

Таблица

Смесь H_2-D_2 , $T_2 = 288^\circ K$

$\frac{S_1 - S_2}{R}$	$\frac{\Delta\lambda}{\Delta\lambda_{\Delta S}}$	$T_1, ^\circ K$	$\Delta\lambda \cdot 10^3$	$k_T \cdot 10^3$	$\alpha \cdot 10^4$	Состав в $\Delta\lambda_{\Delta S}$
2,00	3,97	512	7,9	13,7	152	10 и 90% H_2
4,00	7,95	911	15,9	13,8	153	$\Delta\lambda_{\Delta S} = 0,0020$
6,00	11,91	1620	23,8	13,8	151	
9,30	18,47	4180	36,4	13,6	143	
2,00	3,97	512	15,5	27,0	169	20 и 80% H_2
4,00	7,95	911	31,0	27,0	168	$\Delta\lambda_{\Delta S} = 0,0039$
6,00	11,91	1620	46,5	26,9	166	
9,30	18,47	4180	72,1	26,9	161	
2,00	3,97	512	21,0	36,5	175	30 и 70% H_2
4,00	7,95	911	42,1	36,6	173	$\Delta\lambda_{\Delta S} = 0,0053$
6,00	11,91	1620	63,2	36,7	173	
9,30	18,47	4180	98,0	36,6	169	
2,00	3,97	512	25,4	44,2	188	40 и 60% H_2
4,00	7,95	911	50,9	44,2	188	$\Delta\lambda_{\Delta S} = 0,0064$
6,00	11,91	1620	76,2	44,2	184	
9,30	18,47	4180	118,1	44,1	181	
2,00	3,97	512	26,6	46,3	185	50% H_2
4,00	7,95	911	53,2	46,3	186	$\Delta\lambda_{\Delta S} = 0,0067$
6,00	11,91	1620	79,8	46,3	185	
9,30	18,47	4180	123,8	46,2	184	

не зависит от относительной разности температур. Опыты со смесями содержащими Ag, Kг, Хе и N_2 в паре с H_2 , в которых один из сосудов находился при сравнительно низкой температуре (порядка $100^\circ K$), а также опыты со смесями, содержащими Kг и Хе, дают прямолинейную зависимость $\Delta\lambda_{\Delta S}$ от $(T_1 - T_2)/T$, и определение $\Delta\lambda_{\Delta S}$ не представляет трудностей.

Таким образом опытные данные позволяют для многих смесей получить значения масштабного разделения. Зная $\Delta\lambda_{\Delta S}$, пользуясь обобщенной зависимостью (13), можно определять $\Delta\lambda$ и, следовательно k_T и α из соотношений

$$\Delta\lambda = k_T \ln \frac{T_1}{T_2}, \quad \alpha = \frac{k_T}{n_{10} n_{20}}, \quad (1)$$

n_{10} и n_{20} — концентрации компонентов смеси холодного сосуда в установившемся состоянии. Величины разделения для смесей, рассчитанные по уравнению (14), хорошо согласуются с имеющимися экспериментальными.

В табл. 2 приведены величины $\Delta\lambda$, k_T и α для смеси H_2-D_2 в широком диапазоне концентраций и температур. Преобладающее большинство значений получено для области температур и концентраций, в которой отсутствуют опытные данные. Аналогичные результаты можно получить и для других бинарных смесей.

Таким образом путем интерполяции в пределах настоящего обобщения можно значительно расширить наши знания по термодиффузионному разделению бинарных смесей на область температур и концентраций, не охваченную экспериментом.

Выводы

1. Полученные обобщенные зависимости по диффузии позволяют определять коэффициенты диффузии паров различных жидкостей в диапазоне температур и концентраций, не охваченном экспериментом.

2. Полученные обобщенные зависимости по термической диффузии газов могут быть использованы для расчета величины термодиффузионного разделения смесей в широком интервале изменения температур и концентраций.

3. Относительное разделение бинарных газовых смесей при термической диффузии описывается уравнением прямой.

Казанский химико-технологический
институт им. С. М. Кирова

Поступила 30.III.1957
После переработки 4.XII.1958

ЛИТЕРАТУРА

- А. Г. Усманов, Тр. КХТИ, 22, 99, 1958.
А. Г. Усманов, Сборник ЭНИН, а АН СССР, 1958.
А. Г. Усманов, В. П. Большов, Тр. КХТИ, 22, 105, 1958.
J. K. Clarke, A. R. Ubbelohde, J. Chem. Soc. 2050, 1957.
А. С. Ирисов, Испаряемость топлив для поршневых двигателей и методы ее исследования, 1955.
A. Winkelmann, Ann. Physik, 23, 203, 1884; 22, 152, 1884; 26, 105, 1885; 32, 445, 1888.
Техническая энциклопедия. Справочник физических, химических и технологических величин, 7, 1931.
Справочник химика, 1, 1951, 3, 1952.
E. Mack, J. Amer. Chem. Soc., 47, 2468, 1925.
G. A. Cummings, A. R. Ubbelohde, J. Chem. Soc., 3751, 1953.
M. LeBlanc und G. Wuppermann, Z. phys. Chem., 91, 143, 1916.
D. F. Fairbanks and C. R. Wilke, Industr. and Engng Chem., 42, 471, 1950.
B. E. Atkins, R. E. Bastick and T. L. Ibbs, Proc. Roy. Soc. A 172, 142, 1939.
G. Blüh nud O. Blüh, Z. Physik, 90, 12, 1934.
K. E. Grow, Proc. Roy. Soc. A 189, 402, 1947.
H. R. Heath, T. L. Ibbs and N. E. Wild, Proc. Roy. Soc. 178A, 380, 1941.
A. van Itterbeek and A. de Troyer, Physica, 16, 329, 1950.
A. de Troyer, van A. Itterbeek and G. J. van den Berg, Physica, 16, 669, 1950.
A. de Troyer, A. van Itterbeek and A. O. Rietveld, Physica, 17, 938, 1951.
A. van Itterbeek, G. Forrez and P. Mariens, Physica, 19, 525, 1953.
A. van Itterbeek, and I. Nihoul, Acustica, 5, 142, 1955.
К. Э. Грю, Г. А. Иббс, Термическая диффузия в газах, 1956.

THE APPLICATION OF THE SIMILARITY THEORY IN STUDIES OF MASS TRANSFER PROCESSES

A. G. Usmanov and A. N. Bereznoi (Kazan')

S u m m a r y

A generalization of the experimental data on vapor diffusion and the thermal diffusion of gases has been made with the aid of the similarity theory. The derived generalized formulas made it possible to determine over a wide range of temperatures and concentrations the vapor diffusion coefficients and the values for gas separation by thermal diffusion.

It has been shown that in the thermal diffusion of gases a simple linear relationship exists between the relative separation values and the relative changes in entropy of the form:

$$\frac{\Delta\lambda}{\Delta\lambda_{\Delta S}} = 1.986 \frac{S_1 - S_2}{R}$$

where $\Delta\lambda$ is the value for the separation of a mixture by thermal diffusions — $\Delta\lambda$ the scale factor for separation of the mixture on change in entropy $\Delta S=1$, read off for a given value of S_1 , S_1 and S_2 — entropy values of the hot and cold parts of the mixture in the steady state.

МЕТОДЫ И ТЕХНИКА ФИЗИКО-ХИМИЧЕСКОГО ИССЛЕДОВАНИЯ

МИКРОВИСКОЗИМЕТР

С. Н. Скляренко, Н. В. Смирнов, Л. Б. Беллева
и Е. А. Малышева

Для измерения вязкости обычно применяются различные типы капиллярных вискозиметров [1—8]. Чтобы получить надежные результаты, время истечения жидкости из капилляра вискозиметра должно быть достаточно велико. Так, например, для 5 мл жидкости время истечения должно быть не менее 100—200 сек.

Если вязкость исследуемой жидкости мала и скорость истечения ее велика (как, например, при измерении вязкости сжиженных газов), то обязательно следует вводить поправку на кинетическую энергию вытекающей жидкости. В этом случае вязкость жидкости может быть вычислена на основании результатов измерений по формуле:

$$\eta = ctd - \frac{c'd}{t} \quad (1)$$

η — вязкость; t — время истечения жидкости; d — плотность жидкости; c — константа прибора, мало зависящая от температуры и определяемая обычно калиброванием по воде; c' — константа, определяющая величину поправки на кинетическую энергию. Эта константа вычисляется из геометрических размеров прибора:

$$c' = \frac{mV}{8\pi l} \quad (2)$$

В формуле (2) m — константа Хагенбаха, принимаемая равной 1,12; V — объем шарика вискозиметра; l — длина капилляра вискозиметра.

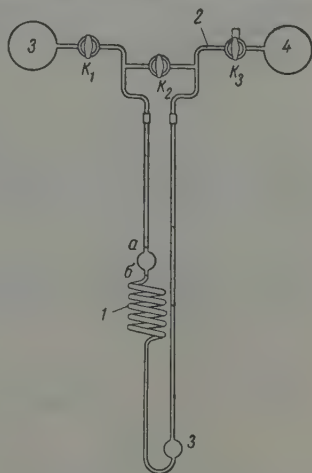
В случае применения вискозиметра типа Оствальда при работе с очень летучими веществами, особенно со сжиженными газами, весьма существенным является способ заполнения верхнего резервуара вискозиметра. Наиболее удобный способ, применявшийся в работах [5, 6], состоит в повышении давления воздуха в шарике, связанном с нижним резервуаром прибора, путем легкого подогрева этого шарика. Этот способ позволяет проводить измерения вязкости в приборе, изолированном от атмосферы, и исключает испарение и потери вещества.

В настоящей работе предлагается микровискозиметр, особенно удобный для измерения вязкости сжиженных газов, но применимый и для работы с любыми жидкостями. Этот прибор, как и обычный вискозиметр Оствальда, имеет два резервуара (рис. 1). Верхний резервуар емкостью около 0,2 мл, нижний резервуар — около 0,3 мл. Капилляр 1, длиной 58 см, диаметром около 0,6 мм и с толщистой стенкой около 1 мм, имеет форму спирали. Благодаря такой форме капилляра прибор имеет сравнительно небольшие размеры. К вискозиметру сверху присоединяется насадка 2 с соплами K_1 , K_2 и K_3 и с двумя шариками 3, 4 емкостью по 25—30 мл.

Прибор имеет метки a и b выше и ниже верхнего резервуара (как у обычного вискозиметра Оствальда); кроме того, метки нанесены на каждом витке спирали капилляра 1. Измерять вязкость в таком приборе можно двумя способами.

Используя первым способом измерения вязкости, определяют время, за которое жидкость опустится от первой метки a до второй метки b при истечении жидкости из верхнего резервуара в нижний. Затем подсчитывают вязкость исследуемого вещества по формуле (1).

Для определения вязкости вторым способом можно измерить время прохождения жидкости через один или несколько витков спирали капилляра. Для этого на витках спирали нанесены метки. Этот прием особенно ценен в том случае,



когда измерения надо провести с очень малым количеством жидкости, недостаточным для заполнения верхнего резервуара.

Остановимся на втором способе подробнее, поскольку он существенно отличается от общеизвестного первого способа. При протекании жидкости через капилляр на нее действуют две главные силы: сила тяжести, направленная вниз и обуславливающая протекание жидкости через капилляр, и сила поверхностного натяжения, направленная в противоположную сторону и тормозящая протекание жидкости. Равнодействующая этих двух сил будет уравниваться силой трения, пропорциональной вязкости жидкости и скорости ее протекания.

Следовательно

$$k' \eta v = \pi r^2 d g h - 2 \pi r \sigma$$

или

$$\frac{k \eta}{t} = \pi r^2 d g h - 2 \pi r \sigma,$$

где k и k' — коэффициенты пропорциональности; η — вязкость жидкости; v — скорость протекания, обратно пропорциональная времени протекания t ; d — плотность жидкости; σ — поверхностное натяжение жидкости; h — высота столба жидкости (разность высот уровней в капилляре и в нижнем резервуаре); r — радиус капилляра; g — ускорение силы тяжести.

Определив из последнего соотношения вязкость жидкости, получим

$$\eta = t \left(\frac{\pi r^2 h g}{k} d - \frac{2 \pi r}{k} \sigma \right).$$

Величина h меняется в сравнительно узких пределах и притом при всех измерениях в данном приборе и данным способом — одинаково; r и k для данного прибора — постоянны. Поэтому выражению (5) можно придать вид:

$$\eta = t (A d - B \sigma).$$

Для того, чтобы определить вязкость этим способом, нужно предварительно найти константы прибора A и B . Это можно сделать, определив в данных условиях время протекания через капилляр двух жидкостей с известными значениями вязкости, плотности и поверхностного натяжения. Измерив затем время протекания исследуемой жидкости и зная ее плотность и поверхностное натяжение, можно найти вязкость жидкости.

Для проверки этого способа было измерено время истечения воды и ацетона при 20° и определены константы A и B . Затем измерялось время истечения и определялась вязкость бензола и изобутилового спирта при той же температуре. Константы прибора оказались равными: $A = 0,157$ и $B = 0,001004$.

Полученные результаты приводятся в табл. 1.

Таблица

Данные для калировки микровискозиметра и результаты измерения вязкости бензола и изобутилового спирта при 20°

Вещество	Время истечения, сек.	Плотность, г/см ³	Поверхностное натяжение, дин/см [9]	Вязкость, сантипуазы		Относительная ошибка $\eta_{\text{табл}} - \eta_{\text{из}}$
				по [9]	измеренная	$\eta_{\text{табл}} \%$
Ацетон	3,2	0,792	23,70	0,322	—	—
Вода	12,0	0,998	72,75	1,005	—	—
Бензол	5,7	0,879	23,88	0,65	0,65	0,0
Изобутиловый спирт	37,5	0,805	23,00	3,95	3,88	1,8

Данные таблицы показывают, что этот способ определения вязкости может быть использован, если не требуется большой точности измерения и если имеются надежные данные по плотности и поверхностному натяжению исследуемого вещества. Преимущество данного способа состоит в том, что для измерения достаточно 0,1 мл жидкости.

Если использовать данный прибор, как обычный вискозиметр типа Оствальда, порядок работы с ним существенно не отличается от общепринятого. Прежде всего прибор калибруют, определяя константы прибора s и s' в уравнении (1); s' для нашего прибора оказалась равной 0,005945. Константа s' так мала, что, как выяснилось при обработке результатов измерений, поправка на кинетическую энергию вытекшей жидкости не имела значения и могла не вводиться.

Константа c определялась по воде и по ацетону при 20° . Независимость константы прибора c от температуры подтвердилась при повторных калибровках прибора по тону при разных температурах. Получены следующие значения константы прибора: по воде $c_w = 0,0309$, по ацетону $c_a = 0,0303$; среднее значение $c_{\text{ср}} = 0,0306$.

Прибор проверялся на жидком аммиаке. Измерения вязкости жидкого аммиака даны ниже.

К микровискозиметру присоединялся резервуар с жидким аммиаком и вакуумный насос. Из прибора откачивался воздух, а затем нижняя часть прибора (нижний резервуар) погружалась в криостат с температурой значительно ниже точки кипения аммиака. После этого открывался кран резервуара с жидким аммиаком, находящимся при температуре немного ниже его точки кипения, и прибор заполнялся жидким аммиаком. В приборе собиралось такое количество жидкого аммиака, чтобы весь нижний резервуар был заполнен. Мениск жидкости должен находиться в трубке над нижним резервуаром у одного из первых делений, нанесенных на ней.

Прибор отделялся от резервуара с аммиаком и на короткое время сообщался с атмосферой для того, чтобы он наполнился воздухом при атмосферном давлении.

Прибор погружался в криостат так, чтобы верхний резервуар его был значительно уровня термостатной жидкости.

В криостате устанавливалось самое низкое из желаемых значений температуры, спустя несколько минут начинались измерения. Длительная выдержка не обязательна, так как при заполнении верхнего резервуара жидкость проходит через очень длинный узкий тонкостенный капилляр и уже при этом успевает принять температуру криостата.

Верхний резервуар прибора заполнялся исследуемой жидкостью. Для этого средний кран K_2 перекрывался, и при открытых кранах K_3 и K_1 правый шарик 4 подогревался рукой или лучше феном до тех пор, пока уровень жидкости не поднимался до метки a .

Открывался кран K_2 , и при помощи секундомера измерялось время, за которое мениск жидкости опускался от метки a до метки b . За время опорожнения верхнего резервуара уровень жидкости в правой части прибора не должен выходить из ширины части нижнего резервуара. Измерения при данной температуре повторялись несколько раз. Результаты измерений не различались более чем на $0,1$ — $0,2$ сек.

После окончания измерений при данной температуре в криостате устанавливалось его значение, и измерения продолжались, как это описано выше.

По окончании всех измерений температура в криостате повышалась до точки кипения жидкого аммиака или немного выше, включалась тяга и открывался кран K_3 . Аммиак довольно быстро улетал из прибора. Остатки аммиака удалялись из прибора с помощью водоструйного насоса.

Измерения вязкости жидкого аммиака производились при -70 , -60 , -50 и -40° . В серии проведенных измерений обнаружили хорошую сходимость полученных результатов. В табл. 2 приведены результаты измерений, а также значения вязкости жидкого аммиака по работе [7].

Таблица 2

Вязкость жидкого аммиака в сантипуазах

Температура, $^\circ\text{C}$	1-я серия измерений	2-я серия измерений	Данные [7]	Расхождение между измеренными и литературными данными, %
-70	0,471	0,469	—	—
-69	—	—	0,475	—
-60	0,391	0,386	—	—
-50	0,323	0,323	0,317	1,9
-40	0,280	0,280	0,276	1,4

Полученные результаты являются вполне удовлетворительными по воспроизводимости и по согласию с литературными данными.

Предлагаемая методика измерения вязкости требует небольшого количества исследуемого вещества и позволяет проводить измерения в закрытом приборе. Описанный микровискозиметр вполне применим и для измерения вязкости малолетучих жидкостей.

Поступила
3.VII.1959

ЛИТЕРАТУРА

1. Г. Барр, Вискозиметрия, перев. с англ. М.—Л., 1938.
2. Э. Гатчек, Вязкость жидкостей, Перев. с англ. 2 изд. М.—Л., 1945.
3. М. П. Воларович, Заводск. лаборатория, **11**, 49, 1945.
4. А. И. Шатенштейн, Сжиженные газы как растворители, ч. II, 1949.
5. Maass, Baumer, J. Amer. Chem. Soc., **44**, 1709, 1922.
6. Steacie, Jonson, J. Amer. Chem. Soc., **47**, 755, 1925.
7. А. М. Монозон и В. А. Плесков, Ж. физ. химии, **3**, 241, 1932.
8. А. И. Шатенштейн, Е. А. Израилевич, Н. И. Ладыжников, Ж. физ. химии, **23**, 497, 1949.
9. Справочник химика, ГХИ, Москва, 1951, т. 1.

MICROVISCOMETER

*S. I. Sklyarenko, I. V. Smirnov, L. V. Belyaeva and
E. A. Malysheva (Moscow)*

Summary

A novel type of viscometer has a long capillary which has been given the form of a helix. The apparatus requires very small amounts of liquid. Determinations are made either by measuring the time of flow of the liquid from the upper to the lower bulbs as in a conventional Ostwald viscometer or by measuring the time for the passage of the mercury through a number of coils of the helix. In the first case 0.3 ml are sufficient for the determination; in the second 0.1 ml is sufficient, but knowledge of the density and surface tension of the liquid is required.

ЭЛЕКТРОЛИЗ РАСТВОРА ЙОДИСТОГО ТЕТРАМЕТИЛАММОНИЯ

Г. С. Сунин

Целью проведенной работы по электролизу раствора йодистого тетраметиламмония $(\text{CH}_3)_4\text{NI}$ являлось нахождение рационального способа получения раствора основания тетраметиламмония $(\text{CH}_3)_4\text{NOH}$; последний используется в качестве фона в полярографических определениях в крайней отрицательной области потенциалов.

Экспериментальная часть

Электролиз проводился с железным катодом, графитовым анодом и целлофановой мембраной.

В случае использования полученного раствора основания для полярографических целей электролизу предшествует очистка исходного йодистого тетраметиламмония, что достигается многократной перекристаллизацией солевых водных растворов.

Для электролиза использовался прибор, изображенный на рисунке.

В наружный стеклянный стакан 1 диаметром 40 мм, емкостью 400 мл опускается железный катод (круг диаметром 60 мм с контактной ножкой) и наливается 200—250 мл насыщенного раствора йодистого тетраметиламмония.

Стеклянная трубка 3 диаметром 45 мм, длиной 150 мм с разведенными краями (можно использовать стеклянный стаканчик соответствующих размеров, вырезанным дном) с одной стороны обтягивается целлофаном 4, а затем обертывается целлофаном 5. Для предотвращения прорыва целлофана, так как прочность намокшего целлофана мала. В получившийся таким образом стаканчик насыпается активированный уголь 6 слоем 1—2 см, наливается 40—50 мл насыщенного раствора йодистого тетраметиламмония 7 и несколько миллилитров 0,5 N раствора серной кислоты до посинения лакмусовой бумажки конго-рот. Затем в стаканчик наливается эфир серного эфира толщиной 2,5—3 см. Внутренний стаканчик опускается во внешний и закрепляется винтом 9 на такой высоте, чтобы верхний уровень эфира был примерно на 1 см выше уровня жидкости во внешнем стакане. Во внутренний стаканчик опускается стержневой графитовый анод 10 диаметром 10—15 мм, который погружается до марлевого дна; стержень закрепляется самостоятельно.

Прибор устанавливается в наклонном положении, благодаря чему облегчается отделение пузырьков водорода. Напряжение на ячейке 3 В, в конце процесса для поддержания первоначальной силы тока напряжение должно быть поднято до 5—6 В. Сила тока 0,12—0,3 А.

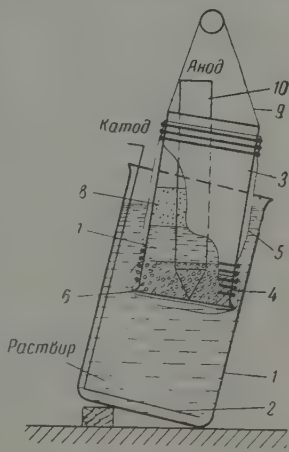
Время от времени содержимое внутреннего стаканчика надо осторожно перемешивать стеклянной палочкой для ускорения перехода элементарного йода в эфирный слой. В процессе электролиза насыщенный йодом эфирный слой надо заменять на свежий.

После 12—16-часового электролиза катодит профильтровывается и испытывается на полярографе на возможность применения полученного раствора в качестве полярографического фона.

Полученные растворы анализировались на содержание йода (по питритному методу [1]) и основания (титрованием 0,1 N соляной кислотой по метил-роту).

Результаты некоторых опытов представлены в таблице (см. стр. 926).

Несмотря на невозможность перевода при электролизе всего йодида в основание, полученные растворы могут быть применены в качестве основного полярографического фона. Присутствие некоторого остаточного количества йодистого тетраметиламмония



Объем католита, мл	Сила тока	Время электролиза, часы	Конечная концентрация основания, моль/л	Средний выход по току	N_1
55	0,135	6	0,136	0,249	22,2
48	0,135	7,6	0,166	0,211	22,5
49	0,135	12	0,213	0,178	21,7
60	0,135	7	0,100	0,31	22,3
200	0,14	19,6	0,13	0,254	22,7
200	0,14	15	0,11	0,281	23,7

ния не препятствует полярографическим определениям и придает конечному раствору буферные свойства, что в некоторых случаях представляет самостоятельную ценность.

Более концентрированные растворы основания могут быть получены упариванием, при этом не происходит разложения тетраметиламмониевых соединений. После достаточно интенсивного упаривания и последующего охлаждения из раствора выпадает йодид. Таким образом могут быть получены растворы с высокой концентрацией основания и малым содержанием йодистой соли. При желании иметь растворы, свободные от йодида (для специальных целей), последний может быть удален добавлением необходимого количества свежесосажденной промытой окиси серебра с последующим фильтрованием.

Было замечено, что повышение концентрации исходного раствора йодистого тетраметиламмония способствует увеличению выхода основания по току, поэтому в опытах применялся насыщенный раствор соли. Выход по току увеличивается также при удалении из анолита выделяющегося на аноде йода.

Были сделаны попытки сорбировать йод в процессе электролиза серным эфиром, активированным углем и обоими сорбентами вместе. При добавке эфира в анодное пространство и периодическом перемешивании выделяющийся йод переходит в эфирный слой, и выход по току резко повышается. Вследствие разряджения некоторого количества ионов OH^- на аноде в анолите быстро устанавливается кислая среда, и электролиз не усложняется побочными процессами.

Активированный уголь оказался весьма полезной добавкой, нижний слой угля служит при этом в качестве дополнительного анода, благодаря чему ток весьма стабилен, и сопротивление электролизера (а также соответственно напряжение на клеммах при данной силе тока) меньше, чем в отсутствие активированного угля. Но при этом электролиз происходит при нейтральной среде в анодном пространстве, что, вероятно, объясняется селективным поглощением активированным углем из раствора H_2 , что приводит к загрязнению католита йодатом. Подкисление анолита перед началом электролиза прекращает образование йодата, но при этом адсорбция йода углем оказывается недостаточной, и выход по току оказывается меньшим, чем при работе с подкислением.

Оптимальными оказались результаты совместного применения активированного угля и серного эфира при добавлении кислоты в анолит. Высокий выход по току при этом совмещается с малым сопротивлением ячейки.

Данные, полученные на приборе (см. рисунок), достаточно хорошо укладываются в полуэмпирическую формулу [2].

$$A_{cp} = \frac{1}{1 + N_{1c}},$$

где A_{cp} — средний выход по току; c — конечная концентрация основания в молях; N_1 — коэффициент.

В таблице приведены расчетные значения коэффициента N_1 , который, как это видно, мало отличается для различных опытов. Формула не применима для малых значений концентраций (в случае $c < 0,08 N$, при которых коэффициент N_1 не сохраняет постоянного значения).

Процессы электролиза, проводимые без добавления активированного угля и серного эфира в анодное пространство, не могут быть рассчитаны по данной формуле.

ЛИТЕРАТУРА

И. М. Кольтгоф и Е. Б. Сендел, Количественный анализ, Госхимиздат, М.—Л., 1948, стр. 651.
В. Г. Хомяков, В. П. Машовец, Л. Л. Кузьмин, Технология электрохимических производств, Госхимиздат, 1949, стр. 293.

ELECTROLYSIS OF TETRAMETHYLAMMONIUM IODIDE SOLUTION

G. S. Supin (Moscow)

Summary

A description has been made of the preparation of a tetramethylammonium base solution by electrolysis of a solution of tetramethylammonium iodide with an iron cathode, graphite anode and cellophane membrane. The effect of additions in the anodic compartment has been investigated with the objective of establishing the optimal conditions for electrolysis. Calculation of the process has been found possible.

ДИСКУССИЯ

К ВОПРОСУ О ПОЛЯРОГРАФИИ НИТРАТОВ

С. И. Жданов

В последнее время появилась серия работ В. И. Гороховской [1—5] и раб. И. А. Коршунова и Н. И. Малюгиной [6], в которых оспаривается возможность полярографического восстановления нитрат-аниона в присутствии многозарядных катионов. Однако большинство экспериментальных данных, послуживших основанием такого вывода, с большей легкостью можно объяснить при допущении о непосредственном электрохимическом восстановлении ионов NO_3^- .

Рассмотрение начнем со случая полярографического поведения азотнокислых растворов лантана [4]. После работ Токуока [7] и Токуока и Ружички [8], которые впервые установили факт облегчения восстановления ионов NO_3^- при увеличении лентности катионов фона, и Кольтгофа, Гарриса и Матсуяма [9], обнаруживших малые скачки тока и гистерезис на волне NO_3^- в присутствии трехзарядных катионов, интерес к этой реакции настолько возрос, что ее механизм подвергся почти одновременно в ряде стран детальному исследованию [10—16]. Были получены результаты, не оставляющие сомнения в том, что ионы NO_3^- и некоторые другие кислородсодержащие анионы способны непосредственно восстанавливаться на ртутном катоде. Эти результаты сводятся к следующему.

Микрокулонометрическое [14] и кулонометрическое [16] измерения в условиях близких к полярографическим, а также расчеты по уравнению Ильковича [12] показали, что на каждый ион NO_3^- при восстановлении в присутствии солей лантана требуется 7—8 электронов. Основными продуктами реакции являются гидроксид лантана и аммиак [16].

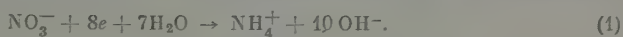
Изучение влияния pH раствора на волну NO_3^- в присутствии солей лантана [11] позволило установить, что восстановление ионов NO_3^- сопровождается возникновением ионов OH^- , которые, в свою очередь, ускоряют процесс. Вследствие этого в буферных растворах, содержащих лантан, восстановление ионов NO_3^- приобретает автокаталитический характер, а волна имеет упомянутые аномалии — скачок тока и гистерезис. При подкислении раствора волна NO_3^- сдвигается в сторону более отрицательных потенциалов (процесс затрудняется), а при подщелачивании смещается в обратную сторону. Была создана полуколичественная теория этих явлений, которая оказалась в хорошем согласии с экспериментом [11]. Облегчение восстановления ионов NO_3^- при увеличении валентности катионов фона было объяснено с учетом влияния строения двойного электрического слоя на этот процесс. Высокозарядные катионы уменьшают ψ_1 -потенциал или (в случае лантана) даже меняют его знак на положительный, в результате чего восстановление анионов ускоряется [17, 18].

Единственной работой, помимо рассматриваемой работы В. И. Гороховской, в которой волна NO_3^- была принята за каталитическую волну водорода, является работа Мейтса [19]. Автор ее выполнил микрокулонометрические измерения при потенциалах — 1.7 В на фоне LiCl и в кислом (pH ~ 3.5) растворе хлористого церия. Были получены слишком большие величины (больше 50), что и послужило основанием признать волну каталитической. Известно, однако, что восстановление NO_3^- на LiCl начинается при потенциале около —2.0 В. Естественно поэтому, что микрокулонометрирование при —1.7 В не могло привести к установлению стехиометрии этой реакции. По-видимому, в кислых растворах CeCl_3 Мейтс кулонометрировал водородную волну, причем не на предельном токе, а на нижней части волны. Согласно нашим данным [11], восстановление ионов NO_3^- в кислых растворах LaCl_3 протекает при отрицательных потенциалах, чем ионов H^+ . Поэтому ошибочность выводов Мейтса вызывает сомнения.

Исследуя азотнокислые растворы лантана, в которых нитрат-анион, как предполагалось, содержался в значительной концентрации, чем лантан, В. И. Гороховская обнаружила две волны [4]. Предельный ток первой волны зависит от pH и концентрации лантана и не зависит от концентрации ионов NO_3^- . При pH = 3—7 предельный ток определяется только концентрацией лантана, причем довольно точно соответствует уравнению Ильковича при подстановке в него $n = 3$ и коэффициента диффузии лантана, вычисленного из данных по электропроводности. Не обратив внимания

чно положительную величину потенциалов первой волны ($-1,0 \div -1,4$ V), Гороховская делает вывод о том, что волна эта соответствует разряду ионов лантана металла. Микрокулонометрирование этой волны как бы подтвердило этот вывод, поскольку n оказалось равным 3. В отсутствие нитрат-ионов волны не наблюдаются, поэтому ионы NO_3^- должны играть в этом процессе особую роль, которую В. И. Гороховская по существу оказалась не в состоянии установить. Осталось также необъяснимым, почему при $[\text{La}^{3+}] > [\text{NO}_3^-]$ предельный ток первой волны пропорционален концентрации ионов NO_3^- .

Восстановление лантана при таких положительных потенциалах, на которые указывает В. И. Гороховская, маловероятно. Нормальный окислительно-восстановительный потенциал лантана равен $-2,8$ V (относительно н. к. э.) [20]. Известно, что потенциал полуволны восстановления ионов металлов до металлического состояния по сравнению с нормальными потенциалами часто снижаются за счет энергии образования амальгам. Для щелочных металлов это снижение имеет максимальную величину, но не превышает 1 V. Поэтому снижение потенциала на 1,8 V, которое допускает В. И. Гороховская для разряда ионов лантана, практически исключено. В отличие нитрат-ионов эффекты, связанные с разрядом ионов лантана, в наиболее благоприятных условиях наблюдаются, начиная лишь с $-1,8$ V [21]. Все экспериментальные данные, полученные В. И. Гороховской, легко могут быть объяснены. Выше уже указывалось, что восстановление ионов NO_3^- сопровождается ионением ионов OH^- :



Учет этого обстоятельства достаточен, чтобы объяснить наблюдающуюся экспериментально при $[\text{NO}_3^-] > [\text{La}^{3+}]$ зависимость предельного тока от pH и $[\text{La}^{3+}]$. Действительно, взаимодействие ионов OH^- и La^{3+} приводит к гидролизу ионов La^{3+} и, следовательно, к выпадению гидроксидов лантана. Поэтому в случае избытка ионов лантана предельный ток нитратной волны должен определяться скоростью разряда ионов лантана и водорода. При pH = 3—7 концентрация H^+ -ионов настолько мала, что изменение диффузионного потока ионов водорода в этом интервале не влияет существенно на величину суммарного диффузионного потока ионов H^+ , и предельный ток перестает зависеть от pH.

Как показывает опыт [22], гидролиз солей лантана, особенно на последующих этапах, протекает медленно. Это исключает возможность точного предсказания числа

NO_3^- , которое восстанавливается при попадании на электрод одного иона лантана. Тем не менее равенство величины n трем, приведенное в работе В. И. Гороховской, практически согласуется со стехиометрией реакции, описываемой уравнением (1). Совпадение величины n с валентностью ионов лантана, очевидно, чисто случайно. Подробнее об этих соотношениях [см. 23, 24].

Из факта, что при $[\text{La}^{3+}] > [\text{NO}_3^-]$ предельный ток пропорционален концентрации ионов NO_3^- , не нашедший объяснения в работе В. И. Гороховской, с точки зрения приведенных здесь рассуждений очевиден.

В остальных работах В. И. Гороховской и в работе П. А. Коршунова и Н. И. Малюжиной приведены данные по полярографическому поведению азотнокислых растворов тория [5], циркония [1, 6], ниобия [2] и молибдена [3]. Экспериментальные данные, приведенные в этих работах, получены при условии $[\text{NO}_3^-] > [\text{Me}]$ и в общих чертах совпадают с теми, которые получены для лантана. Поэтому изложенные выше для случая ионов лантана рассуждения остаются в силе и для большинства этих данных. В частности, они безоговорочно применимы для растворов, содержащих торий и цирконий [23]. Возможно, что в случае полярографии азотнокислых растворов ниобия катодная волна имеет каталитический характер типа волны NO_3^- в присутствии сорбента, для которой каталитический характер волны доказан [25]. Волна соответствует электрохимическому восстановлению металла до низкой степени окисления, в этом состоянии ионы металла восстанавливают нитрат-ионы, окисляясь вновь в исходное состояние. Этот цикл много раз повторяется. Поэтому предельный ток по отношению к высоте волны NO_3^- в присутствии молибдена, то есть каталитический характер с приведенным механизмом не вызывает сомнений; на это уже указали Джонсон и Робинзон [26]. Для аналогичной волны иона ClO_4^- в присутствии молибдат-ионов подобный механизм был установлен достоверно [27]. Указав В. И. Гороховской и П. А. Коршунова и Н. И. Малюжиной от представления о непосредственном восстановлении ионов NO_3^- привел их к ряду невероятных предположений.

В. И. Гороховская [5] считает, что влияние ионов NO_3^- на волну в присутствии тория выражается «в образовании непрочного (по сравнению с другими анионными комплексами с торием, который, легко гидролизуясь, образует промежуточные гидроксидные комплексы типа $[\text{Th}(\text{OH})_x]^{4-x}$ », адсорбирующиеся на поверхности ртутной капли. Восстановление гидроксидных комплексов приводит к снижению перенапряжения водорода. Само по себе утверждение о снижении перенапряжения водорода под действием гидроксидных комплексов правдоподобно [28]. Однако оно не требует предположения об

участии анионов NO_3^- в комплексообразовании и опровергается тем фактом, что хлорноокисных растворах торий при положительных потенциалах не дает волн. М. В. Ду тем известно, что ион ClO_4^- является еще более слабым комплексообразователем, чем ионы NO_3^- .

Далее В. И. Гороховская указывает: «Выделяющийся на поверхности электродного атомарный водород может вызвать вторичный процесс — восстановление нитрата. Это предположение, которое не является новым (восстановление водородом *in statu nascendi*), для случая восстановления на ртути, очевидно, не соответствует действительности [29].

Наконец, вызывают недоумение расчеты констант скоростей, которые В. И. Гороховская приводит в своих работах. В уравнения Коутецкого для кинетических токов входит отношение предельного кинетического тока к предельному диффузионному току. В. И. Гороховская же подставляет в уравнения отношение предельных диффузионных токов, что приводит к получению величин, лишенных физического смысла. Сколько результаты расчетов В. И. Гороховская рассматривает как подтверждение вывода о каталитическом выделении водорода, то следует этот аргумент считать не соответствующим.

В заключение следует заметить, что в рассматриваемых работах получен в су- довольно ценный экспериментальный материал. Однако неправильный подход авторов к его рассмотрению помешал им прийти к правильным выводам.

Поступила
24.VI.1959

ЛИТЕРАТУРА

1. А. М. Васильев, В. И. Гороховская-Проухина, Тр. Комиссии по аналитической химии, ОХН АН СССР, 7(10), 142, 1956.
2. В. И. Гороховская, Тр. Казанск. хим-технол. ин-та им. С. М. Кирова, вып. 21, 107, 1956.
3. В. И. Гороховская, Тр. Казанск. хим-технол. ин-та им. С. М. Кирова, вып. 21, 113, 1956.
4. В. И. Гороховская, Тр. Казанск. хим-технол. ин-та им. С. М. Кирова, вып. 22, 61, 1957.
5. В. И. Гороховская, Тр. Казанск. хим-технол. ин-та им. С. М. Кирова, вып. 22, 68, 1957.
6. И. А. Коршунов, Н. И. Малюгина, Ж. неорганической химии, 4, 1077, 1957.
7. М. Токуока, Coll. Czech. Chem. Comm., 4, 444, 1932.
8. М. Токуока, I. Ružička, Coll. Czech. Chem. Comm., 6, 339, 1934.
9. I. M. Kolthoff, W. E. Harris, G. Matsuyama, J. Amer. Chem. Soc., 66, 1782, 1944.
10. J. Mašek, Chem. listy, 46, 200, 1952; Coll. Czech. Chem. Comm., 18, 583, 1952.
11. А. Н. Фрумкин, С. И. Жданов, Докл. АН СССР, 92, 629, 1953; 96, 1954; 97, 867, 1954.
12. С. И. Жданов, Ж. аналитической химии, 12, 105, 1957.
13. W. Kemula, Z. R. Grabowski, Compt. rend. Soc. sci. lettres Varsovie, Cl. III, sci. mat. phys., 78, 1951; Roczn. Chem., 26, 266, 1952.
14. Z. R. Grabowski, Roczn. chem., 27, 285, 1953.
15. Z. R. Grabowski, W. Turnowska, Roczn. chem., 29, 746, 1955.
16. J. W. Kollat, J. J. Lingane, J. Amer. Chem. Soc., 76, 4214, 1954.
17. А. Н. Фрумкин, Г. М. Флоринский, Докл. АН СССР, 80, 907, 1953.
18. З. Ч. Грабовский, Тр. 4-го совещания по электрохимии, М., Изд-во АН СССР, 1959, стр. 233.
19. L. Meites, J. Amer. Chem. Soc., 73, 4115, 1951.
20. В. Латимер, Окислительные состояния элементов и их потенциалы в водных растворах, ИИЛ, М., 1954, стр. 349.
21. С. И. Жданов, А. Н. Фрумкин, Ж. физ. химии, 29, 1459, 1955.
22. Б. Б. Дамаскин, Н. В. Николаева-Федорович, Научные труды Высшей школы, серия химии, 2, 43, 1959.
23. С. И. Жданов, В. И. Зыков, Т. В. Калиш, Тр. 4-го совещания по электрохимии, М., Изд-во АН СССР, 1959, стр. 164.
24. Лю Шоу-жу, С. И. Жданов, Докл. АН СССР, 127, 1051, 1959.
25. J. Koryta, Coll. Czech. Chem. Comm., 20, 667, 1955.
26. M. Johnson, R. Robinson, Analyt. Chem., 24, 366, 1952.
27. С. И. Синякова, М. И. Глинкина, Тр. 4-го совещания по электрохимии, М., Изд-во АН СССР, 1959, стр. 201.
28. С. И. Жданов, А. Н. Фрумкин, Ж. физ. химии, 29, 1459, 1955.
29. А. Н. Фрумкин, В. С. Багоцкий, Э. А. Иофа, Б. Н. Кабанов, Кинетика электродных процессов, Изд-во МГУ, 1952, стр. 199.

О СТАТЬЕ А. МИТУЯ И Т. ОБАЯШИ «РАЗРУШЕНИЕ ПЛАТИНОВОГО АНОДА В КИСЛЫХ РАСТВОРАХ»

А. Н. Фружкин

Митуя [1] произвел измерения водородного перенапряжения в 0,1 N HCl на ртути при очень малых плотностях тока (от $0,7 \cdot 10^{-11}$ до $1,36 \cdot 10^{-7}$ А/см²). На основании полученных результатов был сделан ряд выводов, подтверждающих, по мнению автора, рию водородного перенапряжения Хориучи. Учитывая значение этого вопроса, естественно было обратить внимание на методику опытов, легших в основу теоретических выводов. При таком рассмотрении сразу бросается в глаза, что в той части кривой, в которой данные Митую перекрываются с данными других авторов, найденные им значения перенапряжения слишком низки. Так, при $i = 1,36 \cdot 10^{-7}$ значение η , найденное Митую, составляет 379 mV. Из данных С. Д. Левиной и В. А. Заринского [2] следует для того же значения i в том же электролите $\eta = 603$ mV. Расхождение еще несколько увеличится, если учесть, что измерения С. Д. Левиной и В. А. Заринского производились при 22°, а измерения Митую при 12°. Измерения при этих плотностях тока были дважды повторены в нашей лаборатории, а именно З. А. Иофа, из данных которого получается для указанной плотности тока $\eta = 616$ mV при 12°, и В. С. Багоцкий [4], получившим значения, практически совпадающие со значениями З. А. Иофа. Такое совпадение результатов трех независимых работ не оставляет сомнений в их правильности; следовательно, значение, найденное Митую, понижено больше чем на 0,2 V.

Мне казалось, что причина этого снижения перенапряжения могла заключаться в большой близости платинового электрода со значительной поверхностью к ртутному электроду в приборе, использованном Митую, и в связанном с этим попаданием следов платины на поверхность ртути. Однако, по мнению Митую, в этом случае должно было бы наблюдаться снижение перенапряжения во времени, которое не было констатировано в опытах. В связи с этими соображениями мною было указано на возможность такого механизма загрязнения раствора платиной, при котором при соприкосновении платины с раствором переходит некоторое количество платины за счет разрушения прилегающей на поверхности платины окисной пленки, но не происходит дальнейший перенос платины. Эти соображения явились толчком к опубликованному в Журнале физической химии исследованию Митую. По моему мнению, указанная работа по ориентации выбранного метода представляет значительный интерес, однако она не может опровергнуть высказанных мною соображений, так как мы не знаем относительной чувствительности обнаружения следов платины по методу, предложенному Митую, а снижению перенапряжения на ртути при малых плотностях тока. На основании практического опыта по измерению водородного перенапряжения на ртути известно, что нельзя помещать столь близко от поверхности ртути большой платиновый электрод, не рискуя при этом получить слишком малые значения перенапряжения. Во всяком случае другого объяснения расхождения между данными Митую и данными, полученными в наших работах, пока не было предложено.

В заключение я хотел бы указать еще, что при теоретической трактовке результатов измерений перенапряжения при очень малых плотностях тока, а следовательно, при очень малых перенапряжениях, как это следует из большого числа работ, необходимо учитывать адсорбцию аниона, что не было сделано в работах японских авторов. Кроме того, необходимо обратить внимание на резкое расхождение в значениях перенапряжения ртутного электрода, приведенных в работе Митую [1], по сравнению со всеми достоверными данными, имеющимися в литературе.

Поступила
16.XI.1959

ЛИТЕРАТУРА

- А. Митую, J. Res. Inst. Catalysis. Hokkaido Univ., 4, 228, 1956.
С. Д. Левиной и В. А. Заринский, Ж. физ. химии, 9, 627, 1937; Acta phys. chim. URSS, 6, 491, 1937; 8, 493, 1937.
З. А. Иофа, Ж. физ. химии, 13, 1435, 1939; Acta phys. chim. URSS, 10, 903, 1939.
В. С. Багоцкий, Докл. АН СССР, 58, 1387, 1947.

ПИСЬМА В РЕДАКЦИЮ

О ВЛИЯНИИ ТЕМПЕРАТУРНЫХ УСЛОВИЙ НА СКОРОСТЬ ПРОСКОКА ЛАМИНАРНЫХ ПЛАМЕН

Ф. Б. Моин и В. У. Шевчук

Согласно [1] явление проскока ламинарного пламени описывается следующим уравнением:

$$g = \frac{8w}{D} = \frac{u_{\perp}}{x},$$

где g — градиент скорости газа у стенки трубки; w — средняя скорость газа при проскоке (скорость проскока); D — диаметр горелки; u_{\perp} — нормальная скорость распространения пламени; x — «расстояние проникания», т. е. расстояние от стенки, на котором погасание пламени становится заметным.

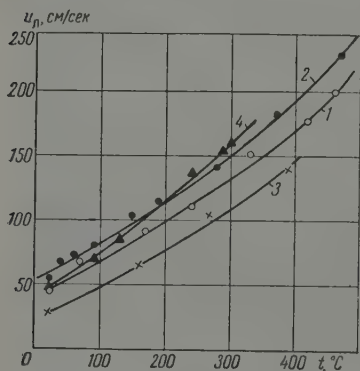


Рис. 1

Так как u_{\perp} зависит от температуры смеси, а x может зависеть, кроме того, от температуры стенки, то эти факторы оказывают влияние и на скорость проскока пламени.

Опубликованных работ по влиянии температурных условий на проскок пламени очень мало. Из последних можно отметить работу [2], в которой изучался турбулентный проскок водородо-кислородных пламен. Авторы [2] указывают, что температура наконечника горелки является одним из факторов, существенно влияющих на проскок пламени.

Нами исследовалось влияние температур смеси и стенки трубки на скорость проскока ламинарных пламен метано-кислородных смесей.

Проскоки метано-кислородных пламен изучались на кварцевых трубках диаметром 8 мм. Лабораторная установка состояла из вертикальной горелки, помещенной

в электрический подогреватель, и измерительных приборов. Наконечник горелки был снабжен специальным электронагревателем для поддержания заданной температуры стенки горелки. Постоянная температура стенки горелки поддерживалась фотоэлектронным регулятором с точностью $\pm 10^\circ$.

Для опытов использовались предварительно приготовленные метано-кислородные смеси, что исключало возможность изменения состава смеси в процессе работы.

Параллельно со скоростью проскока определялась скорость распространения пламени при разных температурах смеси. Измерение скорости пламени производилось по методу горелки путем замера высоты конуса пламени.

Опыты проводились следующим образом. При заданных температурах подогревателя и стенки горелки устанавливали расход смеси, заведомо больший расхода при проскоке, и замеряли высоту конуса пламени; затем расход смеси уменьшали до наступления проскока. Проскок фиксировался визуально. После определения скорости проскока пламя гасили и замеряли температуры подогрева при скоростях негорящего газа, соответствующих проскоку и измерению скорости пламени. Температура подогревателя замерялась термопарой, установленной на выходе горелки по оси струи газа.

Четкий ламинарный проскок пламени богатых метано-кислородных смесей на горелке диаметром 8 мм наблюдается при содержании кислорода в смеси от 47 до 50 об. %. При концентрации O_2 менее 47 об. % проскок визуально определяется нечетко; при концентрации O_2 более 50 об. % скорость проскока соответствующим

турбулентному режиму. Ввиду этого, взятые нами богатые смеси лежали в указанном интервале концентраций и имели следующий состав (об. %):

CH_4 — 51,2; O_2 — 47,0; N_2 — 1,8 (смесь 1);
 CH_4 — 50,0; O_2 — 48,0; N_2 — 2,0 (смесь 2).

Бедные смеси, имевшие нормальные скорости распространения пламени, примерно такие же, как и богатые, были следующего состава (об. %):

CH_4 — 7,9; O_2 — 90,6; N_2 — 1,5 (смесь 3);
 CH_4 — 9,0; O_2 — 89,4; N_2 — 1,6 (смесь 4).

Результаты опытов представлены на рис. 1—3.

Полученные результаты показывают, что скорость проскока пламени как богатых, так и бедных метано-кислородных смесей возрастает с повышением температуры подогрева смеси при постоянной температуре стенки. При этом скорость проскока пламени богатых смесей увеличивается почти прямо пропорционально скорости пламени.

$x, \text{м/сек}; g \cdot 10^{-3}, 1/\text{сек}$

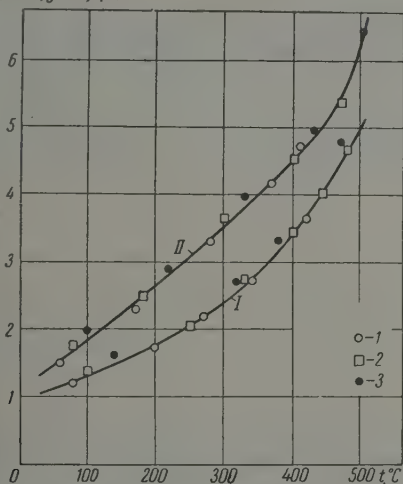


Рис. 2

$x, \text{м/сек}; g \cdot 10^{-3}, 1/\text{сек}$

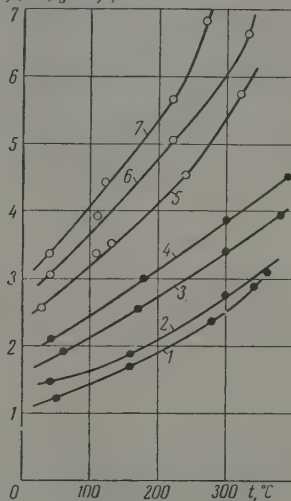


Рис. 3

Скорость проскока пламени бедных смесей увеличивается несколько медленнее скорости распространения пламени. Следовательно, расстояние проникновения x для богатых смесей от температуры смеси практически не зависит, а для бедных смесей при повышении температуры смеси x несколько увеличивается.

В отношении влияния температуры стенки заметно существенное отличие между пламенами бедных и богатых смесей.

Как показывает рис. 2, все экспериментальные данные по скоростям (градиентам) проскоков богатых метано-кислородных пламен хорошо ложатся на одну кривую, независимо от температуры стенки горелки, т. е. градиент проскока пламени богатых метано-кислородных смесей, а следовательно, и расстояние проникновения от температуры стенки практически не зависят.

В противоположность этому, градиент проскока пламени бедных метано-кислородных смесей, как показывает рис. 3, сильно зависит от температуры стенки. При повышении температуры стенки горелки от 250 до 450° градиент проскока при постоянной температуре смеси возрастает в 1,4—1,8 раза.

Отличие в поведении пламен богатых и бедных смесей при проскоках отмечалось и в работах других авторов. В работе [3] указывается, что наблюдающееся большое различие в скоростях проскока богатых и бедных бутано-воздушных пламен (при равных скоростях пламени) не может быть объяснено различием физических свойств смесей, таких, как теплоемкость или теплопроводность. По мнению авторов [3], причиной указанного различия является разный характер воспламенения: тепловой для бедных смесей и радикальный для богатых.

Известно, что концентрация радикалов в богатых углеводородных пламенах значительно выше, чем в бедных, что соответствует более высокой концентрации горючего в смеси. Поэтому роль диффузии радикалов из пламени, по сравнению с теплопереда-

чей, может быть значительно более существенной в случае пламен богатых смесей, нежели бедных.

С этой точки зрения, можно объяснить и наблюдавшееся в нашей работе отличие в зависимости скорости проскока пламени от температуры стенки для богатых и бедных метано-кислородных пламен. В случае бедных смесей гасящее действие стенки обусловлено теплоотводом на стенку. При повышении температуры стенки теплоотвод уменьшается, что приводит к уменьшению «расстояния проникания» x и увеличению скорости проскока.

В случае богатых смесей гасящее действие стенки обусловлено диффузией радикалов из пламени и их гибелью на стенке. Поскольку диффузия радикалов от температуры стенки не зависит, то и скорость проскока не изменяется при повышении температуры стенки.

Исследование влияния температур стенки и смеси на скорость проскока пламени разных горючих смесей нами продолжается.

Поступила
3.VIII.1959

ЛИТЕРАТУРА

1. B. Lewis, G. Elbe, J. Chem. Phys., **11**, 75, 1943.
2. L. M. Bollinger, R. Edse, Industr. and Engng Chem., **48**, № 4, 802, 1956.
3. К. Воль, Н. Капп, К. Гаслей, Сб. «Вопросы горения», ИИЛ, 1953, стр. 5—30.

ВЗАИМНАЯ РАСТВОРИМОСТЬ В СИСТЕМЕ ТЕТРАХЛОРИД КРЕМНИЯ — АЦЕТОНИТРИЛ

С. Аликберов, Л. П. Шкловер, А. С. Сыромятникова
и Т. М. Щербакова

Тетрахлорид кремния SiCl_4 и ацетонитрил CH_3CN при комнатной температуре образуют устойчивую двухфазную систему, причем в нижнем слое растворено более 50% ацетонитрила.

Интерес к указанной системе определяется возможностью экстракции примесей ацетонитрилом из тетрахлорида кремния [1], как метода очистки для последующего восстановления цинком или водородом с целью получения особо чистого кремния для полупроводниковой техники. Экстракция обусловлена высокой растворимостью в ацетонитриле очень многих неорганических и органических веществ [2].

Ограниченная взаимная растворимость тетрахлорида кремния и ацетонитрила может быть объяснена правилом: «подобное растворяется в подобном».

Таблица 1

Соединение	Т. кип., °C	Плотность, г/см ³	Дипольный момент, D	Диэлектр. постоянная	Литература
Тетрахлорид кремния	57,6	1,49276	0	2,4	[3]
Ацетонитрил	81,6	0,78743	3,37	37,5	[4]

Из данных табл. 1, где представлены свойства обоих соединений, следует: неполярные молекулы тетрахлорида кремния, представляющие собой симметричные тетраэдры с расстоянием между атомами кремния и хлора 2,00 Å [5], резко отличны в электростатическом отношении от полярных молекул ацетонитрила. Напротив, несимметричные молекулы трихлорсилана SiHCl_3 , обладающие дипольным моментом $\mu = 0,80$ дебай [3], полностью смешиваются, по нашим данным, с молекулами ацетонитрила.

Полярность тетраэдрических молекул трихлорсилана — тетрахлорида кремния, в котором один атом хлора замещен на атом водорода, обусловлена их несимметричностью — Cl 2,01 Å, $\text{Si} - \text{H}$ 1,54 Å, $\text{Cl} - \text{Cl}$ 3,29 Å [3, 6]).

Расслаивание достигается также в системе тетрахлорид кремния — пропонионитрил $\text{C}_2\text{H}_5\text{CN}$, но при температуре ниже -10°C .

Мы определили взаимную растворимость тетрахлорида кремния и ацетонитрила в зависимости от температуры. Результаты представлены в табл. 2.

Таблица 2

Состав смеси, вес. %		Температура гомогенизации, °C	Состав смеси, вес. %		Температура гомогенизации, °C
SiCl_4	CH_3CN		SiCl_4	CH_3CN	
97,72	2,28	27,8	73,86	26,14	51,5
94,46	5,54	36,1	71,87	28,13	48,8
92,97	7,03	38,0	65,38	34,62	43,6
91,44	8,56	42,4	60,71	39,29	40,1
89,88	10,12	43,9	55,77	44,23	37,9
88,32	11,68	48,2	50,42	49,58	34,4
84,98	15,02	50,7	44,76	55,24	33,0
81,52	18,48	51,3	32,08	67,92	31,1
77,81	22,19	51,8	25,01	74,99	28,1

Исходные вещества были перегнаны на кварцевом дистилляционном аппарате. Температуры кипения соответственно 57,4 и 80,5°C.

Спектральный анализ двуокиси кремния, полученной гидролизом исходного тетрахлорида кремния, показал содержание следующих примесей (в вес.%): $1 \cdot 10^{-2}$ Al, $4 \cdot 10^{-5}$ Cu, $1 \cdot 10^{-4}$ Pb.

Другие примеси не обнаружены.

Смеси тетрахлорида кремния и ацетонитрила готовились с изменением состава через 2,5—5 об.%. Общий объем смеси составлял 20 мл. Определялась температура гомогенизации смесей при нагревании на водяной бане. В работе использовались термометры типа ТЛН с ценой деления шкалы 0,1°, проверенные в Комитете мер и измерительных приборов.

Критическая температура растворения (51,8°C) была определена графически и подтверждена экспериментально.

Поступила
9.VII.1959

ЛИТЕРАТУРА

1. G. Rosenberger. Патент ФРГ 955415, 3.I.1957.
2. Я. М. Паушкин, Л. В. Осипова, Успехи химии, 28, 237, 1959.
3. К. А. Андрианов, Кремнийорганические соединения, Госхимиздат, 1955.
4. А. Вайсбергер, Э. Проскауэр, Д. Риддик, Э. Тупс, Органические растворители, ИЛ, М., 1958.
5. М. В. Волькенштейн, Физические свойства и строение молекул, Изд. АН СССР, М., 1955.
6. В. А. Киреев, Курс физической химии. Госхимиздат, М., 1951.

РЕЦЕНЗИИ

ЗАМЕЧАНИЯ ПО ПОВОДУ КНИГИ ХЮККЕЛЯ

С. С. Бацанов

В 1959 г. в Издательстве иностранной литературы вышел перевод статьи Хюккеля под названием «Химическая связь». Первая часть этой интересной работы целиком посвящена критике концепции электроотрицательностей. Поскольку в предисловии брошюры Хюккеля отсутствуют какие-либо замечания по существу вопроса, у неспециалистов может сложиться неправильное мнение об объективности выводов Хюккеля. Однако это далеко не так.

Разберем критические доводы Хюккеля по порядку.

1) На стр. 13 указывается, что Полинг (Природа химической связи, Госхимиздат, 1947 г.) считает дополнительную ионную энергию связи выражением ее полярности. Таким нельзя согласиться. Полинг говорит только о симпатности величин ионной энергии и процента ионности связи (стр. 57). Поэтому противоречия в процентах ионности, отмеченные Хюккелем, например в табл. 2 на стр. 19 его книги, иллюзорны.

2) Табл. 1 книги Хюккеля в части новых полинговских значений ионности связи не согласуется с работой Полинга (J. Phys. Chem., 56, 361, 1952). В этой статье дается также формула $i = 1 - e^{-0,125x^2}$, хотя Хюккель на стр. 17 и пишет, что соответствующая зависимость у Полинга отсутствует.

3) Явление поляризации ионов играет существенную роль лишь в тех случаях, когда химическая связь имеет сколько-нибудь ионный характер. Поэтому в ряду HF, Cl, HBr и HI, где проценты ионности соответственно равны 40, 17, 11 и 5%, эффект поляризации, по-видимому, не может увеличиваться, как то считает Хюккель (стр. 17), должен падать, в согласии с точкой зрения Полинга, оставаясь все время незначительным по величине.

4) Сравнение ионностей связей, определенных по дипольным моментам и из электроотрицательностей, сделанное Хюккелем на стр. 19 в табл. 2, если исключить строчки, содержащие результаты неудовлетворительных, с нашей точки зрения, подсчетов дополнительной ионной энергии, подтверждает, а не опровергает теорию Полинга. В самом деле, при замене расчетных расстояний Хюккеля для связей Гал — Гал экспериментальными данными [1], получаем для Cl — F ($\mu = 0,88$, $r = 1,63$), $i_g = 11\%$, по новой формуле Полинга и уточненным значениям электроотрицательностей по Лэдду и Рохову [2] $i_x = 15\%$; для Br — F ($\mu = 1,29$, $r = 1,76$) $i_g = 15\%$ и $i_x = 20\%$; для J — Cl $i_g = 7\%$ и $i_x = 7\%$; для J — Br $i_g = 4\%$ и $i_x = 4\%$.

5) Полинг в своей книге пишет, что один десятичный знак — это предел точности электроотрицательностей. Табл. 5 книги Хюккеля (стр. 22) только подтверждает высказывание Полинга. Большие абсолютные и относительные ошибки получаются у первого потому, что он делит погрешности на разности электроотрицательностей, а не на их собственные значения. Например, стандартный разброс на один атом по данным Хюккеля (стр. 22) 0,1—0,2 * может составить всего несколько процентов, если его отнести к партнерам рассмотренных связей (Cl и F), чьи электроотрицательности соответственно равны 3 и 4. Полинг в своей книге неоднократно подчеркивает, что таблицы не составлял в отношении наилучшего соответствия именно абсолютных величин электроотрицательностей.

6) Определять ионность связи в общем случае непосредственно из дипольных моментов невозможно, так как на последние влияют не только полярности атомов, но также гибридизация и поляризация электронных оболочек. Поэтому все сопоставления, сомнения, приведенные Хюккелем на стр. 23 и 24 его книги, нельзя считать убедительными.

7) Что касается большой полярности связи C — J, то, по нашему мнению [3], она может быть обусловлена высокой электроотрицательностью изолированного атома йода, вступающего во взаимодействие с углеродом.

8) По новой кривой Полинга и уточненным значениям электроотрицательностей [4] для HF получается 44% вместо 40% по экспериментальным данным. Если учесть также влияние возможных ошибок опыта в определении электронной поляризации межатомного расстояния в HF, вызванных, например, водородными связями в этом

* По кривой Полинга такой разброс соответствует всего 1—3% ионности связи.

соединении, то экспериментальное значение ионности можно считать определенным с точностью (по-видимому, заниженным) до 1—2%. Следовательно, соответствие теории и опыта и в данном случае составляет всего несколько процентов и не «должно поколебать доверие любого непредубежденного читателя к данным относительно процента ионности», вопреки мнению Хюккеля (стр. 24 и 25).

8) Принципиальные возражения Хюккеля, высказанные им в конце раздела, по священному электроотрицательностям (стр. 25 и 26) — двух сортов.

Первое возражение касается якобы постоянного, ни от чего не зависящего значения электроотрицательности элемента. Но в настоящее время установлены зависимости электроотрицательностей от валентностей атомов [4], от гибридизации [5, 6] и кратности [7] связей, от наличия в молекуле других атомов [8—9] и т. д.

Второе возражение гораздо серьезнее. Размерность электроотрицательностей по Полингу «энергия^{1/2}». Каков физический смысл такой величины? Следует ли вообще V называть новым словом?

Любая функция, сконструированная из других физических величин, только тогда имеет право на существование, когда она обладает каким-либо новым свойством, которого не было у исходных слагаемых. Корень из теплового эффекта реакции оказался возможным разложить на термы, которые можно приписать отдельным элементам. Таким свойством просто тепловой эффект не обладает. Комбинируя электроотрицательности, можно вычислять теплоты реакций, в том числе и таких, которые еще не реализованы на практике. Поэтому электроотрицательности можно с полным правом сравнивать, например, со спектральными термами, с атомными радиусами и другими подобными величинами.

Что касается физического смысла, то не всегда мы можем требовать от расчетной величины большой наглядности. Во всяком случае электроотрицательность имеет не меньший физический смысл, чем ψ -функция, ибо только $|\psi|^2$ может быть отождествлена с физически наглядной картиной — плотностью электронного облака.

Последовательный разбор критики Хюккеля показывает, что она небезупречна и вряд ли поэтому с ним можно согласиться, что в «один прекрасный день... теории (электроотрицательностей — С. Б.) покажется настолько дискредитированной, что ее совсем выбросят за борт».

Поступила
24.VIII.1959

ЛИТЕРАТУРА

1. Т. Коттрелл, Прочность химических связей, ИЛ, 1956.
2. A. Allred, E. Rochow, J. Inorg. Nucl. Chem., 5, 269, 1958.
3. С. С. Бацанов, Федоровская сессия по кристаллографии, Изд-во АН СССР, Ленинград, 1959, стр. 67.
4. W. Gordy, W. Thomas, J. Chem. Phys., 24, 439, 1956.
5. R. Mulliken, J. Phys. Chem., 41, 318, 1937.
6. H. Scinner, F. Sumner, J. Inorg. Nucl. Chem., 4, 245, 1957.
7. W. Gordy, J. Chem. Phys., 14, 305, 1946.
8. R. Sanderson, J. Amer. Chem. Soc., 74, 4792, 1952.
9. J. Bell, J. Heisler, H. Tannenbaum, J. Goldensen, J. Amer. Chem. Soc., 76, 5185, 1956.



С. З. РОГИНСКИЙ

(к 60-летию со дня рождения)

6 марта 1960 г. исполняется 60 лет со дня рождения выдающегося исследователя области катализа, члена-корреспондента АН СССР Симона Залмановича Рогин-

ского. В 1922 г. С. З. Рогинский окончил Днепропетровский политехнический институт. Его научной деятельности протекало в лабораториях известных физико-химиков Д. П. Коновалова и Л. В. Писаржевского. Здесь у С. З. Рогинского зародился интерес к вопросам гетерогенного катализа, сохранившийся на протяжении его научной деятельности.

В 1926 г. в Физико-техническом институте, руководимом А. Ф. Иоффе, С. З. Рогинский и А. И. Шальников выполнили изящную экспериментальную работу по каталитическому получению золотых металлов.

В 1929 г. А. Ф. Иоффе и Н. Н. Семенов приглашают С. З. Рогинского на постоянную работу в Институт химической физики, где он с 1932 г. возглавляет лабораторию катализа и топочимии (в 1941 г. переведенную в Коллоидно-электрохимический институт АН СССР).

За время научной деятельности С. З. Рогинским опубликовано свыше 300 работ. Большая часть их посвящена вопросам физико-химии гетерогенного катализа. В 30-е годы им была предложена теория приготовления катализаторов, известная под названием «теории пересыщения». Согласно этой теории, для получения активного катализатора необходимо вести процесс его приготовления в условиях, максимально близких к равновесным.

В 1937—1939 гг. С. З. Рогинский, Д. П. Добычин и Т. Ф. Целинская провели исследования по проверке ряда выводов, вытекающих из теории пересыщения. Впоследствии теория пересыщения была успешно применена для усовершенствования промышленных катализаторов: синтеза аммиака, гидрирования жиров, получения диэфира из спирта и других.

С. З. Рогинский выдвинул положение, что большинство поверхностей адсорбентов катализаторов неоднородны, и разработал так называемый метод контролирующей адсорбции, при помощи которого им была развита статистическая теория процессов на неоднородных поверхностях. Применение этой теории к конкретным процессам объяснило многие аномальные кинетические и адсорбционные явления, закономерности действия катализаторов и т. д. Результаты этого цикла работ, в которых принимал активное участие О. М. Тодес, были обобщены в широко известной монографии «Адсорбция на неоднородных поверхностях» (1948 г.).

В годы Великой Отечественной войны С. З. Рогинский и руководимый им коллектив лаборатории катализа переключился на работу, связанную с запросами фронта. Им выполнен ряд работ по подбору активных катализаторов из недефицитных материалов для обеспечения полного сжигания топлива в каталитических обогревателях для танковых двигателей, а также по конструкции обогревателей. За плодотворную и рационализаторскую работу по созданию новых и усовершенствованию существующих образцов вооружения Красной Армии С. З. Рогинский вместе с группой своих сотрудников (С. Ю. Елович, Г. М. Жаброва, Л. Я. Марголис и Б. М. Каденали) премированы Наркомом Обороны и Президиумом Академии наук СССР.

Последнее время С. З. Рогинский занимается главным образом электронными явлениями в гетерогенном катализе. Начало этого цикла работ следует отнести к концу 20-х годов, когда им было показано, что катализаторами разложения твердых кислородсодержащих соединений (KMnO_4 , KClO_3) служат окислы переходных металлов и некоторые другие окрашенные и проводящие окислы. В 1946 г. это положение было распространено и на газообразные реакции окисления (совместно с С. Ю. Ивичем, Г. М. Хабровой и Л. Я. Марголис). Дальнейшая разработка этих вопросов привела к формулировке некоторых общих положений, названных С. З. Рогиным «электронно-химической концепцией катализа». По мнению С. З. Рогинского, каталитические процессы делятся на два основных типа: кислотно-основные (ионные) и электронно-восстановительные (электронные). К первому типу процессов относятся крекинг, гидратация, дегидратация, гидролиз и другие. Катализаторами их служат твердые вещества с кислотно-основными свойствами: алюмосиликаты, Al_2O_3 , SiO_2 и другие. Большой разницей между гомогенными и гетерогенными катализаторами здесь в механизме процессов этого типа основную роль играет перенос протона. Механизм процессов второго типа включает процессы переноса электронов. Поэтому и катализаторами этих процессов (окисление, восстановление, гидрирование и другие) являются электропроводящие твердые тела — металлы и полупроводники. Большое значение для каталитической активности этих катализаторов имеют примеси, изменяющие характер элементарных стадий каталитических процессов.

В 1954 г. С. З. Рогинский совместно с А. А. Баландиным, Г. К. Боресковым, П. М. Чирковым и другими учеными сформулировал и изложил общие аспекты и основные основы подбора катализаторов, как ведущей проблемы катализа.

Далее в течение нескольких лет С. З. Рогинский вместе с О. В. Крыловым, Е. А. Кипой и В. М. Фроловым проводились систематические исследования каталитических свойств неорганических полупроводников, состоящих из элементов, относящихся к различным группам периодической системы Менделеева.

Наряду с теоретическим исследованием электронных явлений в катализе в лаборатории катализа Института физической химии АН СССР под руководством С. З. Рогинского был экспериментально изучен электронный механизм ряда каталитических реакций на полупроводниках. Большое внимание было уделено сравнению каталитической активности полупроводников с их электронными характеристиками: электропроводностью, работой выхода электрона и другими. В последнее время С. З. Рогинский занимается вопросами электронной кинетики каталитических реакций. Ему удалось получить кинетические уравнения, учитывающие зарядное состояние поверхности адсорбции и катализе и неоднородность каталитической поверхности.

Под руководством С. З. Рогинского был изучен механизм, кинетика и свойства катализаторов таких реакций, как окисление CO , крекинг углеводородов, разложение спиртов, окисление C_2H_4 и C_2H_6 , синтез на основе CO и H_2 и других.

Вторым важным направлением научной деятельности С. З. Рогинского является радиохимия и использование меченых атомов. В 1935 г. он, совместно с П. Е. Брезвой, впервые в СССР применил радиоизотопы для изучения механизма химических реакций — был изучен обмен бромом между органическими и неорганическими соединениями. С. З. Рогинский теоретически показал, что в большинстве гомогенных и гетерогенных процессов кинетика изотопного обмена подчиняется уравнению первого порядка. Им был разработан ряд изотопных методов изучения химических реакций: дифференциально-изотопный метод обнаружения неоднородной поверхности (совместно с Н. П. Кейер), методы изучения изотопного обмена, методы изотопных поправок, диохроматографические методы (совместно с М. И. Яновским) и другие. Радиоактивные и стабильные изотопы широко применяются в лаборатории для изучения каталитических катализаторов. В 1956 г. С. З. Рогинский опубликовал монографию «Теоретические основы изотопных методов изучения химических реакций», переведенную на ряд иностранных языков.

Научные интересы С. З. Рогинского распространяются и на ряд других разделов физической химии. Он изучал разложение взрывчатых веществ, разрабатывал (совместно с О. М. Тодесом) вопросы топочимической кинетики и сформулировал кристаллизационную теорию топочимических реакций. Совместно с А. Б. Шехтер он изучал химические реакции в электрическом разряде. Большое число работ выполнено С. З. Рогиным (совместно с А. Б. Шехтер и И. И. Третьяковым) в области электрохимии, микрокинетики металлических поверхностей и высокодисперсных тел.

Большое внимание С. З. Рогинский уделял подготовке научных кадров как в руководимой им лаборатории катализа, так и в Ленинградском политехническом институте и в Московском институте химического машиностроения. Многие его ученики получили защитили кандидатские диссертации, а 16 человек — докторские диссертации.

Наряду с научной работой С. З. Рогинский ведет большую общественную и организационную работу. По его инициативе было организовано несколько конференций по вопросам катализа и другим вопросам. С. З. Рогинский является бессменным редактором «Проблемы кинетики и катализа» (вышло 10 томов), членом ряда академических комиссий и ученых советов.

За свои заслуги С. З. Рогинский был дважды удостоен Сталинской премии и награжден орденом Трудового Красного Знамени и медалями.

Н. Е. Брежнева, Д. П. Добычин и Г. М. Жаб

ПРОФЕССОР АЛЬФРЕД ЭДЖЕРТОН

(Некролог)

В сентябре 1959 г. скоропостижно скончался в возрасте 72 лет от паралича сердца ирландский ученый, заслуженный профессор, член Королевского общества Альфред Эджертон. Его труды широко известны советским ученым, работающим над проблемами горения. После большого экспериментального исследования возникновения пламенной волны в трубах (1927 г.) обширный цикл работ Эджертона и его соотечественников был посвящен исследованию химической природы явления «стука» в двигателе внутреннего сгорания. С этой общей проблемой связаны исследования механизма окисления углеводородов, в частности работы по окислению паров пентана (1933 г.), в которых Эджертон одним из первых применил для кинетических целей спектроскопические методы. В самом начале развития теории разветвленных цепных реакций Эджертон оценил познавательное ее значение для выяснения механизма вырожденных разветвленных цепей при окислении углеводородов через органические гидропероксиды — в работах по возникновению холодных пламен, по действию на самовоспламенение углеводородов антидетонаторов и входящих в их состав металлов. Разработанная в ряде работ Эджертона идея о предварительной химической подготовке — «сенсбилизации», как причине возникновения детонационного воспламенения при «стуке» в двигателе внутреннего сгорания, наиболее полно отражена в одном из фундаментальных химических исследований явления «стука», проведенном непосредственно в цилиндре двигателя (работа Эджертона, Смита и Уббелоде 1935 г.). Подробное описание этой работы было опубликовано в журнале Техника Воздушного Флота, 1936 г.

С глубоким интересом следили советские ученые и за работами Эджертона и его учеников в послевоенные годы по исследованию пределов воспламенения (1948 г.); распространению пламен (1951 г.), механизму образования H_2O_2 при окислении углеводородов (1957 г.) и другими.

Члены Советской делегации на VII Международном симпозиуме по горению с большой благодарностью вспоминают ту теплую встречу, которую А. Эджертон — один из организаторов симпозиума, устроил им в Оксфорде. Своим неизменно благоприятным отношением к советским ученым и к советской науке проф. Эджертон так способствовал укреплению плодотворных научных связей между советскими и английскими учеными.

*Группа ученых Института химической физики
Академии наук СССР*

25 февраля 1960 г.

СОДЕРЖАНИЕ

- Владимир Ильич Ленин (к 90-летию со дня рождения)
- В. М. Татевский и Ю. Г. Папулов. Связь энергии образования молекулы из свободных атомов с ее строением. III
- Е. И. Колобов. К вопросу о строении кристаллических полимеров
- И. А. Алексеева, В. Г. Плюснин, Е. П. Бабин и Г. А. Алексеева. Закономерности замещения атомов водорода в бензольном ядре алкильными группами. VIII.
- А. И. Руцков. К вопросу о рациональных путях изучения теплоемкостных свойств водных растворов электролитов
- Е. З. Панобашвили. Влияние молибдата натрия на каталитический распад перекиси водорода в присутствии бихромата
- А. В. Сторопкин и А. И. Русанов. Термодинамическая теория критических явлений в трехкомпонентных системах. II.
- З. А. Соловьева и А. Т. Ваграмян. О роли самоприспособления в поляризационных измерениях при электроосаждении металлов
- В. В. Сараева, Б. Я. Ладыгин и Нам Чан Сун. Радиоллиз и радиационное окисление диизопропилового эфира
- А. М. Сухотин и Е. М. Рыжков. Об особенностях изотерм электропроводности 1—1-валентных солей в растворах с низкой диэлектрической проницаемостью
- Д. С. Циклис, Л. И. Шендерей и А. Н. Кофман. Растворимость ацетальдегида в сжатых газах
- Н. И. Кобозев, И. А. Семиохин и В. Г. Синдюков. Физико-химическое исследование электросинтеза концентрированной перекиси водорода из элементов. I
- М. Ф. Мантратов. Исследование термодинамических свойств жидких металлических растворов. Система калий — свинец
- Н. У. Койда. О применении теории подобия при фильтрации жидкости
- В. Д. Безуглый и Е. Ю. Новик. Полярографическое исследование терефталевой кислоты
- С. П. Мискиджян. Электролитическая диссоциация в неводных системах. XI.
- В. И. Малкин и В. В. Покидышев. Измерение чисел переноса катионов в расплавах $\text{Na}_2\text{O} \cdot \text{MgO} \cdot 4\text{SiO}_2$ и $\text{Na}_2\text{O} \cdot \text{SrO} \cdot 4\text{SiO}_2$
- В. А. Дорин, Д. И. Наследов и Ф. М. Тартаковская. Получение полупроводниковой двуокиси титана на титане при малых давлениях кислорода
- П. П. Отюков и А. М. Евсеев. Теплота образования и физические свойства полупроводниковых интерметаллических соединений
- Р. А. Яковлева и Т. Ш. Резухина. Теплоемкость вольфрамовых кальция, марганца и кобальта при высоких температурах
- Е. А. Михайлова, Э. Н. Смирнова, В. А. Петухова и Б. А. Казанский. Влияние химического строения алкилбензолов на их способность адсорбироваться на силикагеле
- Н. Д. Томашов, Е. И. Палеолог и А. З. Федотова. Электрохимическое и коррозионное поведение полупроводников в растворах электролитов. I.
- А. И. Несмеянов и Л. П. Белых. Измерение давления насыщенного пара твердой окиси лития
- А. В. Командин и А. К. Бонецкая. Диэлектрическая проницаемость некоторых органических соединений в широком интервале температур
- Л. А. Казичина, О. А. Реутов и Э. Ф. Бучковский. Инфракрасные спектры поглощения двойных диазотических солей
- В. Ф. Фокин. Влияние муравьиной кислоты на поглощение и флуоресценцию триафлавина
- А. Е. Шилов и Р. Д. Сабирова. Механизм первичного акта термического распада хлорметанов. II.
- С. И. Дракин, Ю. К. Голубкова и Э. П. Ушакова. Электродиффузия в разбавленных растворах свинца и ртути в металлическом калии
- А. А. Баландин, И. Д. Рождественская. Определение энергий связи H, D, C, O и N с окисью цинка кинетическим методом
- М. Т. Дмитриев, С. Я. Пшежецкий. Радиационное окисление азота. V.
- Ю. П. Егоров, И. А. Ромадан, В. А. Шляпочников и Н. И. Шуйкин. Исследования строения радикалов у веществ, полученных при алкилировании ароматических углеводородов спиртами в присутствии трехфтористого бора
- Б. Б. Дамаскин, Н. В. Николаева-Федорович и Р. В. Иванова. Изучение адсорбции анионов сульфокислот жирного ряда на ртутном электроде и влияние этих анионов на кинетику электродных процессов

Г. Усманов и А. Н. Бережной. Применение метода подобия при исследовании процессов переноса массы	907
Методы и техника физико-химического исследования	
И. Скляренок, И. В. Смирнов, Л. Б. Беляева и Е. А. Малышева. Микровискозиметр	921
С. Супин. Электролиз раствора йодистого тетраметиламмония	925
Дискуссия	
И. Жданов. К вопросу о полярографии нитратов	928
Н. Фрумкин. О статье А. Митуга и Т. Обаяши «Разрушение платинового анода в кислых растворах»	931
Письма в редакцию	
Б. Моин и В. У. Шевчук. О влиянии температурных условий на скорости проскака ламинарных пламен	932
А. Аликберов, Л. П. Шкловер, А. С. Сыромятникова и Т. М. Щербакова. Взаимная растворимость в системе тетрахлорид кремния — ацетонитрил	935
Рецензии	
З. Бацанов. Замечания по поводу книги Хьюккеля	937
Хроника	
Е. Брежнева, Д. П. Добычин и Г. М. Жаброва. С. З. Рогинский (К 60-летию со дня рождения)	939
Профессор Альфред Эджертон (Некролог)	941
CONTENTS	
90 th Birthday Anniversary of V. I. Lenin	705
M. Tatevskii and Yu. G. Papulov. The Relation between the Energy of Formation of a Molecule from the Free Atoms and Its Structure. III	708
I. Kolobov. On the Structure of Crystalline Polymers	716
A. Alekseeva, V. G. Plusnin, E. P. Babin and G. A. Alekseeva. Correlations in the Substitution of Benzene Hydrogen by Alkyl Groups. VIII	726
P. Rutskov. On the Most Rational Approaches to the Specific Heat Properties of Aqueous Solutions of Electrolytes	734
Z. Nanobishvili. The Effect of Molybdate on the Catalytic Decomposition of Hydrogen Peroxide in the Presence of Dichromate	742
V. Storonkin and A. I. Rusanov. Thermodynamic Theory of Critical Phenomena in Three Component Systems. II	749
A. Solov'eva, A. G. Vagramyan. On the Part Played by Self-Adjustment in Polarization Measurements during the Electrodeposition of Metals	754
V. Saraeva, B. Ya. Ladygin and N. M. Chan Sul. The Radiolysis and Radiation Oxidation of Diisopropyl Ether	759
M. Sukhotin and E. M. Ryshkov. The Characteristic Features of the Electroconductivity Isotherms of 1-1 Valency Salts in Solutions of Low Dielectric Constant Values	762
S. Tsiklis, L. I. Shenderoi and A. N. Kofman. The Solubility of Acetaldehyde in Compressed Gases	768
I. Kobozev, I. A. Semiokhin, V. G. Sindukov. Physico-Chemical Studies on the Electrosynthesis of Concentrated Hydrogen Peroxide From Its Elements. I	773
F. Lantratov. Studies of the Thermodynamic Properties of Liquid Metal Solutions. The System Potassium—Lead	782
J. Koida. On the Application of the Similarity Principle to the Filtration of Liquids	789
D. Bezuglyi and E. Yu. Novik. A Polarographic Study of Terephthalic Acid	795
P. Miskidzhayan. Electrolytic Dissociation in Non-Aqueous Systems	802
M. Malkin, V. V. Pokidyshev. Measurement of the Cationic Transference Numbers in $\text{Na}_2\text{O} \cdot \text{MgO} \cdot 2\text{H}_2\text{O}$ and $\text{Na}_2\text{OSrO} \cdot 4\text{SiO}_2$ Melts.	805

V. A. Doring, D. N. Nasledov and F. M. Tartakovskaya. The Preparation of Titanium Dioxide Semiconductor on Titanium Dioxide at Low Oxygen Pressures	80
P. P. Otopkov and A. M. Evseev. The Heat of Formation and Physical Properties of Intermetallic Semiconductors	81
R. A. Yakovleva and T. N. Rezhukhina. The Heat Capacities of Calcium, Manganese and Cobalt Tungstates	81
E. A. Mikhailova, V. A. Petukhova, E. N. Smirnova, B. A. Kazanskii. The Effect of the Chemical Structure of Alkylbenzenes on Their Adsorption Capacity on Silica Gel	82
N. D. Tomashev, E. N. Paleolog, A. Z. Fedotova. The Electrochemical and Corrosion Behavior of Semiconductors in Electrolyte Solutions. I	83
An. N. Nesmeyanov and L. P. Belykh. Measurement of the Saturated Vapor Pressure of Solid Lithium Oxide.	84
A. V. Komandin and A. K. Bonetskaya. The Dielectric Constant of Some Organic Compounds over a Broad Temperatures Range	84
L. A. Kazytsyna, O. A. Reutov, Z. F. Bychkovskii. Infra-red Absorption Spectra of Double Diazonium Salts	85
V. F. Fokin. The Effect of Formic Acid on the Absorption and Fluorescence of Trypoflavine	85
A. E. Shilov and R. D. Saburova. Mechanism of the Primary Act of the Thermal Decomposition of Chloromethanes. II	86
S. I. Drakin, Yu. K. Golubkova and E. P. Ushakova. Electrodiffusion in Dilute Metallic Potassium Solutions of Lead and Mercury	86
A. A. Balandin, I. D. Rozhdestvenskaya. Determination of the Bond Energies of H, D, C, O and N with Zinc Oxide by Means of the Kinetic Method	87
M. T. Dmitriev and S. Ya. Pshezhetskii. Radiation Oxidation of Nitrogen. V	88
Yu. P. Egorov, I. A. Ramadan, V. A. Shlyapochnikov and N. I. Shuikin. Investigation of the Radical Structure of Substances Produced in the Alkylation of Aromatic Hydrocarbons by Alcohols in the Presence of Boron Trifluoride	88
B. V. Damaskin, N. V. Nikolaeva-Fedorovich and R. V. Ivanova. A Study of the Absorption of Aliphatic Sulfonate Anions on the Mercury Electrode and the Effect of the Anions on the Kinetics of the Electrode Processes	89
A. G. Usmanov and A. N. Berezhnoi. The Application of the Similarity Theory in Studies of Mass Transfer Processes	90

Experimental Methods and Apparatus

S. I. Sklyarenko, I. V. Smirnov, L. V. Belyaeva and E. A. Malysheva. Microviscometer	92
G. S. Supin. Electrolysis of Tetramethylammonium Iodide Solution	92

Discussion

S. I. Zhdanov. Polarography of Nitrates	92
A. N. Frumkin. Concerning the Paper by A. Mituya and T. Oboyashi, «Disintegration of the Platinum Anode in Acid Solutions»	93

Letters to the Editor

F. B. Moïn, V. U. Shevchuk. Effect of Temperature on the Velocity of Flash Back of Laminar Flames	93
S. S. Alikberov, L. P. Shklover, A. S. Syromyatnikova, T. M. Scherbakova. Mutual Solubility in the System Silicon Tetrachloride—Acetonitrile	93

Reviews

S. S. Batsanov. Remarks Concerning the Book by W. Hückel	93
--	----

Miscellany

N. E. Breznaya, D. P. Dobichin and G. M. Zhabrova. S. Z. Roginskii (On His 60th Birthday Anniversary)	93
Professor Alfred Egerton (Necrology)	94

О КОНКУРСАХ НА СОИСКАНИЕ ИМЕННЫХ ПРЕМИЙ АН СССР

Отделение химических наук АН СССР сообщает, что:

1) 6 декабря 1960 г. досрочно, в связи с отмечающимся столетием со дня рождения академика Н. С. Курнакова будет проведен конкурс на соискание премии АН СССР им. Н. С. Курнакова в размере 10 000 рублей, которая присуждается советским ученым за выдающиеся работы в области общей химии, физико-химического анализа и его приложений;

2) 6 февраля 1961 г. будет проведен конкурс на соискание премии АН СССР им. Н. Д. Зелинского в размере 10 000 рублей, которая присуждается советским ученым за выдающиеся научные работы в области органической химии и химии нефти.

Материалы на конкурс представляются в Отделение химических наук АН СССР не позднее, чем за 3 месяца до даты присуждения соответствующей премии.

Адрес Отделения химических наук:

Москва, В-71, Ленинский проспект, 14.

Организация и отдельные лица, выдвинувшие кандидатов на соискание именной премии, должны представить в Отделение химических наук следующие документы и материалы с надписью «На соискание премии имени».....«:

а) Опубликованную научную работу, материалы научного открытия или изобретения в 3-х экземплярах, на любом языке;

Примечание: ранее премированные работы на конкурс не принимаются.

б) Материалы обсуждения научной общественностью представляемых работ.

в) Автореферат научного труда объемом до 0,25 авт. листа.

г) Краткие биографические сведения о кандидате с перечнем его основных научных работ, открытий, изобретений

Отделение химических наук АН СССР

Технический редактор *Н. А. Колгурина*

Т-05166 Подписано к печати 27/IV 1960 г. Печ. л. 20,55+2 вкл. Уч.-изд. л. 22,5
Формат бумаги 70×108¹/₁₆ Бум. л. 7¹/₂ Зак. 200 Тираж 3525 экз.

2-я типография Издательства Академии наук СССР. Москва, Шубинский пер., 1

ИЗДАТЕЛЬСТВО АКАДЕМИИ НАУК СССР

Контора «Академкнига»

ОТКРЫТА ПОДПИСКА

на Полное собрание сочинений и писем

И. С. ТУРГЕНЕВА

Издательство Академии наук СССР выпускает Полное собрание сочинений и писем И. С. Тургенева в 28 томах.

Издание подготовлено Институтом русской литературы (Пушкинский Дом) Академии наук СССР.

В настоящем издании будут напечатаны все произведения Тургенева — как опубликованные, так и оставшиеся в рукописи и незаконченные; все обнаруженные до сих пор письма Тургенева (около 6000), значительная часть которых публикуется впервые.

Издание явится, таким образом, первым полным собранием всех написанных И. С. Тургеневым художественных произведений, критических работ, статей, рецензий, писем и т. д.

Кроме основного текста сочинений Тургенева, критически проверенного по первоисточникам (печатным и рукописным), в издании публикуются черновые редакции и варианты. Тексты сочинений и писем сопровождаются необходимыми комментариями и указателями.

ИЗДАНИЕ ВЫПУСКАЕТСЯ В ДВУХ СЕРИЯХ:

Серия первая: Сочинения в 15 томах.

Серия вторая: Письма в 13 томах.

Издание обеих серий будет осуществлено в течение 1960—1965 годов. Тома сочинений и Писем будут выходить параллельно и иметь отдельную нумерацию.

Издание художественно оформлено, содержит документальные иллюстрации, печатается на высокосортной белой бумаге.

Условия подписки: Подписка принимается на 28 томов Собрания сочинений и писем, а также отдельно на 15 томов Сочинений и отдельно на 13 Писем.

Цена каждого тома — 15 руб.

При подписке вносится задаток в размере стоимости одного тома.

В ИЗДАТЕЛЬСТВЕ АКАДЕМИИ НАУК СССР ВЫХОДИТ
ДОПОЛНИТЕЛЬНЫМ ТИРАЖОМ В НОВОМ ОФОРМЛЕНИИ
СОБРАНИЕ ХУДОЖЕСТВЕННЫХ ПРОИЗВЕДЕНИЙ

Н. В. ГОГОЛЯ

в пяти томах

Издание предназначено для широкого круга читателей. Основные тексты сопровождаются извлечениями из ранних редакций и краткими примечаниями, содержащими самые необходимые сведения для понимания текста и истории творчества Н. В. Гоголя.

Книги издаются малым форматом в цельнотканевых переплетах. Все тома выйдут из печати в течение 1960 года.

Издание распространяется по подписке.

Условия подписки: Стоимость всего издания 50 руб.

Цена каждого тома — 10 руб.

При подписке вносится задаток в размере стоимости одного тома.

Подписка на Полное собрание сочинений И. С. Тургенева и Собрание художественных произведений Н. В. Гоголя принимается магазинами книготоргов и потребительской кооперации, а также магазинами «Академкнига».